



PROYECTO LOS HORNOS

II ETAPA DE EXPLORACION

INFORME



VISTA PANORAMICA DEL PROYECTO LOS HORNOS - ZONA EL CURA

PREPARADO POR:

Ing. Yuri Aronés O.

Ing. Hans Canales C.

Ing. Henry Gálvez C.

Ing. Marco Escalante R.

Diciembre 2006

Lima – Perú



PROYECTO LOS HORNOS

II ETAPA DE EXPLORACION

INDICE

	Pagina. N°
I. GENERALIDADES -----	1
I.1 INTRODUCCION -----	1
I.2 UBICACIÓN Y ACCESIBILIDAD -----	1
I.3 ANTECEDENTES Y TRABAJOS PREVIOS -----	3
I.4 PROPIEDADES MINERAS -----	4
I.5 CLIMA -----	5
I.6 FISIOGRAFIA -----	6
I.7 RECURSOS NATURALES -----	7
I.8 RECURSOS HUMANOS, HIDRICOS Y ENERGETICOS -----	8
I.9 TRABAJOS REALIZADOS - CAMPAÑA 2006 -----	10
I.10 COSTO Y PRESUPUESTO -----	11
II. CONTEXTO GEOLOGICO REGIONAL -----	12
III. MINERALIZACIÓN REGIONAL -----	14
IV. GEOLOGIA LOCAL -----	16
IV.1 LITOLOGIA -----	16
IV.2 ASOCIACION ESTRUCTURAL E IGNEA -----	18
IV.3 ALTERACIONES HIDROTERMALES Y MINERALIZACION -----	19
IV.4 RESULTADOS GEOQUIMICOS -----	21
V. CONCLUSIONES Y RECOMENDACIONES -----	23
VI. REFERENCIAS -----	25

FOTOGRAFIAS



LAMINAS

LAMINA N° 1: PLANO DE UBICACIÓN Y ACCESIBILIDAD.

LAMINA N° 2: PLANO DE PROPIEDADES MINERAS.

LAMINA N° 3: PLANO DE PROPIETARIOS DE TERRENOS SUPERFICIALES.

LAMINA N° 4: PLANO DE LA CUENCA HIDROGRAFICA DEL RIO
HUASCACocha.

LAMINA N° 5: PLANO GEOLOGICO REGIONAL - METALOTECTO BATOLITO DE
PATAZ Y OCURRENCIAS DE MINERALIZACION.

LAMINA N° 6: PLANO DE LINEAMIENTOS Y COMPARTIMIENTOS
ESTRUCTURALES.

LAMINA N° 7: PLANO LITOLOGICO (PROYECTO LOS HORNOS).

LAMINA N° 8: PLANO DE DENSIDAD DE FRACTURAMIENTOS. (PROYECTO
LOS HORNOS).

LAMINA N° 9: PLANO DE PROYECCION ESTEREOGRAFICA DE FRACTURAS
DE ALREDEDORES DE LA ZONA EL CURA (PROYECTO LOS
HORNOS).

LAMINA N° 10: PLANO DE PROYECCION ESTEREOGRAFICA DE FRACTURAS –
ZONA EL CURA. (PROYECTO LOS HORNOS).

LAMINA N° 11: PLANO DE ALTERACIONES HIDROTERMALES (PROYECTO LOS
HORNOS).

LAMINA N° 12: PLANO DE UBICACIÓN DE MUESTRAS CON ESTUDIOS DE
MICROSCOPIA.

LAMINA N° 13: PLANO GEOQUIMICO DE Au (ppb) DE LA ZONA EL CURA
(PROYECTO LOS HORNOS).

LAMINA N° 14: PLANO DE OXIDOS (%) (PROYECTO LOS HORNOS).

LAMINA N° 15: PLANO DE SONDEOS DE EXPLORACION (PROYECTO LOS
HORNOS).

I. GENERALIDADES

I.1 INTRODUCCIÓN

El reconocimiento geológico del 2004 de la zona de los Hornos y el Cura dentro de la concesión Patricia permitió detectar la existencia de una alteración hidrotermal de tipo silicea, filica y propilitica con intenso fracturamiento en rocas intrusivas de carácter granítico.

El muestreo geoquímico de sedimentos y de rocas, de tipo orientación y en malla en calicatas, mostraron una preferente anomalía por oro, en la zona de los Hornos y el Cura focalizándose en el área de targets, en la zona del Cura.

A partir de Abril y hasta Octubre del 2006, se realizó trabajos de más a detalle con el fin de realizar una evaluación geológica con el propósito de definir los blancos u objetivos que debían ser explorados mediante sondajes y así determinar el potencial de mineralización del prospecto para un eventual desarrollo minero.

El presente informe entrega los resultados de esta evaluación, con énfasis en aspectos estructurales, de alteración y mineralización.

I.2 UBICACIÓN Y ACCESIBILIDAD

El proyecto esta ubicado en el paraje de Pishigaga, Qda.Huascacocha, dentro de la jurisdicción del distrito de Buldibuyo, en la Provincia de Pataz, departamento de la Libertad. (Ver Lamina N° 1: Plano de ubicación y accesibilidad).

Se enmarca dentro de la hoja topográfica de Tayabamba (17-i) a escala: 100,000 del IGN.

Con coordenadas UTM: Norte 9'101,750 y Este 238,500, siendo el rasgo geomorfológico mas notorio el Cerro Alto Cebada.

Se puede acceder al área del proyecto mediante la ruta:

Vía asfaltada desde la ciudad de Lima - Trujillo - Huamachuco y luego por vía afirmada desde Huamachuco - Chahual - Retamas - Buldibuyo y finalmente al Proyecto los Hornos con un total de 1,010 Km. aprox. (25 horas).

También se puede acceder por vía asfaltada desde la ciudad de Lima - Huaraz - Caraz y luego por vía afirmada desde Caraz - Sihuas - Huancaspata - Tayabamba y finalmente al proyecto los Hornos empleándose 812 Km. aprox. (20 horas).

Otra vía de acceso es por vía asfaltada desde la ciudad de Lima - Chimbote - Chuiquicara y luego por vía afirmada desde Chuquicara - Sihuas - Tayabamba y proyecto los Hornos con un recorrido total de 860 Km. (20 horas).

Por vía aérea se accede:

Desde la ciudad de Lima a Trujillo (55 minutos), de Trujillo - Chahual (45 minutos) y luego se continua por carretera afirmada hasta el proyecto (6 horas) con un total de 136 Km.

El área del proyecto se encuentra a una distancia de 16 Km. del pueblo de Buldibuyo (45 minutos), a 9 Km. (30 minutos) del pueblo de Huaylillas que son los distritos mas cercanos, a una distancia de 8 Km (15 minutos) del caserío de Pachacrahuay y a una distancia de 27 Km. (1hora y 15minutos) de la ciudad de Tayabamba que es capital de la Provincia de Pataz.



I.3 ANTECEDENTES y TRABAJOS PREVIOS

Esta zona también fue trabajada antiguamente por mineros informales mediante concentraciones gravimétricas de oro (lavado) y amalgamación en la zona de los Hornos y hacia la margen izquierda del río Huascacocha en la zona de vetas conocida anteriormente como Mina Jireh.

La mina Jireh fue explotada por EJEOMIN antes del 2004, mediante trabajos de minería subterránea en vetas, cuya producción fue a baja escala.

En 1992 la empresa MINSUR realiza trabajos de evaluación de las labores antiguas de la mina.

Posteriormente el 1994 la empresa CEDEMIN revaluaron la mina donde recomienda realizar mayores exploraciones no llegándose a concretarse.

En el año 2004 entre los meses de Enero a Marzo el Grupo de Geólogos de Merendon de Perú, cuya jefatura estuvo a cargo del Ing. Luis Villena y los Ings. Henry Gálvez y Hans Canales C. realizaron un reconocimiento y evaluación de la Mina Jireh.

Posteriormente con la presencia del Ing. Yuri Aronés, en un tiempo de 5 meses (Abril a Agosto del 2004) se realizó un reconocimiento de todas las concesiones Patricia y Maria Angola 1-6 y estos trabajos consistieron:

- Interpretación de lineamientos estructurales de imágenes satélites y fotografías aéreas, cartografiado litológico, estructural, de densidad de fracturas y de alteraciones a escala 1:5000.
- Se recolectaron un total de 494 muestras, siendo 137 muestras de orientación de roca, 173 muestras de sedimentos de escorrentía, de 1er, 2do. y 3er orden y 184 muestras de roca en malla de 100mx25m.
- Concentración de Au en puntos de muestreo con puruña (concentración gravimétrica).

Estas muestras fueron analizadas por Au mediante el paquete analítico Fire Assay, Absorción Atómica, método Gravimetrico (AA24 y GRA21) y analizada por multielementos por digestión de agua regia (ME-ICP41) en los laboratorios de **BSI Inspectorate Griffith Peru S.A.C.**

Los trabajos de exploración del año 2004 se centraron en la zona de los Hornos y el Cura los factores geológicos y resultados geoquímicos e interpretación identificaron y **focalizaron la zona del Cura como un targets de exploración** en un área de 120 ha aprox. con un estilo de mineralización y entrapamiento estructural de un deposito atípico en el Batolito de Pataz, de tipo stockwork con diseminación fina de oro, recomendando para el año siguiente un programa de sondeos exploratorios.

En el año 2005 las concesiones Patricia y Maria Angola (1-6) pasan a propiedad 100% a MERENDON DE PERU S.A.

En Diciembre del 2005 se tuvo la visita del geólogo H. Adrew Daniel, BSc, de Geovector Management Inc. con el objetivo de evaluar el proyecto Los Hornos, el informe de esta evaluación concluye que la información disponible no es suficiente para realizar un programa de sondeos exploratorios.

Por lo tanto se recomienda realizar estudios de cartografiados de mas a detalle a escala 1:1000 y muestreos sistemáticos en la misma zona del Cura, con el fin de determinar la geometría de la mineralización y tener mayor información que pueda llevar a la concepción de un deposito aurífero por evaluadores (II etapa de exploración).

I.4 PROPIEDADES MINERAS

El área del proyecto se encuentra amparada por MERENDON DE PERU S.A. que presenta derechos mineros registrados sobre el bloque de concesiones: Patricia (510 has.) y Maria Angola (1-6) de (4,800 has.) con un total de 5,310 has.

Prevaleciendo actualmente en un 100% sobre un área de 3,510 has, esto debido a la superposición de concesiones antiguas anteriores a diciembre de 1991 que predominan sobre las concesiones posteriores llevada mediante el sistema de cuadrículas (Ver Lamina N° 2: Plano de propiedades mineras).

Los trabajos de exploración se encuentran en la concesión Patricia principalmente en la zona de los Hornos y el Cura.

La propietaria principal de los terrenos superficiales en la zona del Cura es la Sra. Julia Barbaran y en la zona de los Hornos se presentan como propietarios de terrenos superficiales los señores Evangelista Echevarria, Marina Zavaleta, Gilberto Arellano, Alberto Añorga, Mercedes Valverde, Guillermo Arellano y Elmer Zavaleta, con todos ellos se tienen buenas relaciones. (Ver Lamina N° 3: Plano de propietarios de terrenos superficiales).

RESUMEN DE CONCESIONES

Nº	CODIGO	DERECHO MINERO	HECTAREAS
183	10080094	MARIA ANGOLA 1	500.0
184	10080194	MARIA ANGOLA 2	900.0
185	10080294	MARIA ANGOLA 3	900.0
186	10080394	MARIA ANGOLA 4	800.0
187	10080494	MARIA ANGOLA 5	1000.0
188	10080594	MARIA ANGOLA 6	700.0
216	150080594	PATRICIA	510.0

I.5 CLIMA

El clima es templado moderadamente lluvioso con una amplitud térmica moderada, siendo su media anual de temperatura máxima y mínima entre el periodo 1964 - 1980 de 17.3°C y 6.2°C, respectivamente.

La clasificación de Thornthwaite elaborada por el SENAMHI clasifica a la zona como "Lluviosa, Húmeda y Fría".

El clima se torna seco, templado durante el día y enfriando en las noches.

La estación pluviométrica del pueblo de Buldibuyo, la mas cercana al proyecto con coordenadas 8°7'00" S, 77°22'E y a una altitud de 3,293 msnm registro una precipitación anual de 679.5 mm. (Datos entre los años 1967 a 1981).

Siendo las precipitaciones máximas observadas de 53.8mm (año 1969) y 38.4mm (año 1981) (Fuente Senamhi).

Los periodos de mayor precipitación pluvial son en los meses de Diciembre a Abril, seguida de una época de estiaje durante los meses de Mayo a Noviembre.

I.6 FISIOGRAFIA

Ubicado en las estribaciones occidentales de la Cordillera Oriental a una altitud entre los 2700 msnm y 3130msnm.

La Cordillera Oriental es una unidad geomorfología ubicado entre los ríos Marañón y el Huallaga, comprende altitudes de hasta 4,400msnm; las estribaciones occidentales de la Cordillera Oriental se caracteriza por presentar pendientes pronunciadas a escarpas verticales, erosionados por valles longitudinales profundos, controlados por sistemas estructurales Noroeste -Sureste.

En el área del proyecto y alrededores presenta valles interandinos juveniles delimitados en sus cotas altas por elevados picos cordilleranos delimitados en sus márgenes superiores con superficies relativamente poco planos pertenecientes a la región puna.

La zona del Cura presenta quebradas y laderas con relieves de fuertes pendientes a accidentadas cuyas aguas drenan principalmente hacia el río Huascacocha, estas erosiones siguen los controles estructurales que comprende la zona de brechas y craquelamientos



Hacia el lado Este de la zona de los Hornos y el Cura se observa el Cerro Alto Cebada es un macizo comprendido entre los 2,650 hasta los 3,350 msnm con pendientes abruptas con una configuración semicircular, esta conforma la zona de vetas.

Al Sureste se encuentra el poblado de Pachacrahuay se encuentra ubicado entre el Cerro Alto Cebada y la Qda. Taullish asentada en un relieve moderado cuya configuración es manera de un anfiteatro conformado por el Cerro Alto Laguna.

Hacia el sur en el Cerro Tampash en la margen derecha del río Huascacocha el relieve es moderado a abrupto en el que se realizan sembríos de pan llevar y hacia la margen izquierda se encuentra el Cerro Tres Ventanas con relieves accidentados.

I.7 RECURSOS NATURALES

FAUNA Y FLORA

La fauna silvestre es muy variada, entre mamíferos del lugar se tiene: a la muca (*Didelphys marshupialis*), el venado andino o taruca (*Hippocamelus antitesis*), el venado gris (*Odocoileus virginianus*), vizcacha (*Lagidium peruanum*), ratones silvestres (*Phyllois spp*), cuy silvestre (*Cavia tschudii*), etc.

Aves como la gaviota andina (*Larus serranus*), perdiz serrana (*Nothoprocta pentlandi*), lechuza de arenales (*Athene cunicularia*), picaflor gigante (*Patagona gigas*), colibrí azul (*Colibrí coruscans*), halcón perdiguero (*Falco femoralis*), cernícalo americano (*Falco sparverius*) entre otros.

La presencia de reptiles como la lagartija (*Trachynemis sp.* *Tropidurus spp*, *Clenoblepharis sp.*, *Liolaemus spp*), culebra (*Tachynemis sp*), etc.

Los cultivos de Salmonidos de la orden clupeiforme cuyo nombre común es la trucha a poca escala en el río Huascacocha.



El clima y la altitud permite la crianza de cuyes, ovinos, vacunos, porcinos y acémilas para carga por parte de los pobladores, así como la crianzas de aves de corral.

De acuerdo a la clasificación de L.H. Holdridge de acuerdo al Mapa Ecológico del Perú (INRENA 1994) el área del proyecto y alrededores se encuentra dentro de la Zona de Vida de Bosque Muy Húmedo – Montano Tropical que se distribuye en la región cordillerana entre los 2,800 hasta cerca de los 3,800msnm.

La flora incluyen desde gramíneas altas, tupidas constituyendo praderas de pastos naturales con especies de los generos Stipa, Calamagrostis, Festuca, Poa, eucaliptos (Eucaliptos spp), sauce (salix sp), tara (Caesalpineia tara), tunas (Opuntia spp), molles (Schinus molle), cabuya (Fourcroya sp) entre otros.

En el área del proyecto esta limitado el uso de tierras para el desarrollo de la agricultura, debido a su medio topográfico y cobertura rocosa que imposibilita crear y extender el campo agrícola, del mismo modo la ganadería representada por la crianza ovejas, vacunos que es limitada o casi nula su presencia en el proyecto.

En los alrededores del proyecto los pobladores del lugar se dedican a sembríos de cereales (trigo, cebada, centeno), maíz, y tubérculos (papa, oca, olluco), así como plantas frutales como naranjas, paltas, manzanas, etc., variedades como calabazas, cebollas, zanahorias perejil entre otros de consumo domestico.

I.8 RECURSOS HUMANOS, HÍDRICOS Y ENERGÉTICOS

El área de estudio se encuentra en una provincia minera donde operan varias empresas en las que destaca Compañía Minera Aurífera del Sur (MARSA), CIA Minera Buldibuyo SAC, CIA Minera Poderosa SA, Estrella de Pataz N° 2 S.M.R.L. y en los poblados aledaños a dichas empresas donde se encontrar personal técnico y obreros con mano de obra calificada.

El abastecimiento de materiales y víveres se realiza principalmente en la ciudad de Tayabamba, a 27km de distancia (1hora y 15 minutos).

El río Huascacocha conforma un valle cuyas aguas son provenientes de la laguna del mismo nombre en el Cerro la Montañita a 3,590 msnm y se encuentra alimentado por el río Chaccha, Qda. Yanapacccha, Qda. Huiro Huiro, Qda. Taullish y el río Buldibuyo que convergen y alimentan conformando la Cuenca Hidrográfica del río Huascacocha, que han producido una fuerte erosión conformando superficies abruptas a accidentadas en la zona de Los Hornos y El Cura y alrededores.

El río Huascacocha es el principal afluente en la zona con un caudal continuo de 2.5 m³/s durante todo el año, el caudal de la Qda. Huiro Huiro es de 0.54m³/s, el río Buldibuyo tiene un caudal de 0.4m³/s.

Estos 3 sistemas de drenaje confluyen a la altura del proyecto y surten de dicho elemento a la Central Hidroeléctrica de Tarabamba que se encuentra a 3km al sur del proyecto, el cual provee actualmente un consumo de energía de 100Kv de 600Kv que genera la central, las mismas que se incrementan de Diciembre a Abril por el incremento de precipitaciones pluviales. (Ver Lamina N° 4: Plano de la cuenca hidrográfica del río Huascacocha).

Existe también el proyecto del Sistema Interconectado del Cañón del Pato - Tayabamba que beneficiara en energía y precios.

I.9 TRABAJOS REALIZADOS - CAMPAÑA 2006

Los trabajos de la II etapa de exploración se centraron en la concesión Patricia (510 has) en la zona denominada Los Hornos y El Cura, estos trabajos se desarrollaron desde el 17 de Abril al 15 de Octubre del 2006, y consistieron:

- Levantamiento topográfico a escala 1:1,000 (sector norte de la concesión Patricia) con curvas de nivel cada 2m. complementando con un contorneo de afloramientos de toda la zona de los Hornos y el Cura, siendo el total levantado de 150 has aprox., para ello se utilizó una estación total marca PENTAX, modelo PTS V3, propia de la compañía.
- Vinculación de puntos de control geodésico realizado por Proyectistas Técnicos (PROSAC) siendo los 2 puntos de control geodésicos en Nerida y las Ruinas. (Ver Anexo No.1: Informe de posicionamientos de puntos de control geodésico - PROSAC).
- Construcción de cortes de carretera con un total de 3,877m. lineales. principalmente en la zona de El Cura, para ello se utilizó una maquinaria Tractor Oruga D6D, Marca Caterpillar, propia de la compañía.
- Cartografiado litológico, estructural y de alteraciones hidrotermales a escala 1:500.
- Se tomaron 15 muestras de mano, provenientes de afloramientos en la zona de Los Hornos y El Cura para estudios de microscopía de 15 muestras (11 muestras de sección delgada y 04 pulidas) estos estudios fueron realizados por la Dra. Gladys Ocharan. (Ver Lamina No.12 y Anexo N° 2 y N° 3: Informe de Estudio Petrográfico - Mineragráfico).
- Recolección de un total de 744 muestras, siendo 685 muestras de tipo canaleta con un largo de 3m. a lo largo de los cortes de carretera, y

complementado con 59 muestras de orientación, ambos tipos de muestreo contienen 14 muestras duplicadas para el control del laboratorio.

Todas las muestras de roca fueron analizadas por los laboratorios de ALS CHEMEX, el Au ha sido determinado por ensayo al fuego (Fire Assay) y Absorción Atómica Au 30g.

52 muestras, que tuvieron anomalías mayores a 100ppb fueron analizadas por multielementos, el paquete analítico empleado fue ME - ICP 41 + Hg por vapor frío /AAS; previa digestión por agua regia. (Ver Anexo No. 5: Certificados de análisis geoquímico – laboratorios ALS CHEMEX).

Los trabajos de la II etapa tuvieron la participación como asesor al Ing. Andrés Mestre, que realizo trabajos en el campo los días 3 y 4 de Abril, 20 y 21 de Junio y 05 de Noviembre del 2006 con un total de 5 días de campo.

I.10 COSTO Y PRESUPUESTO

Se tuvo un presupuesto de **US\$ 80,114 dólares americanos**, se ha mantenido el proyecto dentro del presupuesto con gastos totales en la II etapa de exploración desde el 17 de Abril al 15 de Octubre del 2006 de **US\$ 77,137 dólares americanos**, que involucra los trabajos de campo, gabinete y estudios entre otros.

Presentando un saldo final de **US\$ 2,977 dólares americanos**.

El resumen de la inversión se muestra en el siguiente cuadro:

II ETAPA DE EXPLORACION - 2006	
PRESUPUESTO PROGRAMADO	US\$ 80,114
GASTO TOTAL	US\$ 77,137
SALDO	US\$ 2,977

II. CONTEXTO GEOLOGICO REGIONAL

ESTRATIGRAFIA REGIONAL

El área del proyecto se presenta definido dentro del metalotecto aurífero del Batolito de Pataz en la Cordillera Oriental.

La Cordillera Oriental esta constituida principalmente por rocas precámbricas y paleozoicas, en el área del proyecto y alrededores se encuentra las siguientes unidades:

COMPLEJO DEL MARAÑON: Esta unidad esta constituida por rocas metamórficas principalmente metavolcánicos andesiticos verdosos con secuencias de esquistos y fillitas verdes a gris con cuarzo blanco lenticular decimetricas a centrimetricas interfoliadas en menor proporción cuyos afloramientos aislados se observa al Oeste cercano al poblado de Buldibuyo y al Suroeste en la inmediaciones del caserío de Pachacrahuay. Se le asigna una edad Neoproterozoica.

UNIDADES INTRUSIVAS (Batolito de Pataz)

El proyecto se encuentra inmerso dentro metalotecto aurífero del Batolito de Pataz en los distritos mineros de Pataz, Parcoy y Buldibuyo en rocas intrusivas calcoalcalinos de naturaleza tonalitas, granodioritas, monzogranitos con zonación a bordes dioríticos.

El área de interés del proyecto se encuentra en la zona de El Cura presentando un compartimiento estructural en la margen derecha del río Huascacocha.

Hacia el lado Este en el Cerro Alto Cebada se presenta zonas compactas, la mineralización se encuentra en relleno de fisuras, conformadas por sistemas de vetas (cuarzo-pirita, oro, esfalerita, galena): Veta Patricia y San Juan con tendencias

de rumbo Norte-Noroeste, buzamientos variables entre 35° a 45° hacia el Este cortadas por fallas tangenciales al rumbo general.

El Batolito de Pataz intruye al Complejo del Marañon y ambas infrayacen a la Formación Crisnejas y la Formación Chota al sur de la zona de los Hornos y El Cura. Al batolito se le asigna una edad de 329-328 M.a. que pertenece al Carbonífero.

FORMACION CRISNEJAS

Constituida por una secuencia de calizas y margas beige, se presenta hacia el Suroeste de la zona de los Hornos, esta unidad suprayace al Complejo del Marañon y al Batolito de Pataz en discordancia.

Se le asigna una edad Cretácica del Albiano medio correlacionándose con las Formaciones Chulec y Pariatambo, del sector occidental de la región.

FORMACION CHOTA

Consiste en una secuencia de conglomerados subredondeados de metavolcanicos, esquistos, fillitas, intrusivos y calizas provenientes de las unidades infrayacentes, con una matriz de areniscas rojizas, en algunos lugares presentan afloramientos de secuencias de pelitas y areniscas rojizas, esto se presenta hacia el sur de la zona de los Hornos y en las inmediaciones al pueblo de Buldibuyo.

Suprayace en forma discordante a la Formación Crisnejas al sur de la zona de los Hornos y se le asigna una edad del Cretácico superior al Paleoceno inferior.

DEPOSITOS CUATERNARIOS

Se presenta depósitos fluvio-aluviales conglomeradicos de diversa naturaleza, provenientes de las unidades inferiores, formando terrazas en las márgenes de los cauces de los ríos Huascacocha, Huiro Huiro y río Buldibuyo.

III. MINERALIZACION REGIONAL

El Batolito de Pataz esta constituidos por vetas mesotermiales, filones auríferos, de cuarzo con concentraciones de sulfuros (pirita, arsenopirita, galena, esfalerita, calcopirita, ankerita) con direcciones NNW buzando al Este y direcciones E-W, que incluye depósitos metálicos en explotación y exploración dentro de ellos se encuentra a Mina Poderosa, CIA. Real Aventura, Consorcio Minero Horizonte y MARSA, entre otros, cuyas minas subterráneas se encuentran distribuidos en la margen occidental del batolito.

El batolito presenta una longitud aproximada de 160 Km. emplazadas a lo largo del valle del río Marañón, la edad de los intrusivos es de 329 - 328 Ma., la edad de la mineralización es de 314 – 312 M.a.

Esta unidad ha sido conocida y explotada desde época del incanato cuya producción histórica durante los últimos 20 años asciende a 6 millones de onzas y se estima en 40 millones de onzas de oro en la totalidad del batolito (Ybes Haerbelin - 2002).

Mina Poderosa con vetas de oro, cuarzo y pirita emplazadas en intrusivos del Carbonífero tiene una ley de 10 a 17 gr. Au/TM, con una producción el 2005 de 88,641 onzas de oro, explotándose las vetas Glorita la Escondida y Jimena Norte.

Compañía Real Aventura al sur de Poderosa con vetas de oro, es un prospecto en exploración y producción, su producción el 2005 fue de 6,914 onzas de oro.

Consorcio Minero Horizonte al sur de Real Aventura fue explotado desde los años 1930, su futuro esta a profundidad, alcanzara una profundidad hasta 1200m, se explota 1300TM/día con 14 gr. Au/TM., la mineralización es de tipo vetas en el 2005 su producción fue de 140,776 onzas de oro.



MARSA (Minera Aurífera Retamas S.A.) al sur del Consorcio Minero Horizonte con vetas de oro + pirita en intrusivos, es un solo yacimiento con Consorcio Minero Horizonte. Cuya profundidad de explotación ha llegado a los 1,200m., la mineralización lo constituyen las vetas Gigante, Esperanza, Cabana y Cachaco, con una ley de 11 gr. /TM, cuya producción el 2005 fue de 165,000 onzas de oro.

La zona de Buldibuyo fue intensamente explotada en el pasado, MARSA esta tratando de reactivarlo, se presenta mineralizaciones en vetas de oro en intrusivos del Carbonífero y en las rocas metamórficas del Complejo del Maraón del Neoproterozoico. (Revista del Instituto de Ingenieros de Minas - mayo 2000 y mayo 2005 - Revista Minera Andina 2005).

Compañía Minera Buldibuyo propietarios del antiguo yacimiento de La Paccha que se encuentra a 3 Km. en línea recta al NW del proyecto, también son dueños de **MINA LA ESTRELLA** que se encuentra a 8km en línea recta al Sureste del proyecto.

Mina la Estrella es un yacimiento tipo skarn aurífero, el intrusivo diorítico es el responsable de la mineralización y es del Terciario Medio y coetánea con la dacita intrusiva de Buldibuyo y el apófisis de Chilia (Schreibler -1989) presenta una ley promedio de 3.1gr Au/TM se estima una potencial de 182,926 oz. Au (Informe de la mina La Estrella - EJEOMIN - Octubre 2003), esto nos indica que los eventos de mineralización estuvo activo durante millones de años.

Se considera que el hidrotermalismo fue suficiente para mineralizar toda la región bajo estilos filonéticos y posiblemente porfíricos (Informe 2004 – Proyecto Aurífero los Hornos). (Ver Lámina N° 5: Plano geológico regional – Metalotecto Batolito de Patate y ocurrencias de mineralización).

IV. GEOLOGIA LOCAL

IV.1 LITOLOGIA (Ver Lamina N° 7: Plano litológico – Proyecto los Hornos)

En el área del prospecto se exponen rocas exclusivamente de naturaleza intrusiva, las que mayoritariamente pueden ser asimiladas al metalotecto aurífero del Batolito de Patáz.

Las diferenciaciones texturales y composicionales van desde diorita cuarcífera granodioritas, granitos, tonalitas y diques andesíticos.

Diorita Cuarcífera melanocrata de color verdosa con cristales de plagioclasa ~55%, cuarzo ~15% con minerales accesorios como hornblenda ~25% y en trazas minerales de zircón, apatita, clorita, epidota, rutilo y leucoxeno; de textura holocristalina, hipidiomorfa.

Es la unidad plutónica más antigua del área de estudio, se presenta aflorando en cotas inferiores hacia el Noreste de la zona de El Cura, esta unidad habría sido seguida por intrusiones de fases granodioríticas.

La Granodiorita Fanerítica Gruesa esta unidad presenta cristales de plagioclasas, ortoclasa y cuarzo, como accesorios muscovita, y en trazas minerales de zircón apatita, leucoxeno y rutilo; de textura holocristalina e hipidiomórfica.

Es la unidad de mayor representatividad aflorante en la zona de los Hornos y el Cura.

El Granito es una unidad que presentan cristales de ortoclasa ~55%, cuarzo ~30%, plagioclasas ~10%, minerales subordinados de microclinas, con accesorios de epidota, magnetita, ilmenita, y en trazas rutilo, leucoxeno, apatita, zircón, titanita, calcita, clorita; de textura holocristalina e hipidiomorfa y brechosa.

Esta unidad intruye a la Granodiorita Fanerítica Gruesa y se presenta en las cotas superiores de la zona de El Cura y el Murciélagu, el emplazamiento de los granitos podría constituir el último pulso magmático del Batolito de Patáz.

La Granodiorita Fanerítica Fina constituido por cristales de plagioclasas, cuarzo y ortoclasa y como accesorios hornblenda, biotita, magnetita, epidota, arsenopirita, pirita, y en trazas apatita, rutilo, leucoxeno, titanita; de textura holocristalina e hipidiomorfa en parte gráfica y brechosa.

Se emplaza dentro de la Granodiorita Fanerítica Gruesa representado en la zona el Murciélagu, esta unidad se encuentra limitada por la falla del mismo nombre, su emplazamiento correspondería a una fase post - batolito de Patáz.

La Tonalita porfírica, mesocrata, de color verde oscuro, presentando en algunas zonas xenolitos de diorita cuarcífera, esta conformado por cristales de plagioclasa ~60%, cuarzo ~25%, con accesorios de biotita y en trazas apatita, zircón, rutilo, leucoxeno, ilmenita, titanita; de textura porfírica con matriz holocristalina e hipidiomorfa y brechosa.

Se presentan a manera de diques plutónicos e intruyen a las unidades graníticas anteriormente mencionadas y afloran de manera restringida principalmente en la zona de El Cura, sus emplazamientos a manera de diques tienen un ancho variable de hasta 40m. con dirección N40°– N60°.

Diques Andesíticos de color verdoso de textura porfírica con cristales de biotitas, plagioclasas que intruyen a las unidades graníticas; granodioritas, tonalitas y dioritas con potencias variables de hasta 2m., controlados por sistemas estructurales y cuyos emplazamientos se presentan en formas subhorizontales y subverticales.

Las intrusiones tonalíticas porfíricas y diques andesíticos corresponderían a fases intrusivas posteriores a la secuencia del Batolito de Patáz.

IV.2 ASOCIACION ESTRUCTURAL E IGNEA (Ver Lamina N° 8: Plano de densidad de fracturamientos – Proyecto Los Hornos y Lamina N° 10 y 9: Planos de proyección estereográfica de fracturas de la zona El Cura y alrededores).

El área de estudio presenta un compartimiento estructural dominados por tendencias estructurales polidireccionales, presentando zonas de cizallamiento, craquelamientos a nivel distrital y en forma local zonas de brechas, este compartimiento se encuentra limitado por un juego de sistemas de fallas tanto primarias como secundarias con direcciones N330°-340° (Falla Los Hornos), Este - Oeste y Noreste - Suroeste que son la respuesta a la orogénesis que ha afectado al macizo andino en esta región y que presenta el compartimiento estructural abierto hacia el Noroeste de la concesión Patricia, limite de concesión con MARSA. (Ver Lamina N° 6: Plano de lineamientos y compartimientos estructurales).

En el área del proyecto las intrusiones tonalíticas se encuentran restringidas en la zona de El Cura, presentándose de manera aflorante a manera de diques plutónicos con un buzamiento bajo hacia el oeste, proyectándose abierto hacia el Noroeste y limitada por la falla los Hornos de dirección N330°-340° que es una bifurcación de la falla del río Huascacocha.

Presenta un control litológico y estructural de las alteraciones que va de Sureste a Noroeste en la zona del Cura, los diferentes emplazamientos intrusivos marcan su diferencia, así como el grado de fracturamiento que es el factor principal de entrapamiento de mineralización.

La densidad de fracturamiento pasan de Sureste a Noroeste, de zonas periféricas propiliticas con un fracturamiento débil (densidad de < 30 fracturas/ 3m) a zonas de alteración filica débil a moderada con un fracturamiento moderado a fuerte (31- 60 fracturas/3m) y zonas craqueladas a brechadas (zonas >60fracturas /3m) hacia las cotas altas de la zona de El Cura.

Presentándose en forma general un sistema de craquelamiento (zonas de cizalla) en toda la zona de El Cura y en forma local autobrechas.

En el área del proyecto se han establecido tres rangos de fracturamiento, como se representa en el plano de densidad de fracturas y de alteración. Se ha modelado la distribución de las zonas de iso fracturamiento, destacándose la zona de fracturamiento intenso en el sector de “El Cura”, el que se asocia a su vez a una intensa alteración fílica en las tonalitas porfíricas y granodioritas, razón por la que se reconoce como el blanco mas importante de exploración a ser reconocido por sondeos.

Estos planos representan la permeabilidad de las zonas al hidrotermalismo con la presencia de vetilleos y venillas de sílice entrecruzadas con Au libre y sulfuros.

IV.3 ALTERACION HIDROTHERMAL Y MINERALIZACION (Ver Lamina N° 11: Plano de Alteraciones Hidrotermales y Lamina No.14: Plano de óxidos (%)).

Los procesos de alteración hidrotermal y mineralización que normalmente se asocian a los eventos intrusivos a partir de su fase Tardimágnética a Hidrotermal tardía, están presentes en distintas intensidades en el área del proyecto, prácticamente en todas las rocas que lo conforman.

En la zona “El Cura”, la alteración y mineralización Hidrotermal Tardía se presenta sobreimpuesta por una alteración Hidrotermal Principal de tipo penetrativa con asociaciones de carácter fílica y silíceas que estaría vinculada a las intrusiones tonalíticas porfíricas.

Es este tipo de alteración y mineralización Hidrotermal Principal es la que presenta los elementos más favorables a la existencia de mineralización masiva de tipo diseminada (pórfido mineralizado) y ofrece el mayor potencial prospectable de todo el Distrito de Patáz.



El control de la mineralización es litológico y estructural de Sureste a Noroeste por las diferencias composicionales de las rocas y la densidad en sus fracturamientos.

La alteración hidrotermal se presenta de manera conspicua en la zona denominada El Cura (zona caliente); en ella se presenta una alteración propilitica (epidota-calcita-clorita) en la zona El Murciélago y las zonas periféricas en las márgenes del río Huascacocha, pasando a una zona de alteración filica (cuarzo - sericita) de débil a moderada, de Sureste a Noroeste presentando su mejor exposición a lo largo de los cortes de carretera y en las cotas intermedias de la zona El Cura.

Estudios de microscopia electrónica determinaron la presencia de oro libre no mayor a 60 micras asociado a vetillas de cuarzo, se presentan en inclusiones en la hematita y goethita, las que remplazan a la pirita de lo cual quedan sus geoformas; así como la presencia de una escasa mineralización de Au diseminada. (Ver Lamina N° 12: Plano de ubicación de muestras con estudios de microscopia y el Anexo N° 2 Informe de estudio Petrográfico – Mineragrafico (Dra. Gladys Ocharan - Septiembre 2006).

Se presume, que las intrusiones tonalíticas porfíricas que se presentan con dirección hacia el Noroeste sea la responsable de los eventos de la mineralización.

El trabajo de campo ha permitido establecer, por otra parte, que existe una notable correspondencia entre la litología y la alteración hidrotermal, identificando a las tonalitas porfíricas de la zona de “El Cura” como la unidad de mayor interés en prospectar.

Estos stocks o diques tonalíticos presentan una marcada tendencia estructural con orientación N40°-60° y buzamiento entre 20° a 45° hacia el Noroeste, presumiéndose que será también la tendencia estructural de la zona de Alteración Hidrotermal.

Los eventos de mineralización de Au se presentan principalmente en las zonas de craquelamiento con alteración filica moderada a fuerte, mediante un control estructural relacionado a unos sistemas de vetillas milimétricas a centimétricas poli

direccionales de cuarzo con rellenos de óxidos (hematita, limonitas) en fracturas junto con la pirita, con bajo contenido de sulfuros.

También la mineralización se presenta en forma local en las zonas de autobrechas como una diseminación fina de Au.

IV.4 RESULTADOS GEOQUIMICOS (Ver Lamina N° 13: Plano geoquímico de Au (ppb) de la zona El Cura).

Las anomalías de Au se concentran principalmente en la zona de El Cura; en los niveles intermedios de la zona El Cura a lo largo de la carretera, en un área de 50 m. de diámetro, se presenta una alteración pervasiva en la roca con un continuo vetilleo de cuarzo milimétrico a centimétricos con buzamientos subverticales.

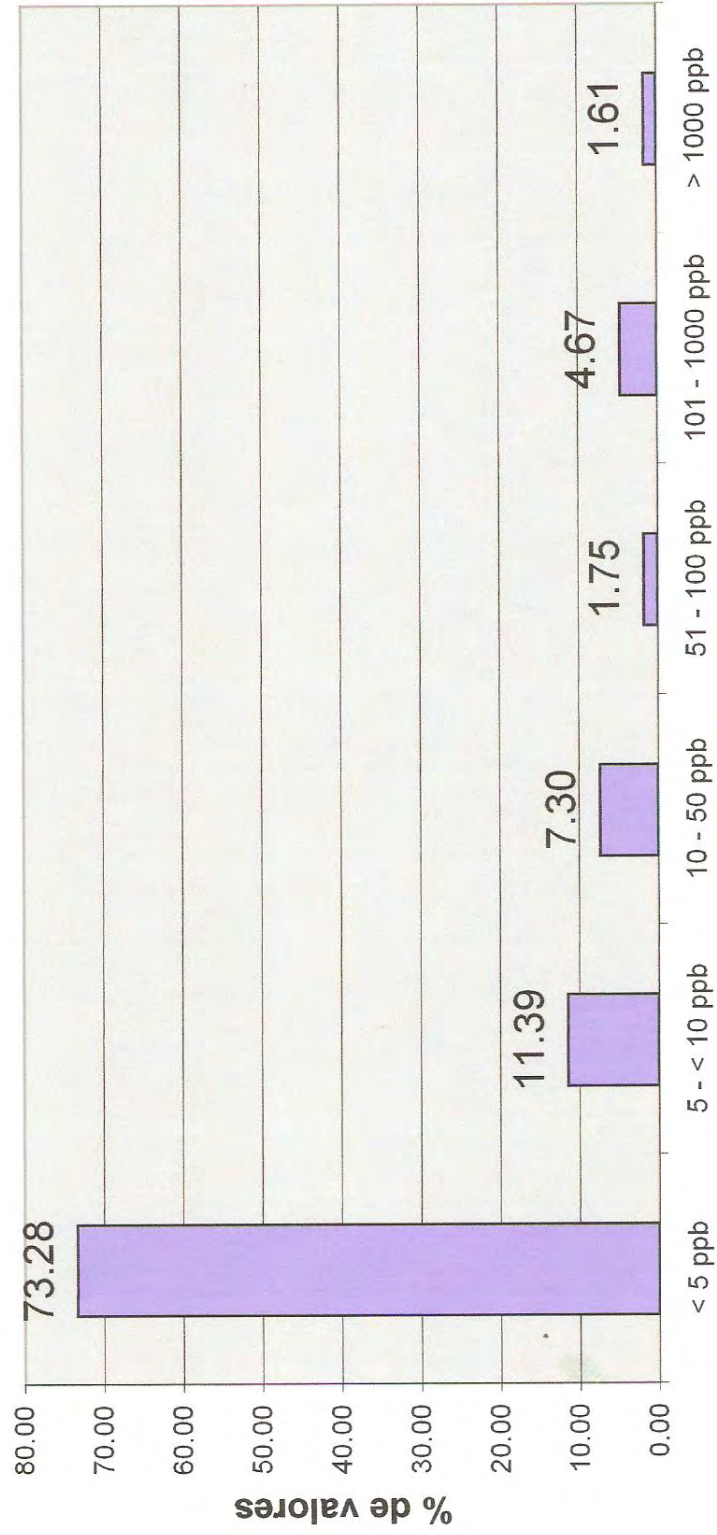
Estos vetilleos de cuarzo se caracterizan por la presencia de Au libre, con óxidos de limonitas y hematina, geoquímicamente esta área presenta valores mayores a 100ppb hasta 15,900 ppb.

Del total de 744 muestras de roca, entre muestras de canaleta y de orientación, 52 muestras reportaron valores anómalos >100ppb hasta 15900ppb de Au, que constituyen el 7% de la población total (Ver Figura N° 1: Histograma Geoquímica del Au (ppb)).

Las muestras mayores a 100 ppb de Au no muestran correlación alguna, entre el Au versus Ag, Cu, Pb, Zn, As, Ba, Bi, Cd, Fe, Hg, Mo, Sb y W. (Ver Figura N° 2: Tabla de correlación del Au y los multielementos)

Estas muestras >100 ppb de Au presentan valores máximos de Ag(20.2ppm), Cu(400ppm), Pb(5900 ppm), As (1120ppm), Ba(80ppm), Bi (36ppm), Cd(4.3 ppm), Fe (4.79 ppm), Hg(470ppm), Mn (727 ppm), Mo(31ppm), S(0.06ppm), Sb(3ppm), W(10ppm).

Histograma - Geoquímica de Au (ppb)



Rango Geoquímico

MUESTRAS TOTALES : 744

Figura N° 1



MERENDON DE PERU

DEPARTAMENTO DE EXPLORACIONES GEOLOGICA MINERA



CORRELACION DEL AU Y LOS MULTIELEMENTOS

MUESTRAS ANALIZADAS POR MULTIELEMENTOS > 100ppb Au

CORRELACION PEARSON	Au	Ag	Cu	Pb	Zn	As	Ba	Bi	Cd	Hg	Mn	Mo	S	Sb
Au Pearson Correlation	1	0.25	0.17	0.14	0.17	0.03	-0.12	0.30	0.16	0.17	-0.12	0.28	0.02	-0.1
Ag Pearson Correlation	0.25	1.00	0.92	0.68	0.97	0.06	-0.01	0.97	0.87	0.94	0.30	0.96	0.17	0.0
Cu Pearson Correlation	0.17	0.92	1.00	0.51	0.90	-0.04	0.16	0.95	0.76	0.84	0.38	0.94	0.26	0.0
Pb Pearson Correlation	0.14	0.68	0.51	1.00	0.77	0.48	-0.06	0.56	0.94	0.79	0.17	0.53	0.23	0.0
Zn Pearson Correlation	0.17	0.97	0.90	0.77	1.00	0.13	0.01	0.93	0.93	0.94	0.37	0.90	0.24	0.0
As Pearson Correlation	0.03	0.06	-0.04	0.48	0.13	1.00	-0.10	0.00	0.34	0.20	-0.11	-0.02	-0.01	0.8
Ba Pearson Correlation	-0.12	-0.01	0.16	-0.06	0.01	-0.10	1.00	0.03	-0.03	-0.07	0.36	0.09	0.62	-0.1
Bi Pearson Correlation	0.30	0.97	0.95	0.56	0.93	0.00	0.03	1.00	0.79	0.89	0.30	0.97	0.18	0.0
Cd Pearson Correlation	0.16	0.87	0.76	0.94	0.93	0.34	-0.03	0.79	1.00	0.92	0.28	0.75	0.24	0.0
Hg Pearson Correlation	0.17	0.94	0.84	0.79	0.94	0.20	-0.07	0.89	0.92	1.00	0.25	0.89	0.15	0.0
Mn Pearson Correlation	-0.12	0.30	0.38	0.17	0.37	-0.11	0.36	0.30	0.28	0.25	1.00	0.26	0.25	-0.1
Mo Pearson Correlation	0.28	0.96	0.94	0.53	0.90	-0.02	0.09	0.97	0.75	0.89	0.26	1.00	0.21	0.0
S Pearson Correlation	0.02	0.17	0.26	0.23	0.24	-0.01	0.62	0.18	0.24	0.15	0.25	0.21	1.00	-0.2
Sb Pearson Correlation	-0.06	-0.03	-0.03	-0.03	-0.04	0.76	-0.09	0.00	-0.03	0.01	-0.13	0.00	-0.16	1.0

* Correlation is significant at the 0.05 level (2-tailed).

** Correlation is significant at the 0.01 level (2-tailed).

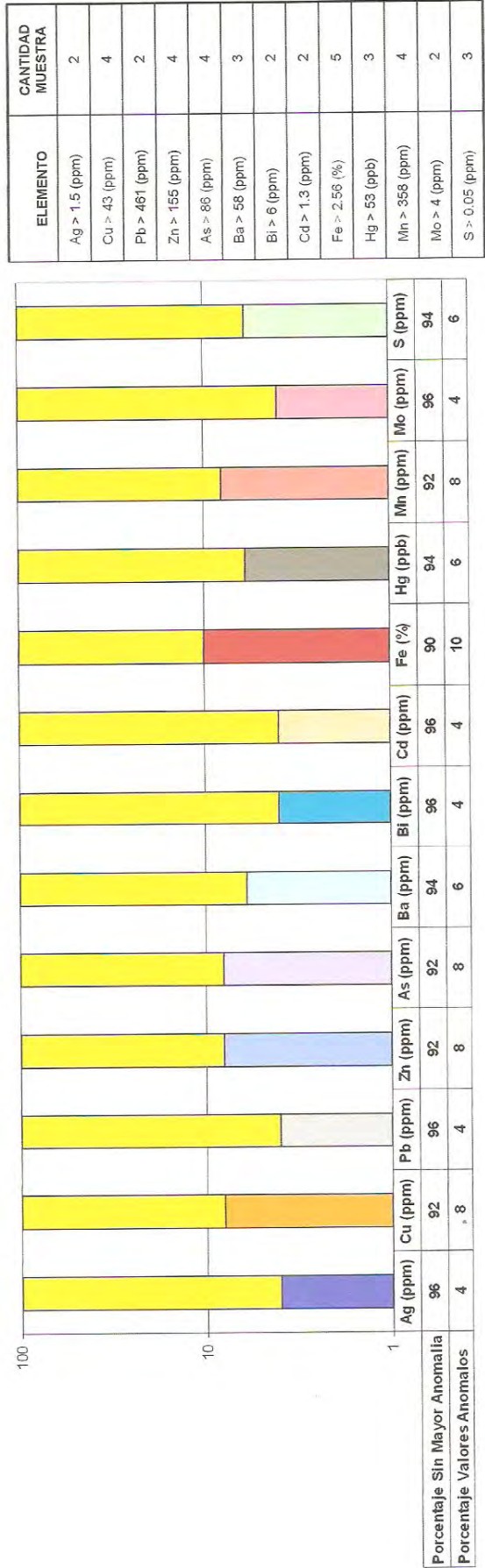
TOTAL DE MUESTRAS : 52

FIGURA N° 2 : TABLA DE CORRELACION DE Au y LOS MULTIELEMENTOS

Geoquímicamente se observa que la distribución de las anomalías de multielementos es puntual y dispersa, no presentando anomalías significativas en los resultados de los diversos elementos, pero están presentes con valores muy débiles y en forma puntual con anomalías moderadas. (Ver Figura N° 3: Histograma de valores anómalos de multielementos en muestras >100ppb Au).



VALORES ANOMALOS DE MULTIELEMENTOS EN MUESTRAS > 100 ppb Au



Población Total: 52 Muestras

Figura 3: Histograma de valores anómalos de multielementos en muestras > 100 ppb Au

V. CONCLUSIONES Y RECOMENDACIONES. (Ver Lamina N° 15: Plano de sondeos de exploración).

Los resultados de la II etapa de exploración del proyecto Los Hornos concluyen en lo siguiente:

- La alteración y mineralización presentes en las rocas de la zona “El Cura”, corresponden a las que normalmente caracterizan a importantes depósitos de oro.
- El fracturamiento que afecta principalmente a las rocas granodioríticas y tonalitas porfíricas en la misma zona “El Cura”, es intenso, lo que favorecería la precipitación de minerales, en este caso el oro.
- El estudio petrográfico sugiere que las texturas y asociaciones de minerales corresponderían a la parte superior del sistema hidrotermal, por lo que a mayor profundidad podría confirmarse la existencia de mineralización económica de oro.
- En superficie ha quedado expuesta un área de unos 50 m. de diámetro en la que se conjugan favorablemente las características geológicas propias de un depósito con mineralización hidrotermal, que lo constituye como “Blanco” para una exploración.
- Los resultados de la geoquímica de rocas muestra que la anomalía por oro es débil, y ésta anomalía no muestra una correlación alguna con los otros elementos analizados.
- Estructuralmente los cuerpos intrusivos tonalíticos se disponen de manera más bien sub horizontal, de esta misma forma la alteración y mineralización estarían dispuestos en profundidad.
- Se observa que las características del compartimiento estructural y los sistemas de mineralización del proyecto Los Hornos (zona de El Cura) se estaría extendiéndose en dirección Noroeste hacia las concesiones de MARSA, limitados por sistemas de fallas.



La información de los trabajos de campo y confirmada con estudios de secciones delgadas y pulidas, así como la opinión consensuada nacida del análisis de los resultados en conjunto con la Dra. Gladys Ocharan, presenta que los elementos de alteración y mineralización observados, son compatibles con un potencial prospectivo por oro que será confirmado en su intensidad solo con la ejecución de sondeos que entreguen información en profundidad.

Se recomienda lo siguiente:

(Ver informe: Proyecto los Hornos - Programa Técnico y Presupuesto 2007 – III etapa y Figura N° 4: Programa de Exploraciones 2007 – III ETAPA).

- Realizar un programa de 1700m. de sondeos de tipo diamantino cuyo objetivo es interceptar en profundidad los cuerpos mineralizados. (Ver Lamina N° 15: Plano de sondeos de exploración).
- En forma paralela al programa de sondeos se ha realizar la construcción de 1.5 Km. de cortes de trocha carrozable hacia las cotas mas altas de la zona de El Cura (hacia el Noroeste), en ella se realizaran un cartografiado litológico, estructural y de alteraciones complementando con sus respectivos muestreos, el objetivo de estos trabajos es determinar la continuación de alteración y mineralización.

PROYECTO LOS HORNOS

PROGRAMA DE EXPLORACIONES 2007 III ETAPA

SONDEOS DE EXPLORACION	COORDENADAS		ALTITUD DEL COLLAR m.s.n.m.	AZIMUT	INCLINACION	LONGITUD PROGRAMADA	
	NORTE	ESTE					
LH-02	9101848	238408	2968	155°	-67	600 m.	PRIORIDAD 1
LH-03				155°	-90	700 m.	PRIORIDAD 2
LH-01				155°	-45	400 m.	PRIORIDAD 3
TOTAL		1700 m.					

Total de muestras de sondeos	1700 muestras
Registro geologico y muestreos de sondeos	

Construccion de trocha carrozable	1.5 Km.
Total de muestras de trocha carrozable	300 muestras
Mapeo litologico - estructural, de alteraciones y muestreo de trocha carrozable	

Figura N° 4 : Programa de Exploraciones 2007 - III ETAPA

VI. REFERENCIAS

J. Wilson, L. Reyes, J. Garayar (Boletín No.16 - 1967): Geología de los Cuadrángulos de Pallasca, Tayambamba, Carhuaz y Huari - INGEMMET.

Villena Calienes L., Aronés Ore Y., Canales Cosme H, Gálvez Carrillo H.(Septiembre 2004):Proyecto aurífero "Los Hornos" (I etapa de exploración).

Aronés Ore Y., Canales Cosme H, Gálvez Carrillo H.(Enero-2006): Proyecto los Hornos - II etapa – Programa Técnico y Presupuesto 2006.

J. Campbel, T. Setterfield, H. Adrew D. (Enero 2006): Informe para Cascadia Internacional Resources Inc. sobre el Proyecto Los Hornos y El Cura - Merendon de Peru S.A.

Aronés Ore Y. (Febrero 2006): Proyecto Los Hornos - sustentación 2006.

Ocharan Velásquez G. (Septiembre 2006): Estudio petrográfico - mineragráfico de nueve muestras.

Ocharan Velásquez G. (Noviembre 2006) : Estudio petrográfico - mineragráfico de siete muestras.

Aronés Ore Y., Gálvez Carrillo H., Canales Cosme H. (Noviembre 2006): Proyecto los Hornos III etapa – Programa Técnico y Presupuesto 2007.

Ambiente Epitermal: La mineralización ocurrió dentro de 1 a 2 Km (ambientes de poca profundidad), con presiones moderadas, de temperaturas entre 50° C 200° C.

Aplitas: diques de cuarzo – feldespatos de textura equigranular.

Ambiente Mesothermal: La mineralización ocurre en ambientes de profundidades intermedias, con presiones altas, de temperaturas entre 200°C a 500° C.

Autobrecha: Es la fragmentación y/o rotura formadas por presiones o movimientos de masas que permanecen relativamente en el mismo sitio (insitu), se caracteriza por estar formado mayormente por fragmentos angulosos de diversos tamaños o naturaleza que están unidas por una matriz de grano fino.

Batolito: es un cuerpo o plutón (roca magmática) expuesta por la erosión mayores a 100 Km².

Correlación (r): Es la fuerza de asociación existente entre 02 variables o elementos.

$r=1$ Perfecta

$r \leq 0.9 - r < 1$ Excelente

$r \leq 0.8 - r < 0.9$ Bueno

$r \leq 0.5 - r < 0.8$ Regular

$r < 0.5$ Mala

Compartimiento estructural: caja, configuración geométrica que determina el alojamiento de un depósito.

Craquelado: es la rotura que se mantiene insitu (en el mismo sitio) sin rotación de sus componentes fracturados ya sea por presiones.

Dique: es una masa intrusiva que se emplaza en forma cortante a través de un cuerpo y/o en forma discordante a una estructura.

Falla: es una fractura frágil a lo largo de la cual ha ocurrido un desplazamiento.

Pervasivo: es la alteración penetrativa en la roca, es aquella roca que esta completamente alterada.

Textura Hipidiomorfica: roca conformada por una mezcla de cristales euhedrales, subhedrales y anhedrales.

Textura Holocristalina: roca totalmente cristalizada.

Textura Porfiritica: aquella textura donde se presenta cristales de mayor tamaño rodeado de una masa de cristales de menor tamaño.

Zonas de cizalla: es un volumen de roca deformado por esfuerzos de cizalla y limitado por rocas que no sufrieron deformación, esta zona corresponde a una zona de deformación generada bajo condiciones dúctiles a dúctiles frágiles, y su fracturamiento es a manera de sigmoides y oblicuo a partir de una zona principal de ruptura; pueden llegar a tener dimensiones microscópicas hasta kilométricas.

Stockwork: vetillas entrecruzadas que interceptan toda la roca, producto de las presiones de fluidos hidrotermales.

FOTOGRAFIAS



MERENDON DE PERU S.A.

DEPARTAMENTO DE EXPLORACIONES GEOLOGICO MINERAS



FOTO N° 1 – ZONA MURCIELAGO: Vista panorámica hacia el Norte de la zona Murciélago donde se observan granodioritas craqueladas, hacia el Cerro Bronce Ragra metamórficos del Complejo Marañón.



MERENDON DE PERU S.A.

DEPARTAMENTO DE EXPLORACIONES GEOLOGICO MINERAS



FOTO N° 2: ME – 269: Diorita Cuarcifera, con marcada alteración potásica; moderada sericitización, silicificación y argilitización; ligera cloritización, carbonatación, epidotización y oxidación. Hematita (hm) formada a expensas de la magnetita (mt); con trazas de pirita diseminada que no superan las 20 micras, sus bordes han sido reemplazados localmente por trazas de hematita. Partículas libres de oro (Au) que no superan las 10 micras, en fina diseminación.



MERENDON DE PERU S.A.

DEPARTAMENTO DE EXPLORACIONES GEOLOGICO MINERAS



FOTO N° 3: ME – 277: Granodiorita, con marcada sericitización; moderada argilitización, silicificación; ligera oxidación. Trazas de magnetita (mt) en fina dissemination. Trazas de hematita (hm) y goethita rodean a escasas formas anhedral de magnetita. Trazas de fina dissemination de rutilo que no exceden las 5 micras.



MERENDON DE PERU S.A.

DEPARTAMENTO DE EXPLORACIONES GEOLOGICO MINERAS

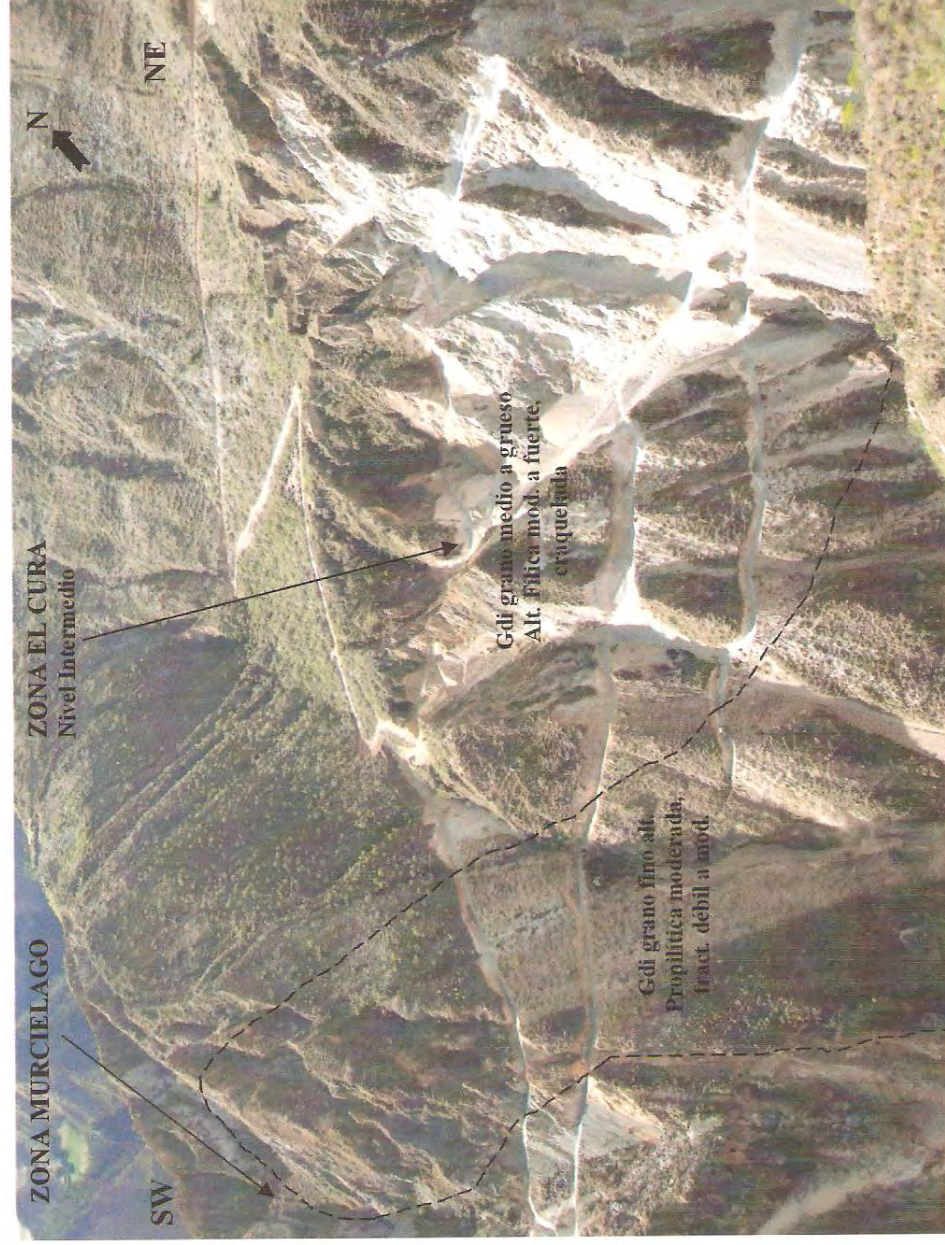


FOTO N° 4 – ZONA EL CURA: Granodiorita fanerítica fina emplazada en granodiorita fanerítica media a gruesa.



MERENDON DE PERU S.A.

DEPARTAMENTO DE EXPLORACIONES GEOLOGICO MINERAS

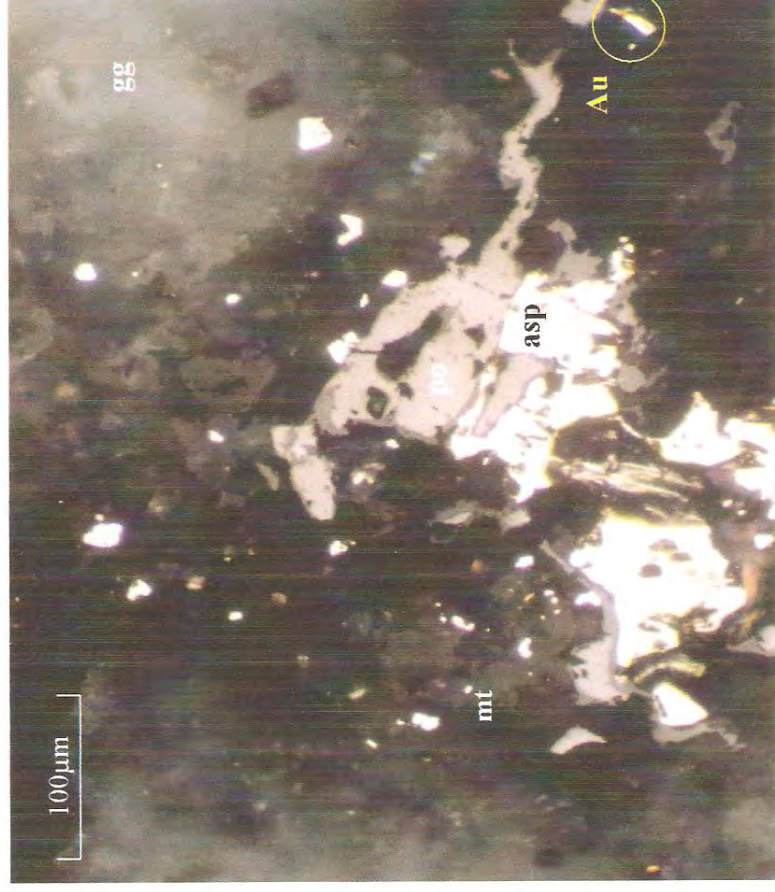
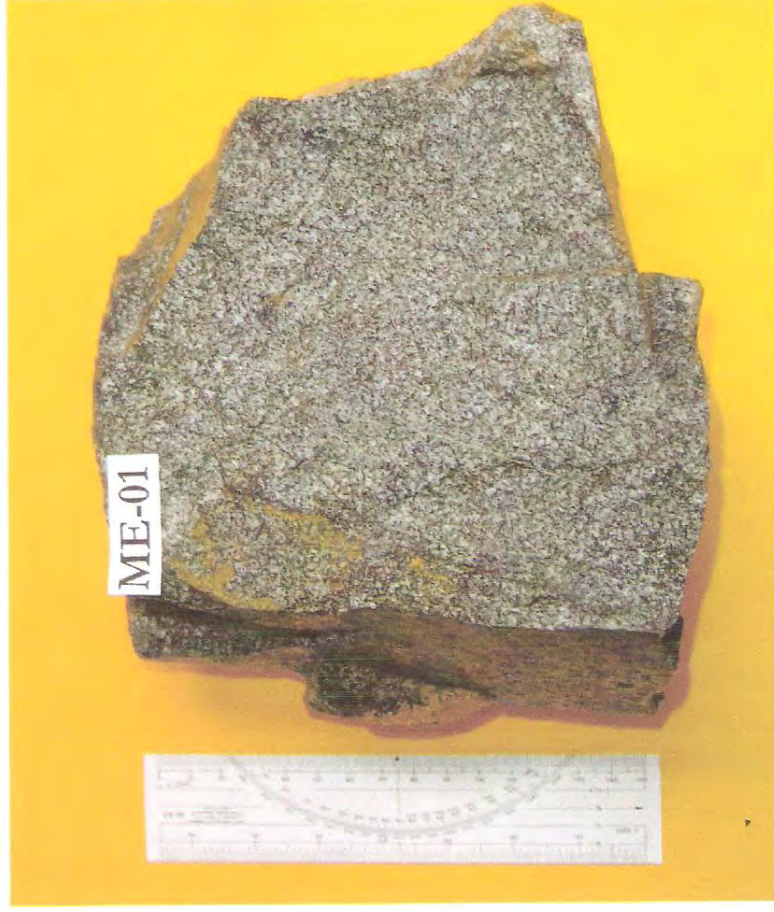


FOTO N° 5: ME -01, Granodiorita Fanerítica Fina: Moderada sericitización; ligera argilitización, silicificación, epidotización, carbonatación, cloritización y oxidación. Moderada mineralización de arsenopirita (asp), pirita, pirrotita (po), magnetita en fina diseminación, con algunos bordes ligeramente oxidados (hematita), trazas de oro nativo.



MERENDON DE PERU S.A.

DEPARTAMENTO DE EXPLORACIONES GEOLOGICO MINERAS

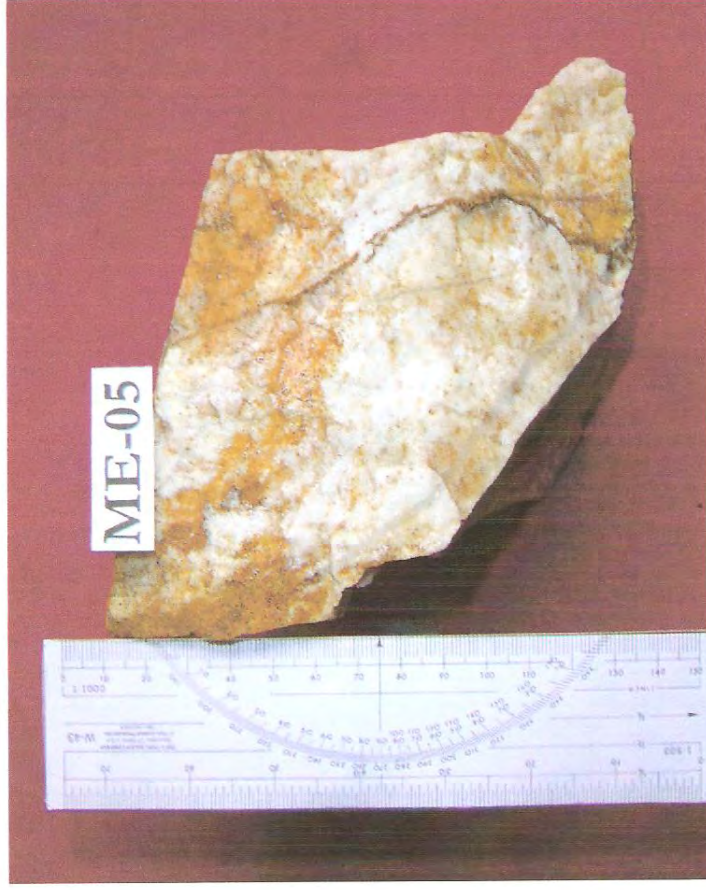


FOTO N° 6: ME – 05: Granito, con moderada argilitización, ligera sericitización, silicificación y oxidación. Relleno hidrotermal con cuarzo y trazas de oro que no exceden de las 15 micras. Rutilo y hematita (hm) en fina dissemination, a veces asociada a pequeñas partículas anhedrales de carbón.



MERENDON DE PERU S.A.

DEPARTAMENTO DE EXPLORACIONES GEOLOGICO MINERAS

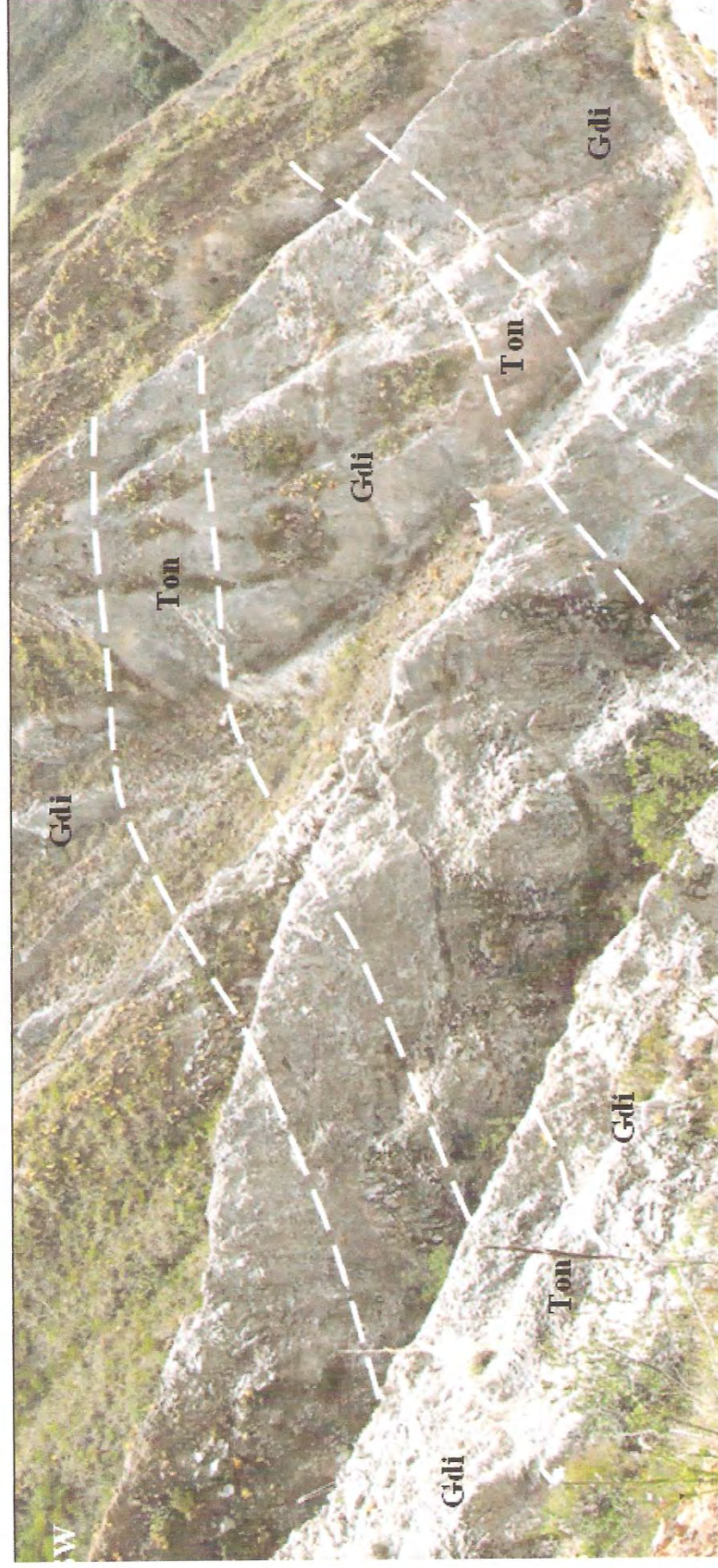


FOTO N° 7 – ZONA EL CURA: Intrusiones tonalíticas emplazadas en rocas granodioritas.



MERENDON DE PERU S.A.

DEPARTAMENTO DE EXPLORACIONES GEOLOGICO MINERAS



FOTO N° 8: ME – 03: Tonalita Porfírica (con xenolitos de diorita): Moderada alteración potásica, sericitización, cloritización y silicificación; ligera epidotización, carbonatación, argilitización y oxidación. Hematita y goethita en fina diseminación; trazas de ilmenita, rutilo y leucoxeno. Muy escasas trazas de oro libre de no más de 10 micras, asociado al cuarzo.



MERENDON DE PERU S.A.

DEPARTAMENTO DE EXPLORACIONES GEOLOGICO MINERAS

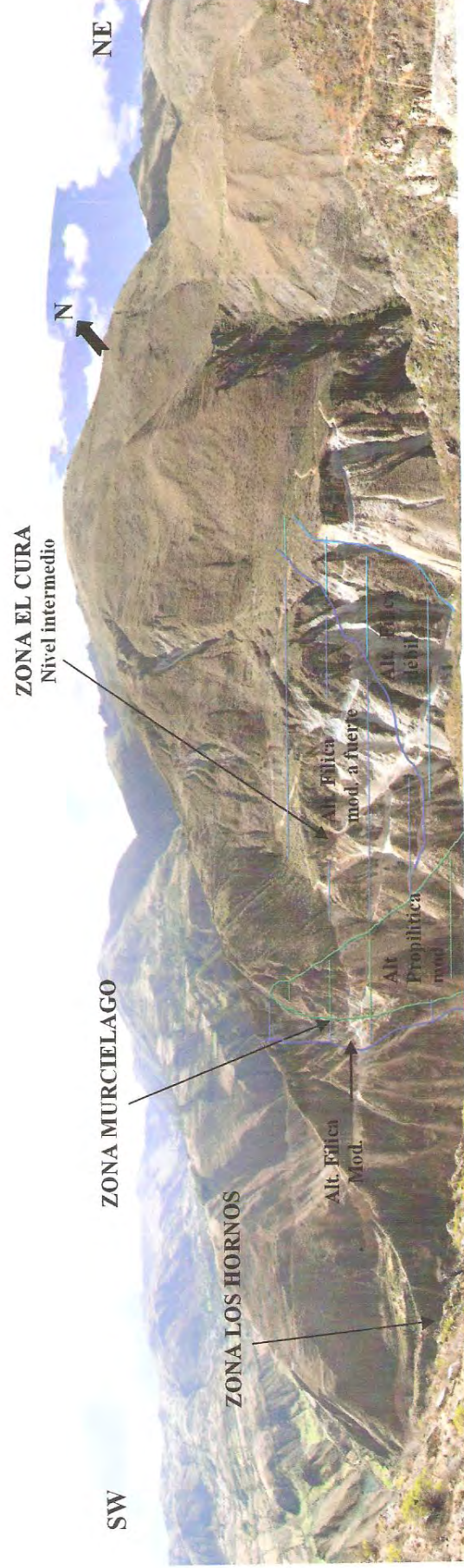


FOTO N° 9 – PROYECTO LOS HORNOS: Vista panorámica del proyecto donde se aprecian las alteraciones hidrotermales abiertas al NW.



MERENDON DE PERU S.A.

DEPARTAMENTO DE EXPLORACIONES GEOLOGICO MINERAS

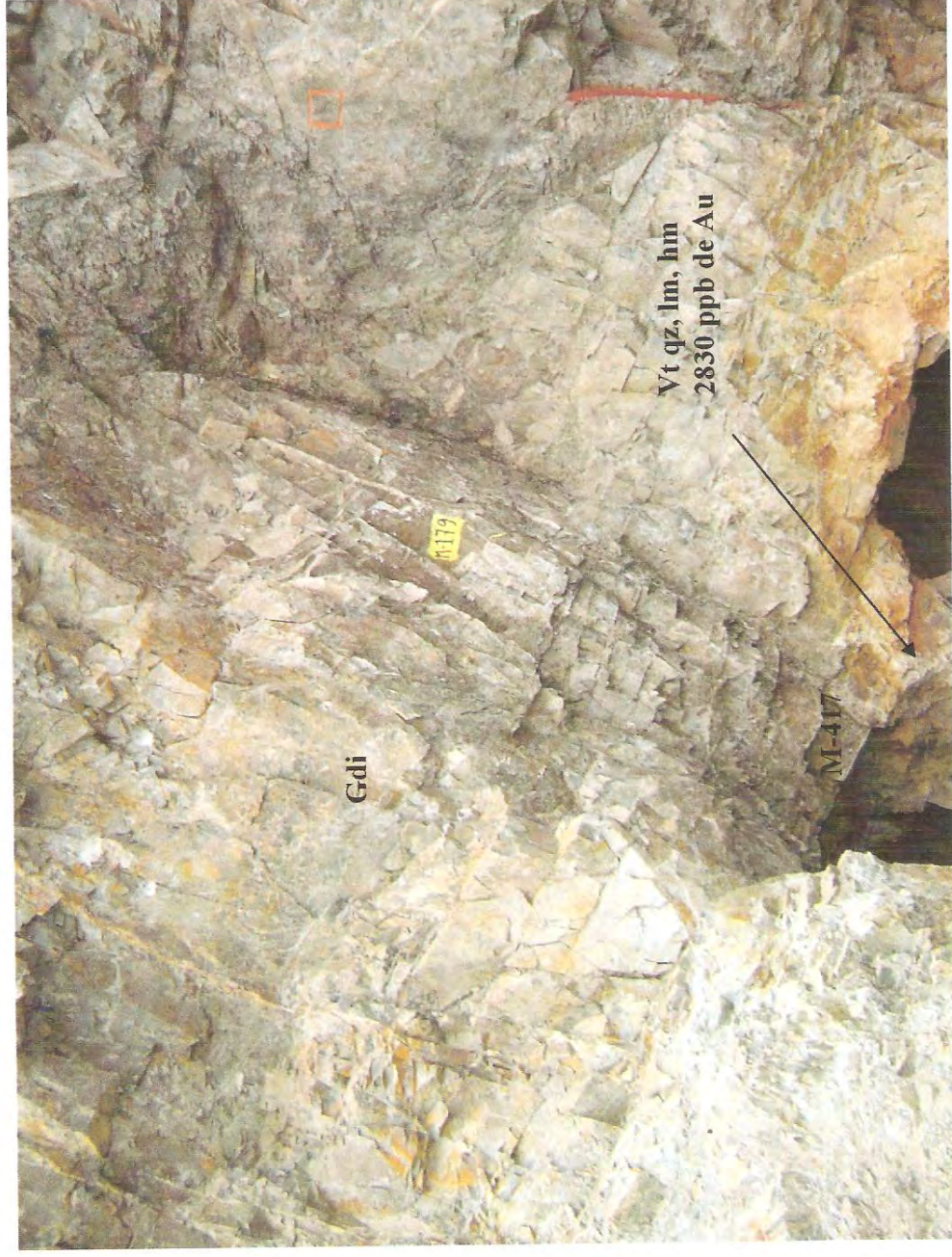


FOTO N° 10 – ZONA MURCIELAGO: M-179 (1,300 ppb de Au) Alteración propilítica, vetillas de cuarzo, lm 1% en granodioritas con fracturamiento moderado. En la parte inferior M-147 (2,836ppb Au): veta de cuarzo, lm 6%, hm 4% rellenando fracturas, potencia 0.10m rumbo N160°/24°NE. Cateo antiguo.



MERENDON DE PERU S.A.

DEPARTAMENTO DE EXPLORACIONES GEOLOGICO MINERAS

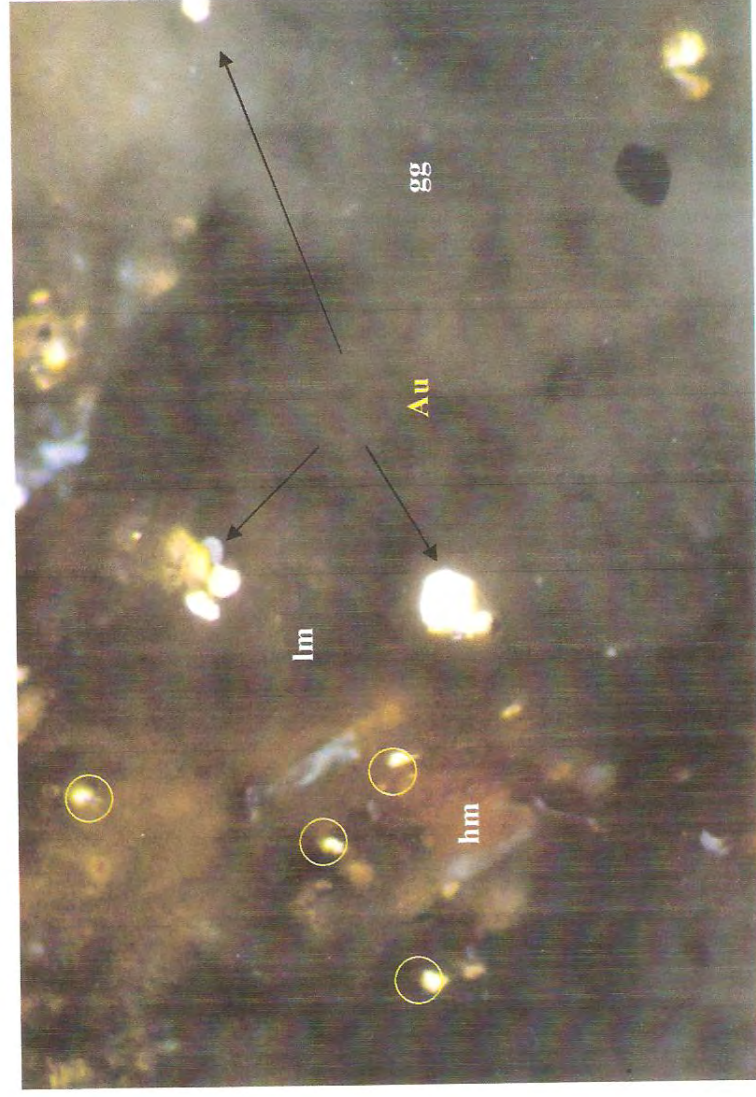


FOTO N° 11 – ZONA MURCIELAGO: Sección pulida M-06 (M-417 2830 ppb de Au), partículas de Au libre diseminadas en cuarzo de relleno hidrotermal.



MERENDON DE PERU S.A.

DEPARTAMENTO DE EXPLORACIONES GEOLOGICO MINERAS



FOTO N° 12 – ZONA EL CURA: M - 569 (1,120 ppb de Au) Tonalita porfirítica con buzamiento 30° NW, fuerte fracturamiento, limonitas 2% en fracturas, en contacto con granodioritas craqueladas a brechadas con alteración filica.



MERENDON DE PERU S.A.

DEPARTAMENTO DE EXPLORACIONES GEOLOGICO MINERAS

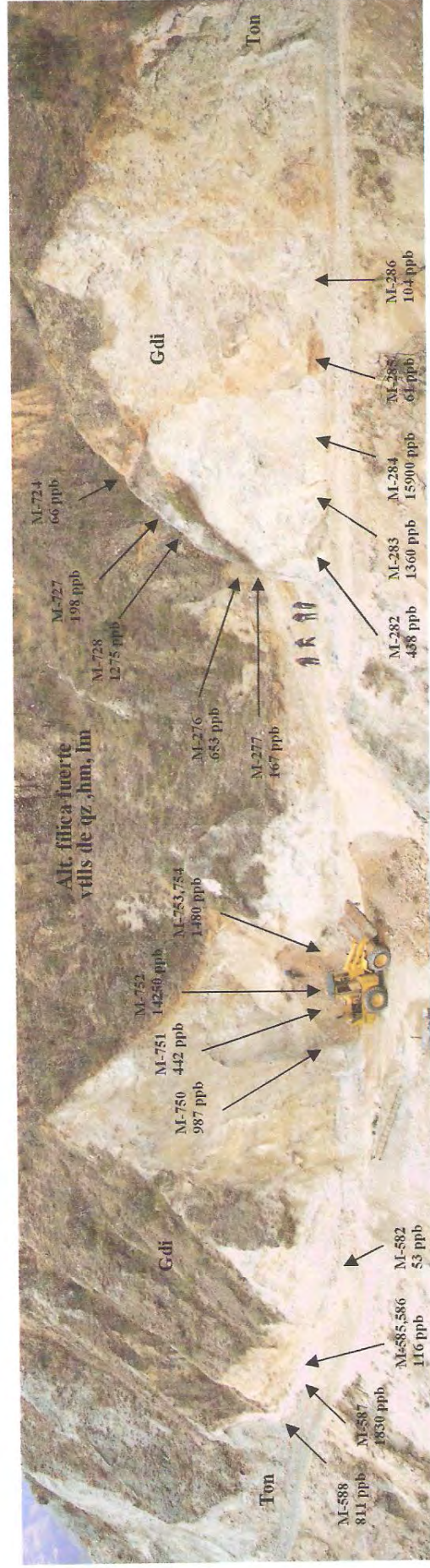


FOTO N° 13 – ZONA EL CURA: Nivel intermedio de El Cura, zona anómala por Au, con fuerte alteración filica y vetilleos poli direccionales de cuarzo, hematita y limonitas, en granodioritas brechada a craquelada, limitada por tonalitas.



MERENDON DE PERU S.A.

DEPARTAMENTO DE EXPLORACIONES GEOLOGICO MINERAS



FOTO N° 14 - ZONA EL CURA: M - 578 (576 ppb de Au) vetillas entrecruzadas de cuarzo con py oxidada 1% en granodiorita, con alteración filica fuerte, lm 1% en fracturas.



MERENDON DE PERU S.A.

DEPARTAMENTO DE EXPLORACIONES GEOLOGICO MINERAS



FOTO N° 15 – ZONA EL CURA: M-283 (1,360 ppb de Au) fuerte alteración filica, vetillas de cuarzo y 8% en granodiorita brechada a craquelada.



MERENDON DE PERU S.A.

DEPARTAMENTO DE EXPLORACIONES GEOLOGICO MINERAS



FOTO N° 16 - ZONA EL CURA: M - 752 (14,250ppb de Au) fuerte alteración filica, vetillas de cuarzo y lm 10% en granodioritas, brechada a craquelada.



MERENDON DE PERU S.A.

DEPARTAMENTO DE EXPLORACIONES GEOLOGICO MINERAS

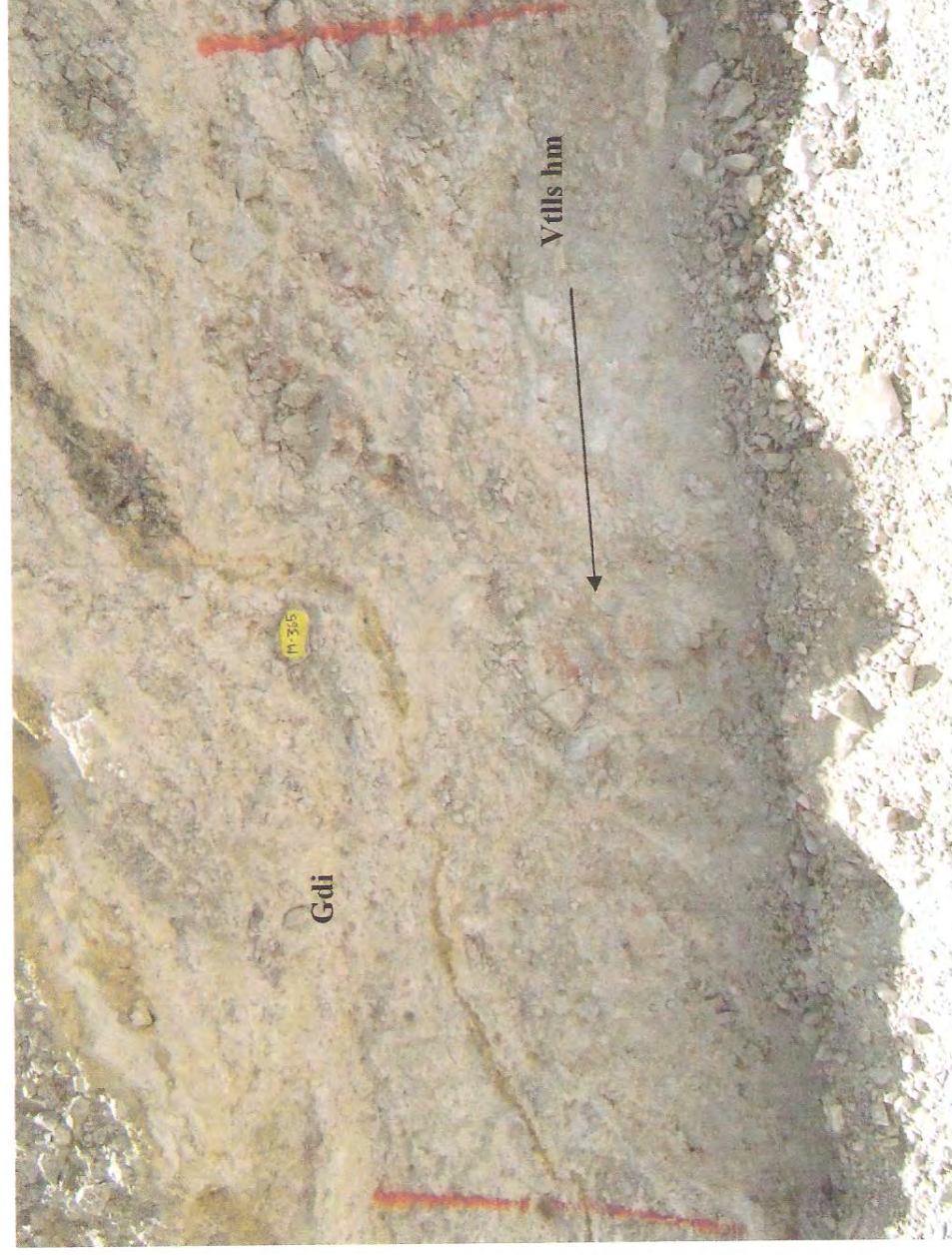


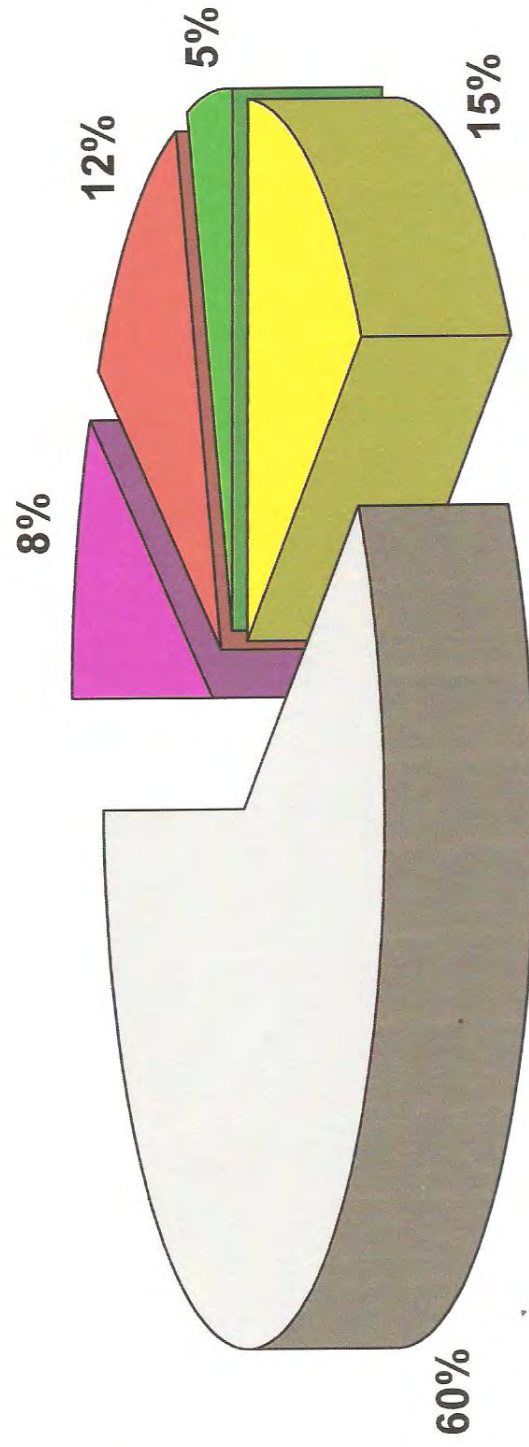
FOTO N° 17 - ZONA EL CURA: M-365 (170 ppb de Au) vetillas milimétricas irregulares con hm 2% en granodiorita craquelada, con alteración filíca moderada.



MERENDON DE PERU S.A.
DEPARTAMENTO DE EXPLORACIONES GEOLOGICO MINERAS



MUESTRAS DE ORIENTACION - Au (ppb)



Rango Geoquímico

- > 1000 ppb
- 101 - 1000 ppb
- 51 - 100 ppb
- 10 - 50 ppb
- < 10 ppb

Población Total : 59 muestras

TABLA DE MUESTREO DE ORIENTACION

PROYECTO LOS HORNOS - II ETAPA

Muestra N°	COORDENADAS		ALTITUD (msnm)	Tipo	Largo (m)	Ancho (m)	N° Fract	N° Vtills	MINERALIZACIÓN			ALTERACIÓN				ROCA		OBSERVACIONES	Au (ppb)				
	Este	Norte							% Total	% V	% D	Py	% Ox.	Sil.	Ser.	Arg.	Fil.			Ppz.	% Sup	Nombre	Có.
Galería Rampa																							
M-401	238.252.34	9.101.440.25	2.910.50	ccc	0.60		--	--	3		1	2	3	1	--	2	--	Gr	++	Caja piso. Im (pa) y relleno de fract. ox Cu (ve) puntual, py puntos diss oxidados. Caja techo Gdl(ve) sb +- y Feng dtz 25% Vt. Oz (tbl) fract. Im (pa) relleno de fract. 25% frag de Gdl (ve) sz con la mtz			
M-402	238.254.49	9.101.440.39	2.910.50	ccc	0.15		--	--	7-8									Gr	++	Caja techo de Falla. Im (pa) en fract y pnz (tbl) en zonas puntuales			
M-403	238.264.99	9.101.443.71	2.911.10	pch	2.00	1.00	--	--	10		3	1	--	2	--			Gr	++	Vt-Falla. caja techo, py diss oxidadas. Im (pa) relleno de fract. mfract y en mtz			
M-404	238.274.96	9.101.439.30	2.912.96	ccc	0.45		--	--	14			2	10-12	3	1	--	2	--	Gr	++	Im (pa) en fract y mfract, py oxidada diss		
M-405	238.280.30	9.101.439.37	2.912.96	pch	2.00	1.00	30	--	11			1	10	3	1	--	2	--	Gr	++			
Galería Murcielago																							
M-406	238.372.31	9.101.431.47	2.832.40	ccc	0.70		--	--	5		3	1	--	2	--			Gr	++	Falla con sus cajas (techo y piso). Im (pa) en fract y mfract, tope de labor			
M-407	238.382.15	9.101.433.38	2.833.05	ccc	1.10		30	--	5		3	1	--	2	--			Gr	++	Falla con sus cajas (techo y piso). Im (pa) en fract y peq oquedades			
M-408	238.391.97	9.101.435.58	2.832.90	ccc	1.20		25	--	8		3	1	--	2	--			Gr	++	Falla con sus cajas (techo y piso). Im (pa) en fract y mfract			
M-409	238.401.87	9.101.436.11	2.832.80	ccc	0.80		30	--	10		3	1	--	2	--			Gr	++	Falla con sus cajas (techo y piso). Im (pa) en fract. silice (gr) 20% dentro de una mtz silicea blanca			
M-410	238.411.39	9.101.436.67	2.832.64	ccc	1.40		25	--	8-9			3	1	--	2	--		Gr	++	Im (pa) en fract. silice (gr) 20% dentro de una mtz silicea (bl)			
M-411	238.424.03	9.101.437.49	2.832.47	ccc	1.00		35	--	8-10		3	1	--	2	--			Gr	++	Falla y su caja piso. Im (pa) en fract. mfract y peq oquedades. alg vnlis mm de silice (tbl)			
M-412	238.436.99	9.101.430.94	2.832.40	ccc	1.80		20	--	17		3	1	--	2	--			Gr	++	Vt. mtz de silice y Oz (tbl) fract. relleno por Im (pa) 7% y ox Fe (roj) 10%. peq bolsionada se angosta a los lados			
M-413	238.425.23	9.101.430.82	2.833.10	ccc	0.20		15	--	15		3	1	--	2	--			Gr	++	Vt-Falla. mtz de silice y Oz (tbl) fract. relleno por Im (pa) 12% y ox Fe (roj) 3%			
Cruceiro 564																							
M-414	238.461.94	9.101.455.62	2.762.50	ccc	1.30		20	--	1		2.5	1	--	2	--			Gr	++	Im (pa) en fract. clts 7% diss y en alg mvlis			
M-415	238.465.35	9.101.456.16	2.762.50	ccc	1.00		20	--	2		2	1	--	2	--			Gdl	++	Vt. Oz (tbl) fract. contactos tallados. cajas de grano fino-med (ve). Feng dtz 20%. alg xenos de 2 a 15cm de Oz (bl) y Im (pa)			
M-416	238.500.37	9.101.452.86	2.762.50	pch	2.00	1.00	15	--	2.5						2	0.5	--	2	--	Gdl	++	Grano fino (ve). Feng dtz 25%. py fina diss. en mvlis y relleno de alg fract. alg vnlis mm de silice (bl) y Im (pa)	
Superficie																							
M-417	238.349.34	9.101.460.11	2.900.52	ccc	0.10		30	5	1	100			1	--	--	--	2	--	Gdl	++	Grano fino (ve). Feng dtz 20%. Im (pa) en fract		
M-418	238.658.25	9.101.739.76	2.875.27	ccc	1.50	0.30	70	1	1	100			1	3	1	1	2	--	Gdl	++	Clts <1% diss. Im (pa) en fract		
M-419	238.212.84	9.101.412.82	2.956.14	pch	1.10	1.40	B-C	--	2				2	3	1	1	2	--	Gr	++	Py cubica oxid puntual. Im (pa) en fract. mfract y peq oquedades		
M-420	238.213.73	9.101.412.82	2.954.65	pch	1.80	1.00	60	--	3				3	1.5	0.5	1	--	--	Gr	++	Clts 2% diss y alg pathas. Im (pa) y ox Fe (roj) 1% en fract		
M-421	238.204.15	9.101.410.32	2.963.69	pch	1.50	0.80	50	--	1				1	3	0.5	0.5	2	--	Gr	++	Py cubica oxid puntual. Im (pa) en fract y mfract		
M-422	238.179.46	9.101.413.01	2.978.01	pch	2.00	0.80	65	--	3	100			3	2.5	0.5	--	2	--	Gdl	++	Clts 1-2% mvlis. pathas y diss. ep <1% mvlis. ox Fe (roj) y Im (pa) 1% en fract		
M-423	238.164.00	9.101.468.72	2.981.55	pch	1.20	0.60	65	13	6-7	100			6-7	2	0.5	--	2	--	Gdl	++	Clts 2% mvlis. pathas y diss. ep <1% mvlis. Im (pa) y ox Fe (roj) 1% en fract. En partes apariencia bx silicea con Im (pa)		
M-424	238.164.25	9.101.503.99	2.990.45	pch	1.70	1.00	60	26	7	100			0.5	6-7	2.5	0.5	0.5	2	--	Gdl	++	Clts 1-2% mvlis. pathas y diss. py <1% diss cubica oxid. Im (pa) y ox Fe (roj) 1% en fract	
M-425	238.173.13	9.101.514.21	2.969.54	pch	2.20	0.80	B-C	--	4				4	2.5	1	1	2	--	Gdl	++	Clts <1% diss. Im (pa) en fract		
M-426	238.175.14	9.101.531.23	3.002.14	ccc	0.15		20	1	3	100			3	2.5	1	1	2	--	Gdl	++	Clts <1% diss. Im (pa) en fract		
M-427	238.214.51	9.101.457.10	2.951.68	pch	1.30	0.70	30	--	3-4				3-4	3	0.5	--	2	--	Gr	++	Im (pa) en fract. mfract y peq oquedades		
M-428	238.268.09	9.101.453.17	2.932.78	ccc	0.30		30	--	15-20		3	0.5	--	2	--			Gr	++	Py diss oxid. ox Fe (roj) en fract. aparentando estructura			
M-429	238.169.67	9.101.570.44	3.040.91	ccc	0.60		45	--	7				1	6	2	1	0.5	2	--	Gdl	++	Clts 1% diss. alg serzt. py diss oxid. alg cubicas. Im (pa) en fract	
M-430	238.133.12	9.101.635.20	3.078.45	pch	0.80	0.80	25	7	1.5	100			1	0.5	2	0.5	0.5	2	--	Gdl	++	Clts 2% diss. py diss oxid. alg vnlis lenticulares Oz (tbl). Im (pa) en fract	
M-431	238.138.93	9.101.634.64	3.073.34	pch	1.10	0.90	40	5	2	100			1	1-2	2.5	1	0.5	2	--	Gr	++	Clts 1-2% diss y alg pathas. py diss oxid. Im (pa) en fract	
M-432	238.132.08	9.101.651.53	3.081.43	pch	1.70	0.70	45	5	1	100			0.5	0.5	2.5	1	0.5	2	--	Gdl	++	2% diss. alg serzt. py diss oxid. Im (pa) en fract	
M-433	238.123.67	9.101.668.23	3.060.80	pch	1.40	0.80	Bx	--	1				1	1	1	1	1	--	Gdl	++	Clts 4-5% diss. Im (pa) y ox Fe (roj) en fract y miz		
M-434	238.177.77	9.101.571.08	3.040.95	pch	1.20	1.00	15	14	3	100			1	2-3	3	0.5	--	2	--	Gdl	++	Clts <1% pathas. py diss oxid. ox Fe (roj) y Im (pa) en fract	
M-435	238.193.45	9.101.574.02	3.038.41	ccc	0.15		35	16	1.5	100			0.5	1	--	--	--	And	++	And microgranular			
M-436	238.219.84	9.101.575.45	3.025.43	pch	1.40	0.70	Bx	--	1-2				1-2	2	1	1	2	--	Gdl	++	Clts 2% diss y pathas. Im (pa) en fract y miz		
M-437	238.247.49	9.101.526.19	2.994.75	pch	1.30	0.40	20	8	1.5	100			0.5	1	2	1	--	Gdl	++	Clts 2% diss. alg serzt. py diss oxid. Im (pa) en fract			
M-438	238.282.63	9.101.434.65	2.914.12	pch	1.40	0.35	40	--	3.5				0.5	3	3	0.5	--	2	--	Gr	++	Py diss oxid. Im (pa) en fract. mfract y peq oquedades	
M-439	238.518.02	9.101.537.69	2.826.55	ccc	0.15		30	--	4				0.5	4	--	--	--	2	--	Gdl	++	Grano fino (ve). Feng dtz 20%. ep 3% mvlis. Im (pa) y ox Fe (roj) en fract	
M-440	238.486.58	9.101.527.31	2.834.21	ccc	0.20		40	--	4				1	3-4	--	--	--	2	10	--	Gdl	++	Grano fino (ve). Feng dtz 20%. Im (pa-ma) en fract
M-441	238.598.23	9.101.642.24	2.829.18	ccc	2.10		55	6	2-3	100			1	2-3	2.5	1	0.5	2	--	Gdl	++	Clts <1% diss. Im (pa) y Im (roj) en fract	
M-442	238.597.46	9.101.638.08	2.829.65	ccc	0.90		50	17	3	100			3	2.5	1	0.5	2	--	Gdl	++	Clts 2% mvlis y diss. Im (pa) en fract		
M-443	238.593.88	9.101.640.04	2.835.42	ccc	0.38		60	6	1	100			1	2.5	1	0.5	2	--	Gdl	++	Clts 2% diss y mvlis. Im (pa) en fract		
M-444	238.171.98	9.102.125.23	3.168.74	ccc	1.20	0.40	Bx	4	5	100			5	5			--	--	Gdl	++	VtEs Rb-E.W. Oz hasta 3cms.04 vllis. cajas serilicica. oximipar ro). cristales prismaticos en oquedades. p/5% gm 5% esf		
M-445	238.121.86	9.101.685.52	3.074.50	ccc	1.30	0.40	B-C	1		100					1	1	--	--	Gdl	++	VtE N270/60S Oz (tbl). oximipar ro) 0.3% en fracturas potencia de hasta 2cms. cajas qz-serilica. muestra de corona de ca		
M-446	238.609.53	9.101.721.85	2.848.84	ccc	1.50		45	2	6	100			6	2	1	--	2	--	Gdl	++	Clts 1% diss. Im (pa) y ox Fe (roj) 2% en fract		
M-447	238.610.41	9.101.720.96	2.847.89	ccc	1.40		55	--	3-4				3-4	2	1	--	2	--	Gdl	++	Clts 1% diss. Im (pa) en fract		
M-448	238.689.13	9.101.770.90	2.890.05	ccc	0.18		--	--	2				0.5	1-2	--	0.5	--	1	--	Gr	++	Grano grueso (ve). cortes basales de xis Oz. clts diss	
M-449	238.688.58	9.101.770.64	2.890.25	ccc	0.90		15	9	3	100			0.5	2-3	--	0.5	--	1	--	Gr	++	Grano grueso (ve). cortes basales de xis Oz. clts diss. Im (pa) en fract	
M-450	238.688.84	9.101.768.55	2.879.77	ccc	1.55		65	7	2	100			0.5	1-2	2	1.5	1	2	--	Gdl	++	Py cubica diss oxid. Im (pa) en fract	
M-451	238.688.68	9.101.765.81	2.878.87	ccc	0.30		40	--	2				0.5	1-2	2.5	1	--	2	--	Gdl	++	Clts <1% diss. py cubica oxid puntual. Im (pa) en fract	
M-452	238.523.11	9.101.427.80	2.766.00	ccc	1.00	0.40	15	--	2	100				2	3		2	--	Gdl	++	VtEa Oz (tbl). Rb N265667N. potencia 1.0m. oximipar an)2% en fracturas. cajas fuerte proplitizacion		



MERENDON DE PERU S.A.
DEPARTAMENTO DE EXPLORACIONES GEOLOGICO MINERAS



TABLA DE MUESTREO DE ORIENTACION

PROYECTO LOS HORNOS - II ETAPA

Muestra N°	COORDENADAS		ALTITUD (msnm)	Tipo	Largo (m)	Ancho (m)	N° Fract	N° Vitr	MINERALIZACIÓN				ALTERACIÓN				ROCA		OBSERVACIONES	Au (ppb)			
	Este	Norte							% Total	% V	% D	Py	% Ox.	Sil.	Ser.	Arg.	Fil.	Ppz.			% Sup	Nombre	Co.
M-453	238.502.83	9.101.419.42	2.773.00	ccc	1.00	0.40	20		2	100		2		3			2	--		Gdl	++	Veta Oz (bl), Rb N285/80S, potencia 1.0m., purtos py 2%	7
M-454	238.052.25	9.101.729.62	3.081.70	ccc	0.40	0.40	27		3	100			3				2	--		Veta Oz Rb N210/60NW oxlinpar an) 3%, celjas silicificadas moderadamente	113		
M-455	238.051.17	9.101.727.85	3.081.80	ccc	0.45	0.40	Crao		5	100			5	3	2		2	--		Veta Oz (bl). Rb N210/60NW, potencia aflorante 0.45m. Intpar an) 5% celjas silicificadas moderadamente	< 5		
M-456	238.053.71	9.101.729.75	3.081.80	ccc	3.00	0.40	20	5						3	2		2	--		Vitr Oz (bl) de hasta 1 cms. ox lin en fracturas, caja en granodioritas silicificado moderada	5		
M-457	238.388.28	9.101.412.84	2.863.00	ccc	1.40	0.40	20		5	100			5	3			2	--		Veta silicificada (bl), Rb N256/75S, potencia 0.55m., celjas granodiorita	51		
M-458	237.834.00	9.101.758.00	2.982.58	ccc	1.00	0.40								3			2	--		Veta Oz (bl) RbN38W/21NE, potencia 0.25m., oxlin(an) 5% en fracturas, en roca caja granodioritas	43		
M-459	238834.49	9101759.05	2882.50	ccc	1.00	0.40			3	100			3	3	2	2	2	--		Veta Rb N38W/21NE, potencia 0.20m., alteracion qz-sericita, oxlin(ro) 3%, panizo, en roca caja granodioritas en trinch	1.075		



MERENDON DE PERU S.A.
DEPARTAMENTO DE EXPLORACIONES GEOLOGICO MINERAS



TABLA ESTRUCTURAL DE MUESTREO DE ORIENTACION

PROYECTO LOS HORNOS - II ETAPA

Muestra N°	Tipo	Largo (m)	Ancho (m)	VETAS			VETILLAS			FALLAS			FRACTURAS			OBSERVACIONES
				Poten. (m)	Rumbo	Buz.	N° Total	De Primer orden		Poten. (m)	Rumbo	Buz.	N° Total	De Primer orden		
								N°	Buz.					N°	Buz.	
Galería Rampa																
M-401	ccc	0.60					--					--				Fract ++. Caja piso N145°/33°NE
M-402	ccc	0.15			NS	25° NE	--					--				Fract +++
M-403	pch	0.20	1.00				--	0.15			69° NE	--				Craq, Falla pnz (bl)
M-404	ccc	0.45			N 11°	33° SE	--	0.45		0.04	N 148°	--				Craq, Falla pnz (bl)
M-405	pch	2.00	1.00				--			0.03 - 0.04	N 11°	--			N 90°	42° S
Galería Murcielago																
M-406	ccc	0.70					--			0.02 - 0.04	N 84°	--				Craq, Falla pnz (bl)
M-407	ccc	1.10					--			0.04	N 75°	30	N 93°	84° SW	52° NW	Craq, Falla pnz (bl)
M-408	ccc	1.20					--			0.01	N 87°	25	N 69°	56° NW	85° SE	Craq, Falla pnz (bl)
M-409	ccc	0.80					--			0.02	N 95°	30	N 46°	83° NW	88° SW	Craq, Falla pnz (bl)
M-410	ccc	1.40					--					25	N 92°	88° SW	77° NE	Fract ++
M-411	ccc	1.00					--			0.03 - 0.10	N 90°	35	N 105°	39° SW	54° SE	Craq, Falla pnz (bl)
M-412	ccc	1.80			N 119°	43° NE	--					20	N 74°	54° SE	80° SE	Craq, Falla pnz (bl)
M-413	ccc	0.20			N 115°	58° NE	--					15	N 139°	46° NE	82° NW	Fract ++
Crucero 664																
M-414	ccc	1.30					--					20	N 122°	62° SW	84° SE	Fract ++
M-415	ccc	1.00			NS	29° E	--	0.07				20	N 51°	84° SE	56° SW	Fract ++
M-416	pch	2.00	1.00				--					15	N 123°	56° SW	76° NW	Fract ++
Superficie																
M-417	ccc	0.10			N 160°	24° NE	5	0.10				30	N 38°	76° NW	74° SW	Fract +
M-418	ccc	1.50	0.30				1					70	N 121°	74° SW	62° SW	Fract ++
M-419	pch	1.10	1.40		N 50°	65° NW	--	0.03 - 0.10				B-C	N 33°	72° SE	21° SE	Fract ++
M-420	pch	1.80	1.00				--					60	N 35°	38° SE	21° SE	Vt, Qz (bl), ser, óx 7% lm (pa) y óx Fe (ro) en fract y oquedades. Labor
M-421	pch	1.50	0.80				--					50	N 50°	84° SE	60° NW	Vtlls, pot 3cm, 1 cm, 1cm, Qz (bl), clts diss
M-422	pch	2.00	0.80				--					65	N 62°	56° NW	56° NW	Vtlls, pot mm, lm (pa)
M-423	pch	1.20	0.60				13					65	N 25°	38° SE	38° SE	Craq - Bx
M-424	pch	1.70	1.00				26					60	N 25°	38° SE	21° SE	Vtlls, pot mm, lm (pa)
M-425	pch	2.20	0.80				--					60	N 35°	38° SE	21° SE	Vtlls, pot mm, lm (pa)
M-426	ccc	0.15					1			0.02	N 330°	B-C	N 45°	68° SE	68° SE	Falla, pnz (bl-pa), cajas atq y lm (pa)
							1			0.15	N 161°	20	N 30°	68° SE	68° SE	Craq - Bx
							1						N 45°	68° SE	68° SE	Vtll, pot 0.3-1cm, lm (pa)



MERENDON DE PERU S.A.
DEPARTAMENTO DE EXPLORACIONES GEOLOGICO MINERAS



TABLA ESTRUCTURAL DE MUESTREO DE ORIENTACION

PROYECTO LOS HORNOS - II ETAPA

Muestra N°	Tipo	Largo (m)	Ancho (m)	VETAS		VETILLAS			FALLAS		FRACTURAS			OBSERVACIONES
				Poten. (m)	Rumbo	Buz.	N° Total	De Primer orden N°	Rumbo	Buz.	N° Total	De Primer orden N°	Rumbo	
														Bx-Falla, pnz (bl-pa), mvnlls lm (pa)
M-427	pch	1.30	0.70				--				30		N 358° 50° SW N 40° 50° NW	Fract ++
M-428	ccc	0.30		0.30	N 320°	58° NE	--				30		N 302° 60° NE N 314° 70° NE N 320° 58° NE N 305° 70° NE N 308° 75° NE N 310° 84° NE N 32° 43° NW N 30° 40° NW	Fract ++ Estructura, mvnlls óx Fe (roj)
M-429	ccc	0.60		0.30 - 0.35	N 101°	61° NE	--				45		N 57° SE N 55° 52° SE N 53° 65° SE N 111° 77° NE N 115° 73° NE N 205° 82° NW N 280° 50° SW	Fract ++ Vtlls, pot 0.7-1cm, Qz (bl), ox en contactos y peg oquedades
M-430	pch	0.80	0.80				7	7	N 53°	65° SE	25		N 57° SE N 55° 52° SE N 53° 65° SE N 111° 77° NE N 115° 73° NE N 205° 82° NW N 280° 50° SW	Fract ++ Vtlls, pot 0.7-1cm, Qz (bl), ox en contactos y peg oquedades
M-431	pch	1.10	0.90				5	5	N 290°	50° SW	40		N 205° 82° NW N 280° 50° SW	Fract +++ Vtlls, pot 2-4cm, Qz (bl) fract, ox en contactos y peg oquedades
M-432	pch	1.70	0.70				5	4	N 217° 72° NW N 245° 80° NW		45		N 217° 72° NW N 220° 77° NW N 220° 68° NW N 235° 75° NW N 275° 40° SW N 271° 46° SW	Fract +++ Vtlls, pot 0.3-0.7cm, Qz (bl) fract, ox en fract, cajas y caballos sertz Vtll, pot 2.5-5.5cm, Qz (bl) fract, ox en fract, cajas sertz
M-433	pch	1.40	0.80				--				Bx		N 271° 46° SW	Bx
M-434	pch	1.20	1.00				14	11	N 57° 76° NW N 225° 11° SE		15		N 57° 76° NW N 225° 11° SE	Fract + Vtlls, pot 0.3-4cm, 2.4cm, Qz (bl), py diss y ox en oquedades, cajas sertz
M-435	ccc	0.15		0.13 - 0.20	N 256°	86° SE	16	16	N 225° 84° SE		35		N 225° 84° SE	Fract ++, Vt, Qz (bl) fract, py diss oxid, lm (pa) en fract, caballos y cajas sertz, Vtlls, pot 0.2-2cm, Qz (bl), cajas sertz
M-436	pch	1.40	0.70				--				Bx			Bx
M-437	pch	1.30	0.40				8	4	N 285° 71° NW N 306° 14° SW		20		N 285° 71° NW N 306° 14° SW N 314° SV N 308° 80° SW	Fract + Vtlls, pot 0.8-1.5cm, Qz (bl), cajas sertz
M-438	pch	1.40	0.35				--				40		N 10° 79° SE N 30° 82° SE N 95° 57° NE N 98° 54° NE	Fract ++
M-439	ccc	0.15		0.08 - 0.15	N 95°	20° NE	--				30		N 98° 54° NE	Fract ++, Vt, Qz (bl) fract, py diss oxid, esp 1%, lm (pa) y ox Fe (roj) 1% en fract y peg oquedades; cajas sertz
M-440	ccc	0.20		0.15 - 0.22	N 310°	21° NE	--				40		N 305° 84° NE	Fract ++, Vt, Qz (bl), py diss oxid, alg cubicas, lm (pa) 3% y ox Fe (roj) en fract y peg oquedades; cajas y caballos sertz
M-441	ccc	2.10					6	6	N 305° 84° NE		55		N 305° 84° NE	Craq, Vtlls, pot 0.2-2cm, Silice (bl-gr)
M-442	ccc	0.90					17	15	N 83° 41° SE N 262° 64° NW		50		N 83° 41° SE N 262° 64° NW	Craq Vtlls, pot mm, lm (pa)
M-443	ccc	0.38					6	6	N 220° 68° NW		60		N 220° 68° NW	Craq, Vtlls, pot 0.2-0.6cm, silice (bl-gr)
													N 155° 52° SW	Fallas, pnz (bl-pa) vnl lm (pa) y pnz (bl-ve)



MERENDON DE PERU S.A.
DEPARTAMENTO DE EXPLORACIONES GEOLOGICO MINERAS

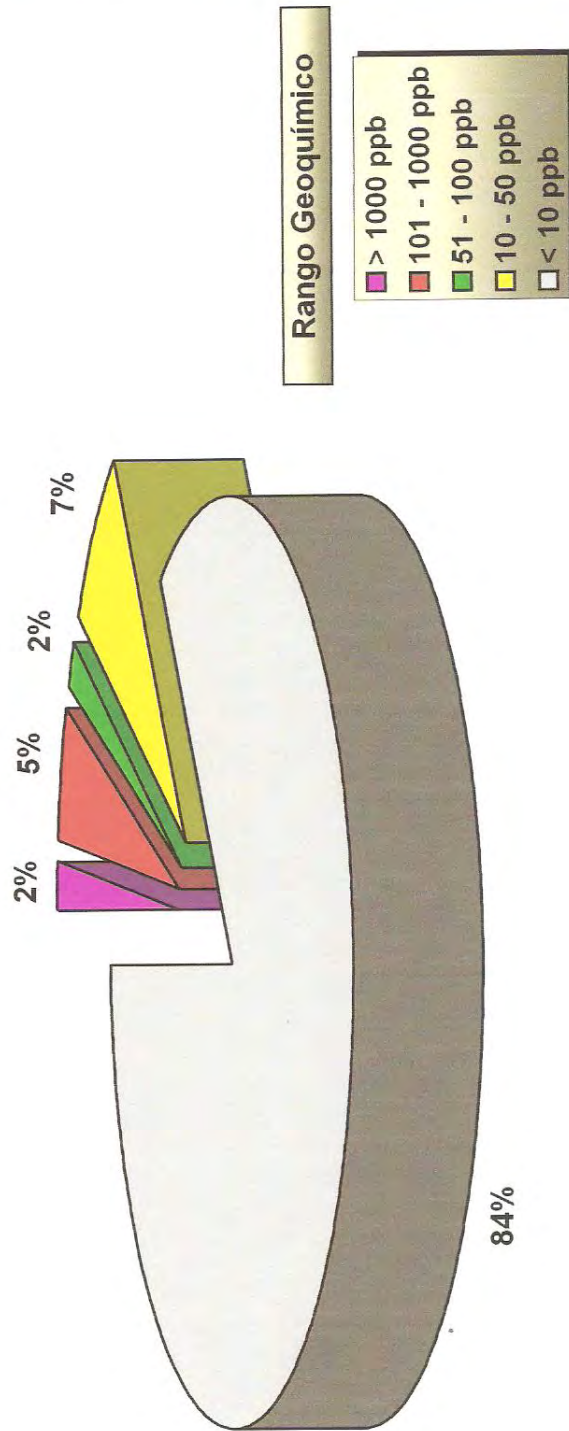


TABLA ESTRUCTURAL DE MUESTREO DE ORIENTACION

PROYECTO LOS HORNOS - II ETAPA

Muestra N°	Tipo	Largo (m)	Ancho (m)	VETAS			VETILLAS			FALLAS			FRACTURAS			OBSERVACIONES
				Poten. (m)	Rumbo	Buz.	N° Total	De Primer orden		Poten. (m)	Rumbo	Buz.	N° Total	De Primer orden		
								N°	Rumbo					N°	Rumbo	
M-444	ccc	1.20	0.40		N90		4						Bx			Vtlls Rb E-W, Qz hasta 3cms 04 vlls, cajas sericitica, oxim(par ro) cristales prismaticos en oquedades, py 5%, gn 5%, est 5%
M-445	ccc	1.30	0.40		N270	60 S	1						B-C			Vtll N270/60S Oz (bl), oxim(par ro) 03% en fracturas, potencia de hasta 2cms, cajas qz-sericitica, muestra de corona de cateo
M-446	ccc	1.50					2	1	N 55°	82° NW			45	N 60°	79° NW	Craq - Bx, Vtll, pot 0.5-1cm, Qz (bl), cajas con lm (pa) en fract y en oquedades
M-447	ccc	1.40					--			N 60°	79° NW			--	--	Vtll, pot 1-3cm, Qz (bl), lm (pa) y ox Fe (roj) en fract y cajas, cajas sil fuerte
M-448	ccc	0.18		0.12 - 0.15	N 265°	68° SE	--						--	--	--	Craq - Bx
M-449	ccc	0.90					9	7	N 275°	34° SW			15	N 275°	34° SW	Vt, Qz (bl) craq, py cubica diss oxid, lm (pa) en fract y oquedades; contactos falla, pnz (pa) 1-5cm
M-450	ccc	1.55		0.07 - 0.09	N 228°	74° SE	7	7	N 272°	76° SW				N 272°	76° SW	Fract +, Vtlls, pot 0.4-4cm, Qz (bl), py cubica oxid diss, lm (pa) en fract; cajas sertz
M-451	ccc	0.30		0.13 - 0.30	N 25°	47° NW	--			69° SE			65	--	--	Vtlls, pot 0.3-0.5cm, Qz (bl) fract, lm (pa) en fract; cajas sertz
M-452	ccc	1.00	0.40	1	N 266°	67° NW							40	--	--	Craq, Vt y Vtlls pot 0.5-5cm, Qz (bl) craq, py cubica diss oxid, lm (pa) en fract y oquedades, cajas y caballos sertz
M-453	ccc	1.00	0.40	1	N 285°	80° SW							15			Fract ++, Vt, Qz (bl) fract, py cubica diss oxid, lm (pa) en fract y oquedades, cajas y caballos sertz
M-454	ccc	0.40	0.40		N 210°	60° NW							20			Veta Qz (bl), Rb N266/67NW, potencia 1.0m, oxim(par an) 2% en fracturas, fuerte propilitizacion
M-455	ccc	0.45	0.40	0.45	N 210°	60° NW							27			Veta Qz (bl), Rb N285/80SW, potencia 1.0m., puntos py 2%
M-456	ccc	3.00	0.40				5		N 32	56° NW			20	N 220	20SE	Veta Qz, Rb N210/60NW oxim(par an) 3%, cajas silicificadas moderadamente
M-457	ccc	1.40	0.40	0.55	N 256°	75° SE			N 52	42° NW			20			Veta Qz (bl), Rb N210/60NW oxim(par an) 3%, cajas silicificadas moderadamente
M-458	ccc	1.00	0.40	0.25	N 38W	21° NE										Veta Qz (bl), Rb N210/60NW, potencia aforante 0.45m., lm(par an) 5% cajas silicificadas moderadamente
M-459	ccc	1.00	0.40	0.20	N 38W	21° NE										Vtlls Qz (bl) de hasta 1 cms, ox lm en fracturas, caja en granodioritas silicificado moderada
M-457	ccc	1.40	0.40	0.55	N 256°	75° SE			N 52	42° NW			20			Veta silicificada (bl), Rb N256/ 75S, potencia 0.55m., cajas granodiorita
M-458	ccc	1.00	0.40	0.25	N 38W	21° NE										Veta Qz (bl) Rb N38W / 21° NE, potencia 0.25m., oxim(an) 5% en fracturas, en roca caja granodioritas
M-459	ccc	1.00	0.40	0.20	N 38W	21° NE										Veta Rb N38W / 21° NE, potencia 0.20m., alteracion qz-sericitica, oxim(an) 5% en fracturas, en roca caja granodioritas en limbo

MUESTRAS DE CANALETAS - Au (ppb)



Población Total : 685 muestras

TABLA DE MUESTREO DE CANALETAS

PROYECTO LOS HORNOS - II ETAPA

Muestra N°	COORDENADAS		ALTITUD (msnm)	Long. (m)	N° Fract	N° Vlls	MINERALIZACIÓN			ALTERACION			ROCA		OBSERVACIONES	Au (ppb)	
	Este	Norte					% Total	% V	% D	Sil.	Ser.	Arg.	Fil.	Pbz.			% Sup
M-1149	238.323.23	9.101.046.08	2.845.56	1.00	Bx	--	4	--	4	2.5	1.5	1.5	2	--	Gdl	--	7
M-1150	238.322.99	9.101.050.39	2.845.41	--	--	--	--	--	--	2.5	--	--	--	--	Gdl	--	5
M-1151	238.724.44	9.101.734.66	2.827.30	3.00	55	0.5	0.5	--	0.5	--	0.5	0.5	1	--	Gdl	--	<5
M-1152	238.721.98	9.101.732.57	2.827.99	3.00	65	1	--	1	--	1	0.5	1	--	--	Gdl	--	6
M-1153	238.719.94	9.101.730.33	2.828.22	3.00	60	1	1	--	1	--	1	0.5	1	--	Gdl	--	<5
M-1154	238.717.49	9.101.728.16	2.829.40	3.00	60	--	--	--	--	--	--	--	--	--	Gdl	--	<5
M-1155	238.715.75	9.101.726.44	2.830.11	3.00	65	3	3	0.5	0.5	1	1	--	1	--	Gdl	--	<5
M-1156	238.714.02	9.101.723.31	2.829.71	3.00	60	2	2	0.5	0.5	1	1	--	1	--	Gdl	--	<5
M-1157	238.713.34	9.101.720.12	2.830.08	3.00	50	--	--	--	--	--	--	--	--	--	Gdl	--	<5
M-1158	238.712.36	9.101.717.51	2.830.75	3.00	50	--	--	--	--	--	--	--	--	--	Gdl	--	<5
M-1159	238.710.99	9.101.715.71	2.832.25	3.00	50	--	--	--	--	--	--	--	--	--	Gdl	--	<5
M-1160	238.709.17	9.101.712.97	2.832.84	3.00	50	1	1	0.5	0.5	1	1	--	1	--	Gdl	--	<5
M-1161	238.706.33	9.101.711.73	2.832.77	3.00	40	--	--	--	--	--	--	--	--	--	Gdl	--	<5
M-1162	238.703.58	9.101.711.21	2.833.52	3.00	40	--	--	--	--	--	--	--	--	--	Gdl	--	11
M-1163	238.700.60	9.101.711.04	2.833.08	3.00	60	1	100	1	1.5	1	1	1	--	--	Gdl	--	<5
M-1164	238.697.47	9.101.711.19	2.833.11	2.30	60	--	--	--	1	--	--	--	--	--	Gdl	--	<5
M-1165	238.695.40	9.101.711.82	2.833.36	2.30	70	--	--	--	2	1	1	2	--	--	Gdl	--	<5
M-1166	238.693.31	9.101.712.13	2.833.29	3.00	60	15	15	2	1	1	2	--	--	--	Gdl	--	<5
M-1167	238.690.27	9.101.713.40	2.834.12	3.00	50	10	10	1.5	--	--	--	--	--	--	Gdl	--	5
M-1168	238.687.66	9.101.714.91	2.835.28	3.00	60	12	12	1.5	1	1	1	--	--	--	Gdl	--	<5
M-1169	238.684.85	9.101.716.61	2.834.89	3.00	70	15	15	1.5	0.5	1	1	--	--	--	Gdl	--	<5
M-1170	238.681.91	9.101.717.66	2.835.50	3.00	60	30	30	1	1	1	1	--	--	--	Gdl	--	<5
M-1171	238.679.11	9.101.717.19	2.835.84	3.00	30	2	2	1	--	--	--	--	--	--	Gdl	--	6
M-1172	238.677.06	9.101.715.87	2.836.27	3.00	30	4	4	1	--	--	--	--	--	--	Gdl	--	<5
M-1173	238.674.37	9.101.713.74	2.837.50	3.00	40	2	2	1	0.5	0.5	1	--	--	--	Gdl	--	5
M-1174	238.672.69	9.101.711.37	2.837.49	3.00	30	2	2	--	1	--	--	--	--	--	Gdl	--	<5
M-1175	238.670.53	9.101.709.26	2.836.92	3.00	60	--	--	--	1	1	1	1	--	--	Gdl	--	<5
M-1176	238.668.34	9.101.708.02	2.837.55	3.00	60	--	--	--	1	1	1	1	--	--	Gdl	--	5
M-1177	238.666.42	9.101.706.10	2.838.79	3.00	45	1	1	1.5	0.5	1	1	--	--	--	Gdl	--	<5
M-1178	238.663.18	9.101.704.85	2.838.57	3.00	20	2	2	1	--	--	--	--	--	--	Gdl	--	5
M-1179	238.661.96	9.101.703.37	2.840.35	3.00	40	--	--	--	1	0.5	0.5	1	--	--	Gdl	--	<5
M-1180	238.613.29	9.101.716.04	2.841.62	3.00	40	0.5	0.5	1	0.5	0.5	1	--	--	--	Gdl	--	7
M-1181	238.611.04	9.101.717.77	2.841.93	3.00	50	--	--	--	--	--	--	--	--	--	Top-P	--	10
M-1182	238.608.81	9.101.719.50	2.843.84	3.00	60	7	7	2	1	1	2	--	--	--	Gdl	--	7
M-1183	238.607.54	9.101.722.15	2.846.27	3.00	45	10	100	2	1	1	2	--	--	--	Gdl	--	5
M-1184	238.605.80	9.101.723.51	2.847.57	3.00	45	10	10	1	0.5	0.5	1	--	--	--	Gdl	--	<5
M-1185	238.603.79	9.101.725.47	2.848.63	3.00	65	18	18	2	1	1	2	--	--	--	Gdl	--	<5
M-1186	238.602.41	9.101.727.42	2.850.47	3.00	60	16	16	1.5	1	1	1	--	--	--	Gdl	--	7
M-1187	238.601.83	9.101.729.41	2.852.99	3.00	45	7	7	--	0.5	0.5	1	--	--	--	Top-P	--	<5
M-1188	238.600.89	9.101.732.88	2.854.84	3.00	50	2	2	--	0.5	0.5	1	--	--	--	Top-P	--	7
M-1189	238.599.37	9.101.735.20	2.856.02	3.00	6	2	2	1	0.5	0.5	1	--	--	--	Gdl	--	5
M-1190	238.596.62	9.101.736.53	2.856.52	3.00	60	1	1	--	--	--	--	--	--	--	Top-P	--	<5
M-1191	238.594.64	9.101.738.15	2.857.53	3.00	45	1	1	--	--	--	--	--	--	--	Top-P	--	6
M-1192	238.592.29	9.101.739.80	2.859.38	3.00	40	1	1	--	--	--	--	--	--	--	Top-P	--	<5
M-1193	238.590.53	9.101.740.99	2.860.65	3.00	35	--	--	--	--	--	--	--	--	--	Top-P	--	<5
M-1194	238.588.79	9.101.742.59	2.862.85	3.00	35	1	1	--	--	--	--	--	--	--	Top-P	--	5
M-1195	238.586.12	9.101.745.00	2.864.89	3.00	55	--	--	--	--	--	--	--	--	--	Gdl	--	<5
M-1196	238.583.27	9.101.747.34	2.867.55	3.00	60	2	2	1	0.5	0.5	1	--	--	--	Gdl	--	<5
M-1197	238.587.66	9.101.750.13	2.868.63	3.00	45	--	--	--	1.5	0.5	0.5	1	--	--	Gdl	--	<5
M-1198	238.586.55	9.101.752.38	2.869.66	3.00	35	--	--	--	1	1.5	0.5	0.5	1	--	Gdl	--	6
M-1199	238.585.55	9.101.754.75	2.871.47	3.00	50	0.5	0.5	2.5	1	1	2	--	--	--	Gdl	--	<5
M-1200	238.583.98	9.101.756.43	2.872.90	3.00	40	--	--	--	1	1.5	0.5	0.5	2	--	Gdl	--	<5
M-1201	238.581.74	9.101.757.93	2.875.29	3.00	70	--	--	--	1.5	1	1	2	--	--	Gdl	--	<5
M-1202	238.580.67	9.101.759.96	2.877.08	3.00	50	10	10	2	1	1	2	--	--	--	Gdl	--	5
M-1203	238.578.76	9.101.762.39	2.878.82	3.00	65	13	13	2	1	1	2	--	--	--	Gdl	--	5
M-1204	238.576.67	9.101.763.62	2.879.55	3.00	65	--	--	--	3	2.5	1	1	2	--	Gdl	--	<5
M-1205	238.574.53	9.101.764.75	2.881.63	3.00	45	--	--	--	1	0.5	0.5	1	1	--	Gdl	--	<5

TABLA DE MUESTREO DE CANALETAS

PROYECTO LOS HORNOS - II ETAPA

Muestra N°	COORDENADAS		ALTUD Lq. (mm)	N° Fract	MINERALIZACIÓN				ALTERACIÓN				ROCA		OBSERVACIONES	Au (ppb)		
	Este	Norte			% Total	% V	% D	% ox.	Slit.	Ser.	Arg.	Flit.	% Sup	Nombre			Íco.	
M-1274	238.572.37	9.101.766.00	2.316 30	45	--	--	--	--	1	1	1	--	Gdl	++	Cts 5% diss. ep 1% en mvnlls. cortes basales de xls Oz	<5		
M-1275	238.571.16	9.101.768.20	2.616 30	40	--	--	--	--	1.5	1	1	--	Gdl	++	Cts 5% diss. ep <1% en mvnlls. cortes basales de xls Oz	<5		
M-1276	238.568.64	9.101.769.30	2.709 30	50	--	--	--	--	--	--	--	--	Top-P	++	Grano grueso (ve), cts diss y patinas. cortes basales de xls Oz	<5		
M-1277	238.566.01	9.101.770.55	2.879 30	60	--	--	--	--	--	--	--	--	Top-P	++	Grano grueso (ve), cts diss y patinas. cortes basales de xls Oz	<5		
M-1278	238.564.10	9.101.772.23	2.038 30	60	--	3	--	3	--	--	--	--	Top-P	++	Grano grueso (ve), cts diss y patinas. cortes basales de xls Oz	7		
M-1279	238.546.34	9.101.683.60	2.082 30	45	--	--	--	--	2	1	1	--	Gdl	++	Cts 5% diss y alg patinas	<5		
M-1280	238.548.13	9.101.681.09	2.086 30	45	--	2	--	2	1.5	1	1	--	Gdl	++	Cts 5% diss y alg patinas. ep <1% mvnlls. lm (pa) y hm (ro) en fract	7		
M-1281	238.549.78	9.101.679.14	2.103 30	45	--	3	--	3	2	1	1	--	Gdl	++	Cts 4% diss y mvnlls. lm (pa) en fract	<5		
M-1282	238.550.22	9.101.676.61	2.345 30	45	--	3	--	3	2	1	1	--	Gdl	++	Cts 12% diss. patinas y mvnlls. lm (pa) en fract	<5		
M-1283	238.551.68	9.101.673.84	2.538 30	40	--	1-2	--	1.5	1	1	2	--	Gdl	++	Cts 8% diss y patinas. hm (ro) en fract	<5		
M-1284	238.553.19	9.101.671.71	2.632 30	30	--	2	--	2	2	0.5	0.5	--	Gdl	++	Cts 10% diss. patinas y mvnlls. hm (ro) en fract	<5		
M-1285	238.554.89	9.101.669.71	2.726 30	30	--	1	--	0.5	1	1	1	--	Gdl	++	Cts 6% diss y patinas. hm (ro) en fract	<5		
M-1286	238.557.30	9.101.667.92	2.763 30	25	--	1	--	0.5	0.5	0.5	--	--	Gdl	++	Cts 4% diss. patinas y mvnlls. hm (ro) en fract	8		
M-1287	238.560.41	9.101.704.83	2.907 30	35	--	--	--	--	--	--	--	--	Gdl	++	Grano med-gueso. cts diss	5		
M-1288	238.557.44	9.101.705.14	2.909 30	25	--	--	--	--	--	--	--	--	Gdl	++	Grano med-gueso. cts diss	10		
M-1289	238.654.38	9.101.704.93	2.909 30	10	--	--	--	--	--	--	--	--	Gdl	++	Grano med-gueso. cts diss	7		
M-1290	238.651.34	9.101.705.11	2.823 30	15	--	--	--	--	--	--	--	--	Gdl	++	Grano med-gueso. cts diss	<5		
M-1291	238.641.67	9.101.706.54	2.841 30	7	--	2	--	2	--	--	--	1	Gdl	++	Grano med-gueso. cts diss. lm (pa) y hm (ro) en fract. Caja piso de falla. Sil fuerte. crac-bx con lm (pa)	448		
M-1292	238.638.74	9.101.707.35	2.849 30	17	4	2	--	2	--	--	--	--	1	Gdl	++	Grano med-gueso. cts diss y en patinas. hm (ro) y lm (pa) en fract	153	
M-1293	238.633.83	9.101.707.74	2.841 30	28	--	1	--	1	--	--	--	7-8	Gdl	++	Grano med-gueso. cts diss y patinas. hm (ro) en fract	<5		
M-1294	238.633.22	9.101.708.85	2.846 30	55	--	2	--	2	1.5	1	1	--	15	Gdl	++	Grano med-gueso. cts diss y patinas. hm (ro) en fract	<5	
M-1295	238.630.36	9.101.709.94	2.845 30	60	--	7	--	7	1.5	1	1	--	5-7	Gdl	++	Grano med-gueso. cts diss y patinas. lm (pa) en fract	<5	
M-1296	238.627.87	9.101.711.65	2.864 30	28	--	7	--	7	1.5	1	1	--	Gdl	++	Cts 10% diss. lm (pa) 4%	<5		
M-1297	238.625.65	9.101.713.25	2.849 30	30	--	7	--	7	2	1	1	--	8	Gdl	++	Cts 10% diss y en patinas. ep 1% lm (pa)	5	
M-1298	238.622.40	9.101.712.78	2.849 30	36	--	13	--	1.5	1	1	2	--	Gdl	++	Cts 7% diss y alg mvnlls. lm (pa)	5		
M-1299	238.618.81	9.101.713.67	2.848 30	70	--	8	--	2.5	1	1	2	--	8	Gdl	++	Cts 10% en mvnlls y alg diss. lm (pa) 7%	<5	
M-1300	238.602.45	9.101.713.38	2.832 30	60	--	1	--	1	2.5	1.5	1	--	Gdl	++	Cts 5% diss y en alg fract. lm (pa)	37		
M-1301	238.603.00	9.101.710.60	2.839 30	70	--	1	--	1	2.5	1	2	--	Gdl	++	Cts 4% diss y en mvnlls. lm (pa) en fract	7		
M-1302	238.602.85	9.101.707.67	2.837 30	70	--	5	--	2.5	1.5	1	2	--	Gdl	++	Cts 6% diss y en alg fract. lm (pa)	5		
M-1303	238.601.90	9.101.704.82	2.835 30	50	--	2	--	2	2.5	1	2	--	Gdl	++	Cts 2-3% diss y mvnlls. lm (pa) en fract	<5		
M-1304	238.599.10	9.101.703.48	2.831 30	90	--	7	--	7	2.5	1	2	--	10	Gdl	++	Cts 4% en valls. lm (pa)	<5	
M-1305	238.598.18	9.101.703.48	2.833 30	50	--	1	--	1	1	1	1	--	Gdl	++	Cts 8% diss y en mvnlls. ot 7-10%. ep 1% mvnlls. hm (ro) en fract	<5		
M-1306	238.593.19	9.101.704.13	2.821 30	45	--	--	--	--	1.5	1	1	--	Gdl	++	Cts 10% diss y en alg fract. ot 7%. ep 2% en mvnlls y cac 1%	<5		
M-1307	238.590.46	9.101.705.60	2.839 30	40	--	--	--	--	--	0.5	--	--	Gdl	++	Cts 10% diss	5		
M-1308	238.588.13	9.101.707.24	2.842 30	50	--	4	--	4	1	1	1	--	Gdl	++	Cts 7% diss. ot 4%. lm (pa)	8		
M-1309	238.585.30	9.101.707.81	2.837 25	25	15	100	--	15	2.5	1.5	1.5	2	--	Gdl	++	Veta. horizontal y se acuña. lm (pa) en valls y mntz. Labor de 3.5m	<5	
M-1310	238.544.12	9.101.688.59	2.836 25	20	4	100	--	3-4	--	--	--	10	Gdl	++	Grano medio-Oz. ot 7-8%. cts 4% diss y en mvnlls. lm (pa) en fract	<5		
M-1311	238.544.97	9.101.688.17	2.850 30	2	1	--	--	1	--	0.5	--	--	6	Gdl	++	Cts diss y en mvnlls. ot 6-10%. da and pot 30 cm	<5	
M-1312	238.561.79	9.101.685.65	2.852 30	16	2	100	--	1	--	--	--	--	Gdl	++	Grano med-gueso. ot 10%. alg mvnlls de cts y ep 1-2%. hm (ro) en mvnlls	<5		
M-1313	238.563.23	9.101.682.99	2.868 30	25	--	6	--	6	--	1	1	--	8	Gdl	++	Cts 10% diss. cac y y hm (ro) en fract	<5	
M-1314	238.563.43	9.101.680.00	2.867 30	28	3	100	--	3	--	0.5	--	--	8	Gdl	++	Cts diss. ot 8%. hm (ro) en fract	<5	
M-1315	238.562.91	9.101.657.15	2.869 30	12	4	100	--	4	--	--	--	--	Gdl	++	Grano med-gueso. ot 8%. hm (ro) en fract	<5		
M-1316	238.561.37	9.101.654.45	2.851 30	C-B	11	7	100	7	1	1	1	--	Gdl	++	Cts diss. y hm (ro) en fract	<5		
M-1317	238.559.90	9.101.652.67	2.839 30	40	7	3-4	100	3-4	--	1	1	--	6	Gdl	++	Grano medio-Oz. ot 8%	<5	
M-1318	238.556.11	9.101.651.65	2.853 30	45	--	--	--	--	--	1	1	--	6	Gdl	++	Grano med-gueso. ot 6%	<5	
M-1319	238.553.69	9.101.650.17	2.850 30	45	--	--	--	--	--	--	--	--	Gdl	++	Grano med-gueso. ot 6%	<5		
M-1320	238.544.80	9.101.641.73	2.868 30	33	--	1	--	1	1	1	1	--	3	Gdl	++	Cts 7% diss. hm (ro) en fract	<5	
M-1321	238.543.71	9.101.639.03	2.860 30	32	--	5	--	5	1	--	--	--	5	Gdl	++	Cts 5% diss. alg valls de cac. hm (ro) en fract	<5	
M-1322	238.542.38	9.101.636.32	2.867 30	32	--	2	--	2	--	0.5	1	--	8	Gdl	++	Cts 7% diss. hm (ro) en fract	<5	
M-1323	238.540.45	9.101.634.04	2.825 30	26	--	1	--	1	0.5	0.5	1	--	--	Gdl	++	Cts 10% diss. cac y hm (ro) en fract	<5	
M-1324	238.538.42	9.101.631.61	2.800 30	20	--	--	--	--	--	0.5	1	--	--	Gdl	++	Cts 10% diss. cac en alg fract	<5	
M-1325	238.536.30	9.101.629.61	2.866 30	9	--	1	--	1	--	--	0.5	1	--	5	Gdl	++	Cts 10% diss y alg fract. cac y hm (ro) en fract. ot 1%	<5
M-1326	238.533.66	9.101.628.07	2.804 30	21	--	3	--	3	1	--	--	--	10	Gdl	++	Cac en alg fract. hm (ro) en fract	<5	
M-1327	238.531.09	9.101.626.42	2.896 30	50	3	2	100	2	--	--	--	--	10	Gdl	++	Grano med-gueso. ot 8%	9	
M-1328	238.529.20	9.101.624.27	2.875 30	50	4	100	--	4	--	1	1	--	10	Gdl	++	Grano med-gueso. ot 8%	<5	
M-1329	238.526.74	9.101.622.62	2.891 30	30	4	6	100	6	--	0.5	--	--	8	Gdl	++	Grano medio-Oz. ot 8%	<5	
M-1330	238.524.57	9.101.620.61	2.897 30	--	7	10	100	10	0.5	1	1	--	6	Gdl	++	Grano medio-Oz. (ve cl), ot 6%	<5	

TABLA DE MUESTREO DE CANALETAS
 PROYECTO LOS HORNOS - II ETAPA

Muestra N°	COORDENADAS		ALTITUD (msnm)	Long. (m)	N° Fract	N° Vlls	MINERALIZACIÓN				ALTERACION			ROCA		OBSERVACIONES	Au (ppb)	
	Este	Norte					% Total	% V	% D	Py	% ox.	Slit	Ser.	Aug.	Flit.			Ppz.
M-092	238.522.39	9.101.618.44	2.665.23	3.00	-	4	8	70	30	0.5	1	1	1	-	-	Gdl	++	Grano medio-Qz (ve ch), ort 8%
M-093	238.519.45	9.101.616.75	2.665.23	3.00	-	-	-	-	-	-	-	-	-	-	-	Ton-P	++	Grano medio-Qz (ve), cts diss, cortes basales de xls Oz
M-094	238.516.76	9.101.615.46	2.665.14	3.00	-	-	-	-	-	-	-	-	-	-	5	Ton-P	++	Grano grueso (ve), cts diss, cortes basales de xls Oz
M-095	238.513.73	9.101.614.94	2.664.98	3.00	-	-	-	-	-	-	-	-	-	-	-	Ton-P	++	Grano grueso (ve), cts diss, cortes basales de xls Oz
M-096	238.510.79	9.101.614.59	2.664.58	3.00	-	-	-	-	-	-	-	-	-	-	-	Ton-P	++	Grano grueso (ve), cts diss, cortes basales de xls Oz
M-097	238.507.80	9.101.614.89	2.664.67	3.00	-	-	-	-	-	-	-	-	-	-	-	Ton-P	++	Grano grueso (ve), cts diss, cortes basales de xls Oz
M-098	238.504.91	9.101.615.00	2.664.54	3.00	-	-	-	-	-	-	-	-	-	-	6	Ton-P	++	Grano grueso (ve), cts diss, cortes basales de xls Oz
M-099	238.501.84	9.101.615.01	2.664.24	3.00	-	-	-	-	-	-	-	-	-	-	-	Ton-P	++	Grano grueso (ve), cts diss, cortes basales de xls Oz
M-100	238.498.98	9.101.615.60	2.664.33	3.00	-	-	-	-	-	-	-	-	-	-	6	Ton-P	++	Grano grueso (ve), cts diss, cortes basales de xls Oz
M-101	238.496.21	9.101.616.46	2.664.58	3.00	-	-	-	-	-	-	-	-	-	-	-	Ton-P	++	Grano grueso (ve), cts diss, cortes basales de xls Oz
M-102	238.493.34	9.101.617.25	2.664.62	3.00	-	-	-	-	-	-	-	-	-	-	-	Gdl	++	Cts 10% diss, ort 5%, hm rol en fract
M-103	238.490.51	9.101.604.55	2.666.23	3.00	-	-	1	0.5	1	1	0.5	1	1	-	-	Gdl	++	Cts 10% diss, ort 3%, hm ipa en miz y relleno de fract
M-104	238.480.70	9.101.601.67	2.666.61	3.00	-	-	30	0.5	0.5	0.5	1	-	-	-	20	Gdl	++	Cts 7% diss, hm ipa relleno de fract y parte en miz, hacia arriba gdl siox
M-105	238.480.87	9.101.598.73	2.667.23	3.00	-	-	25	0.5	1	1	1	-	-	-	15	Gdl	++	Cts 7% diss, hm ipa relleno de fract y parte en miz, hacia arriba gdl siox
M-106	238.481.85	9.101.596.00	2.667.34	3.00	-	-	25	0.5	1	1	1	-	-	-	15	Gdl	++	Cts 7% diss, ort 4%, hm rol en fract, hacia arriba gdl con poca ox
M-107	238.483.13	9.101.593.18	2.667.51	3.00	11	-	13	0.5	1	1	1	-	-	-	15	Gdl	++	Cts 10% diss, ort 3%, hm rol en fract, hacia arriba gdl siox
M-108	238.483.73	9.101.590.36	2.668.08	3.00	16	-	15	0.5	0.5	0.5	1	-	-	-	-	Gdl	++	Cts 8% diss y en alg fract, hm rol en fract, hacia arriba gdl siox
M-109	238.483.77	9.101.587.31	2.668.51	3.00	17	-	10	0.5	0.5	0.5	1	-	-	-	8	Gdl	++	Cts 8% diss, hm rol en fract
M-110	238.482.25	9.101.559.40	2.672.53	3.00	15	-	6	0.5	1	1	1	-	-	-	13	Gdl	++	Cts 7% diss, ort 3%, hm rol en fract
M-111	238.449.73	9.101.557.67	2.672.53	3.00	65	-	9	-	-	1.5	1.5	1	-	-	-	Gdl	++	Cts 10% diss, hm rol en fract
M-112	238.447.01	9.101.556.35	2.672.78	3.00	28	1	3	100	3	-	-	-	-	-	-	Gdl	++	Cts 10% diss, hm rol en fract
M-113	238.444.52	9.101.554.90	2.673.98	3.00	Bx	1	4	100	4	-	1	0.5	1	-	-	Gdl	++	a 0.80 m del inicio de canal contacto con gdl-Qz (ve), hm (rol) en fract
M-114	238.442.03	9.101.553.17	2.672.96	3.00	70	1	4	-	-	-	-	-	-	-	-	Gdl	++	Grano fino (ve), Femp dzt 20%, ep 3% en mvlis, hm (rol) en fract
M-115	238.439.31	9.101.552.16	2.673.05	3.00	48	-	1	-	-	-	-	-	-	-	-	Gdl	++	Grano fino (ve), Femp dzt 20%, alg mvlis ep, hm (rol) en fract
M-116	238.436.69	9.101.550.70	2.673.14	3.00	50	-	1	-	-	-	-	-	-	-	-	Gdl	++	Grano fino (ve), Femp dzt 20%, alg mvlis ep, hm (rol) en fract
M-117	238.433.89	9.101.549.33	2.673.48	3.00	29	-	1	-	-	-	-	-	-	-	-	Gdl	++	Grano fino (ve), Femp dzt 20%, alg mvlis ep, hm (rol) en fract
M-118	238.431.08	9.101.548.23	2.673.41	3.00	29	-	1	-	-	-	-	-	-	-	-	Gdl	++	Grano fino (ve), Femp dzt 20%, alg mvlis ep, hm (rol) en fract
M-119	238.428.05	9.101.548.07	2.673.83	3.00	40	-	1	-	-	-	-	-	-	-	-	Gdl	++	Grano fino (ve), Femp dzt 20%, alg mvlis ep, hm (rol) en fract
M-120	238.425.12	9.101.547.84	2.674.10	3.00	50	-	-	-	-	-	-	-	-	-	-	Gdl	++	Grano fino (ve), Femp dzt 20%, alg mvlis ep
M-121	238.422.20	9.101.547.47	2.674.22	3.00	55	-	-	-	-	-	-	-	-	-	-	Gdl	++	Grano fino (ve), Femp dzt 20%, ep 1-2% diss y en alg mvlis
M-122	238.419.30	9.101.546.88	2.674.53	3.00	40	-	-	-	-	-	-	-	-	-	-	Gdl	++	Grano fino (ve), Femp dzt 20%, alg mvlis ep
M-123	238.417.03	9.101.544.99	2.674.46	3.00	40	-	1	-	-	-	-	-	-	-	-	Gdl	++	Grano fino (ve), Femp dzt 20%, alg mvlis ep, hm (rol) en fract
M-124	238.415.44	9.101.542.96	2.674.46	3.00	35	-	-	-	-	-	-	-	-	-	-	Gdl	++	Grano fino (ve), Femp dzt 20%, alg mvlis ep, hm (rol) en fract
M-125	238.414.66	9.101.540.03	2.674.54	3.00	50	-	1	-	-	-	-	-	-	-	-	Gdl	++	Grano fino (ve), Femp dzt 20%, alg mvlis ep
M-126	238.413.83	9.101.537.18	2.674.72	3.00	40	-	-	-	-	-	-	-	-	-	-	Gdl	++	Grano fino (ve), Femp dzt 20%, alg mvlis ep
M-127	238.412.68	9.101.534.52	2.675.01	3.00	30	-	1	-	-	-	-	-	-	-	-	Gdl	++	Grano fino (ve), Femp dzt 20%, ep 8% diss y en alg mvlis, hm (rol) en fract
M-128	238.411.76	9.101.531.75	2.675.22	3.00	40	-	1	-	-	-	-	-	-	-	-	Gdl	++	Grano fino (ve), Femp dzt 20%, alg mvlis ep, hm (rol) en fract
M-129	238.410.43	9.101.529.02	2.675.82	3.00	35	-	-	-	-	-	-	-	-	-	-	Gdl	++	Grano fino (ve), Femp dzt 20%, alg mvlis ep
M-130	238.410.57	9.101.526.28	2.676.13	3.00	35	-	1	-	-	-	-	-	-	-	-	Gdl	++	Grano fino (ve), Femp dzt 20%, alg mvlis ep, hm (rol) en fract
M-131	238.410.77	9.101.523.27	2.676.59	3.00	30	-	1	-	-	-	-	-	-	-	-	Gdl	++	Grano fino (ve), Femp dzt 20%, ep 3% diss y en alg mvlis, hm (rol) en fract
M-132	238.411.24	9.101.520.26	2.676.53	3.00	30	-	1	-	-	-	-	-	-	-	-	Gdl	++	Grano fino (ve), Femp dzt 20%, alg mvlis ep, hm (rol) en fract
M-133	238.405.18	9.101.482.54	2.680.28	3.00	35	-	1	-	-	-	-	-	-	-	5	Gdl	++	Grano fino (ve), Femp dzt 20%, ep 1% en mvlis, hm (rol) en fract
M-134	238.404.29	9.101.479.67	2.680.87	3.00	30	-	1	-	-	-	-	-	-	-	5	Gdl	++	Grano fino (ve), Femp dzt 20%, ep 1% en mvlis, hm (rol) en fract
M-135	238.404.14	9.101.476.72	2.680.78	3.00	30	-	1	-	-	-	-	-	-	-	5	Gdl	++	Grano fino (ve), Femp dzt 20%, ep 2% en mvlis, hm (rol) en fract
M-136	238.403.75	9.101.473.87	2.681.09	3.00	30	-	1	-	-	-	-	-	-	-	5	Gdl	++	Grano fino (ve), Femp dzt 25%, ep 2% en mvlis, hm (rol) en fract
M-137	238.402.78	9.101.471.12	2.681.30	3.00	30	-	1	-	-	-	-	-	-	-	5	Gdl	++	Grano fino (ve), Femp dzt 20%, ep 2% en mvlis, hm (rol) en fract
M-138	238.400.81	9.101.468.69	2.681.78	3.00	30	-	1	-	-	-	-	-	-	-	5	Gdl	++	Grano fino (ve), Femp dzt 20%, ep 2% en mvlis, hm (rol) en fract
M-139	238.399.04	9.101.466.24	2.681.92	3.00	30	2	1	-	-	-	-	-	-	-	-	Gdl	++	Grano fino (ve), Femp dzt 20%, alg mvlis ep, hm (rol) en fract
M-140	238.398.48	9.101.464.74	2.682.29	3.00	35	-	2	-	-	-	-	-	-	-	-	Gdl	++	Grano fino (ve), Femp dzt 20%, alg mvlis ep, hm (rol) y cac en alg fract
M-141	238.393.83	9.101.462.98	2.682.58	3.00	30	-	3	-	-	-	-	-	-	-	-	Gdl	++	Grano fino (ve), Femp dzt 25%, alg mvlis ep, hm (rol) y cac en alg fract
M-142	238.391.41	9.101.461.48	2.682.99	3.00	30	1	3	1.5	1	-	-	-	-	-	-	Gdl	++	Grano fino (ve), Femp dzt 20%, alg mvlis ep, hm (rol) y cac en alg fract
M-143	238.389.34	9.101.459.51	2.683.41	3.00	55	-	2	-	-	-	-	0.5	1	-	5	Gdl	++	Grano fino (ve), Femp dzt 20%, ep 2% mvlis, hm (rol) en fract, alg oplos Oz
M-144	238.388.06	9.101.456.81	2.683.43	3.00	55	-	-	-	-	-	-	-	-	-	-	Gdl	++	Grano fino (ve), Femp dzt 25%, mvlis de ep 2% y cac 1%
M-145	238.386.27	9.101.454.36	2.682.46	3.00	55	3	4	100	4	-	-	-	-	-	-	Gdl	++	Grano fino (ve), Femp dzt 25%, mvlis de ep 2% y cac 1%
M-146	238.383.14	9.101.454.20	2.682.74	3.00	40	-	1	-	-	-	-	-	-	-	5	Gdl	++	Grano fino (ve), Femp dzt 25%, mvlis de ep 2% y cac 1%

TABLA DE MUESTREO DE CANALETAS

PROYECTO LOS HORNOS - II ETAPA

Muestra N°	COORDENADAS		ALTITUD (msnm)	Longi. (m)	N° Fract	N° Vñls	MINERALIZACIÓN				ALTERACION				ROCA	OBSERVACIONES		Au (ppb)		
	Este	Norte					% Total	% V	% D	Pz	% Ox.	Sil.	Ser.	Arg.	Fil.	Ppz.	% Sup	Nombre Co.		
M-147	238.360.28	9.101.452.27	2.882.39	300	40	40	3				3	1	1	--	2	--	--	Gdl	Grano fino (ve), Femp cltz 20%, hm (roj) - hm (pa) y esp en fract, ser (ve) en alg fract	<5
M-148	238.377.25	9.101.452.53	2.882.04	300	40	2	2	100			2	2	1	--	2	--	--	Gdl	Grano fino (ve), Femp cltz 20%, hm (pa) y esp en fract, ser (ve) en alg fract	7
M-149	238.374.54	9.101.451.34	2.881.88	300	40	3	10	100			10	2.5	1.5	--	2	--	--	Gr	hm (pa) como relleno de fract y vñls mm	<5
M-150	238.371.95	9.101.449.91	2.881.71	300	40	2	100				10	3	1.5	--	2	--	--	Gr	hm (pa) como relleno de fract y vñls mm	6
M-151	238.369.15	9.101.448.79	2.881.94	300	55	--	10				10	3	1	--	2	--	--	Gr	hm (pa) como relleno de fract y en infract, alg vñls mm de silice	<5
M-152	238.366.59	9.101.447.46	2.882.25	300	55	--	10				10	2.5	1	--	2	--	--	Gr	hm (pa) como relleno de fract y en infract	<5
M-153	238.364.38	9.101.445.34	2.882.37	300	55	--	10				10	2.5	0.5	--	2	--	--	Gr	hm (pa) como relleno de fract y en infract	9
M-154	238.361.99	9.101.443.56	2.883.69	300	55	--	10				10	2.5	0.5	--	2	--	--	Gr	hm (pa) como relleno de fract y en infract	<5
M-155	238.359.47	9.101.442.19	2.883.34	300	55	--	10				10	2.5	0.5	--	2	--	--	Gr	hm (pa) como relleno de fract y en infract	<5
M-156	238.357.00	9.101.440.83	2.883.86	300	55	--	10				10	2.5	1	--	2	--	--	Gr	hm (pa) como relleno de fract y en infract	10
M-157	238.340.11	9.101.376.25	2.891.84	300	25	--	9				9	3	--	--	10		--	Gr	hm (pa) como relleno de fract y infract	10
M-158	238.337.14	9.101.377.39	2.891.83	300	25	--	10				10	3	--	--	2	--	--	Gr	hm (pa) como relleno de fract, alg oquedades y infract	68
M-159	238.335.48	9.101.379.78	2.891.83	300	30	--	14				14	3	--	--	2	--	--	Gr	hm (pa) como relleno de fract, alg oquedades y infract	8
M-160	238.333.74	9.101.382.34	2.892.13	300	25	--	13				13	3	0.5	--	2	--	--	Gr	hm (pa) como relleno de fract, alg oquedades y infract	11
M-161	238.333.10	9.101.385.21	2.892.16	300	25	--	10				10	3	0.5	--	2	--	--	Gr	hm (pa) como relleno de fract, alg oquedades y infract	204
M-162	238.332.39	9.101.388.15	2.892.79	300	25	--	10				10	3	0.5	--	2	--	--	Gr	hm (pa) como relleno de fract, alg oquedades y infract	715
M-163	238.331.22	9.101.390.79	2.893.14	200	15	--	7				7	3	--	--	2	--	--	Gr	hm (pa) como relleno de fract, alg oquedades y infract	17
M-164	238.326.68	9.101.400.49	2.893.70	300	Bx	--	20				20	3	1.5	1.5	--	--	--	Gr	Capas de hm (roj) 15% y hm (pa) 5% en mñz y fract de los frag alterados	<5
M-165	238.325.86	9.101.403.35	2.894.06	300	Bx	--	20				20	3	1.5	1.5	--	--	--	Gr	Capas de hm (roj) 12% y hm (pa) 8% en mñz y fract de los frag alterados	<5
M-166	238.324.18	9.101.405.89	2.894.35	300	Bx	--	5				5	3	1	1	2	--	--	Gr	Parte de sill and bx, hm (pa) en mñz y fract de los frag alterados	<5
M-167	238.321.92	9.101.407.89	2.894.95	300	Bx	--	4				4	3	1.5	1.5	--	--	--	Gr	Fract gdl alterados y and, hm (pa) en mñz y alg fract de los frag. Cateo	153
M-168	238.311.09	9.101.425.79	2.898.04	300	25	--	8				8	2.5	0.5	--	2	--	--	Gr	hm (pa) como relleno de fract y infract	<5
M-169	238.311.64	9.101.428.86	2.898.40	300	17	--	7				7	2.5	0.5	--	2	--	--	Gr	hm (pa) como relleno de fract y infract, cac en alg fract. Labor enterada	7
M-170	238.314.20	9.101.429.31	2.898.01	300	12	--	8-9				8-9	3	0.5	--	2	--	--	Gr	hm (pa) como relleno de fract, pqg oquedades y infract, cac en fract	9
M-171	238.317.07	9.101.430.38	2.897.72	300	10	--	5				5	3	0.5	--	2	--	--	Gr	hm (pa) como relleno de fract y infract	34
M-172	238.331.15	9.101.450.62	2.899.16	300	30	--	8				8	3	0.5	--	2	--	--	Gr	hm (pa) como relleno de fract y infract, clts 5% diss y patinas, cac en alg fract	<5
M-173	238.334.12	9.101.451.07	2.898.99	300	35	--	8				8	2.5	0.5	--	2	--	--	Gr	hm (pa) como relleno de fract y infract, clts 10% diss y patinas, cac en alg fract	<5
M-174	238.337.28	9.101.450.96	2.899.24	300	40	4	3	100			3	--	0.5	--	2	--	--	Gdl	Grano fino (ve), Femp cltz 20%, hm (roj) 1% y hm (pa) 2% en alg fract, esp puntual, alg vñls mm-lm Oz (bl)	<5
M-175	238.340.14	9.101.452.39	2.899.89	300	40	3	3	100			3	1	--	0.5	--	2	--	Gdl	Grano fino (ve), Femp cltz 25%, hm (roj) 1% y hm (pa) 2% en alg fract, alg venos y vñls mm Oz (bl)	82
M-176	238.342.75	9.101.453.79	2.900.18	300	45	5	2	100			2	1.5	--	--	2	--	--	Gdl	Grano fino (ve), Femp cltz 25%, hm (pa) y cac 3% en alg fract, alg venos 2-15cm y vñls mm Oz (bl)	<5
M-177	238.344.85	9.101.456.13	2.900.18	300	35	--	3				3	--	--	--	2	--	--	Gdl	Grano fino (ve), Femp cltz 25%, hm (roj) 1% y hm (pa) 2% y cac en alg fract	7
M-178	238.346.76	9.101.458.46	2.900.43	300	45	3	2	100			2	--	--	--	2	--	--	Gdl	Grano fino (ve), Femp cltz 25%, hm (roj) 1% y hm (pa) 1% y cac en alg fract	548
M-179	238.349.34	9.101.460.11	2.900.52	300	30	5	1	100			1	--	--	--	2	--	--	Gdl	Grano fino (ve), Femp cltz 20%, hm (pa) en fract, Veta Oz (bl) ser y ox. Labor	1,300
M-180	238.352.06	9.101.460.56	2.899.17	300	30	4	1.5	100			0.5	1	--	--	2	--	--	Gdl	Grano fino (ve), Femp cltz 25%, py mass granular, hm (pa) y cac en alg fract, vñls mm Oz (bl)	341
M-181	238.354.90	9.101.460.69	2.900.23	300	40	4	2	100			2	--	--	--	2	--	--	Gdl	Grano fino (ve), Femp cltz 25%, hm (roj) y cac 3% en alg fract, vñls mm Oz (bl)	39
M-182	238.357.65	9.101.462.25	2.900.37	300	45	--	1				1	--	--	--	2	--	--	Gdl	Grano fino (ve), Femp cltz 25%, hm (roj) y cac 4% en alg fract, vñls mm Oz (bl)	<5
M-183	238.362.12	9.101.466.96	2.901.60	300	45	--	1				1	--	--	--	2	--	--	Gdl	Grano fino (ve), Femp cltz 20%, alg mñvils ep, cac 3-4% y hm (roj) en fract	<5
M-184	238.363.90	9.101.469.22	2.902.09	300	70	--	3				3	--	--	--	2	--	--	Gdl	Grano fino (ve), Femp cltz 20%, alg mñvils ep y cac, hm (pa) 2% y hm 1% (roj) en alg fract	<5
M-185	238.371.70	9.101.486.23	2.905.01	300	30	--	1				1	--	--	--	1.5	--	--	Gdl	Grano fino (ve), Femp cltz 15%, alg mñvils ep, hm (roj) en fract	<5
M-186	238.374.13	9.101.488.03	2.904.67	300	70	--	2				2	--	--	--	2	--	--	Gdl	Grano fino (ve), Femp cltz 18%, hm (roj) en fract	18
M-187	238.375.35	9.101.490.90	2.905.32	300	40	--	2				2	--	--	--	2	--	--	Gdl	Grano fino (ve), Femp cltz 15% y en patinas, alg mñvils ep, hm (roj) en fract	15
M-188	238.375.37	9.101.493.96	2.906.00	300	35	--	1				1	--	--	--	2	--	--	Gdl	Grano fino (ve), Femp cltz 20% y en patinas, alg mñvils ep, alg olos Oz, hm (roj) en fract	<5
M-189	238.375.13	9.101.496.95	2.906.37	300	45	--	2				2	--	--	--	2	--	--	Gdl	Grano fino (ve), Femp cltz 25% y en patinas, alg mñvils ep, hm (roj) en fract	6
M-190	238.374.81	9.101.499.89	2.907.41	300	30	--	1				1	--	--	--	2	--	--	Gdl	Grano fino (ve), Femp cltz 18%, mñvils ep, alg olos Oz, hm (roj) en fract	5
M-191	238.374.27	9.101.502.91	2.907.44	300	45	--	2				2	--	--	--	2	--	--	Gdl	Grano fino (ve), Femp cltz 20%, alg mñvils ep, hm (roj) en fract	12
M-192	238.374.01	9.101.505.84	2.907.54	300	40	--	1				1	--	--	--	2	--	--	Gdl	Grano fino (ve), Femp cltz 15%, alg mñvils ep, hm (roj) en fract	<5
M-193	238.373.09	9.101.536.38	2.912.64	300	35	--	1-2				1-2	1.5	--	--	2	--	--	Gdl	Grano fino (ve), Femp cltz 20%, alg mñvils ep, hm (roj) en fract	7
M-194	238.372.78	9.101.539.38	2.913.29	300	40	--	1				1	--	--	--	2	--	--	Gdl	Grano fino (ve), Femp cltz 20%, alg mñvils ep, hm (roj) en fract	6
M-195	238.372.56	9.101.542.34	2.913.71	300	40	--	1				1	--	--	--	2	--	--	Gdl	Grano fino (ve), Femp cltz 22%, alg mñvils ep, alg olos Oz, hm (roj) en fract	44
M-196	238.372.84	9.101.545.35	2.914.08	150	40	--	1				1	--	--	--	1	--	--	Gdl	Grano fino (ve), Femp cltz 10%, ep <1% en mñvils, hm (roj) en fract	6
M-197	238.544.88	9.102.043.29	3.021.17	300	25	--	1				1	--	--	--	1	--	--	Top-P	Grano grueso (ve), clts 4% diss, alg cortes basales de xls Oz, hm (roj) en fract	6
M-198	238.556.72	9.102.034.52	3.016.74	300	30	--	1				1	--	--	--	1	--	--	Top-P	Grano grueso (ve), clts 3% diss, alg cortes basales de xls Oz, hm (roj) en fract	<5
M-199	238.646.08	9.102.019.07	3.012.61	300	Bx	--	1				1	--	--	--	2	--	--	Top-P	Grano fino-med (ve), Femp cltz 25-30%, esp y hm (pa) en fract	9
M-200	238.949.53	9.101.986.66	2.982.36	300	55	--	--				--	--	--	--	1	--	--	Top-P	Grano grueso (ve), clts diss, cortes basales de xls Oz	<5
M-201	236.970.90	9.101.994.01	2.961.72	300	55	--	--				--	--	--	--	--	--	--	Gdl	Grano grueso, bi óxids, cortes basales de xls Oz	<5
M-202	238.945.95	9.101.991.69	2.961.51	300	55	--	3				3	--	--	--	15	--	--	Gdl	Grano grueso, bi óxids, cortes basales de xls Oz, hm (roj) en fract	<5
M-203	238.943.87	9.101.989.35	2.961.01	300	55	--	--				--	--	--	--	--	--	--	Gdl	Grano medio-Oz, bi óxids	<5

TABLA DE MUESTREO DE CANALETAS
PROYECTO LOS HORNOS - II ETAPA

Muestra N°	COORDENADAS		ALTITUD (msnm)	Long. (m)	N° Fract	MINERALIZACION			ALTERACION			ROCA	OBSERVACIONES	Au (ppb)		
	Este	Norte				% Total	% V	% D	% ox.	Slit.	Ser.				Arg.	Fil.
M-204	238.941.85	9.101.987.11	2.960.42	3.00	55	--	--	--	--	--	--	--	--	--	Desintegración granular, grano medio-Oz. bi y bi oxid.	<5
M-205	238.939.00	9.101.985.60	2.959.78	3.00	55	2	--	--	--	--	--	--	--	--	Desintegración granular, grano medio-Oz. bi y bi oxid. hm (rol) en fract	<5
M-206	238.936.08	9.101.985.38	2.959.25	3.00	55	1	2	--	--	--	--	--	--	--	Desintegración granular, grano grueso, vills mm de hm (rol)	<5
M-207	238.933.15	9.101.985.83	2.958.95	3.00	30	--	--	--	--	--	--	--	--	--	Grano fino-gueso, cortes basales de xis Oz. bi y bi diss. disgregación granular debil	<5
M-208	238.930.16	9.101.985.98	2.958.53	3.00	30	--	--	--	--	--	--	--	--	--	Grano fino-gueso, cortes basales de xis Oz. bi y bi diss. disgregación granular debil	<5
M-209	238.927.01	9.101.986.27	2.958.10	3.00	30	--	--	--	--	--	--	--	--	--	Grano fino-gueso, cortes basales de xis Oz. bi y bi diss. disgregación granular debil	<5
M-210	238.924.33	9.101.987.49	2.958.57	3.00	30	--	--	--	--	--	--	--	--	--	Bi y bi diss. cts 2% diss. cortes basales de xis Oz. disgregación granular debil	6
M-211	238.921.27	9.101.987.89	2.957.69	3.00	30	--	--	--	--	--	--	--	--	--	Bi y bi diss. cts 3% diss. cortes basales de xis Oz. disgregación granular debil	<5
M-212	238.918.28	9.101.987.82	2.957.73	3.00	30	--	--	--	--	--	--	--	--	--	Bi y bi diss. cts 2% diss. cortes basales de xis Oz. disgregación granular debil	<5
M-213	238.915.46	9.101.986.73	2.957.35	3.00	30	--	--	--	--	--	--	--	--	--	Bi y bi diss. cts 3% diss. cortes basales de xis Oz. disgregación granular debil	<5
M-214	238.912.74	9.101.985.54	2.957.04	3.00	30	--	--	--	--	--	--	--	--	--	Bi y bi diss. cts 2% diss. cortes basales de xis Oz. disgregación granular debil	<5
M-215	238.909.68	9.101.984.85	2.957.22	3.00	30	--	--	--	--	--	--	--	--	--	Bi y bi diss. cts 3% diss. cortes basales de xis Oz. cts 2% en alg fract	<5
M-216	238.907.56	9.101.983.02	2.957.32	3.00	40	--	1	--	--	--	--	--	--	--	Bi y bi diss. cts 5% diss y palinas, cortes basales de xis Oz. cts 1% y hm (rol) en fract.	<5
M-217	238.906.13	9.101.980.38	2.956.67	3.00	40	--	1	--	--	--	--	--	--	--	Bi y bi diss. cts 5% diss y palinas, cortes basales de xis Oz. cts 1% y hm (rol) en fract.	<5
M-218	238.904.73	9.101.977.68	2.956.24	3.00	70	--	1	0.5	1	1	1	--	--	--	Bi y bi diss. cts 5% diss y palinas, cortes basales de xis Oz. hm (rol) y hm (pa) en fract.	<5
M-219	238.903.58	9.101.974.52	2.955.56	3.00	45	--	1-2	1.5	--	--	--	--	--	--	Bi y bi diss. cts <1% como palinas, cortes basales de xis Oz. hm (rol) y hm (pa) en fract	<5
M-220	238.902.17	9.101.972.31	2.955.48	3.00	45	--	2	1.5	--	--	--	--	--	--	Grano grueso (ve), cortes basales de xis Oz. cts diss. hm (rol) y hm (pa) en fract	<5
M-221	238.900.99	9.101.969.58	2.955.14	3.00	45	--	1	1.5	--	--	--	--	--	--	Grano grueso (ve), cortes basales de xis Oz. cts diss. hm (rol) y hm (pa) en fract	<5
M-222	238.900.20	9.101.966.67	2.954.60	3.00	40	--	0.5	1	0.5	1	1	--	--	--	Bi y bi diss. cts 2% diss. cortes basales de xis Oz. hm (pa) en fract	<5
M-223	238.898.32	9.101.964.58	2.954.61	3.00	35	--	1	1	1	1	1	--	--	--	Bi y bi diss. cts 4% diss y alg palinas, cortes basales de xis Oz. hm (pa) en fract	<5
M-224	238.896.18	9.101.962.02	2.953.94	3.00	40	--	1	1	0.5	0.5	1	--	--	--	Bi y bi diss. cts 7% diss. cortes basales de xis Oz. hm (rol) en fract	<5
M-225	238.894.23	9.101.959.97	2.953.34	3.00	70	--	0.5	1	1	1	1	--	--	--	Bi y bi diss. cts 8% diss. cortes basales de xis Oz. hm (rol) en fract	<5
M-226	238.892.45	9.101.957.44	2.953.36	3.00	70	--	0.5	--	--	--	--	--	--	--	Grano grueso (ve), cortes basales de xis Oz. cts diss. hm (rol) en fract	<5
M-227	238.891.71	9.101.954.53	2.953.11	3.00	65	--	0.5	0.5	1	--	--	--	--	--	Cts 6% diss y en palinas, cortes basales de xis Oz. cts diss. hm (rol) en fract	<5
M-228	238.891.59	9.101.951.56	2.952.63	3.00	35	--	1	1	0.5	0.5	1	--	--	--	Cts 7% diss. cortes basales de xis Oz. cts 1% y hm (rol) en fract	<5
M-229	238.890.93	9.101.948.60	2.952.30	3.00	30	--	1	0.5	0.5	--	--	--	--	--	Cts 8% diss y en palinas, cortes basales de xis Oz. hm (rol) en fract	<5
M-230	238.890.99	9.101.945.71	2.951.21	3.00	25	--	1	0.5	0.5	--	--	--	--	--	Cts 10% diss y en palinas, cortes basales de xis Oz. hm (rol) y hm (pa) en fract	<5
M-231	238.890.00	9.101.942.80	2.950.22	3.00	55	--	--	0.5	1	1	1	--	--	--	Bi diss. cts 5% diss. cortes basales de xis Oz	<5
M-232	238.887.93	9.101.940.44	2.949.72	3.00	55	--	1	0.5	0.5	0.5	--	--	--	--	Bi diss. cts 5% diss. cortes basales de xis Oz. hm (rol) y hm (pa) en fract	<5
M-233	238.885.47	9.101.938.70	2.949.28	3.00	45	--	1	0.5	0.5	--	--	--	--	--	Cts 7% diss y en palinas, cortes basales de xis Oz. hm (rol) en fract	<5
M-234	238.883.27	9.101.936.61	2.948.66	3.00	30	--	1	0.5	0.5	--	--	--	--	--	Cts 10% diss y en palinas, cortes basales de xis Oz. cts 1% y hm (rol) en fract	<5
M-235	238.881.08	9.101.934.55	2.947.89	3.00	65	--	--	0.5	0.5	1	--	--	--	--	Cts 8% diss y en mvills, cortes basales de xis Oz	<5
M-236	238.879.07	9.101.932.34	2.947.01	3.00	60	--	2	1	1	1	1	--	--	--	Cts 10% diss y palinas, ep <1%, hm (rol) en fract	<5
M-237	238.876.72	9.101.930.37	2.946.18	3.00	60	--	1	1	1	1	1	--	--	--	Cts 5% diss y palinas, ep <1%, hm (pa) y hm (rol) en fract	<5
M-238	238.874.00	9.101.929.01	2.945.87	3.00	65	--	1	1	1	1	1	--	--	--	Cts 10% diss. hm (pa) en fract	<5
M-239	238.871.42	9.101.927.37	2.945.00	3.00	50	--	1	1	1	1	1	--	--	--	Cts 7% diss. olos mm Oz. cts <1% y hm (pa) en fract	<5
M-240	238.868.71	9.101.926.19	2.944.61	3.00	40	--	1	1	0.5	0.5	1	--	--	--	Cts 7% diss. olos mm Oz. cts 1% y hm (rol) en fract	<5
M-241	238.866.20	9.101.924.37	2.943.59	3.00	50	--	--	1.5	1	1	1	--	--	--	Cts 7% diss. cortes basales de xis Oz. cts 1% en fract	<5
M-242	238.863.36	9.101.923.39	2.943.43	3.00	45	--	0.5	1	0.5	0.5	1	--	--	--	Bi y bi diss. cts 3% diss. cortes basales de xis Oz. hm (rol) en fract	<5
M-243	238.860.95	9.101.921.66	2.943.03	3.00	45	--	1	1	1	1	1	--	--	--	Cts 6% diss y alg palinas, cortes basales de xis Oz. cts <1% y hm (pa) en fract	<5
M-244	238.859.23	9.101.918.98	2.942.53	3.00	60	--	0.5	--	--	--	--	--	--	--	Cts 5% diss. cortes basales de xis Oz. cts 1% y hm (pa) en fract	<5
M-245	238.857.51	9.101.916.36	2.941.74	3.00	60	--	1	1	1	1	1	--	--	--	Cts 7% diss. cortes basales de xis Oz. cts 1% y hm (pa) en fract	<5
M-246	238.855.79	9.101.914.08	2.941.42	3.00	60	--	1	0.5	1	1	1	--	--	--	Cts 5% diss. cortes basales de xis Oz. cts <1% y hm (pa) en fract	5
M-247	238.853.56	9.101.911.91	2.940.57	3.00	40	--	1	1	0.5	0.5	1	--	--	--	Cts 6% diss. cortes basales de xis Oz. cts 1% y hm (pa) en fract	7
M-248	238.850.80	9.101.910.85	2.940.80	3.00	50	--	1	1	0.5	0.5	1	--	--	--	Cts 6% diss. cortes basales de xis Oz. cts 1% y hm (pa) en fract	6
M-249	238.848.04	9.101.909.07	2.939.48	3.00	55	--	1	1	1	1	1	--	--	--	Cts 7% diss. cortes basales de xis Oz. cts <1% y hm (pa) en fract	<5
M-250	238.845.23	9.101.908.54	2.939.65	3.00	50	--	1	1	1	1	1	--	--	--	Cts 7% diss y alg palinas, cortes basales de xis Oz. cts 1% y hm (pa) en fract	<5
M-251	238.842.62	9.101.907.03	2.939.16	3.00	50	1	0.5	1	0.5	1	1	--	--	--	Cts 5% diss y alg palinas, cortes basales de xis Oz. cts <1% y hm (pa) en fract	988
M-252	238.840.21	9.101.905.21	2.939.09	3.00	55	2	3	100	--	--	--	--	--	--	Cts 5% diss y palinas, cortes basales de xis Oz. xenos cm Oz (bi) y alg vills mm silice, cts <1% y hm (pa) en fract y coedades	173
M-253	238.837.75	9.101.903.34	2.938.47	3.00	60	--	0.5	1	1	1	1	--	--	--	Cts 7% diss y alg palinas, cortes basales de xis Oz. cts 1% y hm (pa) en fract	5
M-254	238.835.00	9.101.902.21	2.938.71	3.00	50	--	2	1	0.5	1	1	--	--	--	Cts 8% diss y alg palinas, cortes basales de xis Oz. alg vills mm silice, hm (pa) en fract y mvills	34
M-255	238.831.82	9.101.901.82	2.937.27	3.00	70	--	1	1	1	1	1	--	--	--	Cts 4% diss. cortes basales de xis Oz hm (pa) en fract	6
M-256	238.750.71	9.101.747.54	2.822.42	3.00	40	--	1	1	0.5	0.5	1	--	--	--	Cts 4% diss y palinas, ort 5%, hm (rol) en fract	<5
M-257	238.753.51	9.101.748.82	2.821.69	3.00	40	--	1	1	1	1	1	--	--	--	Cts 3% diss y alg palinas, ort 2%, hm (rol) en fract	<5
M-258	238.755.77	9.101.750.40	2.821.41	3.00	25	--	0.5	0.5	0.5	1	--	--	--	--	Cts 4% diss y alg palinas, hm (rol) en fract	<5
M-259	238.758.39	9.101.752.13	2.821.08	3.00	25	--	1	1	0.5	0.5	1	--	--	--	Cts 4% diss y alg palinas, hm (rol) en fract	<5
M-260	238.761.21	9.101.753.92	2.820.84	3.00	40	--	1	1	1	--	--	--	--	--	SH And porfirico, cts y hm (rol) en fract	<5

TABLA DE MUESTREO DE CANALETAS
PROYECTO LOS HORNOS - II ETAPA

Muestra N°	COORDENADAS		ALTITUD (msnm)	Long. (m)	N° Fract	N° Villis	MINERALIZACIÓN				ALTERACION				ROCA		OBSERVACIONES	Au (ppb)		
	Este	Norte					% Total	% V	% D	% ox.	SIL	Ser.	Arg.	FL	Pz.	% Sup			Nombre	Có.
M-261	238.764.09	9.101.754.33	2.819.67	3.00	65	-	1	-	-	1	2	1.5	1.5	2	-	-	Gdl	++	Cls 3% diss. cac 1% y hm (rol) en fract	<5
M-262	238.766.53	9.101.756.07	2.819.37	3.00	50	-	2	-	-	2	1	-	-	-	-	-	Gdl	++	Cls 3% diss. cac 2% y hm (rol) en fract	<5
M-263	238.768.71	9.101.758.17	2.819.02	3.00	55	-	3	-	-	3	1	-	-	-	-	-	And	++	Sill And porfirítico, alg obs Oz, cac y hm (rol) en fract	<5
M-264	238.770.88	9.101.760.24	2.818.34	3.00	40	-	2	-	-	2	1	-	-	-	-	-	And	++	Sill And porfirítico, alg obs Oz, cac 2% y hm (rol) en fract	<5
M-265	238.772.62	9.101.762.67	2.817.93	3.00	65	-	3	-	-	3	1	1	1	1	-	-	Gdl	++	Hb y bl diss, cls 3%, ot 2%, ep 1% en mvlls, hm (rol) y hm (pa) en fract	<5
M-266	238.774.44	9.101.765.10	2.817.74	3.00	70	-	4	-	-	4	0.5	1	1	1	-	-	Gdl	++	Cls 4% diss, ot 3%, ep <1% en mvlls, hm (rol) y hm (pa) en fract	<5
M-267	238.776.49	9.101.767.16	2.817.69	3.00	70	-	7	-	-	7	0.5	1	1	1	-	-	Gdl	++	Cls 4% diss, ot 2%, hm (pa) 3% y hm (rol) 1% en fract	<5
M-268	238.837.85	9.101.757.10	2.802.68	3.00	20	-	-	-	-	-	-	-	-	-	3	-	Dic-Ozf	++	Grano fino, cls ep 3% diss	<5
M-269	238.890.93	9.101.756.38	2.802.46	3.00	20	-	-	-	-	-	-	-	-	-	1	-	Dic-Ozf	++	Grano fino, cls ep 3% diss	<5
M-270	238.893.77	9.101.755.52	2.801.93	3.00	30	-	1	-	-	1	-	-	-	-	-	-	Dic-Ozf	++	Grano fino, cls ep 1% diss, hm (pa) en fract	<5
M-271	238.896.80	9.101.755.76	2.801.65	3.00	20	-	1	-	-	1	-	-	-	-	-	-	Dic-Ozf	++	Grano fino, cls ep 1% diss, hm (rol) y hm (pa) en fract	<5
M-272	238.899.83	9.101.755.38	2.800.86	3.00	20	-	-	-	-	-	-	-	-	-	-	-	Dic-Ozf	++	Grano fino, cls ep 2% diss	<5
M-273	238.902.79	9.101.755.76	2.800.49	3.00	20	-	-	-	-	-	-	-	-	-	-	-	Dic-Ozf	++	Grano fino, cls ep 2% diss	5
M-274	238.905.85	9.101.755.61	2.799.78	3.00	25	-	-	-	-	0.5	-	-	-	-	-	-	Dic-Ozf	++	Grano fino, cls ep 3% diss, hm (rol) en fract	<5
M-275	238.908.67	9.101.756.19	2.799.48	3.00	15	-	-	-	-	-	-	-	-	-	-	-	Dic-Ozf	++	Grano fino, cls ep 3% diss	<5
M-276	238.439.38	9.101.705.85	2.896.38	3.00	75	6	1	100	1	2.5	2	2	2	-	-	-	Gdl	++	Cls 1% diss, frag Oz (bl), hm (pa) en fract	653
M-277	238.441.61	9.101.707.74	2.896.53	3.00	65	4	0.5	100	0.5	2.5	1	1	2	-	-	-	Gdl	++	Cls 1% diss y alg palinas, frag Oz (bl), hm (pa) en fract	167
M-278	238.443.88	9.101.709.87	2.896.93	3.00	20	-	2	-	1	1	2.5	0.5	0.5	2	-	-	Gdl	++	Cls 2% palinas, mvlls y alg diss, py cubica oxid diss, frag Oz (bl), hm (pa) en fract y coquedades	53
M-279	238.446.56	9.101.711.26	2.896.69	3.00	25	-	2.5	-	0.5	2	2	0.5	0.5	2	-	-	Gdl	++	Cls 2% palinas, mvlls y diss, py cubica oxid diss, cac <1%, hm (rol) y hm (pa) en fract	16
M-280	238.448.87	9.101.713.31	2.897.19	3.00	25	-	1	-	1	1.5	0.5	0.5	0.5	2	-	-	Gdl	++	Cls 3% diss. palinas y mvlls, cac <1% y hm (rol) en fract	6
M-281	238.450.48	9.101.715.16	2.902.47	3.00	25	-	0.5	-	0.5	1	0.5	0.5	1	-	-	-	Gdl	++	Cls 3% diss y palinas, hm (rol) en fract	5
M-282	238.453.07	9.101.717.40	2.898.16	3.00	75	1	0.5	-	0.5	2.5	1.5	1.5	2	-	-	-	Gdl	++	Alg frag Oz (bl), py oxid portulal, hm (pa) en fract	488
M-283	238.452.50	9.101.720.35	2.898.94	3.00	75	4	1-2	-	1-2	2	1.5	1.5	2	-	-	-	Gdl	++	Alg frag Oz (bl), hm (pa) en fract	1,360
M-284	238.451.02	9.101.723.06	2.899.42	3.00	75	-	0.5	-	0.5	2.5	1	1.5	2	-	-	-	Gdl	++	Cls 1% palinas, hm (pa) en fract	15,800
M-285	238.449.96	9.101.725.93	2.899.94	3.00	80	-	7	-	7	2.5	1	1	2	-	-	-	Gdl	++	hm (pa) en fract y mtz	61
M-286	238.448.84	9.101.728.74	2.900.36	3.00	80	1	2	-	2	2.5	1	1	2	-	-	-	Gdl	++	Cls 1% palinas, hm (pa) en fract y mtz	104
M-287	238.448.08	9.101.731.69	2.900.65	3.00	75	-	6	-	6	2	1	0.5	2	-	-	-	Gdl	++	Alg cortes basales de xls Oz, hm (pa) en fract y mtz	30
M-288	238.447.60	9.101.734.69	2.901.16	3.00	80	-	2	-	2	2	1	1	2	-	-	-	Gdl	++	Cls 1% diss y alg palinas, hm (pa) en fract	<5
M-289	238.447.13	9.101.737.80	2.901.53	3.00	80	1	1	-	1	2	1	1	2	-	-	-	Gdl	++	hm (pa) en fract	<5
M-290	238.446.89	9.101.740.58	2.901.73	3.00	75	-	2	-	2	0.5	0.5	1	-	-	-	-	Gdl	++	Cls 1% mvlls, cortes basales de xls Oz, hm (pa) en fract	9
M-291	238.446.62	9.101.743.62	2.901.77	3.00	70	-	4	-	4	-	-	-	-	1	-	8	Top-P	++	Grano grueso (ve), cortes basales de xls Oz, disgregación granular debil, cls diss, hm (pa-ma) en fract	<5
M-292	238.447.10	9.101.746.58	2.901.80	3.00	50	-	2	-	2	-	-	-	-	-	101	-	Top-P	++	Grano grueso (ve), cortes basales de xls Oz, cls diss, hm (pa-ma) en fract	<5
M-293	238.447.97	9.101.749.45	2.902.00	3.00	50	-	2	-	2	-	-	-	-	-	7	-	Top-P	++	Grano grueso (ve), cortes basales de xls Oz, disgregación granular debil, cls diss, hm (pa-ma) en fract	<5
M-294	238.448.73	9.101.752.35	2.901.85	3.00	60	-	3	-	3	-	-	-	-	1	-	5	Top-P	++	Grano grueso (ve), cortes basales de xls Oz, cls diss	<5
M-295	238.509.39	9.101.692.13	2.872.49	3.00	30	-	2	-	*	2	0.5	0.5	2	-	-	-	Gdl	++	Cls 1% en palinas, hm (pa) en fract	<5
M-296	238.499.75	9.101.698.75	2.873.73	3.00	15	-	3	-	3	1	-	0.5	1	-	-	5	Gdl	++	Cls 3% diss y alg palinas, ot 1%, hm (pa) en fract	<5
M-297	238.497.50	9.101.700.69	2.874.51	3.00	30	-	1	-	3	-	-	-	-	1	-	-	Top-P	++	Grano grueso (ve), cortes basales de xls Oz, disgregación granular debil, cls diss, hm (pa) en fract	<5
M-298	238.493.54	9.101.700.80	2.878.81	3.00	80	1	0.5	-	0.5	2.5	1.5	1.5	2	-	-	-	Gdl	++	Cls 1% palinas, mvlls y alg diss, alg frag Oz (bl), hm (pa) en fract	7
M-299	238.490.72	9.101.701.57	2.878.85	3.00	70	-	1	-	1	2	1	1	2	-	-	-	Gdl	++	Cls 2% palinas, mvlls y alg diss, hm (pa) en fract	5
M-300	238.487.79	9.101.702.43	2.878.70	3.00	60	-	0.5	-	0.5	1.5	1	1	2	-	-	-	Gdl	++	Cls 3% palinas, mvlls y diss, ot 1% en ciertos tramos, hm (pa) en fract	<5
M-301	238.485.28	9.101.703.98	2.879.01	3.00	60	-	0.5	-	0.5	1.5	1	1	2	-	-	-	Gdl	++	Cls 4% palinas, mvlls y diss, ot 1% en ciertos tramos, hm (pa) en fract	<5
M-302	238.475.10	9.101.713.93	2.883.65	3.00	25	-	1	-	1	2	0.5	0.5	2	-	-	-	Gdl	++	Cls 3% vlls, mvlls y alg diss, cac <1%, y hm (rol) en fract	<5
M-303	238.488.58	9.101.731.51	2.883.63	3.00	40	-	2	-	2	2.5	0.5	0.5	2	-	-	-	Gdl	++	Cls 4% mvlls y palinas, ep <1% mvlls, cac 1% y hm (rol) en fract	<5
M-304	238.490.82	9.101.729.52	2.883.47	3.00	40	-	1	-	1	1.5	0.5	0.5	2	-	-	-	Gdl	++	Cls 4% mvlls y palinas y diss, cac 2% y hm (rol) en fract	<5
M-305	238.492.60	9.101.726.75	2.882.99	3.00	35	-	0.5	-	0.5	2	0.5	0.5	2	-	-	-	Gdl	++	Cls 4% mvlls y palinas y diss, cac <1%, y hm (rol) en fract	<5
M-306	238.467.11	9.101.723.15	2.887.68	3.00	30	-	1	-	1	1	0.5	0.5	2	-	-	-	Top-P	++	Grano grueso (ve), cls 3% palinas, cortes basales de xls Oz, cac <1%, y hm (rol) en fract	<5
M-307	238.467.04	9.101.720.17	2.888.30	3.00	45	1	0.5	100	0.5	1.5	0.5	0.5	2	-	-	-	Top-P	++	Grano grueso (ve), cls 3% mvlls y palinas, alg cortes basales de xls Oz, cac 1% y hm (rol) en fract	<5
M-308	238.466.56	9.101.717.08	2.888.37	3.00	70	-	0.5	-	0.5	2.5	1	1	2	-	-	-	Gdl	++	Cls 3% mvlls y palinas, hm (rol) en fract	<5
M-309	238.464.65	9.101.714.68	2.889.34	3.00	60	-	-	-	-	2.5	1	1	2	-	-	-	Gdl	++	Cls 2% palinas, cac <1% en fract	<5
M-310	238.459.31	9.101.688.53	2.894.34	2.00	80	2	1	100	-	2.5	1	1	2	-	-	-	Gdl	++	Cls 1% diss, hm (pa) en fract	<5
M-311	238.457.47	9.101.689.09	2.894.16	3.00	80	-	0.5	-	0.5	2.5	1.5	1.5	2	-	3	-	Gdl	++	Alg frag Oz (bl), hm (rol) en fract	<5
M-312	238.454.83	9.101.690.62	2.893.92	3.00	80	3	1	100	-	2.5	1.5	1.5	2	-	-	-	Gdl	++	Cls 1% palinas, alg frag Oz (bl), hm (rol) y hm (pa) en fract	5
M-313	238.452.31	9.101.692.34	2.894.00	3.00	80	5	2	100	-	3	1.5	1.5	2	-	-	-	Gdl	++	Frag Oz (bl), hm (pa) y hm (rol) en fract	<5
M-314	238.465.75	9.101.761.77	2.904.59	3.00	75	-	10	-	-	2.5	1	1	2	-	5	-	Gdl	++	hm (pa) y hm (rol) 2% en fract y mtz	<5

TABLA DE MUESTREO DE CANALETAS

PROYECTO LOS HORNOS - II ETAPA

Muestra N°	COORDENADAS		ALTITUD (msnm)	Long. (m)	N° Fract	N° Vtlls	MINERALIZACION				ALTERACION				ROCA		OBSERVACIONES	Au (ppb)		
	Este	Norte					% Total	% V	% D	% Py	% óx.	Sil.	Ser.	Arg.	Fil.	Pbz.			% Sup	Nombre
M-315	238.488.71	9.101.761.95	2.905.15	3.00	40	--	0.5	--	--	0.5	--	--	1	--	7	Ton-P	++	Grano grueso (ve), cortes basales de xls Oz. cts diss	<5	
M-316	238.471.82	9.101.761.66	2.905.59	3.00	60	--	1-2	--	--	1-2	2.5	1	2	--	--	Gdl	++	Grano grueso (ve), cortes basales de xls Oz. cts diss. Im (pa) en fract	<5	
M-317	238.474.66	9.101.761.64	2.906.16	3.00	60	3	2	100	--	2	2.5	0.5	2	--	--	Gdl	++	Cts <1% patinas. Im (pa) y Im (ro) en fract	<5	
M-318	238.477.43	9.101.760.83	2.906.16	3.00	70	--	5	--	--	5	2.5	1	0.5	2	--	Gdl	++	Im (pa) en fract y alg mnvils	<5	
M-319	238.490.41	9.101.760.04	2.906.40	3.00	70	3	3	100	--	3	2.5	1	0.5	2	--	Gdl	++	Im (pa) y Im (ro) en fract	<5	
M-320	238.483.68	9.101.759.59	2.907.16	3.00	30	--	1	--	--	1	--	0.5	--	1	--	3	Ton-P	++	Grano grueso (ve), cortes basales de xls Oz. cts diss. Im (pa) en fract	<5
M-321	238.486.51	9.101.759.33	2.907.70	3.00	30	1	0.5	100	--	0.5	--	0.5	--	1	--	7	Ton-P	++	Grano grueso (ve), cortes basales de xls Oz. cts diss. Im (pa) en fract	<5
M-322	238.489.68	9.101.760.15	2.908.36	3.00	75	--	1	--	--	1	2.5	1.5	1.5	2	--	Gdl	++	Im (ro) y Im (pa) en fract	<5	
M-323	238.491.60	9.101.762.64	2.908.86	3.00	70	--	1	--	--	1	2.5	1	1	2	--	Gdl	++	Im (ro) en fract	<5	
M-324	238.493.01	9.101.765.30	2.909.42	3.00	75	3	2	100	--	2	2.5	1	1	2	--	Gdl	++	Im (ro) en fract	6	
M-325	238.494.29	9.101.767.92	2.910.22	3.00	65	1	1	100	--	1	2.5	1	0.5	2	--	Gdl	++	Ep 1% mnvils. Im (ro) en fract	<5	
M-326	238.510.44	9.101.781.80	2.916.29	3.00	50	7	3	100	--	3	2.5	1	0.5	2	--	Gdl	++	Ep <1% mnvils. Im (ro) en fract	<5	
M-327	238.512.61	9.101.780.50	2.916.02	3.00	80	2	2	100	--	2	2.5	1	0.5	2	--	Gdl	++	Cts 2% mnvils. Im (ro) en fract	<5	
M-328	238.515.83	9.101.779.90	2.915.74	3.00	80	4	3	100	--	3	2.5	1	1	2	--	Gdl	++	Im (ro) en fract	<5	
M-329	238.518.76	9.101.780.26	2.916.00	3.00	60	--	1	--	--	1	2.5	1	1	2	--	Gdl	++	Afanítico		
M-330	238.521.39	9.101.781.73	2.916.00	3.00	40	--	--	--	--	--	--	--	--	--	--	Ton-P	++	Grano grueso (ve), cortes basales de xls Oz. cts diss. disgregación granular moderada	<5	
M-331	238.523.69	9.101.783.66	2.916.00	3.00	60	--	--	--	--	--	2.5	1	0.5	2	--	Ton-P	++	Grano grueso (ve), cortes basales de xls Oz. cts diss. disgregación granular débil	<5	
M-332	238.525.41	9.101.786.12	2.916.20	3.00	70	--	1	--	--	1	2.5	1	0.5	2	--	Gdl	++	Cts <1% patinas. Im (ro) en fract	<5	
M-333	238.527.03	9.101.789.25	2.916.64	3.00	70	--	1	--	--	1	2.5	1.5	1	2	--	Gdl	++	Cts 1% patinas. Im (ro) en fract	<5	
M-334	238.527.73	9.101.792.18	2.916.76	3.00	80	3	2	100	--	2	3	1.5	1	2	--	Gdl	++	Im (ro) y Im (pa) en fract	<5	
M-335	238.527.93	9.101.795.16	2.917.23	3.00	40	--	0.5	--	--	0.5	--	0.5	--	1	--	5	Ton-P	++	Grano grueso (ve), cortes basales de xls Oz. cts diss. Im (pa) en fract	<5
M-336	238.528.28	9.101.798.21	2.917.01	3.00	50	--	--	--	--	--	--	0.5	--	1	--	5	Ton-P	++	Grano grueso (ve), cortes basales de xls Oz. cts diss	<5
M-337	238.528.45	9.101.801.26	2.917.19	3.00	45	--	1	--	--	1	--	--	--	1	--	Ton-P	++	Grano grueso (ve), cortes basales de xls Oz. cts diss. Im (ro) en fract	<5	
M-338	238.528.31	9.101.804.44	2.917.24	3.00	40	--	2	--	--	2	1.5	1.5	2	--	--	Gdl	++	Grano grueso (ve), cortes basales de xls Oz. cts diss. disgregación granular moderada. Im (ro) en fract	<5	
M-339	238.528.85	9.101.807.21	2.917.09	3.00	80	2	0.5	100	--	0.5	2	1.5	1.5	2	--	Gdl	++	Cts 1% diss y patinas. ep <1% diss. Im (ro) en fract	<5	
M-340	238.529.31	9.101.810.20	2.917.23	3.00	Bx	--	--	--	--	--	2.5	1.5	1.5	2	--	Gdl	++	Ep <1% diss. frag hasta 15 cm. Im (ro) en vlls	<5	
M-341	238.529.74	9.101.813.04	2.917.27	3.00	Bx	3	0.5	100	--	0.5	2	1.5	1.5	2	--	Gdl	++	Cts 1% diss. frag hasta 15 cm. Im (ro) en vlls	<5	
M-342	238.530.04	9.101.816.06	2.917.89	2.00	30	--	1	--	--	1	--	--	--	1	--	Ton-P	++	Grano grueso (ve), cortes basales de xls Oz. cts diss. Im (pa) en fract	<5	
M-343	238.522.50	9.101.777.73	2.916.54	3.00	40	--	1	--	--	1	--	0.5	--	1	--	1	Ton-P	++	Grano grueso (ve), cortes basales de xls Oz. cts diss. disgregación granular débil. Im (pa) en fract	<5
M-344	238.524.46	9.101.779.93	2.916.76	3.00	45	--	1	--	--	1	--	0.5	--	1	--	1	Ton-P	++	Grano grueso (ve), cortes basales de xls Oz. cts diss. disgregación granular débil. Im (pa) en fract	<5
M-345	238.526.53	9.101.781.95	2.917.80	3.00	50	--	1	--	--	1	--	0.5	--	1	--	1	Ton-P	++	Grano grueso (ve), cortes basales de xls Oz. cts diss. disgregación granular débil. Im (pa) en fract	<5
M-346	238.528.96	9.101.783.78	2.917.80	3.00	40	--	0.5	--	--	0.5	--	--	--	1	--	2	Ton-P	++	Grano grueso (ve), cortes basales de xls Oz. cts diss. alg vlls ep. Im (pa) en fract	<5
M-350	238.539.35	9.101.819.79	2.918.18	3.00	70	--	0.5	--	--	0.5	1	--	--	1	--	1	Ton-P	++	Grano grueso (ve), cortes basales de xls Oz. cts diss. alg vlls ep. Im (pa) en fract	6
M-351	238.542.08	9.101.819.01	2.918.15	3.00	70	--	1	--	--	--	--	0.5	1	--	--	1	Ton-P	++	Grano grueso (ve), cortes basales de xls Oz. cts diss. Im (ro) en fract	<5
M-352	238.544.60	9.101.817.59	2.918.05	3.00	70	--	1	--	--	1	--	0.5	1	--	--	1	Ton-P	++	Grano grueso (ve), cortes basales de xls Oz. cts diss. Im (pa) y cae 1% en fract	7
M-353	238.547.69	9.101.817.06	2.918.88	3.00	70	--	1	--	--	1	2.5	1	1	2	--	Gdl	++	Alg cts diss. Im (ro) en fract	45	
M-354	238.549.42	9.101.815.20	2.918.42	3.00	50	--	--	--	--	--	--	--	--	1	--	1	Ton-P	++	Grano grueso (ve), cortes basales de xls Oz. cts diss	924
M-355	238.550.73	9.101.812.54	2.918.88	3.00	45	--	1	--	--	1	2.5	1	1	2	--	Gdl	++	Grano grueso (ve), cortes basales de xls Oz. cts diss. Im (pa) y Im (ro) en fract	<5	
M-356	238.552.65	9.101.810.21	2.919.19	3.00	80	--	0.5	--	--	0.5	3	1	1.5	2	--	Gdl	++	Ep <1% mnvils. Im (ro) en fract	64	
M-357	238.555.10	9.101.808.30	2.919.27	3.00	70	6	2	100	--	2	--	--	1	1	--	Ton-P	++	Grano grueso (ve), cortes basales de xls Oz. cts diss	36	
M-358	238.557.81	9.101.806.81	2.919.61	3.00	75	--	--	--	--	--	3	1	1.5	2	--	Gdl	++	Ep <1% y Im (ro) en mnvils	<5	
M-359	238.560.40	9.101.805.27	2.919.75	3.00	70	--	0.5	--	--	0.5	--	--	--	1	--	1	Ton-P	++	Grano med-Oz. cortes basales de xls Oz. bi diss alg cts. ep 1% mnvils	<5
M-360	238.563.11	9.101.804.04	2.919.84	3.00	75	--	0.5	--	--	0.5	--	1	1	1	--	Gdl	++	Grano med-grueso, cortes basales de xls Oz. bi diss. cts 1% diss y patinas. ep 1% mnvils. Im (pa) en fract	<5	
M-361	238.565.88	9.101.802.84	2.920.06	3.00	70	--	1	--	--	1	--	1	1	1	--	Ton-P	++	Grano grueso (ve), cortes basales de xls Oz. cts diss. bi diss. cts 4% diss y mnvils. ep 1% mnvils. Im (pa) en fract	<5	
M-362	238.568.68	9.101.801.75	2.920.09	3.00	70	--	0.5	--	--	0.5	--	0.5	1	--	--	Ton-P	++	Grano grueso (ve), cortes basales de xls Oz. cts diss. bi diss. cts 3% diss. ep 1% mnvils. Im (pa) en fract	<5	

TABLA DE MUESTREO DE CANALETAS

PROYECTO LOS HORNOS - II ETAPA

Muestra N°	COORDENADAS		Long. (m)	N° Fract	N° Vtlls	MINERALIZACION			ALTERACION				ROCA		OBSERVACIONES	Au (ppb)			
	Este	Norte				% Total	% V	% D	Sil.	Ser.	Arg.	Fl.	Pbz.	% Sup	Nombre	Co.			
M-363	238,571.68	9,101,800.96	3.00	70	—	0.5	—	—	—	2.5	1	2	—	—	And	—	Ep <1% mvtls. Sil And porfítico lenticular. Im (pa) en fract	<5	
M-364	238,574.59	9,101,800.12	2,920.28	70	—	0.5	—	—	—	2.5	1	2	—	—	Gdl	—	Cls 1% diss y patinas, oquedades pequeñas con hm (ro)	<5	
M-365	238,577.19	9,101,793.84	2,920.56	3.00	70	—	—	—	—	1.5	0.5	1	2	—	Gdl	—	Cls 4% diss y patinas. Im (ro) en fract	170	
M-366	238,579.71	9,101,797.10	2,920.85	3.00	65	—	—	—	—	1.5	0.5	2	—	—	Gdl	—	Cls 4% diss y patinas. Im (ro) en fract	1,935	
M-367	238,582.11	9,101,795.24	2,921.15	3.00	60	7	1	100	—	—	—	—	—	—	Ton-P	—	Grano grueso (ve), cortes basales de xis Oz. cls diss. Im (ro) en fract	<5	
M-368	238,584.94	9,101,793.96	2,921.50	3.00	60	3	0.5	100	—	—	—	—	—	—	Ton-P	—	Grano grueso (ve), cortes basales de xis Oz. cls diss. Im (pa) en fract	6	
M-369	238,588.07	9,101,794.37	2,921.56	3.00	55	—	0.5	—	—	—	—	—	—	—	Ton-P	—	Grano med-guoso (ve), cortes basales de xis Oz. Sil And afanítico de 25cm. cac 1% y Im (pa) en fract	<5	
M-370	238,590.62	9,101,796.25	2,921.78	3.00	60	—	—	—	—	—	—	—	—	—	Ton-P	—	Grano grueso (ve), cortes basales de xis Oz. cls diss. Dq And afanítico de 25cm. cac 1% en fract	<5	
M-371	238,593.01	9,101,797.91	2,921.51	3.00	50	—	—	—	—	—	—	—	—	—	Ton-P	—	Grano grueso (ve), cortes basales de xis Oz. cls diss. cac 1% en fract	<5	
M-372	238,595.54	9,101,799.43	2,921.54	3.00	40	—	—	—	—	—	—	—	—	—	Ton-P	—	Grano grueso (ve), cortes basales de xis Oz. cls diss y patinas. cac 1% en fract	<5	
M-373	238,598.56	9,101,800.23	2,921.62	3.00	30	—	—	—	—	—	—	—	—	—	Gdl	—	Grano grueso, cortes basales de xis Oz. cls 4% diss y alg patinas. cac 1% y Im (ro) en fract	<5	
M-374	238,601.46	9,101,798.40	2,921.17	3.00	30	—	0.5	—	—	—	—	—	—	—	Gdl	—	Grano grueso, cortes basales de xis Oz. cls 4% diss y patinas. cac 2% y Im (pa-ma) en fract	<5	
M-375	238,604.56	9,101,800.58	2,921.21	3.00	30	—	0.5	—	—	—	—	—	—	—	Gdl	—	Grano grueso, cortes basales de xis Oz. cls 4% diss y patinas. cac 1% y Im (pa-ma) en fract	<5	
M-376	238,607.43	9,101,800.11	2,920.86	3.00	35	—	0.5	—	—	—	—	—	—	—	Gdl	—	Grano medio-Oz, cortes basales de xis Oz. cls 3% diss y patinas. cac 1% y Im (pa-ma) en fract	<5	
M-377	238,610.22	9,101,799.35	2,920.24	3.00	40	—	1	—	—	1	0.5	0.5	1	—	Gdl	—	Cortes basales de xis Oz. cls 4% diss y patinas. cac 2% y Im (pa-ma) en fract	<5	
M-378	238,613.15	9,101,798.85	2,920.13	3.00	45	—	0.5	—	—	—	—	—	—	—	Gdl	—	Cortes basales de xis Oz. cls 4% diss y patinas. cac 1% y Im (pa-ma) en fract	<5	
M-379	238,616.31	9,101,798.40	2,919.64	3.00	50	—	0.5	—	—	—	—	—	—	—	Gdl	—	Cortes basales de xis Oz. cls 4% diss. cac 2% y Im (pa) en fract	<5	
M-380	238,619.27	9,101,798.29	2,919.35	3.00	70	—	0.5	—	—	—	—	—	—	—	Gdl	—	Cortes basales de xis Oz. cls 3% diss. cac 1% y Im (pa) en fract	<5	
M-381	238,622.20	9,101,798.31	2,918.84	3.00	70	—	1	—	—	1	0.5	0.5	1	—	Gdl	—	Cortes basales de xis Oz. cls 4% diss. cac 1% y Im (pa-ma) en fract	<5	
M-382	238,625.29	9,101,798.49	2,918.65	3.00	60	—	1	—	—	—	—	—	—	—	Gdl	—	Cortes basales de xis Oz. cls 4% diss. Im (pa) en fract	<5	
M-383	238,628.34	9,101,798.72	2,918.68	3.00	70	—	1.2	—	—	2.5	1	2	—	—	Gdl	—	Cls <1% patinas. Im (pa) en fract	<5	
M-384	238,631.10	9,101,798.18	2,918.78	3.00	70	2	0.5	100	—	0.5	3	1	2	—	Gdl	—	Cls 1% patinas. cac <1% y Im (pa) en fract	<5	
M-385	238,633.34	9,101,796.29	2,918.34	3.60	70	4	2	100	—	—	—	—	—	—	Gdl	—	Cls <1% patinas. Im (pa) en fract	<5	
M-386	238,636.57	9,101,794.60	2,917.95	3.00	60	6	1.5	100	0.5	1	3	1.5	0.5	2	—	Gdl	—	Cls <1% patinas. ser (ve). Pz cubica oxid diss. Im (pa) en fract y mfract	<5
M-387	238,639.67	9,101,794.46	2,917.89	3.00	60	3	1.5	100	1	0.5	3	0.5	0.5	2	—	Gdl	—	Cls <1% patinas. Pz cubica oxid diss. cac <1% y Im (pa) en fract	8
M-388	238,642.70	9,101,794.51	2,917.50	3.00	60	10	2.3	100	—	2.3	0.5	0.5	2	—	Gdl	—	Cls 2% patinas y alg diss. cac <1% y Im (pa) en fract y mfract	<5	
M-389	238,645.61	9,101,794.89	2,917.31	3.00	65	2	1.2	100	—	3	3	1	2	—	Gdl	—	Cls 1% patinas y alg diss. Im (pa) en fract y mfract	25	
M-390	238,648.62	9,101,793.73	2,918.18	3.00	45	—	3	—	—	3	0.5	0.5	2	—	Gdl	—	Cls 1% patinas y alg diss. Im (pa) y hm (ro) en fract	16	
M-391	238,651.45	9,101,793.83	2,917.81	3.00	60	—	1.2	—	—	1.2	3	0.5	0.5	2	—	Gdl	—	Cls 1% patinas y alg diss. Im (pa) en fract y mfract	<5
M-392	238,654.16	9,101,792.76	2,918.99	3.00	60	—	1.2	—	—	1.5	0.5	0.5	2	—	Gdl	—	Cls 4% diss y alg patinas. Im (pa) y hm (ro) en fract y mfract	9	
M-393	238,653.87	9,101,787.31	2,914.26	3.00	35	—	0.5	—	—	—	—	—	—	—	Ton-P	—	Grano grueso (ve), cortes basales de xis Oz. cls diss. Im (pa) en fract	<5	
M-394	238,653.87	9,101,787.31	2,914.26	3.00	70	—	0.5	—	—	—	—	—	—	—	Ton-P	—	Grano grueso (ve), cortes basales de xis Oz. cls diss. Im (ro) en fract	<5	
M-395	238,653.32	9,101,785.56	2,912.43	3.00	70	—	0.5	—	—	3	1	1	2	—	Gdl	—	Cls 1% patinas	<5	
M-396	238,656.05	9,101,783.24	2,911.04	3.00	80	—	0.5	—	—	0.5	3	1	1.5	2	—	Gdl	—	Cls <1% patinas. alg frag Oz (bi). Im (ro) en fract	<5
M-397	238,657.60	9,101,780.98	2,909.09	3.00	70	—	1	—	—	3	1	1	2	—	Gdl	—	Cls <1% patinas. Im (ro) en fract	<5	
M-398	238,658.80	9,101,778.63	2,907.43	2.60	70	—	0.5	—	—	2.5	1	1	2	—	Gdl	—	Cls 1% patinas y alg diss. Dq And afanítico. pot 20-30 cm irregular. oquedades con oído. Im (ro) en fract	<5	
M-399	238,640.04	9,101,777.37	2,906.88	3.00	80	—	0.5	—	—	2.5	1	1	2	—	Gdl	—	Cls <1% patinas. Im (pa) y hm (ro) en fract	68	
M-400	238,642.44	9,101,777.22	2,904.78	3.00	80	—	0.5	—	—	3	1	1.5	2	—	Gdl	—	Im (ro) en fract	<5	
M-401	238,644.37	9,101,775.52	2,903.07	3.00	50	—	—	—	—	—	—	—	—	—	Ton-P	—	Grano grueso (ve), cortes basales de xis Oz. cls diss	<5	
M-503	238,646.76	9,101,774.82	2,901.31	3.00	45	—	1	—	—	1	0.5	0.5	1	—	Ton-P	—	Grano grueso (ve), cortes basales de xis Oz. bi diss. cac <1% y Im (ro) en fract	12	
M-504	238,648.03	9,101,772.68	2,899.17	3.00	40	2	1	—	—	0.5	0.5	1	—	—	Ton-P	—	Grano grueso (ve), cortes basales de xis Oz. cls diss. Im (pa) en fract	414	
M-505	238,647.59	9,101,770.00	2,899.15	3.00	25	—	0.5	—	—	—	—	—	—	—	Ton-P	—	Grano grueso (ve), cortes basales de xis Oz. cls diss	<5	
M-506	238,649.60	9,101,768.04	2,897.85	3.00	65	—	1	—	—	3	1	1	2	—	Gdl	—	Im (ro) en fract	<5	
M-507	238,651.47	9,101,765.82	2,897.59	3.00	60	—	0.5	—	—	2	0.5	0.5	2	—	Gdl	—	Cls 1% y ep <1% mvtls. cac <1% y Im (ro) en fract	<5	
M-508	238,653.90	9,101,764.66	2,897.32	3.00	60	—	2	—	—	2.5	0.5	0.5	2	—	Gdl	—	Cls 2% patinas. mvtls y alg diss. Im (pa) en fract	10	
M-509	238,656.34	9,101,763.40	2,895.52	3.00	60	—	0.5	—	—	2.5	0.5	0.5	2	—	Gdl	—	Cls 1% patinas y alg diss. Im (pa) en fract	<5	
M-510	238,658.83	9,101,762.46	2,893.49	3.00	70	1	0.5	100	—	0.5	2.5	0.5	0.5	2	—	Gdl	—	Cls <1% patinas y mvtls. vnlis mm silice. Im (pa) y hm (ro) en fract	<5
M-511	238,660.89	9,101,760.53	2,891.48	3.00	40	—	0.5	—	—	2	0.5	—	—	—	Gdl	—	Cls 2% patinas. mvtls y alg diss. Im (ro) en fract	<5	
M-512	238,662.75	9,101,758.83	2,890.35	3.00	60	—	1	—	—	—	—	—	—	—	And	—	Dq And porfítico-microgranular. pot 60-25cm	<5	
M-513	238,664.84	9,101,757.90	2,890.30	3.00	45	—	1	—	—	1	2	0.5	0.5	2	—	Gdl	—	Cls <1% patinas. Im (pa) y hm (ro) en fract	<5
M-514	238,667.12	9,101,756.86	2,888.26	3.00	70	—	—	—	—	3	1	1	2	—	Gdl	—	Grano grueso (ve), cortes basales de xis Oz. cls diss. Im (pa) y hm (ro) en fract	<5	

TABLA DE MUESTREO DE CANALETAS
 PROYECTO LOS HORNOS - II ETAPA

Muestra N°	COORDENADAS		Long. (m)	ALTITUD (msnm)	N° Fract	N° Vitr	MINERALIZACIÓN				ALTERACIÓN				ROCA	OBSERVACIONES	Au (ppb)	
	Este	Norte					% Total	% V	% D	% ox.	SIL	Ser.	Arg.	FL				Pbz.
M-515	238.589.30	9.101.757.66	3.00	2.836.46	3.00	25	--	0.5	--	--	--	1	--	--	Top-P	Grano grueso (ve), cortes basales de xs Oz. dts diss. hm (pa) en fract	<5	
M-516	238.571.52	9.101.756.13	3.00	2.884.67	3.00	35	--	--	--	--	--	1	--	--	Top-P	Grano grueso (ve), cortes basales de xs Oz. dts diss. cac 1% en fract	<5	
M-517	238.573.75	9.101.754.51	3.00	2.892.50	3.00	60	--	--	1.5	0.5	1	1	--	--	Gdl	Cts 2% patinas y diss	<5	
M-518	238.575.15	9.101.752.38	3.00	2.880.79	3.00	55	--	0.5	1	0.5	0.5	1	--	--	Gdl	Cts 3% diss y patinas. hm (roj) en fract	<5	
M-519	238.577.25	9.101.750.90	3.00	2.878.88	3.00	60	--	0.5	1	0.5	0.5	1	--	--	Gdl	Cts 3% diss y patinas. hm (roj) en fract	<5	
M-520	238.578.63	9.101.748.88	3.00	2.876.84	3.00	55	--	0.5	2	0.5	0.5	2	--	--	Gdl	Cts 2% diss y mvnls. ep <1% diss. cac <1% y hm (roj) en fract	<5	
M-521	238.579.58	9.101.746.53	3.00	2.875.09	3.00	40	7	1	100	--	1	--	--	--	Gdl	Cts 4% diss y patinas. cac <1%, hm (roj) y hm (pa) en fract	<5	
M-522	238.580.61	9.101.744.09	3.00	2.873.01	3.00	50	--	1	1.5	--	0.5	2	--	--	Gdl	Cts 2% diss y patinas. hm (pa) en fract	<5	
M-524	238.581.39	9.101.741.35	3.00	2.871.22	3.00	50	--	1-2	2.5	0.5	0.5	2	--	--	Gdl	Cts 1% patinas y alg diss. ep <1% diss. cac <1% y hm (pa) en fract	<5	
M-525	238.582.23	9.101.738.98	3.00	2.869.53	3.00	65	10	1	100	1	2.5	1	2	--	Gdl	Cts 1% diss y patinas, alg vnls mm slice, cac <1% y hm (pa) en fract	<5	
M-526	238.582.85	9.101.736.32	3.00	2.867.54	3.00	60	23	3	100	3	1	0.5	--	1	Gdl	Cts 4% diss y patinas. cac <1% y hm (pa) en fract	<5	
M-527	238.587.49	9.101.728.26	3.00	2.861.70	3.00	65	10	1-2	100	1-2	--	--	1	--	Top-P	Grano grueso (ve), cortes basales de xs Oz. dts diss	<5	
M-528	238.589.39	9.101.726.28	3.90	2.859.95	3.90	60	11	2	100	2	0.5	--	2	--	Gdl	Cts 3% diss y patinas. hm (pa) y hm (roj) en fract	10	
M-529	238.593.59	9.101.719.36	3.00	2.854.54	3.00	40	4	5	100	1	4	--	--	--	And	Dq Andafítico, py mass diss, pot 40 cm	19	
M-530	238.594.65	9.101.716.82	3.00	2.852.97	3.00	50	4	3	100	3	1.5	0.5	--	2	Gdl	Cts 3% diss. hm (pa) y hm (roj) 1% en fract	6	
M-531	238.596.42	9.101.714.99	3.00	2.851.70	3.00	45	--	1-2	--	1-2	1.5	0.5	--	2	Gdl	Cts 3% diss y patinas. hm (pa) y hm (roj) en fract	<5	
M-532	238.598.73	9.101.714.89	3.00	2.849.71	3.00	60	10	3	100	3	1	0.5	--	1	Gdl	Cts 4% diss y patinas. hm (pa) y hm (roj) 1% en fract	<5	
M-533	238.600.43	9.101.712.91	3.00	2.847.70	3.00	45	--	4	--	4	1	0.5	--	1	Top-P	Grano grueso (ve), cortes basales de xs Oz. dts diss	10	
M-534	238.601.65	9.101.710.73	2.845.42	2.845.42	2.00	60	5	1	100	1	3	1	1	2	Gdl	Cts 3% diss y patinas. hm (pa) en fract	<5	
M-535	238.602.12	9.101.709.12	2.844.27	2.844.27	2.00	60	9	1-2	100	1-2	3	1	1	2	Gdl	Cts <1% patinas. hm (pa) en fract	5	
M-536	238.529.72	9.101.818.55	3.00	2.918.79	3.00	70	1	1	--	1	2.5	1	1	2	--	Gdl	Cts <1% patinas. hm (roj) en fract	<5
M-537	238.529.00	9.101.820.67	3.60	2.921.00	3.60	70	--	1	--	1	2.5	1	1	2	--	Gdl	Cts 1% patinas. ep <1% mvnls, hm (roj) en fract	<5
M-538	238.524.90	9.101.823.99	2.927.40	2.927.40	2.20	80	--	1	--	1	3	1	1.5	2	Gdl	hm (pa) en fract	<5	
M-539	238.524.16	9.101.832.06	2.924.60	2.924.60	3.00	25	--	0.5	--	0.5	--	--	--	1	Top-P	Cts 3% diss y mvnls	<5	
M-540	238.525.61	9.101.834.83	2.923.98	2.923.98	3.00	30	--	--	--	--	--	--	--	1	Top-P	Grano grueso (ve), cortes basales de xs Oz. dts diss. cac 1%, hm (roj) y hm (pa) en fract	<5	
M-541	238.526.01	9.101.837.23	2.927.26	2.927.26	3.50	45	--	--	--	--	--	--	--	1	Top-P	Grano grueso (ve), cortes basales de xs Oz. dts diss	<5	
M-542	238.525.35	9.101.839.62	2.929.22	2.929.22	3.00	80	--	0.5	2.5	1	1.5	2	--	--	Gr	Cts 1% patinas y alg diss. hm (roj) en fract	<5	
M-543	238.518.66	9.101.839.99	2.933.65	2.933.65	3.00	60	--	1	2.5	1	1	2	--	--	Gr	Ep <1% mvnls, hm (roj) y hm (pa) en fract	<5	
M-545	238.519.36	9.101.842.75	2.934.96	2.934.96	3.00	70	--	1	2.5	1	1	2	--	--	Gr	Cts <1% patinas. ep <1% mvnls. cac <1%, hm (roj) y hm (pa) en fract	<5	
M-546	238.519.23	9.101.845.94	2.935.60	2.935.60	3.00	70	--	1-2	2.5	1	1	2	--	--	Gr	Ep 1% mvnls. hm (pa) y hm (roj) en fract	<5	
M-547	238.520.27	9.101.848.59	2.935.70	2.935.70	3.00	70	--	1	3	1	1	2	--	--	Gr	Ep 1% mvnls. hm (roj) y hm (pa) en fract	<5	
M-548	238.521.41	9.101.851.40	2.935.57	2.935.57	3.00	70	--	1	3	1	1	2	--	--	Gr	Ep 2% mvnls y vnls. hm (roj) en fract	<5	
M-549	238.523.80	9.101.853.29	2.934.96	2.934.96	3.00	70	--	1	3	1	1	2	--	5	Gr	Ep 1% mvnls. hm (roj) en fract	7	
M-550	238.524.64	9.101.856.08	2.935.37	2.935.37	2.00	75	--	1	3	1	1.5	2	--	--	Gr	Ep 1-2% mvnls. hm (roj) en fract	<5	
M-551	238.530.57	9.101.863.46	2.937.99	2.937.99	3.00	30	--	--	0.5	--	0.5	1	--	--	Top-P	Grano grueso (ve), cortes basales de xs Oz. dts diss. cac <1% en fract	<5	
M-552	238.528.10	9.101.865.13	2.937.78	2.937.78	3.00	60	--	0.5	2.5	1	1.5	2	--	--	Gr	Cts 1% patinas. ep <1% mvnls. hm (roj) en fract	<5	
M-553	238.528.70	9.101.867.47	2.939.20	2.939.20	3.00	70	--	1	--	--	--	--	--	--	And	Dq, microgranular	<5	
M-554	238.525.55	9.101.869.82	2.940.93	2.940.93	3.00	60	--	2	2	1	1	2	--	--	Gr	Ep 1-2% mvnls. dts <1% patinas. hm (roj) en fract	<5	
M-555	238.524.54	9.101.872.22	2.942.46	2.942.46	3.00	75	--	1	2.5	1	1	2	--	--	Gr	Cts 3% diss y patinas. hm (pa) y hm (roj) en fract	<5	
M-556	238.522.90	9.101.874.26	2.943.97	2.943.97	3.00	70	--	0.5	3	1	1	2	--	--	Gr	Cts <1% patinas. ep <1% mvnls y alg diss. hm (roj) en fract	<5	
M-557	238.521.65	9.101.876.53	2.946.42	2.946.42	3.00	70	4	1	100	1	3	1	1	2	--	Gr	Cts 1% patinas. ep 1% mvnls y vnls. hm (roj) en fract	<5
M-558	238.518.63	9.101.878.58	2.946.18	2.946.18	3.00	Bx	10	2	100	2	3	2	2	--	Gr	Ep 1% mvnls y alg diss. hm (roj) en fract	160	
M-559	238.515.89	9.101.878.45	2.946.10	2.946.10	3.00	Bx	--	1	--	1	3	1.5	2	2	--	Gr	Ep 1% mvnls. hm (roj) y hm (pa) en fract	9
M-560	238.513.70	9.101.880.03	2.947.55	2.947.55	3.00	B-C	4	1-2	100	1-2	2	2.5	2	2	--	Gr	Ep 1% mvnls. hm (roj) en fract	37
M-561	238.513.04	9.101.882.33	2.949.58	2.949.58	3.00	50	--	1	1	0.5	0.5	0.5	1	--	Gr	Mescrata (gr-bi), ser (ve), hm (pa) y hm (roj) en fract	150	
M-562	238.511.94	9.101.884.92	2.951.13	2.951.13	3.00	40	--	0.5	--	0.5	--	0.5	1	--	Top-P	Cts 2% mvnls y alg diss. ep <1% mvnls. alg cortes basales de xs Oz. hm (roj) en fract	12	
M-563	238.509.89	9.101.886.69	2.952.16	2.952.16	3.00	40	--	--	--	--	--	--	--	1	Top-P	Grano med-gueso (ve), cortes basales de xs Oz. bi alg. dts. 3% mvnls y diss. ep 2% mvnls. cac <1% y hm (pa) en fract	9	
M-564	238.507.07	9.101.887.65	2.952.85	2.952.85	2.50	70	4	2	100	2	--	--	--	1	Top-P	Grano med-gueso (ve), cortes basales de xs Oz. dts diss. ep 1-2% mvnls. cac 1% en fract	<5	
M-566	238.504.50	9.101.887.81	2.953.21	2.953.21	1.60	Bx	--	2	--	--	--	--	--	--	Gr	Grano med-gueso (ve), cortes basales de xs Oz. dts diss. ep 2% mvnls.	8	
M-567	238.503.03	9.101.888.37	2.953.17	2.953.17	3.00	70	--	1	--	1	3	1.5	2	2	Gr	Ep <1% mvnls. hm (roj) en fract	<5	
M-568	238.503.03	9.101.888.37	2.953.17	2.953.17	3.00	70	--	1	--	1	3	1	1	2	--	Top-P	Grano grueso (ve), cortes basales de xs Oz. dts diss. disgregación granular moderada	15
M-569	238.503.03	9.101.888.37	2.953.17	2.953.17	3.00	70	--	1	--	1	3	1	1	2	--	Gr	Ep 2% mvnls dts <1% patinas. hm (roj) en fract	<5



MERENDON DE PERU S.A.
DEPARTAMENTO DE EXPLORACIONES GEOLOGICO MINERAS

TABLA DE MUESTREO DE CANALETAS

PROYECTO LOS HORNOS - II ETAPA

Muestra N°	COORDENADAS		Long. (m)	N° Fract	N° Vitr	MINERALIZACION				ALTERACION				ROCA		OBSERVACIONES	Au (ppb)
	Este	Norte				% Total	% V	% D	% óx.	Slit.	Ser.	Arg.	Flu.	Sup.	Nombre		
M-568	238,490.60	9,101,890.16	3.00	60	-	1			1	3	1	1	2	-	Gr	Ep 2% mvnls y vnls, hm (ro) en fract	< 5
M-569	238,493.83	9,101,892.27	2,954.85	40	-	2			2	-	-	-	1	-	Gr	Grano grueso (ve), cortes basales de xis Oz, cts diss	
M-570	238,496.45	9,101,893.13	2,955.81	50	1	100			1	3	1	1	2	-	Gr	Ep <1% mvnls, cts <1% diss, hm (ro) y lm (pa) en fract	1,120
M-571	238,493.52	9,101,892.98	2,956.66	30	-	1-2			1-2	3	1	1	2	-	Gr	Grano grueso (ve), cortes basales de xis Oz, cts diss, disgregación granular débil-moderada	1,180
M-572	238,490.73	9,101,891.93	2,957.83	70	-	2			2	3	1	1	2	-	Gr	Grano grueso (ve), cortes basales de xis Oz, cts diss, hm (pa) en fract	10
M-573	238,483.51	9,101,893.41	2,959.39	70	10	2-3	100		2-3	1.5	0.5	0.5	2	-	Gr	Cts 1% diss y mvnls, ep <1% mvnls y alg diss, hm (pa) en fract	< 5
M-574	238,486.42	9,101,894.85	2,960.53	70	10	3	100		3	1.5	0.5	0.5	2	-	Gr	Cts 2% diss y patinas, ep <1% mvnls, hm (pa) en fract	5
M-575	238,483.35	9,101,894.89	2,960.59	B-C	-	3			3	3	1	1	2	-	Gr	Cts 2% diss y patinas, hm (ro) en fract y miz	< 5
M-576	238,459.31	9,101,688.53	2,894.34	75	6	3	100		3	2.5	1	1.5	2	-	Gdl	Alg frag Oz (bl), hm (pa) en fract y miz	7
M-577	238,462.05	9,101,689.74	2,894.32	60	2	1-2	100		1-2	2.5	1	1	2	-	Gdl	Ep <1% mvnls, alg frag Oz (bl), hm (pa) en fract y alg peq coqueadas	638
M-578	238,464.91	9,101,690.65	2,894.35	B-C	3	2	100		2	3	2	2	2	-	Gdl	Ser (ve-gr), hm (pa) en fract	5,220
M-579	238,467.58	9,101,692.01	2,893.90	75	-	1			1	3	2	2	2	-	Gdl	Alg frag Oz (bl), hm (pa) en fract	576
M-580	238,469.79	9,101,694.10	2,891.65	300	70	1			1	2.5	2	2	2	-	Gdl	Cts <1% diss y patinas, alg frag Oz (bl), hm (pa) en fract	303
M-581	238,472.95	9,101,693.15	2,892.13	60	-	1-2			1-2	2.5	1.5	1.5	2	-	Gdl	Lm (pa) en fract	38
M-582	238,476.27	9,101,692.65	2,892.09	70	-	3			3	1.5	0.5	1	2	-	Gdl	Cts 3% diss, alg cortes basales de xis Oz	18
M-583	238,473.85	9,101,690.90	2,892.18	300	75	3			3	1.5	0.5	1	2	-	Gdl	Cts 3% diss, hm (pa-mal) en fract	53
M-584	238,480.84	9,101,688.59	2,892.27	300	80	3			2-3	1.5	0.5	1	2	-	Gdl	Cts 3% diss, hm (pa-mal) en fract	9
M-585	238,482.43	9,101,686.01	2,892.45	300	B-C	-			1-2	2.5	1.5	2	2	-	Gdl	Alg frag Oz (bl), hm (pa) en fract	12
M-587	238,484.55	9,101,683.85	2,892.50	300	B-C	5	1-2	100	1-2	2.5	2	2	2	-	Gdl	Lm (pa) en fract	116
M-588	238,486.55	9,101,681.71	2,892.58	300	60	5	1-2	100	1-2	2.5	2	2	2	-	Gdl	Lm (pa) en fract	811
M-589	238,483.73	9,101,679.92	2,892.82	300	40	4	2	100	2	1	-	-	1	-	Gr	Grano grueso (ve), cortes basales de xis Oz, cts diss, disgregación granular débil, hm (ro) en fract	< 5
M-590	238,491.39	9,101,678.68	2,893.01	300	35	3	1-2	100	1-2	-	-	-	1	-	Gr	Grano grueso (ve), cortes basales de xis Oz, cts diss, disgregación granular débil, cts <1% y hm (pa-mal) en fract	< 5
M-591	238,494.21	9,101,677.57	2,892.85	300	40	-	0.5		0.5	-	-	-	1	-	Gr	Grano grueso (ve), cortes basales de xis Oz, cts diss, disgregación granular débil, cts <1% y hm (ro) en fract	< 5
M-592	238,496.92	9,101,676.24	2,892.99	300	50	5	2	100	2	-	-	-	-	-	Gr	Do And porfítico	< 5
M-593	238,495.42	9,101,674.32	2,893.11	300	40	-	1		1	-	-	-	1	-	Gr	Cts 3% diss, cts <1% y hm (pa) en fract	< 5
M-594	238,501.50	9,101,672.15	2,893.72	300	40	-	4		4	2	0.5	0.5	2	-	Gr	Grano grueso (ve), cortes basales de xis Oz, cts diss, cts <1% y hm (pa) en fract	< 5
M-595	238,503.44	9,101,669.81	2,893.54	300	45	-	4		4	1	0.5	-	1	-	Gr	Cts 1% diss y alg vnls, hm (pa) en fract	< 5
M-596	238,505.38	9,101,667.17	2,893.55	300	45	-	4-5		4-5	1	0.5	-	1	-	Gr	Cts 3% diss y patinas, hm (pa) en fract	< 5
M-597	238,507.12	9,101,664.80	2,893.71	300	40	-	4-5		4-5	1	0.5	-	1	-	Gr	Cts 3% diss, hm (pa) en fract	< 5
M-598	238,509.93	9,101,662.40	2,894.06	300	45	-	4		4	0.5	0.5	-	1	-	Gr	Cts 3% diss y patinas, hm (pa) en fract	< 5
M-599	238,511.03	9,101,660.04	2,894.28	300	30	-	1		1	0.5	0.5	-	1	-	Gr	Cts 4% diss y patinas, hm (ro) y hm (pa) en fract	< 5
M-600	238,512.99	9,101,657.70	2,894.49	300	65	-	1		1	2.5	1	1	2	-	Gr	Cts 1% diss y patinas, hm (pa) en fract	< 5
M-601	238,514.03	9,101,654.89	2,894.26	300	50	-	2-3		2-3	2.5	1	1	2	-	Gr	Cts 1% diss y patinas, hm (pa) en fract	< 5
M-602	238,507.39	9,101,645.37	2,894.05	300	25	-	1		1	1	0.5	1	1	-	Gr	Cts 3% diss y patinas, hm (ro) y hm (pa) en fract	< 5
M-603	238,505.41	9,101,642.82	2,894.00	300	30	2	0.5	100	0.5	1	0.5	0.5	1	-	Gr	Cts 4% diss y patinas, hm (ro) en fract	< 5
M-604	238,503.88	9,101,640.31	2,894.75	300	50	-	-		-	1	0.5	0.5	1	-	Gr	Cts 3% diss y patinas	< 5
M-605	238,542.16	9,101,369.91	2,892.36	300	B-C	-	0.5		0.5	2	1	1.5	2	-	Gr	Cts 2% diss, hm (ro) y hm (pa) en fract	16
M-606	238,542.00	9,101,366.99	2,892.85	300	75	-	2		2	1.5	1	1	2	-	Gr	Cts 3% diss y patinas, hm (pa) en fract	8
M-609	238,540.57	9,101,364.26	2,893.59	300	75	-	2-3		2-3	2	1	1	2	-	Gr	Cts 2-3% diss y patinas, hm (pa) y hm (ro) en fract	< 5
M-610	238,539.65	9,101,361.41	2,893.57	300	75	-	2		2	1.5	1	1	2	-	Gr	Cts 1-2% diss y alg patinas, cts 1%, hm (pa) y hm (ro) en fract	< 5
M-611	238,538.24	9,101,358.62	2,893.80	300	70	3	100		2-3	1.5	1	0.5	2	-	Gr	Cts 2% diss, cts <1% y hm (pa) en fract	< 5
M-612	238,536.30	9,101,356.22	2,894.12	300	70	-	2-3		2-3	1	0.5	0.5	2	-	Gr	Cts 2-3% diss, alg eptz, ep 1% diss y mvnls, cts 1%, hm (pa) y hm (ro) en fract	38
M-613	238,534.38	9,101,353.93	2,894.31	300	50	20	10-15	100	10-15	3	0.5	1.5	2	-	Gr	Lm (pa) en fract, mfract, peq coqueadas y piz	23
M-614	238,532.51	9,101,351.33	2,894.58	300	35	-	10-13		10-13	3	0.5	-	2	-	Gr	Vnls mm silice, hm (pa) en fract, mfract, peq coqueadas y piz	15
M-615	238,530.83	9,101,348.91	2,895.52	300	B-C	-	2-3		2-3	1.5	1	1	2	-	Gr	Cts 1-2% diss, hm (pa) y hm (ro) 1% en fract	8

TABLA DE MUESTREO DE CANALETAS
PROYECTO LOS HORNOS - II ETAPA

Muestra N°	COORDENADAS		ALTITUD (msnm)	Long. (m)	N° Fract	N° Vtlls	MINERALIZACION				ALTERACION				ROCA		OBSERVACIONES	Au (ppb)
	Este	Norte					% Total	% V	% D	% Py	% Ox.	Sil.	Ser.	Arg.	Fl.	Ppz.		
M-616	238.331.01	9.101.345.77	2.895.81	3.00	B-C	4	7-8	100	4	2	1	2	3	Gdl	++	Cls 1% diss. lm (pa) en fract y mtz	<5	
M-617	238.332.44	9.101.343.26	2.895.80	3.00	B-C	1	7-8		7-8	3	1	1	2	Gdl	++	Cls <1% diss y patinas. lm (pa) en fract y mtz	<5	
M-618	238.333.35	9.101.340.21	2.896.31	3.00	B-C	8	8-10		8-10	2	1	1	2	Gdl	++	Cls 1% diss. lm (pa) en fract y mtz	<5	
M-619	238.334.35	9.101.337.30	2.896.79	3.00	B-C	8	8		8	2	1	1	2	Gdl	++	Cls 1% diss y patinas. lm (pa) en fract y mtz	<5	
M-620	238.316.26	9.101.306.65	2.900.18	3.00	60	2	2-3		2-3	1	0.5	1	1	Gdl	++	Cls 4% diss y patinas. cortes basales de xls Oz. cac <1%. lm (pa) y hm (rol) en fract	<5	
M-621	238.313.24	9.101.306.10	2.900.68	3.00	50	1	1		1	1	0.5	1	1	Gdl	++	Cls 4% diss. cortes basales de xls Oz. cac 1% y hm (rol) en fract	<5	
M-622	238.305.26	9.101.302.47	2.898.95	3.00	25	28	2-3	100	2-3	0.5	1	1	1	Gdl	++	Cls 4-5% diss. alg eptz. cortes basales de xls Oz. cac <1%. lm (pa) y hm (rol) en fract	<5	
M-623	238.295.51	9.101.297.14	2.899.85	3.00	30	1	0.5		0.5	0.5	1	1	1	Gdl	++	Cls 4% diss. cortes basales de xls Oz. cac 2% y hm (rol) en fract	<5	
M-624	238.294.64	9.101.294.36	2.899.20	3.00	60	1	1-2		1-2	0.5	1	1	1	Gdl	++	Cls 4% diss. cortes basales de xls Oz. cac 1% en fract	<5	
M-625	238.287.60	9.101.277.86	2.899.16	4.00	70	1	3	100	3	3	0.5	0.5	2	Gdl	++	Gr And porfítico. alg vlls Oz (bl)	170	
M-626	238.289.19	9.101.275.24	2.903.51	3.00	Bx	10	4	100	4	0.5	0.5	1	1	Gdl	++	lm (pa) en fract y mfract. py puntual cubica oxid	<5	
M-627	238.288.04	9.101.272.59	2.903.62	3.00	Bx	10	4	100	4	0.5	0.5	1	1	Gdl	++	Cls 3% diss. lm (pa) en fract y mtz	<5	
M-629	238.287.31	9.101.219.88	2.903.53	3.00	Bx	6	5	100	5	0.5	0.5	1	1	Gdl	++	Cls 4% diss. disgregación granular débil. lm (pa) en fract y mtz	<5	
M-630	238.287.01	9.101.216.57	2.903.39	3.00	Bx	6	6		6	0.5	0.5	1	1	Gdl	++	Cls 4% diss. lm (pa) en fract y mtz	<5	
M-631	238.286.79	9.101.213.56	2.903.60	3.00	Bx	6	6		6	0.5	0.5	1	1	Gdl	++	Cls 4% diss. lm (pa) en fract y mtz	<5	
M-632	238.286.81	9.101.210.53	2.903.81	3.00	Bx	4	4-5		4-5	0.5	0.5	1	1	Gdl	++	Cls 4% diss. lm (pa) en fract y mtz	<5	
M-633	238.286.62	9.101.207.40	2.904.23	3.00	Bx	4	4		4	0.5	0.5	1	1	Gdl	++	Cls 4% diss. lm (pa) en fract y mtz	<5	
M-634	238.286.73	9.101.204.90	2.904.31	3.00	Bx	2	2-3		2-3	0.5	0.5	1	1	Gdl	++	Cls 5% diss. lm (pa) en fract y mtz	<5	
M-635	238.286.83	9.101.201.42	2.904.26	3.00	Bx	15	2-3	100	2-3	1	1	1	1	Gdl	++	Cls 5% diss. lm (pa) en fract y mtz	<5	
M-636	238.286.99	9.101.198.39	2.904.40	3.00	Bx	2	2		2	1	0.5	1	1	Gdl	++	Cls 4% diss. lm (pa) en fract y mtz	<5	
M-637	238.413.83	9.101.668.70	2.915.84	3.00	Bx	8	8-10	100	8-10	2.5	1.5	2	2	Gdl	++	Mnlls silice. lm (pa) en fract y mtz	76	
M-638	238.416.20	9.101.667.47	2.915.72	3.00	Bx	4	6-7	100	6-7	2.5	1.5	2	2	Gdl	++	lm (pa) en fract y mtz	54	
M-639	238.415.67	9.101.638.48	2.909.15	4.00	75	3	3		3	2.5	1	1	2	Gdl	++	Cls <1% diss. alg eptz. ep 2% diss y mnlls. lm (pa) y hm (rol) en fract	<5	
M-640	238.418.22	9.101.635.64	2.908.51	3.00	70	3	2		2	1.5	1	1	2	Gdl	++	Cls 2% diss y mnlls. ep <1% mnlls y alg diss. lm (pa) y hm (rol) en fract	<5	
M-641	238.440.14	9.101.654.37	2.898.30	3.00	70	3	0.5	100	0.5	1.5	1	1	2	Gdl	++	Cls 3% diss y mnlls. ep <1% mnlls. cac <1% y hm (rol) en fract	<5	
M-642	238.442.38	9.101.652.61	2.896.73	3.00	65	2	2		2	1.5	1	1	2	Gdl	++	Cls 3% diss y patinas. ep puntual. cac <1%. lm (pa) y hm (rol) en fract	<5	
M-643	238.444.23	9.101.650.80	2.894.98	3.00	70	4	2	100	2	2	1	1	2	Gdl	++	Cls 2-3% diss y patinas. alg eptz. ep <1% mnlls y alg diss. hm (rol) en fract	<5	
M-644	238.446.39	9.101.649.27	2.893.24	3.00	70	4	1	100	1	2.5	1	1	2	Gdl	++	Cls 1% diss. alg eptz. ep 2% diss y mnlls. hm (rol) en fract	<5	
M-645	238.448.88	9.101.648.01	2.892.23	3.00	70	9	2	100	2	2.5	1	1	2	Gdl	++	Cls 1% diss. alg eptz. ep 1% diss y mnlls. cac <1% y hm (rol) en fract	<5	
M-646	238.450.55	9.101.646.31	2.890.53	3.00	80	3	1	100	1	2.5	1	1	2	Gdl	++	Cls 1% diss. alg eptz. ep 1% diss y mnlls. hm (rol) en fract	<5	
M-647	238.452.80	9.101.644.54	2.887.72	3.00	60	11	2	100	2	2.5	1	1	2	Gdl	++	Cls 1% diss y mnlls. alg eptz. ep 1% diss y mnlls. hm (rol) en fract	<5	
M-648	238.455.14	9.101.643.34	2.887.37	3.00	65	5	2-3	100	2-3	2.5	1	1	2	Gdl	++	Cls 1% diss y patinas. alg eptz. ep 2% diss y mnlls. hm (rol) en fract	<5	
M-650	238.457.72	9.101.641.96	2.886.11	3.00	40	2	1	100	1	2.5	1	1	2	Gdl	++	Cls 1% diss y mnlls. alg eptz. ep 1% mnlls y diss	<5	
M-651	238.460.19	9.101.640.56	2.885.39	3.00	60	9	1-2	100	1-2	2.5	1	1	2	Gdl	++	Cls 3% diss y mnlls. cac 1% y hm (rol) en fract	<5	
M-652	238.462.94	9.101.639.54	2.884.87	3.00	60	1	1		1	2	1	1	2	Gdl	++	Cls 1% diss y patinas. ep 1% diss. hm (rol) y lm (pa) en fract	<5	
M-653	238.465.80	9.101.638.60	2.884.58	3.00	70	6	1	100	1	2.5	1	1	2	Gdl	++	Cls 1% diss y mnlls. ep <1% diss. hm (rol) en fract	<5	
M-654	238.468.44	9.101.637.21	2.884.33	3.00	70	0.5	0.5		0.5	2	1	1	2	Gdl	++	Cls 1% diss. ep 1% diss. cac 1% y lm (pa) en fract	<5	
M-655	238.471.17	9.101.636.25	2.884.49	2.20	40	1	1	100	1	1.5	0.5	0.5	2	Gdl	++	Cls 3% diss y patinas. cac <1% y lm (pa) en fract	<5	
M-656	238.475.59	9.101.633.22	2.883.59	3.00	60	1	1		1	2.5	1	1	2	Gdl	++	Cls 1% diss. ep <1% diss. cac 2% y lm (pa) en fract	<5	
M-657	238.476.33	9.101.631.90	2.883.71	4.30	55	1	1		1	2	1	1	2	Gdl	++	Cls 2% diss. ep <1% diss. cac 1% en fract	<5	
M-658	238.787.70	9.101.899.45	2.945.08	3.00	65	0.5	0.5		0.5	1	0.5	0.5	1	Gdl	++	Cls 4% diss y patinas. alg eptz. ep 1% diss. disgregación granular débil-moderada	<5	
M-659	238.788.26	9.101.896.77	2.945.51	3.00	Bx	1	0.5		0.5	2	1	1	2	Gdl	++	Cls 1% diss. ep <1% diss. ser (ve). hm (rol) en fract	<5	
M-660	238.787.22	9.101.893.97	2.945.16	3.00	Bx	1	1		1	2.5	1	1	2	Gdl	++	Cls 1% diss. alg eptz. ep 1-2% diss y mnlls	<5	
M-661	238.785.69	9.101.891.49	2.945.87	3.00	Bx	1	0.5	100	0.5	2.5	1	1	2	Gdl	++	Cls 1% diss. alg eptz. ep <1% diss. hm (rol) y lm (pa) en fract	<5	
M-662	238.782.91	9.101.891.34	2.945.61	3.00	70	2	1	100	1	2	1	1	2	Gdl	++	Cls 1-2% diss y mnlls. alg eptz. ep 1% diss. vnlis mm de silice. cac <1% en fract	<5	
M-663	238.780.00	9.101.892.02	2.945.05	3.00	70	0.5	0.5		0.5	1	1	1	1	Gdl	++	Cls 3% diss. ep <1% diss. lm (pa) en fract	16	
M-664	238.776.87	9.101.892.09	2.944.53	3.00	75	0.5	0.5		0.5	1.5	1	1	1	Gdl	++	Cls 1-2% diss. alg eptz. ep 1% diss y mnlls. lm (pa) en fract	<5	
M-665	238.774.11	9.101.892.20	2.944.19	3.00	75	1	1		1	2	1	1.5	2	Gdl	++	Cls 1-2% diss y mnlls. alg eptz. ep 1% diss y mnlls. hm (rol) en fract	<5	
M-666	238.771.09	9.101.892.42	2.944.06	4.20	75	0.5	0.5		0.5	1	1	1	1	Gdl	++	Cls 3% diss. alg eptz. ep <1% diss y alg mnlls. hm (rol) en fract	6	
M-667	238.767.19	9.101.893.74	2.943.78	3.00	B-C	0.5	0.5		0.5	2.5	1.5	2	2	Gdl	++	Cls <1% diss. ep 1% diss y mnlls. hm (rol) en fract	<5	
M-668	238.764.47	9.101.895.08	2.944.10	3.00	Bx	0.5	0.5		0.5	3	1.5	2	2	Gdl	++	Cls <1% diss. ep 1% diss y mnlls. hm (rol) en fract	<5	
M-669	238.762.84	9.101.897.45	2.944.09	3.00	Bx	0.5	0.5		0.5	3	2	2	2	Gdl	++	Cls <1% diss. ep <1% diss y mnlls. hm (rol) en fract	<5	
M-671	238.761.21	9.101.899.90	2.943.55	2.20	Bx	6	1	100	1	3	1.5	1.5	2	Gdl	++	Cls <1% diss. ep <1% diss. lm (pa) y hm (rol) en fract	<5	
M-672	238.757.59	9.101.901.80	2.942.33	3.00	60	2	1	100	1	1.5	0.5	1	1	Gr	++	Cls 2-3% diss y patinas. alg eptz. ep 2% mnlls y diss. hm (rol) en fract	<5	

TABLA DE MUESTREO DE CANALETAS

PROYECTO LOS HORNOS - II ETAPA

Muestra N°	COORDENADAS		ALTITUD (msnm)	Long. (m)	N° Fract	N° Vils	MINERALIZACION			ALTERACION			ROCA		OBSERVACIONES	Au (ppb)				
	Este	Norte					% Total	% V	% D	Py	% ox.	Sil.	Ser.	Arg.			Fil.	Pbz.	% Sup	Nombre
M-673	238.755.16	9.101.900.53	2.942.30	4.00	30	--	0.5			0.5	1.5	0.5	--	1	--	Gr	++	Cls 2-3% diss y alg mvnlis. ep 3% mvnlis y diss. hm rol/ en fract	<5	
M-674	238.751.89	9.101.898.02	2.941.88	3.00	60	5	0.5	100		0.5	1	0.5	--	1	--	Gr	++	Cls 4% diss y patinas. ep <1% mvnlis. hm rol/ en fract	<5	
M-675	238.750.24	9.101.900.40	2.942.90	4.00	50	4	0.5	100		0.5	1.5	0.5	--	1	--	Gr	++	Cls 3% diss y patinas. ep 1% mvnlis. hm rol/ en fract	<5	
M-676	238.748.14	9.101.902.55	2.942.57	3.00	60	--	--			--	1	0.5	1	--	--	Gr	++	Cls 4% diss y patinas. ep <1% mvnlis. hm rol/ en fract	<5	
M-677	238.741.30	9.101.907.02	2.942.92	3.00	60	6	0.5	100		0.5	1	0.5	--	1	--	Gr	++	Cls 4% diss y patinas. ep 1% mvnlis. hm rol/ en fract	<5	
M-678	238.738.94	9.101.908.64	2.943.96	3.00	60	1	0.5	100		0.5	1	0.5	--	1	--	Gr	++	Cls 3-4% diss y alg patinas. ep 1% mvnlis. hm rol/ en fract	<5	
M-679	238.731.66	9.101.912.99	2.943.63	3.00	70	5	0.5	100		0.5	1	0.5	--	1	--	Gr	++	Cls 4% diss y alg patinas. ep <1% mvnlis. hm rol/ en fract	<5	
M-680	238.730.80	9.101.915.85	2.943.42	4.00	70	7	0.5	100		0.5	1.5	0.5	--	2	--	Gr	++	Cls 3% diss y patinas. ep 1% mvnlis. hm rol/ y hm rol/ en fract	<5	
M-681	238.712.92	9.101.908.26	2.936.99	3.00	60	--	0.5			0.5	2	0.5	--	2	--	Gr	++	Ep 4% mvnlis. vnlis y diss. cls 1% diss. cac <1% y hm rol/ en fract	<5	
M-682	238.711.09	9.101.906.00	2.937.59	3.00	60	--	0.5			0.5	2	0.5	--	2	--	Gr	++	Ep 4-5% mvnlis. vnlis y diss. cls 2% mvnlis y diss. cac <1%. hm ipa-ma y hm rol/ en fract y pqr coqueadas	<5	
M-683	238.710.06	9.101.903.16	2.937.86	3.00	70	5	1	100		1	2.5	0.5	--	2	--	Gr	++	Cls 2-3% mvnlis. vnlis y alg diss. ep 1-2% mvnlis y alg diss. hm rol/ en fract	<5	
M-684	238.710.96	9.101.900.86	2.938.76	3.00	65	18	2	100		2	2.5	0.5	--	2	--	Gr	++	Cls 2% diss y mvnlis. ep 1% diss y mvnlis. cac <1% y hm rol/ en fract	9	
M-685	238.711.25	9.101.897.97	2.938.60	2.00	70	--	1			0.5	1	0.5	--	2	--	Gr	++	Cls 3% diss y mvnlis. ep 1% diss y mvnlis. hm rol/ en fract	8	
M-686	238.711.02	9.101.896.17	2.937.82	2.00	50	--	0.5			0.5	1	0.5	--	1	--	Gr	++	Ep 4-5% mvnlis. vnlis y diss. cls 2% diss y mvnlis. hm rol/ en fract	<5	
M-687	238.709.08	9.101.895.46	2.937.16	2.40	65	--	1			1	3	0.5	0.5	2	--	Gr	++	Cls 3% diss y alg mvnlis. ep <1% diss. hm ipa y hm rol/ en fract	<5	
M-688	238.706.92	9.101.894.96	2.936.43	3.00	70	--	1-2			1-2	1	0.5	--	1	--	Gr	++	Cls 3% diss y patinas. ep <1% diss y mvnlis. hm rol/ en fract	<5	
M-689	238.704.26	9.101.893.83	2.934.99	2.30	55	1	0.5	100		0.5	1	0.5	--	1	--	Gr	++	Cls 3% diss y patinas. ep <1% diss y mvnlis. hm rol/ en fract	<5	
M-690	238.705.31	9.101.894.33	2.930.38	2.00	45	19	2-3	100		2-3	--	--	--	1	--	Ton-P	++	Grano grueso. vnlis y alg diss. de las Oz. cls diss y patinas. hm ipa y hm rol/ en fract	<5	
M-692	238.709.20	9.101.899.03	2.932.43	3.00	45	3	2	100		2	1	--	--	1	--	Gdl	++	Cls 4% diss. cortes basales de las Oz. cac <1% y hm ipa en fract	5	
M-693	238.708.62	9.101.896.22	2.932.69	3.00	45	6	1-2	100		1-2	1	--	--	1	--	Gdl	++	Cls 4% diss. cortes basales de las Oz. cac 1% y hm ipa en fract	5	
M-694	238.710.30	9.101.863.32	2.932.63	3.00	60	4	1	100		1	1	--	--	1	--	Gdl	++	Cls 3% diss. ep <1% diss. cac <1% y hm ipa en fract	<5	
M-695	238.714.98	9.101.848.94	2.928.43	3.00	45	4	2	100		2	1	0.5	--	1	--	Gdl	++	Cls 2% diss y patinas. alg oxids. ep 1% diss y mvnlis. disgregacion granular debil. hm rol/ en fract	<5	
M-696	238.714.74	9.101.846.84	2.926.85	3.00	65	1	1	100		1	1	0.5	--	1	--	Gdl	++	Cls 3% diss alg oxids. ep <1% diss y alg mvnlis. disgregacion granular debil. hm rol/ en fract	<5	
M-697	238.711.98	9.101.847.51	2.925.96	3.00	65	1	1	100		1	1	0.5	--	1	--	Gdl	++	Cls 3% diss. alg oxids. ep <1% diss y alg mvnlis. disgregacion granular debil. hm rol/ en fract	<5	
M-698	238.709.21	9.101.848.53	2.925.02	3.00	65	4	1	100		1	1	0.5	--	1	--	Gdl	++	Cls 3% diss y patinas. ep 1% diss y alg mvnlis. hm rol/ en fract	<5	
M-699	238.706.40	9.101.849.43	2.924.46	3.00	40	1	0.5	100		0.5	1	0.5	--	1	--	Gdl	++	Cls 3-4% diss y patinas. ep 1% diss y alg mvnlis. hm rol/ en fract	<5	
M-700	238.703.41	9.101.849.84	2.924.56	4.00	60	--	0.5			0.5	1.5	0.5	--	1	--	Gdl	++	Cls 3-4% diss y patinas. alg epiz. ep 1% diss y mvnlis. hm rol/ en fract	<5	
M-701	238.696.65	9.101.847.04	2.923.75	3.00	60	10	1-2	100		1-2	1.5	0.5	--	1	--	Gdl	++	Cls 4% diss. alg oxids. ep <1% diss. disgregacion granular debil. hm rol/ en fract	<5	
M-702	238.693.69	9.101.846.82	2.923.97	3.00	60	--	0.5			0.5	1	0.5	--	1	--	Gdl	++	Cls 3-4% diss y patinas. alg epiz y oxids. ep 1% diss. cac 1% y hm rol/ en fract. Xevollto de Avd alantica	<5	
M-703	238.690.76	9.101.846.31	2.924.36	3.00	50	--	1-2			1-2	1	0.5	--	1	--	Gdl	++	Cls 4% diss y alg epiz. ep <1% diss. hm rol/ en fract	<5	
M-704	238.698.61	9.101.844.14	2.924.61	3.10	60	1	1-2	100		1-2	2	0.5	--	2	--	Gdl	++	Cls 2% diss y alg epiz. ep <1% diss. hm rol/ y hm ipa en fract	<5	
M-705	238.697.97	9.101.841.39	2.924.37	2.90	70	20	5-6	100		5-6	2	0.5	0.5	2	--	Gdl	++	Cls 1% diss y patinas. hm ipa y hm rol/ <1% en fract	<5	
M-706	238.698.51	9.101.838.34	2.924.63	3.00	50	--	0.5			0.5	1	0.5	--	1	--	Gdl	++	Cls 2-3% diss y patinas. alg epiz. ep <1% diss y mvnlis. cac <1% y hm rol/ en fract	6	
M-707	238.697.50	9.101.835.72	2.924.89	3.00	50	--	0.5			0.5	1	0.5	--	1	--	Gdl	++	Cls 3% diss y patinas. ep 1% diss y hm rol/ en fract	<5	
M-708	238.695.16	9.101.833.67	2.924.96	3.00	45	18	1-2	100		1-2	1	--	--	1	--	Gdl	++	Cls 3-4% diss y patinas. ep <1% diss. hm ipa en fract	<5	
M-709	238.693.58	9.101.831.37	2.924.59	3.00	40	10	3	100		3	1.5	0.5	--	1	--	Gdl	++	Cls 3% diss. alg epiz. ep <1% diss y cac <1% y hm ipa en fract	<5	
M-710	238.692.52	9.101.828.57	2.925.33	3.50	70	--	2			2	2.5	0.5	--	2	--	Gdl	++	Cls 1% diss. cac <1%. hm ipa y hm rol/ en fract	<5	
M-711	238.690.65	9.101.825.48	2.925.99	4.30	70	12	5	100		5	2	0.5	--	2	--	Gdl	++	Cls 2% diss. hm ipa en fract	34	
M-713	238.679.25	9.101.821.63	2.927.32	3.60	50	3	0.5	100		0.5	2.5	1	1	2	--	Gdl	++	Cls 1% diss. hm ipa en fract	<5	
M-714	238.668.54	9.101.813.48	2.927.39	4.50	B-C	--	0.5			0.5	3	1	1	2	--	Gdl	++	Cls 1% diss. hm rol/ en fract	5	
M-715	238.666.73	9.101.807.52	2.926.65	3.00	60	--	1			1	3	0.5	0.5	2	--	Gdl	++	Cls 1-2% patinas y diss. ep <1% diss y alg mvnlis. cac <1%. hm ipa y hm rol/ en fract	16	
M-716	238.667.03	9.101.805.10	2.925.67	3.00	60	3	4	100		1	3	2.5	1	0.5	2	--	Gdl	++	Cls 1% diss y patinas. Py cubica diss oxid. tamaño hasta 4 mm. cac <1% y hm ipa en fract	595
M-717	238.695.25	9.101.802.87	2.924.73	3.00	25	--	1			0.5	0.5	2	0.5	--	2	--	Gdl	++	Cls 1-2% diss y alg mvnlis. Py cubica diss oxid. tamaño hasta 3 mm. cac <1% y hm ipa en fract	216
M-718	238.693.26	9.101.801.00	2.923.75	3.00	45	--	2			1	1	2	0.5	--	2	--	Gdl	++	Cls 1-2% diss y alg mvnlis. Py cubica diss oxid. tamaño hasta 3 mm. cac <1% y hm ipa en fract	44
M-719	238.691.55	9.101.798.37	2.923.13	3.00	45	11	2	100		0.5	1-2	2.5	0.5	--	2	--	Gdl	++	Cls 1% mvnlis y diss. ep <1% diss. Py cubica diss oxid. cac <1%. hm ipa y hm rol/ en fract	10
M-720	238.690.33	9.101.795.84	2.922.74	4.00	45	15	4	100		0.5	4	2	0.5	--	2	--	Gdl	++	Cls 2% mvnlis y diss. Py cubica diss oxid. cac <1%. hm ipa y hm rol/ <1% en fract	<5
M-721	238.421.81	9.101.717.11	2.907.19	3.00	40	--	2			1	1-2	3	0.5	--	2	--	Gdl	++	Cls 1% mvnlis y alg diss. ep <1% diss y alg mvnlis. Py cubica diss oxid. hm rol/ y hm ipa en fract	<5
M-722	238.423.76	9.101.715.50	2.907.16	3.00	50	1	2	100		1	1	3	0.5	--	2	--	Gdl	++	Cls 1% mvnlis y alg diss. ep <1% diss y alg mvnlis. Py cubica diss oxid. hm rol/ y hm ipa en fract	9
M-723	238.425.40	9.101.713.38	2.896.87	3.00	65	9	1.5	100		0.5	1	3	1.5	1	2	--	Gdl	++	Cls <1% mvnlis. ep <1% diss. Py cubica diss oxid. hm rol/ y hm ipa en fract	9
M-724	238.427.21	9.101.711.40	2.903.96	3.00	75	19	2	100		1	1	3	1.5	1	2	--	Gdl	++	Cls <1% mvnlis. ep <1% diss. Py cubica diss oxid. hm rol/ y hm ipa en fract	66
M-725	238.428.19	9.101.709.44	2.902.04	3.00	70	22	2	100		1	1	3	1.5	1	2	--	Gdl	++	Py cubica diss oxid. hm rol/ y hm ipa en fract	20
M-726	238.431.35	9.101.708.09	2.900.89	3.00	70	18	2	100		1	1	3	1.5	1	2	--	Gdl	++	Py cubica diss oxid. hm ipa en fract	19
M-727	238.433.99	9.101.707.19	2.899.13	3.00	75	17	2	100		1	1-2	3	1.5	1	2	--	Gdl	++	Py cubica diss oxid. hm ipa en fract	198
M-728	238.438.86	9.101.706.94	2.898.15	2.50	85	12	4	100		1	3	2	2	1	2	--	Gdl	++	Py cubica diss oxid. hm ipa y hm rol/ en fract	1276
M-729	238.439.21	9.101.707.19	2.897.27	2.50	85	9	2	100		1	1-2	2	2	1	2	--	Gdl	++	Py cubica diss oxid. alg frag Oz. bi. hm ipa y hm rol/ en fract	38
M-730	238.429.22	9.101.695.87	2.899.80	3.50	B-C	--	7			0.5	6-7	3	1.5	1	2	--	Gdl	++	Cls <1% diss. ep <1% diss y mvnlis. Py cubica diss oxid. hm ipa en fract y miz	<5
M-731	238.432.44	9.101.695.46	2.898.75	3.00	60	--	2.5			0.5	2	3	0.5	1	2	--	Gdl	++	Cls <1% diss. py diss oxid. hm ipa en fract	6



MERENDON DE PERU S.A.

DEPARTAMENTO DE EXPLORACIONES GEOLOGICO MINERAS

TABLA DE MUESTREO DE CANALETAS
PROYECTO LOS HORNOS - II ETAPA

Muestra	COORDENADAS		ALTITUD (msnm)	Long. (m)	N° Fract	N° Vtlls	MINERALIZACIÓN				ALTERACIÓN				ROCA		OBSERVACIONES	Au (ppb)			
	Este	Norte					% Total	% V	% D	Pv	% Ox.	SLI	Ser.	Arg.	FIL.	Ppz.			% Sup	Nombre	Co.
M-732	238.435.52	9.101.695.01	2.897.83	2.00	75	—	2.5	—	—	0.5	2	3	1	1	2	—	5	Gdl	++	Pv diss oxid. Im (pa) en fract. mtz y poca coqueadas	<5
M-734	238.690.65	9.101.786.54	2.873.80	3.10	50	10	7-8	100	—	—	7-8	—	1	1.5	1	—	—	Top-P	++	Grano grueso (ve), cortes basales de xis Oz. cts diss, cac <1% Im (pa) en fract	<5
M-735	238.693.93	9.101.786.66	2.874.21	3.50	55	7	7	100	—	—	7	—	0.5	1	1	—	—	Top-P	++	Grano grueso (ve), cortes basales de xis Oz. cts diss, cac <1% Im (pa) en fract	<5
M-736	238.697.21	9.101.789.24	2.873.27	2.00	B-C	—	1-2	—	—	—	1-2	2.5	1	1.5	2	—	—	Gdl	++	Cts 1% diss y patinas. Im (pa) y hm (roj) en fract	<5
M-737	238.700.88	9.101.787.09	2.871.97	3.60	60	1	2-3	100	—	—	2-3	2.5	0.5	1	2	—	—	Gdl	++	Cts <1% diss, cac <1% Im (roj) y Im (pa) en fract	<5
M-738	238.704.18	9.101.786.72	2.871.36	3.00	65	20	8-10	100	—	—	8-10	2	0.5	2	2	—	—	Gdl	++	Cts <1% diss, Im (pa) en fract	<5
M-739	238.703.98	9.101.761.34	2.865.68	3.00	45	11	1-2	100	—	—	1-2	1.5	0.5	—	2	—	—	Gdl	++	Cts 4% diss, patinas y mvnlls, Im (pa) en fract	<5
M-740	238.704.44	9.101.756.83	2.852.32	2.15	50	4	5	100	—	—	5	2	0.5	1	2	—	—	Gdl	++	Cts 2% diss, Im (pa) en fract	<5
M-741	238.704.56	9.101.756.58	2.851.36	3.00	50	7	2-3	100	—	—	2-3	1	0.5	0.5	2	—	—	Gdl	++	Cts 4% diss, mvnlls y patinas, Im (pa) en fract	<5
M-742	238.704.35	9.101.753.78	2.850.41	3.00	45	12	2	100	—	—	2	2	0.5	0.5	2	—	—	Gdl	++	Cts 3% diss fina y mvnlls, Im (pa) en fract	11
M-743	238.704.94	9.101.750.97	2.850.03	2.60	50	6	2	100	—	—	2	2	0.5	0.5	2	—	—	Gdl	++	Cts 3% diss y patinas, Im (pa) y hm (roj) en fract	5
M-744	238.714.13	9.101.753.69	2.843.78	3.40	50	10	5	100	—	—	5	2	0.5	0.5	2	—	—	Gdl	++	Cts 2% diss, Im (pa) en fract	<5
M-745	238.711.31	9.101.752.68	2.842.48	3.00	35	—	1	—	—	—	1	1.5	0.5	—	1	—	—	Gdl	++	Cts 3% diss y patinas, ort 1% cac <1% y Im (pa) en fract	6
M-746	238.711.17	9.101.750.13	2.842.48	3.00	40	—	3-4	—	—	—	3-4	1	0.5	—	1	—	—	Gdl	++	Cts 3% diss, ort <1%, Im (pa) en fract	366
M-747	238.712.80	9.101.746.25	2.841.08	3.00	40	—	2-3	—	—	—	2-3	1	0.5	—	1	—	—	Gdl	++	Cts 3% diss, Im (pa) en fract	53
M-748	238.714.40	9.101.746.64	2.838.96	3.00	50	3	2-3	100	—	—	2-3	1	0.5	—	1	—	—	Gdl	++	Cts 2% diss y patinas, ort 1% Im (pa) y hm en fract	307
M-749	238.716.03	9.101.744.82	2.837.26	4.30	45	3	2	100	—	—	2	1.5	0.5	—	1	—	—	Gdl	++	Cts 2% diss y patinas, Im (pa) en fract	30
M-750	238.464.30	9.101.686.39	2.891.85	3.00	Bx	3	6-7	100	—	—	6-7	2.5	2	2	2	—	—	Gdl	++	Alg frag Oz (bl), Im (pa) lacosta en fract y mtz	8
M-751	238.462.52	9.101.686.84	2.890.69	2.70	70	—	2	—	—	—	2	2.5	1	1	2	—	—	Gdl	++	Cts <1% diss, Im (pa) en fract	987
M-752	238.461.59	9.101.684.73	2.891.10	3.10	B-C	4	5	100	—	—	5	2.5	1.5	1.5	2	—	—	Gdl	++	Cts <1% diss, Im (pa) en fract y mtz	442
M-753	238.460.59	9.101.683.99	2.891.73	4.00	Bx	6	8	100	—	—	8	2.5	2	1	2	—	—	Gdl	++	Frag Oz (bl), Im (pa) lacosta y hm (roj) 1% en vlls y mtz	14.250
M-755	238.638.14	9.101.688.90	2.831.05	3.10	Bx	—	9	100	—	—	9	1	1.5	—	1	—	—	Gdl	++	Bx, Im (pa) y hm (roj) en vlls mm irregulares y fract. Dq and nm	1.480
M-756	238.620.28	9.101.679.68	2.825.80	3.00	C-B	4	6	100	—	—	6	1.5	1.5	—	1	—	—	Gdl	++	Cracbx (bl-ve), hm (roj) en vlls mm irregulares y fract. Cte 3% diss y fract.	17
M-757	238.617.53	9.101.676.88	2.825.85	3.00	60	4	4	100	—	—	4	1	1	—	1	—	—	Gdl	++	Cracb (bl-ve) grano meDio-Qzf-gueso, Cts 8% diss y fract, hm (roj) y Im (pa) en vlls mm y fract	5
M-758	238.614.64	9.101.676.29	2.826.43	3.00	C-B	—	3	—	—	—	3	1	1	—	1	—	—	Gdl	++	Cracb (bl-ve) grano meDio-Qzf-gueso, Cts 10% diss y fract, Im (pa) y hm (roj) en fract	<5
M-759	238.611.50	9.101.676.51	2.826.18	3.00	C-B	5	8	100	—	—	8	—	1	—	1	—	—	Gdl	++	Cracbx (bl-ve) grano meDio-Qzf, Cts 12% diss y fract, hm (roj) en vlls mm irregulares y fract	6
M-760	238.604.19	9.101.671.54	2.824.64	3.00	Bx	3	7	70	30	—	7	—	1	—	1	—	—	Gdl	++	Bx, Im (pa) y hm (roj) en vlls mm irregulares y mtz	6
M-761	238.603.02	9.101.664.57	2.825.01	3.00	C-B	3	4	100	—	—	4	—	1	—	1	—	—	Gdl	++	Cracbx (bl-ve) grano meDio-Qzf, Cts 15% diss y fract, hm (roj) y Im (pa) en vlls mm y fract, ep puntual en vlls mm	<5
M-762	238.603.81	9.101.661.74	2.825.01	3.00	60	—	2	—	—	—	2	—	1	—	1	—	—	Gdl	++	Cracb (bl) grano meDio-Qzf-gueso, Cts 12% diss y fract, Im (pa) en fract, ser (ve) en fract	<5
M-763	238.604.15	9.101.658.80	2.825.01	3.00	C-B	—	4	—	—	—	4	0.5	1	1.5	1	—	—	Gdl	++	Cracbx (bl-ve) grano meDio-Qzf-gueso, Cts 8% diss y fract, Im (pa) en fract, hacia final del canal Gdl bx con Im (pa) 10% en mtz	<5
M-764	238.604.83	9.101.655.74	2.825.01	3.00	Bx	8	15	70	30	—	15	—	1.5	1.5	1	—	—	Gdl	++	Bx, Im (pa) en vlls mm irregulares y mtz, hacia el final del canal Gdl bx con hm (roj) 4% en fract, Cts 12% fract y diss	<5
M-765	238.604.34	9.101.652.71	2.827.33	3.00	Bx	6	10	100	—	—	10	1	1.5	—	1	—	—	Gdl	++	Bx, Im (pa) y hm (roj) en vlls mm irregulares y fract, ser (ve) en fract y mtz	<5
M-766	238.603.51	9.101.646.91	2.827.49	3.00	C-B	4	6	100	—	—	6	1	1.5	—	1	—	—	Gdl	++	Cracbx (bl) grano meDio-Qzf-gueso, Cts 6% diss, Im (pa) en vlls mm irregulares y fract, ser (ve) en fract y mtz	<5
M-767	238.598.72	9.101.642.58	2.828.47	3.00	Bx	4	5	80	20	—	5	—	1.5	—	1	—	—	Gdl	++	Bx, hb 5% diss, Im (pa) y hm (roj) en vlls mm irregulares y mtz	<5
M-768	238.597.76	9.101.639.65	2.828.40	3.00	Bx	6	4	80	20	—	4	—	1.5	—	1	—	—	Gdl	++	Bx, hb 4% diss., hm (roj) y Im (pa) en vlls mm irregulares y mtz	<5
M-769	238.597.16	9.101.636.68	2.828.32	3.00	Bx	6	7	70	30	—	7	1	2	1	1	—	—	Gdl	++	Bx, Im (pa) y hm (roj) en vlls mm irregulares y mtz, Cts 3% diss	8
M-770	238.596.05	9.101.633.87	2.828.63	3.00	Bx	7	10	80	20	—	10	1	2	1	1	—	—	Gdl	++	Bx, Im (pa) y hm (roj) en vlls mm irregulares y mtz, Cts 3% diss	<5
M-771	238.594.65	9.101.631.20	2.828.97	4.40	Bx	4	3	100	—	—	3	0.5	2	1	1	—	—	Gdl	++	Bx, Im (pa) y hm (roj) en vlls mm irregulares y mtz, Cts 3% diss	<5
M-772	238.590.51	9.101.627.11	2.829.55	3.00	Bx	—	1	60	40	—	1	—	2	—	1	—	—	Gdl	++	Bx, Im (pa) en fract y mtz, Cts 2% diss	<5
M-773	238.588.29	9.101.625.03	2.828.75	3.00	Bx	1	2	100	—	—	2	—	1.5	—	1	—	—	Gdl	++	Bx, hm (roj) en vlls mm irregulares, Cts 3% diss, hb 3%	<5
M-774	238.585.23	9.101.616.83	2.829.80	3.80	Bx	—	1	100	—	—	1	1	1.5	1.5	1	—	—	Gdl	++	Bx, Im (pa) en vlls mm irregulares, Cts 2% diss, Dq and 2cm	<5
M-775	238.553.43	9.101.860.86	2.953.95	3.00	50	—	—	—	—	—	—	2	1	—	2	—	—	Gr	++	Craa (bl), Cts 2% vlls mm, fract y diss ep 2% en vlls mm y fract	<5
M-776	238.552.63	9.101.857.98	2.953.61	3.00	50	—	—	—	—	—	—	2	1	—	2	—	—	Gr	++	Craa (bl), Cts 2% vlls mm, fract y diss ep 2% en vlls mm y fract, vlls mm si (bl) puntual	<5
M-777	238.552.40	9.101.854.98	2.953.68	4.20	50	—	1	—	—	—	1	2	1	—	2	—	—	Gr	++	Craa (bl), hm (roj) en fract, Cts 2% vlls mm, fract y diss ep 2% en vlls mm y fract, vlls mm si (bl) puntual	5
M-778	238.554.86	9.101.850.44	2.951.91	3.00	50	—	—	—	—	—	—	2	1	—	2	—	—	Gr	++	Craa (bl), Cts 2% vlls mm, fract y diss ep 2% en vlls mm y fract, vlls mm si (bl) puntual	<5
M-779	238.556.62	9.101.846.07	2.951.50	3.00	50	—	—	—	—	—	—	2	1	—	2	—	—	Gr	++	Craa (bl), Cts 2% vlls mm, fract y diss ep 2% en vlls mm y fract, vlls mm si (bl) puntual	<5

TABLA ESTRUCTURAL DE MUESTREO DE CANALETAS

PROYECTO LOS HORNOS - II ETAPA

Muestra N°	Long. (m)	VETAS		VETILLAS		FALLAS		FRACTURAS				OBSERVACIONES			
		Poten. (m)	Rumbo	Buzam.	N° Total	De Primer orden		Poten. (m)	Rumbo	Buzam.	De Segundo Orden				
						N°	Rumbo				N°		Rumbo	N°	Buz.
M-1149	1.00				--						Bx	--	--	Bx	
M-1150	--				--						--	--	--		Materia seleccionada de la anterior muestra. s / m/z
M-1151	3.00				--						56	N 70° N 315° N 330° N 225°	38° NW 75° SW 75° SW 65° SE		Craq
M-1152	3.00				--						65	--	--		Craq
M-1153	3.00				--						60	N 300°	82° NE		Craq
M-1154	3.00				--						65	N 300°	SV		Craq
M-1155	3.00				--						60	N 292°	78° SW		Craq - Bx
M-1156	3.00				--						50	N 303°	80° NE		Craq
M-1157	3.00				--						50	N 312°	83° SW		Craq
M-1158	3.00				--						50	N 126°	68° NE		
M-1159	3.00				--						50	N 80°	42° NW		Craq - Bx
M-1160	3.00				--						50	--	--		Craq - Bx
M-1161	3.00				--						40	N 41°	67° SE		Craq
M-1162	3.00				--						40	N 300°	74° NE		
M-1163	3.00				1		1	N 65° 42° NW			40	N 346°	64° NE		Craq
M-1164	2.30				--						60	N 55°	42° NW		Craq - Bx
M-1165	2.30				--						60	N 46°	85° NW		VIII Oz (bl), pot 1 cm
M-1166	3.00				--						60	N 75°	42° NW		Craq - Bx
M-1167	3.00				--						70	--	--		Craq - Bx
M-1168	3.00				--						60	N 55°	66° NW		Craq - Bx
M-1169	3.00				--						60	N 52°	71° NW		Falla, pnz (bl)
M-1170	3.00				--			0.01 - 0.05			50	N 333°	73° NE		Craq
M-1171	3.00				--						60	N 72°	71° NW		Falla pnz (bl)
M-1172	3.00				--						60	N 165°	66° NE		
M-1173	3.00				--						60	N 86°	50° NW		Craq - Bx
M-1174	3.00				--						60	N 71°	56° NW		
M-1175	3.00				--						70	N 345°	52° NE		
M-1176	3.00				--			0.02 - 0.06			60	N 35°	38° NW		Craq - Bx, Falla pnz (bl-pa)
M-1177	3.00				--						60	--	--		Craq - Bx
M-1178	3.00				--						30	--	--		Craq
M-1179	3.00				--						30	--	--		Fract +++
M-1180	3.00				--						30	--	--		Fract +++
M-1181	3.00				--						30	--	--		Fract +++
M-1182	3.00				--						30	--	--		Fract +++
M-1183	3.00				--						30	--	--		Fract +++
M-1184	3.00				--						30	--	--		Fract +++
M-1185	3.00				--						30	--	--		Fract +++
M-1186	3.00				--						30	--	--		Fract +++
M-1187	3.00				--						30	--	--		Fract +++
M-1188	3.00				--						30	--	--		Fract +++
M-1189	3.00				--						30	--	--		Fract +++
M-1190	3.00				--						30	--	--		Fract +++
M-1191	3.00				--						30	--	--		Fract +++
M-1192	3.00				--						30	--	--		Fract +++
M-1193	3.00				--						30	--	--		Fract +++
M-1194	3.00				--						30	--	--		Fract +++
M-1195	3.00				--						30	--	--		Fract +++
M-1196	3.00				--						30	--	--		Fract +++
M-1197	3.00				--						30	--	--		Fract +++
M-1198	3.00				--						30	--	--		Fract +++
M-1199	3.00				--						30	--	--		Fract +++
M-1200	3.00				--						30	--	--		Fract +++
M-1201	3.00				--						30	--	--		Fract +++
M-1202	3.00				--						30	--	--		Fract +++
M-1203	3.00				--						30	--	--		Fract +++
M-1204	3.00				--						30	--	--		Fract +++
M-1205	3.00				--						30	--	--		Fract +++
M-1206	3.00				--						30	--	--		Fract +++
M-1207	3.00				--						30	--	--		Fract +++
M-1208	3.00				--						30	--	--		Fract +++
M-1209	3.00				--						30	--	--		Fract +++
M-1210	3.00				--						30	--	--		Fract +++
M-1211	3.00				--						30	--	--		Fract +++
M-1212	3.00				--						30	--	--		Fract +++
M-1213	3.00				--						30	--	--		Fract +++
M-1214	3.00				--						30	--	--		Fract +++
M-1215	3.00				--						30	--	--		Fract +++
M-1216	3.00				--						30	--	--		Fract +++
M-1217	3.00				--						30	--	--		Fract +++
M-1218	3.00				--						30	--	--		Fract +++
M-1219	3.00				--						30	--	--		Fract +++
M-1220	3.00				--						30	--	--		Fract +++
M-1221	3.00				--						30	--	--		Fract +++
M-1222	3.00				--						30	--	--		Fract +++
M-1223	3.00				--						30	--	--		Fract +++
M-1224	3.00				--						30	--	--		Fract +++
M-1225	3.00				--						30	--	--		Fract +++
M-1226	3.00				--						30	--	--		Fract +++
M-1227	3.00				--						30	--	--		Fract +++
M-1228	3.00				--						30	--	--		Fract +++
M-1229	3.00				--						30	--	--		Fract +++
M-1230	3.00				--						30	--	--		Fract +++
M-1231	3.00				--						30	--	--		Fract +++
M-1232	3.00				--						30	--	--		Fract +++
M-1233	3.00				--						30	--	--		Fract +++
M-1234	3.00				--						30	--	--		Fract +++
M-1235	3.00				--						30	--	--		Fract +++
M-1236	3.00				--						30	--	--		Fract +++
M-1237	3.00				--						30	--	--		Fract +++
M-1238	3.00				--						30	--	--		Fract +++
M-1239	3.00				--						30	--	--		Fract +++
M-1240	3.00				--						30	--	--		Fract +++
M-1241	3.00				--						30	--	--		Fract +++
M-1242	3.00				--						30	--	--		Fract +++
M-1243	3.00				--						30	--	--		Fract +++
M-1244	3.00				--						30	--	--		Fract +++
M-1245	3.00				--						30	--	--		Fract +++
M-1246	3.00				--						30	--	--		Fract +++
M-1247	3.00				--						30	--	--		Fract +++
M-1248	3.00				--						30	--	--		Fract +++
M-1249	3.00				--						30	--	--		Fract +++
M-1250	3.00				--						30	--	--		Fract +++
M-1251	3.00				--						30	--	--		Fract +++
M-1252	3.00				--						30	--	--		Fract +++
M-1253	3.00				--						30	--	--		Fract +++
M-1254	3.00				--						30	--	--		Fract +++
M-1255	3.00				--						30	--	--		Fract +++
M-1256	3.00				--						30	--	--		Fract +++
M-1257	3.00				--						30	--	--		Fract +++
M-1258	3.00				--						30	--	--		Fract +++
M-1259	3.00				--						30	--	--		Fract +++
M-1260	3.00				--						30	--	--		Fract +++
M-1261	3.00				--						30	--	--		Fract +++
M-1262	3.00				--						30	--	--		Fract +++
M-1263	3.00				--						30	--	--		Fract +++
M-1264	3.00				--						30	--	--		Fract +++
M-1265	3.00				--						30	--	--		Fract +++
M-1266	3.00				--						30	--	--		Fract +++
M-1267	3.00				--						30	--	--		Fract +++
M-1268	3.00				--						30	--	--		Fract +++
M-1269	3.00				--						30	--	--		Fract +++
M-1270	3.00				--						30	--	--		Fract +++
M-1271	3.00				--						30	--	--		Fract +++
M-1272	3.00				--						30	--	--		Fract +++
M-1273	3.00				--						30	--	--		Fract +++
M-1274	3.00				--						30	--	--		Fract +++
M-1275	3.00				--						30	--	--		Fract +++
M-1276	3.00				--						30	--	--		Fract +++
M-1277	3.00				--						30	--	--		Fract +++
M-1278	3.00				--						30	--	--		Fract +++
M-1279	3.00				--						30	--	--		Fract +++
M-1280	3.00				--						30	--	--		Fract +++
M-1281	3.00				--						30	--	--		Fract +++
M-1282	3.00				--										

TABLA ESTRUCTURAL DE MUESTREO DE CANALETAS
PROYECTO LOS HORNOs - II ETAPA

Muestra N°	Long. (m)	VETAS			VETILLAS			FALLAS			FRACTURAS						OBSERVACIONES
		Poten. (m)	Rumbo	Buzam.	N° Total	De Primer orden		Poten. (m)	Rumbo	Buzam.	De Primer orden		De Segundo Orden				
						N°	Rumbo				N°	Rumbo	N°	Rumbo	N°	Rumbo	
												N 12°	65° SE				
												N 345°	85° NE				
M-1181	3.00				--							N 82°	37° NW				Fract +++
M-1182	3.00				--							N 112°	60° NE				Craç
												N 107°	60° NE				
												N 356°	70° NE				
												N 180°	72° E				
M-1183	3.00				6		N 140°	11° NE				N 120°	40° NE				Craç
												N 140°	11° NE				Vtills lm (pa), pot 0.1-0.4 cm
M-1184	3.00				--							N 136°	61° NE				Fract +++
												N 134°	64° NE				
												N 4°	84° SE				
M-1185	3.00				--							N 106°	44° NE				Craç - Bx
M-1186	3.00				--							--	--				Craç - Bx
M-1187	3.00				--							N 100°	SV				Fract +++
M-1188	3.00				--							N 37°	48° SE				Fract ++
												N 137°	85° SW				
												N 52°	51° SE				
M-1189	3.00				--							N 56°	51° NW				Craç
M-1190	3.00				--							N 331°	82° SW				Craç
												N 70°	61° NW				
M-1191	3.00				--							N 75°	45° NW				Craç
M-1192	3.00				--							N 126°	86° SW				Fract +++
												N 12°	26° SE				
M-1193	3.00				--							N 94°	60° NE				Fract ++
												N 34°	19° NW				
												N 32°	72° NW				
												N 132°	85° SW				
												N 172°	30° NE				
M-1194	3.00				--							N 346°	71° NE				Fract ++
												N 110°	84° SW				
M-1195	3.00				--							N 22°	33° NW				Craç
												N 110°	SV				
												N 122°	45° NE				
												N 106°	71° NE				
												N 165°	41° NE				
M-1196	3.00				--							N 24°	57° NW				Craç
												N 42°	58° SE				
												N 40°	66° NW				
M-1197	3.00				--							N 112°	SV				Fract +++
												N 107°	25° NE				
												N 71°	49° SE				
												N 80°	47° SE				
M-1198	3.00				--							N 180°	34° E				Fract ++-
												N 85°	42° NW				
												N 351°	SV				
M-1199	3.00				--							N 42°	84° SE				Craç
												N 2°	80° NW				
												N 140°	58° NE				
												N 126°	88° SW				
M-1200	3.00				--							N 345°	63° NE				Fract ++-
												N 322°	61° NE				
												N 108°	28° NE				
												N 102°	SV				

TABLA ESTRUCTURAL DE MUESTREO DE CANALETAS

PROYECTO LOS HORNOS - II ETAPA

Muestra N°	Long. (m)	VETAS			VETILLAS			FALLAS			FRACTURAS					OBSERVACIONES	
		Poten. (m)	Rumbo	Buzam.	N° Total	De Primer orden		Poten. (m)	Rumbo	Buzam.	De Primer orden		De Segundo Orden				
						N°	Rumbo				N°	Rumbo	N°	Rumbo	N°		Rumbo
					--							N 357°	72° SW				
M-1269	3.00				--							N 84°	40° NW				Craç
M-1270	3.00				--							--	--				Bx - Craç
M-1271	3.00				--							N 120°	65° NE				Bx - Craç
												N 106°	48° NE				
												N 80°	58° SE				
M-1272	3.00				--							N 304°	58° NE				Craç - Bx
												N 30°	86° SE				
M-1273	3.00				--							--	--				Craç
M-1274	3.00				--							N 82°	76° SE				Fract++-
M-1275	3.00				--							N 72°	84° SE				Craç
												N 60°	58° NW				
												N 336°	55° SW				
M-1276	3.00				--							N 105°	55° NE				Craç
												N 14°	66° SE				
M-1277	3.00				--							N 73°	82° SE				Craç
												N 8°	76° SE				
M-1278	3.00				--							N 90°	43° N				Craç
M-1279	3.00				--							--	--				Craç
M-1280	3.00				--							N 292°	70° NE				
												N 268°	58° NE				
												N 218°	80° NW				
												N 252°	40° SE				
M-1281	3.00				--							N 332°	55° SW				Fract +
												N 61°	SV				
M-1282	3.00				--							N 222°	SV				Craç
												N 285°	58° NE				
												N 244°	32° SE				
M-1283	3.00				--							N 280°	78° NE				Fract ++-
M-1284	3.00				--							N 235°	74° NW				Fract ++
												N 240°	87° NW				
M-1285	3.00				--							N 210°	60° NW				Fract ++
												N 238°	52° SE				
												N 248°	60° SE				
M-1286	3.00				--							N 250°	50° SE				Fract +-
												N 235°	40° SE				
												N 226°	58° NW				
												N 228°	52° NW				
M-014	3.00				--							N 345°	74° NE	15			Fract ++
												N 53°	41° NW				
M-015	3.00				--							N 346°	69° NE				Fract ++
												N 350°	60° NE				
												N 69°	47° NW				
M-016	3.00				--							N 350°	60° NE				Fract +-
M-017	3.00				--							N 81°	80° NW	10			Fract +-
												N 160°	64° NE				
M-018	3.00				--							N 334°	66° NE				Fract +
M-019	3.00				4		4	N 345°	65° NE			N 160°	64° NE	15			Fract +, Ylls. pot mm. óx Fe (roj) y lm (pa)
M-054	3.00				--							--	--	28			Fract ++
M-055	3.00				--							N 88°	15° SE				Fract ++-
												N 156°	62° NE				
M-056	3.00				--							N 150°	50° NE	60			Craç
												N 328°	60° NE				
M-057	3.00				--							N 145°	49° NE	28			Fract ++

MERENDON DE PERU S.A.

TABLA ESTRUCTURAL DE MUESTREO DE CANALETAS

Muestra Nº	Long. (m)	VETAS			VETILLAS			FALLAS			FRACTURAS						OBSERVACIONES
		Poten. (m)	Rumbo	Buzam.	Nº Total	De Primer orden		Poten. (m)	Rumbo	Buzam.	De Primer orden		De Segundo Orden				
						Nº	Rumbo				Nº	Rumbo	Nº	Buz.	Nº	Rumbo	
M-058	3.00				--							30	25	N 155°	44° NE	Fract ++	
M-059	3.00				--							36		--	--	Craq - Bx	
M-060	3.00				--							70		--	--	Craq - Bx	
M-061	3.00				--							60	45	N 205°	86° SE	Craq - Bx	
M-062	3.00				--							70		N 215°	80° NW	Craq	
														N 305°	66° NE		
M-063	3.00				--							70	50	N 75°	56° NW	Craq - Bx	
														N 195°	74° NW		
M-064	3.00				--							50		N 335°	59° NE	Craq - Bx	
M-065	3.00				--							50	40	N 345°	75° NE	Craq	
M-066	3.00				--							50		N 320°	82° NE	Craq	
M-067	3.00				--							45	35	N 165°	62° NE	Craq	
M-068	3.00				--							50		--	--	Craq	
M-069	3.00				--							40	40	N 144°	79° NE	Craq	
M-070	2.50	0.10 - 0.25	N 100°	15° NE	15-20	15	N 315°	15° SW				25		N 144°	84° NE	Bx-Craq, Vllis, pot mm, lm (pa), en las cajas se obs fract y se tomo datos	
M-071	2.50				4	4	N 130°	27° SW				20	18	N 130°	27° SW	Fract ++	
														N 270°	SV	Vllis, pot mm, lm (pa)	
M-072	3.00				2	2	N 80°	72° NW	0.15			30	30	N 80°	75° NW	Craq	
M-073	3.00				2	1	N 78°	53° NW				16		N 78°	53° NW	Fract ++	
														N 120°	35° SW	Vllis, pot mm, óx Fe (roj)	
														N 34°	64° NW		
														N 290°	75° NE		
M-074	3.00				--							25	22	N 119°	42° SW	Fract ++	
														N 94°	46° SW		
														N 116°	41° SW		
M-075	3.00				3		N 245°	65° NW	0.20			28	25	N 260°	72° NW	Fract +++	
														N 135°	46° SW	Vllis, pot mm, óx Fe (roj)	
M-076	3.00				4	4	N 260°	25° SE				12	12	N 26°	25° SE	Fract ++	
														N 270°	74° N	Vllis, pot mm, óx Fe (roj)	
M-077	3.00				11	8	N 325°	64° NE				C-B		--	--		
M-078	3.00				7	5	N 345°	SV				40	34	N 345°	78° SW	Craq - Bx, Vllis, pot mm, óx Fe (roj)	
M-079	3.00				--							45	10	N 345°	75° SW	Fract +++	
M-080	3.00				--							45		N 345°	75° SW	Fract +++	
M-081	3.00				--				0.01 - 0.04			33	21	N 43°	36° NW	Fract ++	
														N 47°	39° NW	Falla	
														N 57°	46° NW		
M-082	3.00				--				0.04	N 74°	46° NW	32	24	N 158°	83° SW	Fract ++-	
														N 164°	81° SW	Continuación de la falla, en partes de la caja se observa xeno de Oz (bl)	
														N 155°	84° SW		
M-083	3.00				--				0.90 0.01	N 350° N 67°	61° NE 66° NW	32	20	N 331°	78° SW	Fract ++-	
														N 300°	63° SW	Fallas entrecruzadas	
														N 340°	78° SW		
														N 344°	79° SW		
M-084	3.00				--							26	16	N 320°	56° SW	Fract +-	
														N 314°	56° SW		
														N 310°	67° SW		
M-085	3.00				--				0.01 - 0.05	N 85°	62° NW	20	12	N 357°	59° NE	Fract +	
														N 347°	50° NE		
														N 350°	71° NE		
												9	7	N 133°	62° SW	Fract +	
M-086	3.00				--									N 120°	59° SW		
M-087	3.00				--							21	14	N 330°	67° SW	Fract +	
M-088	3.00				3		--	--				50		--	--	Craq, Vllis irregulares, pot mm, óx Fe (roj)	



MERENDON DE PERU S.A.
DEPARTAMENTO DE EXPLORACIONES GEOLOGICO MINERAS



TABLA ESTRUCTURAL DE MUESTREO DE CANALETAS

PROYECTO LOS HORNOS - II ETAPA

Muestra N°	Long. (m)	VETAS			VETILLAS			FALLAS			FRACTURAS						OBSERVACIONES	
		Poten. (m)	Rumbo	Buzam.	N° Total	De Primer orden		Poten. (m)	Rumbo	Buzam.	De Primer orden		De Segundo Orden					
						N°	Rumbo				N°	Rumbo	N°	Rumbo	N°	Buz.		
M-089	3.00				4	2	N 350°	55° SW										Craq. Vtlls. pot mm. óx Fe (roj)
M-090	3.00				4	2	N 90°	32° N										Craq - Bx
M-091	3.00				7		--	--										Vtlls. pot mm. óx Fe (roj)
M-092	3.00				4		--	--										Craq - Bx. Vtlls irregulares. pot mm. óx Fe (roj)
M-093	3.00				--													Craq - Bx. Vtlls irregulares. pot mm. óx Fe (roj)
M-094	3.00				--													Craq
M-095	3.00				--													Craq
M-096	3.00				--													Craq
M-097	3.00				--													Craq
M-098	3.00				--													Craq
M-099	3.00				--													Craq
M-100	3.00				--													Craq
M-101	3.00				--													Craq
M-102	3.00				--													Craq - Bx
M-103	3.00				--													Craq - Bx
M-104	3.00				--													Craq - Bx
M-105	3.00				--													Craq - Bx
M-106	3.00				--													Craq - Bx
M-107	3.00				--													Craq - Bx
M-108	3.00				--													Craq - Bx
M-109	3.00				--													Craq - Bx
M-110	3.00				--													Craq - Bx
M-111	3.00				--													Craq - Bx
M-112	3.00				1		N 100°	68° NE										Fract ++
M-113	3.00				1		N 90°	33° N										Vtll. pot mm. óx Fe (roj)
M-114	3.00				1		N 9°	22° SE										Bx - Craq. Vtll. pot mm. óx Fe (roj)
M-115	3.00				--													Craq
M-116	3.00				--													Craq
M-117	3.00				--													Craq
M-118	3.00				--													Craq
M-119	3.00				--													Falla pnz (ve)
									0.02 - 0.03									
									0.01		NS	SV						

TABLA ESTRUCTURAL DE MUESTREO DE CANALETAS

PROYECTO LOS HORNOS - II ETAPA

Muestra N°	Long. (m)	VETAS			VETILLAS			FALLAS			FRACTURAS					OBSERVACIONES
		Poten. (m)	Rumbo	Buzam.	N° Total	De Primer orden		Poten. (m)	Rumbo	Buzam.	De Primer orden		De Segundo Orden			
						N°	Buz.				N°	Buz.	N°	Buz.	N°	
																Falla pnz (ve)
M-120	3.00				--			0.01 - 0.02	N 78°	12° NW						Craq Falla pnz (ve)
M-121	3.00				--											
M-122	3.00				--											Craq
M-123	3.00				--			0.01	N 180°	24° W						Craq Falla pnz (ve)
M-124	3.00				--			0.02	N 155°	17° SW						Craq, continua la falla, en ciertos tramos se tiene vtils de cac no continuas a lo largo de la falla, además de Dq and de 2 cm de pot
M-125	3.00				--			0.1 - 0.04	N 140°	19° SW						Craq
M-126	3.00				--											Craq
M-127	3.00				--			0.01 - 0.02	N 335°	12° SW						Craq Falla pnz (ve)
M-128	3.00				--											Craq
M-129	3.00				--											Craq
M-130	3.00				--											Craq
M-131	3.00				--											Craq
M-132	3.00				--											Craq

TABLA ESTRUCTURAL DE MUESTREO DE CANALETAS

PROYECTO LOS HORNOS - II ETAPA

Muestra N°	Long. (m)	VETAS		VETILLAS		FALLAS		FRACTURAS				OBSERVACIONES				
		Poten. (m)	Rumbo	Buzam.	N° Total	De Primer orden		Poten. (m)	Rumbo	Buzam.	De Segundo Orden					
						N°	Rumbo				N°		Rumbo	N°	Buz.	
M-133	3.00															
M-134	3.00				--											Craç
M-135	3.00				--											Craç
M-136	3.00				--											Craç
M-137	3.00				--											Craç
M-138	3.00				--											Craç
M-139	3.00				2											Craç
M-140	3.00				--											Craç
M-141	3.00				--											Craç
M-142	3.00				1											Craç
M-143	3.00				--											Craç
M-144	3.00				--											Craç
M-145	3.00				3											Craç
M-146	3.00				--											Craç
M-147	3.00				--											Craç
M-148	3.00				2											Craç
M-149	3.00				3											Craç
M-150	3.00				2											Craç
M-151	3.00				--											Craç
M-152	3.00				--											Craç
M-153	3.00				--											Craç
M-154	3.00				--											Craç
M-155	3.00				--											Craç
M-156	3.00				--											Craç
M-157	3.00				--											Craç
M-158	3.00				--											Craç
M-159	3.00				--											Craç
M-160	3.00				--											Craç

TABLA ESTRUCTURAL DE MUESTREO DE CANALETAS
PROYECTO LOS HORNOS - II ETAPA

Muestra N°	Long. (m)	VETAS			VETILLAS			FALLAS			FRACTURAS						OBSERVACIONES	
		Poten. (m)	Rumbo	Buzam.	N° Total	De Primer orden		Poten. (m)	Rumbo	Buzam.	De Primer orden		De Segundo Orden					
						N°	Rumbo				N°	Rumbo	N°	Rumbo	N°	Buz.		
M-161	3.00				--			0.01 - 0.03	N 260°	69° SE	25	18	N 72° N 89° N 86° N 146° N 153°	69° NW 66° SE 65° SE 65° NE 69° NE	7	N 70°	83° NW	Fract ++
M-162	3.00				--						25	20	N 57° N 76° N 70°	84° SE 80° SE 65° SE	5	N 132° N 140°	55° SW 49° SW	Fract ++
M-163	2.00				--						15		N 63° N 75° N 134° N 144°	62° SE 73° SE 83° SW 83° NE				Fract +-
M-164	3.00				--						Bx							Fract mm hasta 10 cm. mtz (bl-roi-pa-ve)
M-165	3.00				--						Bx							Fract mm hasta 10 cm. mtz (bl-roi-pa)
M-166	3.00				--						Bx							Fract mm hasta 10 cm. mtz (ve-bl-pa)
M-167	3.00				--						Bx							Fract mm hasta 10 cm. mtz (bl-ve-pa)
M-168	3.00				--						25		N 146° N 128° N 118° N 260° N 263° N 160° N 159°	46° SW 66° SW 73° SW 66° SE 72° SE 66° SW 67° SW	7	N 63°	81° NW	Fract ++
M-169	3.00				--						17							Fract +
M-170	3.00				--						12		N 277° N 280° N 10°	45° SW 77° SW SV	4	N 15°	62° NW	Fract +
M-171	3.00				--						10		N 275° N 263° N 174° N 176° N 170°	55° SW 65° SE SV 85° SW 85° SW				Fract +
M-172	3.00				--						30		N 10° N 65° N 72°	71° SE 83° SE 84° SE				Craql
M-173	3.00				--						35		N 82° N 81°	75° NW 76° NW	5	N 218°	43° NW	Craql
M-174	3.00				4	4	N 174° 36° NE				40		N 81° N 16° N 10°	70° NW 62° SE 70° NW	8	N 171°	41° NE	Craql Vtlls irregulares, pot 0.5-1 cm, Qz (bl)
M-175	3.00				3	3	NS 71° W				40		N 72° N 84° N 357° N 353°	61° NW 79° NW 68° SW 66° SW	5	NS	45° E	Craql Vtlls, pot 0.3-0.5 cm, Qz (bl)
M-176	3.00				5	5	N 340° SV	0.01 - 0.02	N 145°	76° SW	45		N 343° N 80°	68° SW 59° NW				Craql, Vtlls, pot mm, Qz (bl). Falla pñz (ve-bl) a lo largo se tiene vtlis Qz (bl) de 1-2cm
M-177	3.00				--						35		N 265° N 84° N 146° N 140°	75° NW 74° NW 68° SW 73° SW				Craql
M-178	3.00				3	3	N 340° 74° SW				45		N 259° N 120°	70° NW 85° SW				Craql Vtlls, pot 0.5-1cm, Qz (bl)
M-179	3.00	0.10	N 160°	24° NE	5	2 2 1	N 335° N 50° N 25°				30		N 335° N 50° N 55°	66° SW 56° NW 60° NW				Fract ++ Vt, Qz (bl), lm (pa) 7%, ox Fe (roj) 4% rellenando fisuras y peq coquedades.



MERENDON DE PERU S.A.
DEPARTAMENTO DE EXPLORACIONES GEOLOGICO MINERAS

TABLA ESTRUCTURAL DE MUESTREO DE CANALETAS
PROYECTO LOS HORNOS - II ETAPA

Muestra N°	Long. (m)	VETAS			VETILLAS			FALLAS			FRACTURAS					OBSERVACIONES
		Poten. (m)	Rumbo	Buzam.	N° Total	De Primer orden		Poten. (m)	Rumbo	Buzam.	De Primer orden		De Segundo Orden			
						N°	Rumbo				N°	Rumbo	N°	Rumbo	N°	
																Vlls, pot 1-3cm, Qz (bl) con diss clts y alg mvnlis
M-180	3.00				4	4	N 12°	38° NW								Fract +++ Vlls, pot 0.5-2cm, Qz (bl), clts mvnlis y lm (pa) en mfract
M-181	3.00				4	4	N 14°	45° NW	0.01 - 0.02	NS	48° W					Craq Vlls, pot 0.5-2cm, Qz (bl), alg lm (pa) en fract Falla prnz (ve)
M-182	3.00				--											Craq
M-183	3.00				--											Craq
M-184	3.00				--											Craq - Bx, mltz (bl y ve)
M-185	3.00				--											Craq
M-186	3.00				--											Craq
M-187	3.00				--											Craq
M-188	3.00				--				0.01	N 145°	SV					Craq Falla prnz (ve)
M-189	3.00				--											Craq
M-190	3.00				--											Craq
M-191	3.00				--											Craq
M-192	3.00				--											Craq
M-193	3.00				--								7	N 114°	SV	Craq
M-194	3.00				--											Craq
M-195	3.00				--											Craq
M-196	1.50				--											Fract +--
M-197	3.00				--											Fract ++
M-198	3.00				--											Fract ++
M-199	3.00				--								--	--		Bx

TABLA ESTRUCTURAL DE MUESTREO DE CANALETAS

PROYECTO LOS HORNOS - II ETAPA

Muestra N°	Long. (m)	VETAS			VETILLAS			FALLAS			FRACTURAS					OBSERVACIONES
		Poten. (m)	Rumbo	Buzam.	N° Total	De Primer orden		Poten. (m)	Rumbo	Buzam.	De Primer orden		De Segundo Orden			
						N°	Rumbo				N°	Rumbo	N°	Rumbo	N°	
M-200	3.00				--							--	--			Craç
M-201	3.00				--							--	N 260°	52° N	N 320°	80° NE
M-202	3.00				--							--	--	--		Craç
M-203	3.00				--							--	N 290°	52° NE		Craç
M-204	3.00				--							--	--	--		Craç
M-205	3.00				--							--	--	--		Craç, Falla pñz (ve) frag Oz (bl) con óx Fe (ro)
M-206	3.00				1				0.10	N 10°	20° NW					Craç
M-207	3.00				--								N 310°	56° NE		Vlls irregulares, pot mm. óx Fe (ro)
													N 10°	68° SE		
													N 10°	68° SE		
													5	N 80°	28° SE	
M-208	3.00				--								30	5	N 90°	28° S
													15	N 310°	55° NE	
M-209	3.00				--								30	7	N 15°	70° SE
													15	N 315°	57° NE	
M-210	3.00				--								30	15	N 310°	56° NE
M-211	3.00				--								30	15	N 310°	56° NE
M-212	3.00				--								30	12	N 310°	56° NE
M-213	3.00				--								30	12	N 310°	56° NE
M-214	3.00				--								30	30	--	--
M-215	3.00				--								30	10	N 320°	65° NE
													30		N 136°	70° NE
															N 138°	64° NE
M-216	3.00				--										N 145°	79° NE
													40		N 155°	SV
															N 141°	84° NE
M-217	3.00				--								40		N 143°	88° NE
															N 340°	85° NE
															N 335°	SV
M-218	3.00				--								70		N 326°	SV
															N 322°	74° NW
M-219	3.00				--				0.02 - 0.06	N 44°	46° NW		45		N 336°	80° SW
															N 340°	80° SW
															N 324°	75° NE
M-220	3.00				--				0.07 - 0.10	N 42°	30° NW		45		N 35°	40° NW
															N 350°	80° SW
															N 345°	64° SW
M-221	3.00				--				0.10	N 50°	45° NW		45		--	--
M-222	3.00				--								40		--	--
M-223	3.00				--								35		--	--
M-224	3.00				--				0.01	N 342°	30° NE		40		N 50°	55° NW
															N 336°	70° SW
M-225	3.00				--				0.04	N 45°	24° NW		70		--	--
M-226	3.00				--								70		N 324°	82° NE
															N 225°	46° NW
M-227	3.00				--								65		N 324°	SV
															N 236°	77° SE
															N 80°	30° NW
M-228	3.00				--								35		N 245°	48° NW
															N 354°	70° NE
															N 245°	41° SE
M-229	3.00				--								30		N 274°	36° SW
M-230	3.00				--								25		N 306°	68° NE
															N 304°	72° NE
															5	N 345°
																65° NE
																Fract ++
																Fract +-

TABLA ESTRUCTURAL DE MUESTREO DE CANALETAS
PROYECTO LOS HORNOS - II ETAPA

Muestra N°	Long. (m)	VETAS			VETILLAS			FALLAS			FRACTURAS						OBSERVACIONES
		Poten. (m)	Rumbo	Buzam.	N° Total	De Primer orden		Poten. (m)	Rumbo	Buzam.	De Primer orden		De Segundo Orden				
						N°	Rumbo				N°	Rumbo	N°	Rumbo	N°	Buz.	
M-231	3.00				--							55	N 325°	88° NE			Craq
M-232	3.00				--							55	N 310°	70° SW			Fract +++
													N 340°	80° NE			
													N 297°	43° NE			
M-233	3.00				--							45	N 350°	45° NE			Fract ++-
													N 36°	61° SE			
													N 310°	85° SW			
													N 274°	66° NE			
M-234	3.00				--							30	N 285°	28° SW			Fract ++-
													N 345°	48° NE			
													N 347°	50° NE			
													N 352°	86° NE			
M-235	3.00				--					0.01 - 0.03	N 290°	28° NE	--	--			Craq, Falla pnz (ve)
M-236	3.00				--							60	N 278°	85° SW			Craq
													N 270°	22° N			
M-237	3.00				--							60	N 318°	78° NE			Craq
													N 58°	58° NW			
M-238	3.00				--							65	N 250°	48° NW			Craq
M-239	3.00				--					0.02	N 308°	56° NE	--	--			Craq, Falla pnz (ve)
M-240	3.00				--							50	N 310°	84° NE			Fract ++
M-241	3.00				--							50	--	--			Craq
M-242	3.00				--							45	N 306°	70° SW			Fract +++
													N 280°	70° NE			
													N 48°	50° NW			
M-243	3.00				--							45	N 340°	65° W			Fract +++
													N 256°	86° SE			
													N 284°	77° SW			
M-244	3.00				--							60	N 266°	87° SE			Craq
													N 15°	60° NW			
M-245	3.00				--							60	N 282°	86° SW			Craq
													N 254°	80° NW			
													N 270°	SV			
													N 340°	SV			
M-246	3.00				--							60	N 32°	64° NW			Craq
													N 338°	86° SW			
M-247	3.00				--							40	N 276°	43° SW			Fract ++
													N 330°	SV			
													N 272°	SV			
													N 275°	33° NE			
M-248	3.00				--							50	N 270°	83° N			Craq
M-249	3.00				--							55	N 336°	81° SW			Craq
													N 294°	77° SW			
													N 15°	60° SE			
													N 86°	25° NW			
M-250	3.00				--							50	N 5°	44° SE			Fract ++
													N 2°	53° SE			
													N 8°	74° SE			
													N 305°	37° SW			
													N 320°	36° SW			
M-251	3.00				1							50	N 312°	54° SW			Fract +++
													N 320°	54° SW			Vtl, pot mm, lm (pa) y frag Qz (bl)
													N 300°	51° SW			
													N 352°	30° NE			
													N 25°	70° NW			

TABLA ESTRUCTURAL DE MUESTREO DE CANALETAS

PROYECTO LOS HORNOS - II ETAPA

Muestra N°	Long. (m)	VETAS			VETILLAS			FALLAS			FRACTURAS						OBSERVACIONES
		Poten. (m)	Rumbo	Buzam.	N° Total	De Primer orden		Poten. (m)	Rumbo	Buzam.	De Primer orden		De Segundo Orden				
						N°	Rumbo				N°	Rumbo	N°	Buz.	N°	Rumbo	
M-252	3.00				2	1	N 45° 58° NW					55	N 38° N 326° N 45° N 310°	46° NW 57° SW 58° NW 48° NE			Craq Vilis, pot 0.5-2cm, Qz (bl) y lm (pa) rellenando las oquedades
M-253	3.00				--							60	N 312° N 36°	63° SW SV			Craq
M-254	3.00				--							50	N 23° N 336° N 330° N 292°	86° NW 78° NE 80° NE 40° NE			Fract +++
M-255	3.00				--							70	N 352°	50° NE			Craq
M-256	3.00				--							40	N 328° N 235° N 28°	86° NE 50° NW 84° SE			Craq
M-257	3.00				--							40	N 324° N 2°	67° NE 68° NW			Craq
M-258	3.00				--							25	N 330° N 335°	86° SW 84° SW			Fract ++
M-259	3.00				--							25	N 65° N 317° N 39° N 314°	44° NW 55° NE 56° NW 77° SW			Fract ++
M-260	3.00				--							40	N 304° N 60°	80° SW 66° NW			Fract ++ Fallas, pnz (ve), limita al sill And
M-261	3.00				--							Bx	N 32° N 322° N 76° N 310°	55° NW SV 46° NW SV			Fract ++- Fallas, pnz (ve) y ox Fe (roj), limita al sill And
M-262	3.00				--							50	N 26°	57° NW			Craq
M-263	3.00				--							55	N 2° N 264° N 322° N 44°	72° SE 74° NW SV 30° NW			Craq
M-264	3.00				--							40	N 308° N 252°	75° NE SV			Craq Falla, pnz (bl-pa) con lm, en contacto And-Gdi
M-265	3.00				--							65	N 310° N 357° N 304° N 302°	65° NE 44° SW 50° NE 62° NE			Craq - Bx
M-266	3.00				--							70	N 20°	68° NW			Craq - Bx
M-267	3.00				--							70	N 264°	53° NW			Craq - Bx
M-268	3.00				--							20	N 2° N 316°	87° NW SV			Fract +
M-269	3.00				--							20	N 302° N 354° N 74°	SV SV 72° SE			Fract +
M-270	3.00				--							30	N 355° N 355°	82° NW 33° SW			Fract +-
M-271	3.00				--							20	N 2° N 2° N 8° N 70° N 2° N 355°	80° SE 80° NW 81° NW 84° NW			Fract +

TABLA ESTRUCTURAL DE MUESTREO DE CANALETAS
 PROYECTO LOS HORNOS - II ETAPA

Muestra N°	Long. (m)	VETAS			VETILLAS			FALLAS			FRACTURAS				OBSERVACIONES	
		Poten. (m)	Rumbo	Buzam.	N° Total	De Primer orden		Poten. (m)	Rumbo	Buzam.	N° Total	De Primer orden		De Segundo Orden		
						N°	Rumbo					N°	Rumbo	N°		Rumbo
M-272	3.00				--						20	N 15° N 355° N 180° N 200° N 205° N 330°	27° NW 86° SW 86° E 10° NW 9° NW 86° SW			Fract +
M-273	3.00				--						20	N 180° N 359° N 24°	85° E 88° NE SV			Fract +
M-274	3.00				--						25	N 357° N 350° N 20° N 32° N 245°	88° NE 84° SW SV SV 18° NW			Fract +-
M-275	3.00				--						15	N 350° N 345° N 235°	SV 86° NE 15° NW			Fract +
M-276	3.00				6	2 4	N 340° N 290°	65° SW 78° NE			75	N 80°	68° SE			Bx - Craquel Vtlls, pot 0.5-1.5cm, Oz (bl) fract
M-277	3.00				4	2 1 1	N 298° N 305° N 296°	76° SW 78° SW 68° SW			65	N 275° N 96° N 37°	84° NE 72° SW 17° NW			Craquel - Bx Vtlls, pot 0.7-2cm, Oz (bl) fract, lm (pa) en alg fract y oquedades
M-278	3.00				--						20	N 270° N 265° N 325° N 304° N 332° N 42°	67° S 69° SE 78° NE 76° NE 46° NE 45° NW			Fract +-
M-279	3.00				--						25	N 276° N 284° N 275° N 180° N 180°	66° SW 74° SW 67° SW 71° E 76° E			Fract ++
M-280	3.00				--						25	N 268° N 279° N 180°	81° SE 75° SW 79° E			Fract +-
M-281	3.00				--						25	N 242° N 240° N 310°	62° SE 71° SE 51° NE			Fract +-
M-282	3.00				1	1	N 265°	26° NW			75	--	--			Craquel - Bx, Vtll pot 1-3cm, Oz (bl) craquel y lm (pa) en fract
M-283	3.00				4	1 2 1	N 240° N 285° N 255°	65° NW 77° NE SV			75	--	--			Craquel - Bx Vtll, pot 0.5-2cm, Oz (bl) fract y lm (pa)
M-284	3.00	0.15	N 10°	36° SE	--						75	--	--			Craquel - Bx, Vt, Oz (bl) bx, lm (pa) y ox Fe (ro) en fract y miz, cajas seitz
M-285	3.00				--						80	--	--			Craquel - Bx
M-286	3.00				1	1	N 285°	30° NE			80	--	--			Craquel - Bx, Vtll pot 1-2cm, lm (pa) y frag de roca alterada
M-287	3.00				--						75	--	--			Craquel - Bx
M-288	3.00				--						80	--	--			Craquel - Bx
M-289	3.00				1	1	N 281°	58° NE			80	--	--			Craquel - Bx, Vtll pot 1cm, lm (pa) y frag de roca alterada
M-290	3.00				--						75	--	--			Craquel - Bx
M-291	3.00				--						70	N 357°	44° SW			Craquel - Bx, Falla pnz (bl)
M-292	3.00				--						50	N 106°	51° SW			Craquel
M-293	3.00				--						50	--	--			Craquel
M-294	3.00				--						60	N 42°	54° NW			Craquel

TABLA ESTRUCTURAL DE MUESTREO DE CANALETAS
PROYECTO LOS HORNOS - II ETAPA

Muestra Nº	Long. (m)	VETAS			VETILLAS			FALLAS			FRACTURAS					OBSERVACIONES
		Poten. (m)	Rumbo	Buzam.	Nº Total	De Primer orden		Poten. (m)	Rumbo	Buzam.	De Primer orden		De Segundo Orden			
						Nº	Rumbo				Nº	Rumbo	Nº	Rumbo	Nº	
																Falla, piz (bl)
M-295	3.00															
M-296	3.00				--											Fract ++
M-297	3.00				--											Fract +
M-298	3.00				1	1	N 245º	32º SE								Fract ++
M-299	3.00				--											Craq - Bx, Vlll pot 1cm, Oz (bl) fract, py oxid y lm (pa) en oquedades
																Craq - Bx
M-300	3.00															Craq - Bx
M-301	3.00															Craq
M-302	3.00															Fract ++
M-303	3.00															Fract ++
M-304	3.00															Fract +++
M-305	3.00															Fract ++
M-306	3.00															Fract ++
M-307	3.00				1	1	N 330º	52º NE								Craq Vlll, pot mm, óx Fe (roj) con arcillas (bl)
M-308	3.00															Craq - Bx
M-309	3.00															Craq - Bx
M-310	2.00				2	1	N 247º	69º SE								Craq - Bx Vlls, pot 1cm, lm (pa) y frag de rocas sil
M-311	3.00				--		1	N 220º	15º NW							Craq - Bx
M-312	3.00				3	1	N 235º	19º NW								Craq - Bx Vlls, pot 1-2.5cm, Oz (bl) fract, lm (pa) en oquedades
					2	2	N 265º	86º SE								Vlls, pot 1-2cm, Oz (bl) craq, lm (pa) en fract
M-313	3.00				5	5	N 230º	14º NW								Craq - Bx, Vlls pot 1-2cm, Oz (bl) craq, lm (pa) en fract

TABLA ESTRUCTURAL DE MUESTREO DE CANALETAS
 PROYECTO LOS HORNOS - II ETAPA

Muestra N°	Long. (m)	VETAS			VETILLAS			FALLAS			FRACTURAS					OBSERVACIONES
		Poten. (m)	Rumbo	Buzam.	N° Total	De Primer orden		Poten. (m)	Rumbo	Buzam.	De Primer orden		De Segundo Orden			
						N°	Rumbo				N°	Rumbo	N°	Rumbo	N°	
M-314	3.00				--						75	--	--			Craq - Bx
M-315	3.00				--						40	N 75°	56° NW			Craq
M-316	3.00				--						60	N 345°	81° NE			Craq
												N 80°	SV			
M-317	3.00				3	1 N 20° 2 N 107°					60	N 73°	64° NW			Craq
												N 70°	69° NW			Vlls, pot mm-0.7cm, lm (pa) y óx Fe (roj)
												N 25°	62° SE			
M-318	3.00				--						70	N 34°	63° SE			Fract +++
												N 17°	54° SE			
												N 130°	49° NE			
												N 100°	68° NE			
												N 129°	48° NE			
M-319	3.00				3	3 N 5°					70	--	--			Craq - Bx, Vlls pot 0.5-1cm, lm (pa) y óx Fe (roj)
M-320	3.00				--						30	N 145°	38° NE			Fract +
												N 144°	33° NE			
												N 40°	66° NW			
												N 59°	84° SE			
M-321	3.00				1	1 N 30°					30	N 103°	70° NE			Fract ++-
												N 102°	75° NE			Vlll, pot 0.5cm, lm (pa)
												N 110°	71° NE			
												N 31°	65° NW			
												N 40°	50° NW			
M-322	3.00				--						75	--	--			Craq - Bx
M-323	3.00				--						70	--	--			Craq - Bx
M-324	3.00				3	3 N 310°					75	--	--			Craq - Bx, Vlll pot mm-0.5cm, óx Fe (roj)
M-325	3.00				1	1 N 320°					65	--	--			Craq, Vlll pot 1cm, óx Fe (roj)
M-326	3.00				7	1 N 337° 5 N 100° 1 N 32°					50	N 150°	65° NE			Craq - Bx
												N 146°	62° NE			Vlls, pot 0.5-1cm, óx Fe (roj)
												N 75°	86° NW			
												N 83°	83° NW			
												N 31°	49° NW			
M-327	3.00				2	1 N 132° 1 N 58°					50	N 60°	45° NW			Craq - Bx
												N 338°	70° NE			Vlls, pot 0.5-0.8cm, óx Fe (roj)
M-328	3.00				4	4 N 50°					80	--	--			Craq - Bx, Vlll pot 0.5-0.8cm, óx Fe (roj)
M-329	3.00				--						60	--	--			Craq
M-330	3.00				--						40	N 50°	67° NW			Craq
M-331	3.00				--						60	--	--			Craq
M-332	3.00				--						70	N 66°	80° NW			Craq - Bx
												N 180°	74° W			
M-333	3.00				--						70	--	--			Craq - Bx
M-334	3.00				3	2 N 335° 1 N 260°					80	--	--			Craq - Bx
												N 25°	84° NW			Vlls, pot mm-0.5cm, lm (pa) y óx Fe (roj)
M-335	3.00				--						40	--	--			Craq
M-336	3.00				--						50	--	--			Craq
M-337	3.00				--						45	N 25°	84° NW			Fract ++
												N 320°	47° SW			
M-338	3.00				--					0.02		N 315°	35° SW			Craq, Falla, piz óx Fe (roj)
M-339	3.00				2	2 N 268°					80					Craq - Bx, Vlls pot 0.5-1cm, óx Fe (roj)
M-340	3.00				--						Bx					Bx
M-341	3.00				3	3 N 280°					Bx					Vlls pot 0.5cm, óx Fe (roj)
M-342	2.00				--						30					Fract +-
M-343	3.00				--						40					Craq
M-344	3.00				--						45					Craq
M-345	3.00				--						50					Craq

TABLA ESTRUCTURAL DE MUESTREO DE CANALETAS

PROYECTO LOS HORNOS - II ETAPA

Muestra N°	Long. (m)	VETAS			VETILLAS			FALLAS			FRACTURAS						OBSERVACIONES
		Poten. (m)	Rumbo	Buzam.	N° Total	De Primer orden		Poten. (m)	Rumbo	Buzam.	De Primer orden		De Segundo Orden				
						N°	Rumbo				N°	Rumbo	N°	Rumbo	N°	Rumbo	
M-346	3.00				--							N 112° N 244°	85° NE 50° SE				Craq
M-350	3.00				--							--	--				Craq - Bx
M-351	3.00				--							N 50° N 52°	20° NW 25° NW				Craq
M-352	3.00				--							N 115°	82° NE				Craq
M-353	3.00				--							--	--				Craq
M-354	3.00				--			0.12	N 80°	67° SE	50	N 42° N 34° N 350°	86° NW 80° NW 82° NE				Craq
M-355	3.00				--						45	N 70° N 66° N 60°	51° NW 45° NW 58° NW				Falla, ptz (bl), vnl de lm (pa) y frag de Oz (bl) y roca sil
M-356	3.00				--						80	N 98° N 93°	83° SW 85° SW				Fract +++
M-357	3.00				6	N 65° N 25°	77° NW 27° NW				70	--	--				Craq - Bx
M-358	3.00				--						75	--	--				Vlls, pot mm-0.5cm, óx Fe (roj)
M-359	3.00				--						70	--	--				Craq - Bx
M-360	3.00				--						75	N 12° N 18° N 115°	86° NW 78° W 75° NE				Craq - Bx
M-361	3.00				--						70	--	--				Craq - Bx
M-362	3.00				--						70	--	--				Craq
M-363	3.00				--						70	--	--				Craq - Bx
M-364	3.00				--						70	N 105° N 107°	75° NE 72° NE				Craq - Bx
M-365	3.00				--						65	N 82°	45° NW				Craq, Falla, ptz (bl-pa), vnlis óx Fe (roj) y tramos de cajas sil fuerte
M-366	3.00				7	N 40°	41° NW	0.01 - 0.04	N 200°	30° NW	60	N 40°	41° NW				Craq, Vlls, pot mm, óx Fe (roj)
M-367	3.00				3	N 20°	74° NW				60	--	--				Craq, Vlls, pot 3-4cm, Silice (bl), cfts <1% diss
M-369	3.00				--						55	N 98° N 80° N 90° N 71° N 59°	77° NE 80° NW 80° N 81° NW 78° NW				Craq
M-370	3.00				--						60	N 287° N 100° N 10° N 9°	60° NE 71° NE 59° NW 83° NW				Craq
M-371	3.00				--						50	N 282° N 280° N 295° N 354° N 356°	87° SW 85° SW 70° NE 84° SW 88° SW				Craq
M-372	3.00				--						40	N 180° N 286° N 295° N 285° N 312°	88° W 38° NE 83° SW 78° NE 84° NE				Fract +++
M-373	3.00				--						30	N 79° N 88° N 90°	28° SE 62° NW 64° N				Fract ++

TABLA ESTRUCTURAL DE MUESTREO DE CANALETAS

PROYECTO LOS HORNOs - II ETAPA

Muestra N°	Long. (m)	VETAS		VETILLAS		FALLAS		N° Total	FRACTURAS				OBSERVACIONES
		Poten. (m)	Rumbo	Buzam.	N° Total	De Primer orden N° Rumbo Buz.	Poten. (m)	Rumbo	Buzam.	N°	De Primer orden N° Rumbo Buz.	De Segundo Orden N° Rumbo Buz.	
M-374	3.00				--					30	N 100° 74° NE N 329° 81° NE N 315° 78° NE N 10° 84° NW N 341° 66° SW N 88° 34° SE N 81° 35° SE		Fract ++
M-375	3.00				--					30	N 100° 66° NE N 106° 73° NE N 100° 77° NE N 349° 85° NE N 345° 83° SW N 20° SV N 24° SV N 90° 24° S N 86° 36° SE		Fract ++
M-376	3.00				--					35	N 105° 78° NE N 105° 80° NE N 103° 82° NE N 44° 38° NW N 45° 38° NW N 39° 35° NW N 11° 23° NW N 40° 20° NW N 85° 35° SE		Fract ++-
M-377	3.00				--					40	N 100° 71° NW N 105° 70° NW N 11° 57° NW N 7° 65° NW N 72° 51° SE N 75° 38° SE N 80° 40° SE		Fract ++-
M-378	3.00				--					45	N 10° 26° NW N 21° 32° NW N 109° 70° NE N 25° 80° NW N 96° 45° SW N 120° 66° NE N 110° 66° NE N 95° 52° SW		Fract +++
M-379	3.00				--					50	--	--	Craque
M-380	3.00				--					70	--	--	Craque
M-382	3.00				--					70	N 300° 84° NE N 290° 68° NE		Craque
M-383	3.00				--		0.20 - 0.40	N 203°	26° NW	60	N 69° 83° NW N 70° 83° NW N 58° 58° NW N 50° 58° NW N 310° 65° NE N 300° 65° NE		Fract +++ Falla, prz (ve), vdl lm (pa) mm en el piso
M-384	3.00				--					70	N 180° 52° W N 91° 79° NE N 82° SV N 85° SV		Craque

TABLA ESTRUCTURAL DE MUESTREO DE CANALETAS

PROYECTO LOS HORNOS - II ETAPA

Muestra N°	Long. (m)	VETAS		VETILLAS		FALLAS		N° Total	FRACTURAS				OBSERVACIONES
		Poten. (m)	Rumbo	Buzam.	N° Total	De Primer orden N° Rumbo Buz.	Poten. (m)	Rumbo	Buzam.	N° Total	De Primer orden N° Rumbo Buz.	De Segundo Orden N° Rumbo Buz.	
M-385	3.00				2					70	N 180° 81° SE N 20° 88° NW N 328° 85° SW N 79° 25° NW N 63° 80° SE N 61° 81° SE N 57° 79° NW N 53° 76° NW N 75° 60° NW		Craque Vtills, pot 0.5-0.8cm, Qz (bl) irregulares
M-386	3.60				4	3 N 308° 1	0.02 - 0.03	N 6°	45° NW	70	N 111° 80° NE N 115° 85° NE N 50° 74° SE N 47° 79° SE N 156° 85° SW N 24° 88° SE N 21° 61° SE		Craque Vtills, pot 0.5cm, Qz (bl) irregulares Vtills, pot mm-1cm, Silice Falla, prnz (bl)
M-387	3.00				6	6 N 313°				60	N 65° 82° SE N 59° 77° SE N 38° 74° NW N 313° 38° NE N 88° 43° NW		Fract +++ Vtills, pot mm, lm (pa)
M-388	3.00				3	3 N 316°	56° SW			60	N 316° 56° SW N 276° 27° NE N 95° 28° NE N 61° 75° SE N 60° 70° SE N 60° 64° SE N 340° 71° SW N 330° 80° SW		Fract +++ Vtills, pot 0.5-1cm, Qz (bl)
M-389	3.00				10	8 N 290° 60° NE 2 N 335° 54° SW				60	N 314° 53° NE N 292° 61° NE N 296° 58° NE N 337° 58° SW N 345° 52° SW N 25° 35° NW N 298° 61° NE N 130° 43° NE N 327° 68° NE		Fract +++ Vtills, pot mm, lm (pa) Vtills, pot 0.8cm, Qz (bl)
M-390	3.00				2	2 N 300°	55° NE			65	N 294° 75° NE N 300° 62° NE N 358° 44° NE N 344° 46° SW N 338° 57° SW N 11° 36° SE N 4° 44° SE N 318° 52° NE		Fract +++ Vtills, pot 0.2-0.8cm, Qz (bl)
M-391	3.00				--		0.05 - 0.09	N 20°	24° NW	45	N 115° 85° NE N 17° 85° NW N 350° SV N 87° 71° SE N 85° 71° SE N 81° 33° NW		Fract +++ Falla, prnz (bl)
M-392	3.00				--					60	N 180° 85° W N 1° SV		Fract +++

TABLA ESTRUCTURAL DE MUESTREO DE CANALETAS

PROYECTO LOS HORNOS - II ETAPA

Muestra Nº	Long. (m)	VETAS		VETILLAS		FALLAS		FRACTURAS				OBSERVACIONES	
		Poten. (m)	Rumbo	Buzam.	Nº Total	De Primer orden		De Segundo Orden					
						Nº	Rumbo	Buz.	Nº	Rumbo	Buz.		
								N 56º N 70º N 74º	86º SE SV 70º NW				
M-393	3.00				--		60	N 105º N 106º N 6º N 10º N 79º	78º NE 75º NE 75º NW 78º NW 69º SE				Fract +++
M-394	3.00				--		35	N 162º N 250º	42º SW 78º SE				Fract ++
M-395	3.00				--		70	--	--				Craq - Bx
M-396	3.00				--		80	--	--				Craq - Bx
M-397	3.00				--		70	N 10º N 2º N 20º N 235º	37º NW 78º SE 68º SE 72º NW				Craq - Bx
M-398	2.60				--		70	--	--				Craq - Bx
M-399	3.00				--		80	--	--				Craq - Bx
M-400	3.00				--		80	--	--				Fract +++
M-501	3.00				--		50						
M-503	3.00				--		45						Fract +++
M-504	3.00				2	2	40		76º SW 82º NE				Craq - Bx / Fract ++ Vtlls. pot 0.5-1cm. Qz (bl), lm (pa) en fract Fallas. pnz (bl-pa / bl), vnlls lm (pa), cajas bx. En paredes de labor
M-505	3.00				--		25						Fract +
								N 274º N 274º N 278º N 338º N 148º	85º NE SV SV 34º NE 41º NE				
M-506	3.00				--		65	N 195º N 185º	41º NW 32º NW				Craq
M-507	3.00				--		60	N 280º N 282º N 256º N 165º N 168º	56º SW 65º SW 32º SE 72º NE 56º NE				Craq
M-508	3.00				--		60	N 270º N 294º N 272º N 286º	24º N 22º NE 85º NE 88º NE				Craq
M-509	3.00				--		60	N 284º N 280º N 277º N 160º N 180º N 178º	67º SW 77º SW 71º SW 83º NE 80º E 85º NE				Craq
M-510	3.00				1	1	70						Craq - Bx Vtlls. pot 0.5cm. Qz (bl), oquedades con óxidos
M-511	3.00				--		40						Fract ++-

TABLA ESTRUCTURAL DE MUESTREO DE CANALETAS

PROYECTO LOS HORNOs - II ETAPA

Muestra Nº	Long. (m)	VETAS		VETILLAS		FALLAS		FRACTURAS				OBSERVACIONES		
		Poten. (m)	Rumbo	Buzam.	Nº Total	De Primer orden		De Segundo Orden						
						Nº	Rumbo	Nº	Rumbo	Buz.				
										N 270º	62º S			
										N 165º	43º SW			
										N 264º	78º SE			
										N 176º	45º SW			
M-512	3.00				--				60	N 178º	86º NE			Craq
										N 272º	81º SW			
										N 292º	68º SW			
										N 290º	66º SW			
M-513	3.00				--				45	N 96º	82º SW			Fract ++
										N 95º	86º SW			
										N 200º	63º SE			
										N 166º	58º NE			
M-514	3.00				--				70	--	--			Craq - Bx
M-515	3.00				--				25	N 286º	65º SW			Fract ++
M-516	3.00				--				35	N 310º	33º SW			Fract ++
										N 210º	51º NW			
										N 334º	43º SW			
M-517	3.00				--				60	N 287º	84º NE			Craq - Bx
M-518	3.00				--				55	N 282º	87º SW			Craq
										N 290º	82º SW			
M-519	3.00				--				60	N 233º	61º NW			Craq
										N 188º	60º NW			
										N 190º	76º NW			
M-520	3.00				--				55	N 241º	60º SE			Fract +++
										N 236º	62º SE			
										N 195º	87º SE			
										N 302º	62º SW			
										N 260º	67º NW			
M-521	3.00		7	N 249º	60º SE				40	N 249º	60º SE			Fract +++ Vlls, pot mm, lm (pa)
										N 205º	44º NW			
										N 213º	48º NW			
										N 249º	65º SE			
M-522	3.00		--						50	N 230º	45º SE			Fract ++
										N 257º	64º NW			
M-524	3.00		--						50	N 257º	85º SE			Fract +++
M-525	3.00		10	N 70º N 11º	71º SE 81º NW				65	N 70º	71º SE			Craq - Bx Vlls, pot mm, lm (pa)
										N 263º	66º SE			
										N 24º	46º NW			
										N 26º	64º NW			
										N 28º	68º NW			
										N 265º	50º SE			
M-526	3.00		23	N 290º N 300º	70º SW 71º NE				60	N 261º	63º SE			Fract +++ Vlls, pot mm, lm (pa)
										N 290º	70º SW			
										N 200º	58º NW			
										N 210º	67º NW			
										N 15º	84º SE			
										N 324º	53º NE			
										N 315º	50º NE			
										N 300º	71º NE			
M-527	3.00		10	N 305º	80º SW				65	N 305º	80º SW			Craq Vlls, pot mm, lm (pa)
										N 310º	68º SW			
										N 302º	78º SW			
										N 235º	72º NW			
M-528	3.90		11	N 297º	71º SW	0.02 - 0.03	N 260º	82º SE	60	N 297º	71º SW			Fract +++

TABLA ESTRUCTURAL DE MUESTREO DE CANALETAS

PROYECTO LOS HORNOS - II ETAPA

Muestra Nº	Long. (m)	VETAS			VETILLAS			FALLAS			FRACTURAS				OBSERVACIONES																																																																																																																																																																																																																																																																																																																																																																																																																																																																																																																																																																																																																																																																																																																																																																																																																																																																																																																																																																			
		Poten. (m)	Rumbo	Buzam.	Nº Total	De Primer orden		Poten. (m)	Rumbo	Buzam.	De Primer orden		De Segundo Orden																																																																																																																																																																																																																																																																																																																																																																																																																																																																																																																																																																																																																																																																																																																																																																																																																																																																																																																																																																					
						Nº	Rumbo				Nº	Rumbo	Nº	Rumbo		Nº	Rumbo	Nº	Rumbo	Nº	Rumbo	Nº	Rumbo	Nº	Rumbo	Nº	Rumbo	Nº	Rumbo	Nº	Rumbo	Nº	Rumbo	Nº	Rumbo	Nº	Rumbo	Nº	Rumbo	Nº	Rumbo	Nº	Rumbo	Nº	Rumbo	Nº	Rumbo	Nº	Rumbo	Nº	Rumbo	Nº	Rumbo	Nº	Rumbo	Nº	Rumbo	Nº	Rumbo	Nº	Rumbo	Nº	Rumbo	Nº	Rumbo	Nº	Rumbo	Nº	Rumbo	Nº	Rumbo	Nº	Rumbo	Nº	Rumbo	Nº	Rumbo	Nº	Rumbo	Nº	Rumbo	Nº	Rumbo	Nº	Rumbo	Nº	Rumbo	Nº	Rumbo	Nº	Rumbo	Nº	Rumbo	Nº	Rumbo	Nº	Rumbo	Nº	Rumbo	Nº	Rumbo	Nº	Rumbo	Nº	Rumbo	Nº	Rumbo	Nº	Rumbo	Nº	Rumbo	Nº	Rumbo	Nº	Rumbo	Nº	Rumbo	Nº	Rumbo	Nº	Rumbo	Nº	Rumbo	Nº	Rumbo	Nº	Rumbo	Nº	Rumbo	Nº	Rumbo	Nº	Rumbo	Nº	Rumbo	Nº	Rumbo	Nº	Rumbo	Nº	Rumbo	Nº	Rumbo	Nº	Rumbo	Nº	Rumbo	Nº	Rumbo	Nº	Rumbo	Nº	Rumbo	Nº	Rumbo	Nº	Rumbo	Nº	Rumbo	Nº	Rumbo	Nº	Rumbo	Nº	Rumbo	Nº	Rumbo	Nº	Rumbo	Nº	Rumbo	Nº	Rumbo	Nº	Rumbo	Nº	Rumbo	Nº	Rumbo	Nº	Rumbo	Nº	Rumbo	Nº	Rumbo	Nº	Rumbo	Nº	Rumbo	Nº	Rumbo	Nº	Rumbo	Nº	Rumbo	Nº	Rumbo	Nº	Rumbo	Nº	Rumbo	Nº	Rumbo	Nº	Rumbo	Nº	Rumbo	Nº	Rumbo	Nº	Rumbo	Nº	Rumbo	Nº	Rumbo	Nº	Rumbo	Nº	Rumbo	Nº	Rumbo	Nº	Rumbo	Nº	Rumbo	Nº	Rumbo	Nº	Rumbo	Nº	Rumbo	Nº	Rumbo	Nº	Rumbo	Nº	Rumbo	Nº	Rumbo	Nº	Rumbo	Nº	Rumbo	Nº	Rumbo	Nº	Rumbo	Nº	Rumbo	Nº	Rumbo	Nº	Rumbo	Nº	Rumbo	Nº	Rumbo	Nº	Rumbo	Nº	Rumbo	Nº	Rumbo	Nº	Rumbo	Nº	Rumbo	Nº	Rumbo	Nº	Rumbo	Nº	Rumbo	Nº	Rumbo	Nº	Rumbo	Nº	Rumbo	Nº	Rumbo	Nº	Rumbo	Nº	Rumbo	Nº	Rumbo	Nº	Rumbo	Nº	Rumbo	Nº	Rumbo	Nº	Rumbo	Nº	Rumbo	Nº	Rumbo	Nº	Rumbo	Nº	Rumbo	Nº	Rumbo	Nº	Rumbo	Nº	Rumbo	Nº	Rumbo	Nº	Rumbo	Nº	Rumbo	Nº	Rumbo	Nº	Rumbo	Nº	Rumbo	Nº	Rumbo	Nº	Rumbo	Nº	Rumbo	Nº	Rumbo	Nº	Rumbo	Nº	Rumbo	Nº	Rumbo	Nº	Rumbo	Nº	Rumbo	Nº	Rumbo	Nº	Rumbo	Nº	Rumbo	Nº	Rumbo	Nº	Rumbo	Nº	Rumbo	Nº	Rumbo	Nº	Rumbo	Nº	Rumbo	Nº	Rumbo	Nº	Rumbo	Nº	Rumbo	Nº	Rumbo	Nº	Rumbo	Nº	Rumbo	Nº	Rumbo	Nº	Rumbo	Nº	Rumbo	Nº	Rumbo	Nº	Rumbo	Nº	Rumbo	Nº	Rumbo	Nº	Rumbo	Nº	Rumbo	Nº	Rumbo	Nº	Rumbo	Nº	Rumbo	Nº	Rumbo	Nº	Rumbo	Nº	Rumbo	Nº	Rumbo	Nº	Rumbo	Nº	Rumbo	Nº	Rumbo	Nº	Rumbo	Nº	Rumbo	Nº	Rumbo	Nº	Rumbo	Nº	Rumbo	Nº	Rumbo	Nº	Rumbo	Nº	Rumbo	Nº	Rumbo	Nº	Rumbo	Nº	Rumbo	Nº	Rumbo	Nº	Rumbo	Nº	Rumbo	Nº	Rumbo	Nº	Rumbo	Nº	Rumbo	Nº	Rumbo	Nº	Rumbo	Nº	Rumbo	Nº	Rumbo	Nº	Rumbo	Nº	Rumbo	Nº	Rumbo	Nº	Rumbo	Nº	Rumbo	Nº	Rumbo	Nº	Rumbo	Nº	Rumbo	Nº	Rumbo	Nº	Rumbo	Nº	Rumbo	Nº	Rumbo	Nº	Rumbo	Nº	Rumbo	Nº	Rumbo	Nº	Rumbo	Nº	Rumbo	Nº	Rumbo	Nº	Rumbo	Nº	Rumbo	Nº	Rumbo	Nº	Rumbo	Nº	Rumbo	Nº	Rumbo	Nº	Rumbo	Nº	Rumbo	Nº	Rumbo	Nº	Rumbo	Nº	Rumbo	Nº	Rumbo	Nº	Rumbo	Nº	Rumbo	Nº	Rumbo	Nº	Rumbo	Nº	Rumbo	Nº	Rumbo	Nº	Rumbo	Nº	Rumbo	Nº	Rumbo	Nº	Rumbo	Nº	Rumbo	Nº	Rumbo	Nº	Rumbo	Nº	Rumbo	Nº	Rumbo	Nº	Rumbo	Nº	Rumbo	Nº	Rumbo	Nº	Rumbo	Nº	Rumbo	Nº	Rumbo	Nº	Rumbo	Nº	Rumbo	Nº	Rumbo	Nº	Rumbo	Nº	Rumbo	Nº	Rumbo	Nº	Rumbo	Nº	Rumbo	Nº	Rumbo	Nº	Rumbo	Nº	Rumbo	Nº	Rumbo	Nº	Rumbo	Nº	Rumbo	Nº	Rumbo	Nº	Rumbo	Nº	Rumbo	Nº	Rumbo	Nº	Rumbo	Nº	Rumbo	Nº	Rumbo	Nº	Rumbo	Nº	Rumbo	Nº	Rumbo	Nº	Rumbo	Nº	Rumbo	Nº	Rumbo	Nº	Rumbo	Nº	Rumbo	Nº	Rumbo	Nº	Rumbo	Nº	Rumbo	Nº	Rumbo	Nº	Rumbo	Nº	Rumbo	Nº	Rumbo	Nº	Rumbo	Nº	Rumbo	Nº	Rumbo	Nº	Rumbo	Nº	Rumbo	Nº	Rumbo	Nº	Rumbo	Nº	Rumbo	Nº	Rumbo	Nº	Rumbo	Nº	Rumbo	Nº	Rumbo	Nº	Rumbo	Nº	Rumbo	Nº	Rumbo	Nº	Rumbo	Nº	Rumbo	Nº	Rumbo	Nº	Rumbo	Nº	Rumbo	Nº	Rumbo	Nº	Rumbo	Nº	Rumbo	Nº	Rumbo	Nº	Rumbo	Nº	Rumbo	Nº	Rumbo	Nº	Rumbo	Nº	Rumbo	Nº	Rumbo	Nº	Rumbo	Nº	Rumbo	Nº	Rumbo	Nº	Rumbo	Nº	Rumbo	Nº	Rumbo	Nº	Rumbo	Nº	Rumbo	Nº	Rumbo	Nº	Rumbo	Nº	Rumbo	Nº	Rumbo	Nº	Rumbo	Nº	Rumbo	Nº	Rumbo	Nº	Rumbo	Nº	Rumbo	Nº	Rumbo	Nº	Rumbo	Nº	Rumbo	Nº	Rumbo	Nº	Rumbo	Nº	Rumbo	Nº	Rumbo	Nº	Rumbo	Nº	Rumbo	Nº	Rumbo	Nº	Rumbo	Nº	Rumbo	Nº	Rumbo	Nº	Rumbo	Nº	Rumbo	Nº	Rumbo	Nº	Rumbo	Nº	Rumbo	Nº	Rumbo	Nº	Rumbo	Nº	Rumbo	Nº	Rumbo	Nº	Rumbo	Nº	Rumbo	Nº	Rumbo	Nº	Rumbo	Nº	Rumbo	Nº	Rumbo	Nº	Rumbo	Nº	Rumbo	Nº	Rumbo	Nº	Rumbo	Nº	Rumbo	Nº	Rumbo	Nº	Rumbo	Nº	Rumbo	Nº	Rumbo	Nº	Rumbo	Nº	Rumbo	Nº	Rumbo	Nº	Rumbo	Nº	Rumbo	Nº	Rumbo	Nº	Rumbo	Nº	Rumbo	Nº	Rumbo	Nº	Rumbo	Nº	Rumbo	Nº	Rumbo	Nº	Rumbo	Nº	Rumbo	Nº	Rumbo	Nº	Rumbo	Nº	Rumbo	Nº	Rumbo	Nº	Rumbo	Nº	Rumbo	Nº	Rumbo	Nº	Rumbo	Nº	Rumbo	Nº	Rumbo	Nº	Rumbo	Nº	Rumbo	Nº	Rumbo	Nº	Rumbo	Nº	Rumbo	Nº	Rumbo	Nº	Rumbo	Nº	Rumbo	Nº	Rumbo	Nº	Rumbo	Nº	Rumbo	Nº	Rumbo	Nº	Rumbo	Nº	Rumbo	Nº	Rumbo	Nº	Rumbo	Nº	Rumbo	Nº	Rumbo	Nº	Rumbo	Nº	Rumbo	Nº	Rumbo	Nº	Rumbo	Nº	Rumbo	Nº	Rumbo	Nº	Rumbo	Nº	Rumbo	Nº	Rumbo	Nº	Rumbo	Nº	Rumbo	Nº	Rumbo	Nº	Rumbo	Nº	Rumbo	Nº	Rumbo	Nº	Rumbo	Nº	Rumbo	Nº	Rumbo	Nº	Rumbo	Nº	Rumbo	Nº	Rumbo	Nº	Rumbo	Nº	Rumbo	Nº	Rumbo	Nº	Rumbo	Nº	Rumbo	Nº	Rumbo	Nº	Rumbo	Nº	Rumbo	Nº	Rumbo	Nº	Rumbo	Nº	Rumbo	Nº	Rumbo	Nº	Rumbo	Nº	Rumbo	Nº



MERENDON DE PERU S.A.
DEPARTAMENTO DE EXPLORACIONES GEOLOGICO MINERAS



TABLA ESTRUCTURAL DE MUESTREO DE CANALETAS

PROYECTO LOS HORNOS - II ETAPA

Muestra N°	Long. (m)	VETAS		VETILLAS			FALLAS		FRACTURAS					OBSERVACIONES		
		Poten. (m)	Rumbo	Buzam.	N° Total	De Primer orden		Poten. (m)	Rumbo	Buzam.	De Primer orden		De Segundo Orden			
						N°	Rumbo				N°	Rumbo	N°		Rumbo	N°
M-547	3.00				--							70	N 320°	60° NE		Craq - Bx
M-548	3.00				--							70	N 338°	81° NE		Craq - Bx
M-549	3.00				--							70	N 325°	74° NE		Craq - Bx
M-550	2.00				--							75	N 296°	SV		Craq - Bx
M-551	3.00				--							30	N 300°	72° NE		Fract ++
M-552	3.00				--							60	N 40°	87° SE		Craq - Bx
M-553	3.00				--							70	N 15°	87° NW		Craq - Bx
M-554	3.00				--							60	N 16°	70° SE		Craq - Bx
M-555	3.00				--							75	N 302°	86° SW		Craq - Bx
M-556	3.00				--							70	N 302°	88° NE		Craq - Bx
M-557	3.00				--							60	N 150°	18° SW		Fract ++
M-558	3.00				--							70	N 122°	42° NE		Craq - Bx
M-559	3.00				--							60	N 346°	71° NE		Craq - Bx
M-560	3.00				--							70	N 30°	79° NW		Craq - Bx
M-561	3.00				--							70	N 24°	78° NW		Craq - Bx
M-562	3.00				--							70	N 137°	55° NE		Craq - Bx
M-563	3.00				--							70	N 115°	58° NE		Craq - Bx
M-564	2.50				--							70	N 115°	51° SW		Craq - Bx
M-565	1.60				--							75	N 112°	71° NE		Craq
M-566	3.00				--							70	N 117°	58° SW		Craq - Bx
M-567	3.00				--							70	N 108°	75° SW		Craq - Bx
M-568	3.00				--							70	N 108°	SV		Craq - Bx
M-569	3.00				--							70	N 116°	66° SW		Craq - Bx
M-570	3.00				--							70	N 41°	78° NW		Craq - Bx
M-571	3.00				--							70	N 45°	78° NW		Vlls, pot mm-0.5cm, 6x Fe (roj)
M-572	3.00				--							70	N 117°	51° SW		Vlls, pot mm-0.7cm, (8) 6x Fe (roj) y (2) lm (pa)
M-573	3.00				--							70	N 96°	74° SW		Vlls, pot mm-0.5cm, 6x Fe (roj)
M-574	3.00				--							70	N 92°	75° SW		Vlls, pot mm-0.5cm, 6x Fe (roj)
M-575	3.00				--							70	N 2°	78° SE		Vlls, pot mm-0.5cm, 6x Fe (roj)
M-576	3.00				--							70	N 96°	74° SW		Vlls, pot mm-0.5cm, 6x Fe (roj)
M-577	3.00				--							70	N 92°	75° SW		Vlls, pot mm-0.5cm, 6x Fe (roj)
M-578	3.00				--							70	N 2°	78° SE		Vlls, pot mm-0.5cm, 6x Fe (roj)
M-579	3.00				--							70	N 96°	74° SW		Vlls, pot mm-0.5cm, 6x Fe (roj)
M-580	3.00				--							70	N 92°	75° SW		Vlls, pot mm-0.5cm, 6x Fe (roj)
M-581	3.00				--							70	N 2°	78° SE		Vlls, pot mm-0.5cm, 6x Fe (roj)
M-582	3.00				--							70	N 96°	74° SW		Vlls, pot mm-0.5cm, 6x Fe (roj)
M-583	3.00				--							70	N 92°	75° SW		Vlls, pot mm-0.5cm, 6x Fe (roj)
M-584	3.00				--							70	N 2°	78° SE		Vlls, pot mm-0.5cm, 6x Fe (roj)
M-585	3.00				--							70	N 96°	74° SW		Vlls, pot mm-0.5cm, 6x Fe (roj)
M-586	3.00				--							70	N 92°	75° SW		Vlls, pot mm-0.5cm, 6x Fe (roj)
M-587	3.00				--							70	N 2°	78° SE		Vlls, pot mm-0.5cm, 6x Fe (roj)
M-588	3.00				--							70	N 96°	74° SW		Vlls, pot mm-0.5cm, 6x Fe (roj)
M-589	3.00				--							70	N 92°	75° SW		Vlls, pot mm-0.5cm, 6x Fe (roj)
M-590	3.00				--							70	N 2°	78° SE		Vlls, pot mm-0.5cm, 6x Fe (roj)
M-591	3.00				--							70	N 96°	74° SW		Vlls, pot mm-0.5cm, 6x Fe (roj)
M-592	3.00				--							70	N 92°	75° SW		Vlls, pot mm-0.5cm, 6x Fe (roj)
M-593	3.00				--							70	N 2°	78° SE		Vlls, pot mm-0.5cm, 6x Fe (roj)
M-594	3.00				--							70	N 96°	74° SW		Vlls, pot mm-0.5cm, 6x Fe (roj)
M-595	3.00				--							70	N 92°	75° SW		Vlls, pot mm-0.5cm, 6x Fe (roj)
M-596	3.00				--							70	N 2°	78° SE		Vlls, pot mm-0.5cm, 6x Fe (roj)
M-597	3.00				--							70	N 96°	74° SW		Vlls, pot mm-0.5cm, 6x Fe (roj)
M-598	3.00				--							70	N 92°	75° SW		Vlls, pot mm-0.5cm, 6x Fe (roj)
M-599	3.00				--							70	N 2°	78° SE		Vlls, pot mm-0.5cm, 6x Fe (roj)
M-600	3.00				--							70	N 96°	74° SW		Vlls, pot mm-0.5cm, 6x Fe (roj)
M-601	3.00				--							70	N 92°	75° SW		Vlls, pot mm-0.5cm, 6x Fe (roj)
M-602	3.00				--							70	N 2°	78° SE		Vlls, pot mm-0.5cm, 6x Fe (roj)
M-603	3.00				--							70	N 96°	74° SW		Vlls, pot mm-0.5cm, 6x Fe (roj)
M-604	3.00				--							70	N 92°	75° SW		Vlls, pot mm-0.5cm, 6x Fe (roj)
M-605	3.00				--							70	N 2°	78° SE		Vlls, pot mm-0.5cm, 6x Fe (roj)
M-606	3.00				--							70	N 96°	74° SW		Vlls, pot mm-0.5cm, 6x Fe (roj)
M-607	3.00				--							70	N 92°	75° SW		Vlls, pot mm-0.5cm, 6x Fe (roj)
M-608	3.00				--							70	N 2°	78° SE		Vlls, pot mm-0.5cm, 6x Fe (roj)
M-609	3.00				--							70	N 96°	74° SW		Vlls, pot mm-0.5cm, 6x Fe (roj)
M-610	3.00				--							70	N 92°	75° SW		Vlls, pot mm-0.5cm, 6x Fe (roj)
M-611	3.00				--							70	N 2°	78° SE		Vlls, pot mm-0.5cm, 6x Fe (roj)
M-612	3.00				--							70	N 96°	74° SW		Vlls, pot mm-0.5cm, 6x Fe (roj)
M-613	3.00				--							70	N 92°	75° SW		Vlls, pot mm-0.5cm, 6x Fe (roj)
M-614	3.00				--							70	N 2°	78° SE		Vlls, pot mm-0.5cm, 6x Fe (roj)
M-615	3.00				--							70	N 96°	74° SW		Vlls, pot mm-0.5cm, 6x Fe (roj)
M-616	3.00				--							70	N 92°	75° SW		Vlls, pot mm-0.5cm, 6x Fe (roj)
M-617	3.00				--							70	N 2°	78° SE		Vlls, pot mm-0.5cm, 6x Fe (roj)
M-618	3.00				--							70	N 96°	74° SW		Vlls, pot mm-0.5cm, 6x Fe (roj)
M-619	3.00				--							70	N 92°	75° SW		Vlls, pot mm-0.5cm, 6x Fe (roj)
M-620	3.00				--							70	N 2°	78° SE		Vlls, pot mm-0.5cm, 6x Fe (roj)
M-621	3.00				--							70	N 96°	74° SW		Vlls, pot mm-0.5cm, 6x Fe (roj)
M-622	3.00				--							70	N 92°	75° SW		Vlls, pot mm-0.5cm, 6x Fe (roj)
M-623	3.00				--							70	N 2°	78° SE		Vlls, pot mm-0.5cm, 6x Fe (roj)
M-624	3.00				--							70	N 96°	74° SW		Vlls, pot mm-0.5cm, 6x Fe (roj)
M-625	3.00				--							70	N 92°	75° SW		Vlls, pot mm-0.5cm, 6x Fe (roj)
M-626	3.00				--							70	N 2°	78° SE		Vlls, pot mm-0.5cm, 6x Fe (roj)
M-627	3.00				--							70	N 96°	74° SW		Vlls, pot mm-0.5cm, 6x Fe (roj)
M-628	3.00				--							70	N 92°	75° SW		Vlls, pot mm-0.5cm, 6x Fe (roj)
M-629	3.00				--							70	N 2°	78° SE		Vlls, pot mm-0.5cm, 6x Fe (roj)
M-630	3.00				--							70	N 96°	74° SW		Vlls, pot mm-0.5cm, 6x Fe (roj)
M-631	3.00				--							70	N 92°	75° SW		Vlls, pot mm-0.5cm, 6x Fe (roj)
M-632	3.00				--							70	N 2°	78° SE		Vlls, pot mm-0.5cm, 6x Fe (roj)
M-633	3.00				--							70	N 96°	74° SW		Vlls, pot mm-0.5cm, 6x Fe (roj)
M-634	3.00				--							70	N 92°	75° SW		Vlls, pot mm-0.5cm, 6x Fe (roj)
M-635	3.00				--							70	N 2°	78° SE		Vlls, pot mm-0.5cm, 6x Fe (roj)
M-636	3.00				--							70	N 96°	74° SW		Vlls, pot mm-0.5cm, 6x Fe (roj)
M-637	3.00				--							70	N 92°	75° SW		Vlls, pot mm-0.5cm, 6x Fe (roj)
M-638	3.00				--							70	N 2°	78° SE		Vlls, pot mm-0.5cm, 6x Fe (roj)
M-639	3.00				--											



MERENDON DE PERU S.A.
DEPARTAMENTO DE EXPLORACIONES GEOLOGICO MINERAS

TABLA ESTRUCTURAL DE MUESTREO DE CANALETAS

PROYECTO LOS HORNOS - II ETAPA

Muestra N°	Long. (m)	VETAS			FALLAS			FRACTURAS				OBSERVACIONES	
		Poten. (m)	Rumbo	Buzam.	Poten. (m)	Rumbo	Buzam.	De Primer orden		De Segundo Orden			
								N° Total	N° Rumbo	N° Buz.	N° Rumbo		N° Buz.
M-574	3.00								70	N 140°	43° NE		Craq - Bx. Vlls. pot mm. lm (pa)
M-575	4.00								B-C	--	--		Bx - Craq
M-576	3.00								75	--	--		Craq - Bx. Vlls. pot 1cm. Oz (bl) fract. oquedades con lm (pa-ma) Vlls. pot 0.5-1cm. lm (pa) y pnz (bl)
M-577	3.00								60	N 234° N 230°	78° SE 73° SE		Craq - Bx Vlls. pot 0.5-1cm. lm (pa) y pnz (bl)
M-578	3.00	0.30	N 224°	53° SE					B-C	--	--		Vt y Vlls (1.5-2cm). Oz (bl) craq. contactos y caballos sertz y lm (pa) en fract.
M-579	3.00	0.20	N 250°	25° SE					75	N 276° N 273°	70° SW 64° SW		Craq - Bx Vt. Oz (bl) craq. contactos sertz y lm (pa) en fract
M-580	3.00	0.10	N 260°	27° SE					70	N 250° N 259° N 260° N 252° N 160° N 151°	64° SE 68° SE 80° SE 58° SE 85° SW 83° SW		Craq - Bx Vt. Oz (bl) fract. contactos sertz Craq - Bx Vt. Oz (bl) fract. contactos sertz y lm (pa) en fract
M-581	3.00	0.06	N 245°	72° NW					70	N 155° N 270°	77° SW 72° N		Craq - Bx
M-582	3.00								75	--	--		Craq - Bx
M-583	3.00								80	--	--		Craq - Bx / Bx. Vlls. pot 1-3cm. Oz (bl) craq
M-584	3.00								B-C	--	--		Bx - Craq
M-585	3.00								B-C	--	--		Vlls. pot 1-4cm. Oz (bl). cajas sertz y lm (pa) en fract
M-587	3.00								60	--	--		Bx - Craq / Fract ++. Vlls. pot 2-4cm. Oz (bl) y lm (pa) en fract
M-588	3.00								40	--	--		Fract ++. Vlls. pot 0.2cm. lm (pa) y Vlls irregulares. Oz (bl) pot 1cm. oquedades con
M-589	3.00								40	--	--		Fract ++
M-590	3.00								35	N 300° N 277° N 284° N 280° N 165° N 168°	39° SW 48° SW 55° NE 50° NE 81° SW 85° SW		Vlls. pot mm. lm (pa)
M-591	3.00								40	--	--		Fract ++
M-592	3.00								50	N 270° N 139°	46° S SV		Fract +++ Vlls. pot mm. lm (pa)
M-593	3.00								40	N 167° N 184° N 272° N 295° N 285°	SV 80° NW 54° SW 59° NE 58° NE		Fract ++
M-594	3.00								30	N 326° N 324° N 271° N 266° N 258° N 256°	70° SW 75° SW 48° NE 54° NW 42° SE 44° SE		Fract ++
M-595	3.00								45	--	--		Fract +++
M-596	3.00								45	N 218° N 327° N 332°	80° NW 86° NE 84° NE		Fract +++
M-597	3.00								40	N 220° N 209° N 241° N 242° N 320° N 357°	68° NW 75° NW SV 86° SE 74° NE 54° SW		Fract ++-
M-598	3.00								45	N 240°	88° NW		Fract +++

TABLA ESTRUCTURAL DE MUESTREO DE CANALETAS

PROYECTO LOS HORNOS - II ETAPA

Muestra N°	Long. (m)	VETAS			VETILLAS			FALLAS			FRACTURAS				OBSERVACIONES	
		Poten. (m)	Rumbo	Buzam.	N° Total	De Primer orden		Poten. (m)	Rumbo	Buzam.	De Primer orden		De Segundo Orden			
						N°	Rumbo				N°	Rumbo	N°	Buz.		N°
M-599	3.00				--							30				Fract ++
M-600	3.00				--							65				Craç - Bx
M-601	3.00				--											Craç - Bx Falla. pnz (bl-pa)
M-602	3.00				--					0.015-0.04	N 90°	50				Fract ++
												25				
M-603	3.00				2	2	N 248°	67° NW				30				Fract ++ Vlls. pot mm. óx Fe (roj)
M-604	3.00				--							50				Fract ++
M-605	3.00				1	1	N 295°	26° NE				B-C				Vlls. pot 1-4cm. Oz (bl) bx. lm (pa) y ser
M-606	3.00				--							B-C				Bx - Craç
M-608	3.00				--							75				Craç - Bx
M-609	3.00				--							75				Craç - Bx
M-610	3.00				--							75				Craç - Bx
M-611	3.00				3	3	N 309°	85° NE				70				Craç, Vlls. pot mm. lm (pa)
M-612	3.00				--							70				Craç
M-613	3.00				20	20	--	--	0.15 - 0.30	N 10°	20° SE	50				Craç - Bx. Vlls. pot mm. polidireccionales. Falla. pnz (pa) y lm
M-614	3.00				--				0.18	N 6°	20° SE	35				Fract ++ Falla. pnz (pa) y lm
M-615	3.00				--							B-C				Bx - Craç
M-616	3.00				--							B-C				Bx - Craç
M-617	3.00				1	1	N 356°	45° NE				B-C				Vlls. pot 1-1.5cm. lm (pa-roj)
M-618	3.00				--							B-C				Bx - Craç
M-619	3.00				--							B-C				Bx - Craç
M-620	3.00				--							60				Craç
M-621	3.00				--							50				Fract +++
M-622	3.00				28	26	N 149°	18° NE				25				Fract + Vlls. pot mm-0.8cm, lm (pa) y óx Fe (roj) en alg
						2	N 358°	51° SW								



MERENDON DE PERU S.A.
ENTO DE EXPLORACIONES GEOLOGIC

TABLA ESTRUCTURAL DE MUESTREO DE CANALETAS

PROYECTO LOS HORNOS - II ETAPA

Muestra N°	Long. (m)	VETAS			VETILLAS			FALLAS			FRACTURAS						OBSERVACIONES
		Poten. (m)	Rumbo	Buzam.	N° Total	De Primer orden		Poten. (m)	Rumbo	Buzam.	De Primer orden		De Segundo Orden				
						N°	Rumbo				N°	Rumbo	N°	Rumbo	N°	Buz.	
																Vlls. pot mm, óx Fe (roj)	
M-623	3.00				--							30				Fract +/-	
M-624	3.00				--			0.02 - 0.03	N 220º	59º SE						Craç Falla, pnz (ve)	
M-625	4.00				1	1	N 295º	26º SW				70	--	--		Craç. Vlll. pot 1-3cm. óx Fe (roj) y lm (pa)	
M-626	3.00				--							Bx	--	--		Bx	
M-627	3.00				10	10	N 30º	38º SE				Bx	--	--		Vlls. pot 0.5-1cm. lm (pa)	
M-629	3.00				6	6	N 305º	15º NE				Bx	--	--		Vlls. pot 0.5-1cm. lm (pa)	
M-630	3.00				--							Bx	--	--		Bx	
M-631	3.00				--	*						Bx	--	--		Bx	
M-632	3.00				--							Bx	--	--		Bx	
M-633	3.00				--							Bx	--	--		Bx	
M-634	3.00				--							Bx	--	--		Bx	
M-635	3.00				15	15	--	--				Bx	--	--		Vlls. pot mm-0.5cm. polidireccionales. lm (pa)	
M-636	3.00				--							Bx	--	--		Bx	
M-637	3.00				8	5	N 50º	78º NW				Bx	--	--		Vlls. pot 1cm. Cz (bl) craç. lm en fract y cajas sertz	
M-638	3.00				4	4	N 55º	26º SE				Bx	--	--		Vlls irregulares, pot mm. lm (pa)	
M-639	4.00				--							Bx	--	--		Vlls. pot 1-2.5cm. Cz (bl) craç. cajas sertz	
M-640	3.00				3	3	N 25º	26º NW				75	N 192º	63º NW		Craç - Bx	
M-641	3.00				--							70	--	--		Craç - Bx	
M-642	3.00				--							70	N 354º	78º NE		Craç - Bx	
M-643	3.00				4	4	N 35º	23º NW				65	N 112º	69º NE		Vlls. pot mm, óx Fe (roj)	
M-644	3.00				4	4	N 106º	37º SW				70	N 105º	68º NE		Craç - Bx	
M-645	3.00				9	9	N 152º	35º NE				70	N 80º	58º NW		Craç - Bx	
M-646	3.00				3	3	N 110º	45º NE				70	N 127º	34º NE		Craç - Bx	
M-647	3.00				11	5	N 143º	52º NE				80	N 162º	36º NE		Vlls. pot mm, óx Fe (roj)	
												60	N 7º	82º NW		Craç - Bx	
													N 140º	81º NW		Vlls. pot mm, óx Fe (roj)	
													N 140º	56º NE		Craç - Bx	
													N 56º	80º SE		Vlls. pot mm, óx Fe (roj)	
													N 152º	35º NE		Craç - Bx	
													N 152º	35º NE		Vlls. pot mm, óx Fe (roj)	
													N 110º	45º NE		Craç - Bx. Vlls. pot mm. óx Fe (roj)	
													N 143º	52º NE		Craç - Bx	

TABLA ESTRUCTURAL DE MUESTREO DE CANALETAS

PROYECTO LOS HORNOs - II ETAPA

Muestra N°	Long. (m)	VETAS			VETILLAS			FALLAS			FRACTURAS					OBSERVACIONES
		Poten. (m)	Rumbo	Buzam.	N° Total	De Primer orden		Poten. (m)	Rumbo	Buzam.	De Primer orden		De Segundo Orden			
						N°	Rumbo				N°	Rumbo	N°	Rumbo	N°	
																Vlls. pot mm, óx Fe (roj)
M-648	3.00				5	6 N 116° 59° NE										Craq - Bx. Vlls. pot mm, óx Fe (roj)
M-650	3.00				2	2 N 117° 63° NE	0.02 - 0.03	N 81°	41° NW	40						Craq Vlls. pot mm, óx Fe (roj) Falla, priz (bl) y vnlls lm (pa)
M-651	3.00				9	2 N 74° 41° SE 4 N 95° 47° NE 3 N 120° 40° NE				60						Craq - Bx Vlls. pot mm, lm (pa) Vlls. pot mm, óx Fe (roj)
M-652	3.00				--					60						Craq - Bx
M-653	3.00				6	6 N 100° 32° NE				70						Craq - Bx. Vlls. pot mm, óx Fe (roj)
M-654	3.00				--					70						Craq - Bx
M-655	2.20				--					40						Fract ++
M-656	3.00				1	1 N 70° 69° SE				60						Craq - Bx Vll, pot 0.4cm, Qz (bl) fract, óxidos en oquedades
M-657	4.30				--					55						Craq
M-658	3.00				--					65						Craq - Bx
M-659	3.00				--					Bx						Bx
M-660	3.00				--					Bx						Bx
M-661	3.00				1	1 -- --				Bx						Vll, pot 0.8cm, Qz (bl)
M-662	3.00				2	2 -- --				70						Craq - Bx Vlls. pot 0.7cm, Qz (bl)
M-663	3.00				--					70						Craq - Bx
M-664	3.00				--					75						Craq - Bx
M-665	3.00				--					75						Craq - Bx
M-666	4.20				--					75						Craq - Bx

TABLA ESTRUCTURAL DE MUESTREO DE CANALETAS

PROYECTO LOS HORNOS - II ETAPA

Muestra Nº	Long. (m)	VETAS		VETILLAS		FALLAS		FRACTURAS					OBSERVACIONES		
		Poten. (m)	Rumbo	Buzam.	Nº Total	De Primer orden		Poten. (m)	Rumbo	Buzam.	De Segundo Orden				
						Nº	Rumbo				Nº	Rumbo		Nº	Buz.
M-667	3.00				--										Bx - Craq
M-668	3.00				--										Bx
M-669	3.00				--										Bx
M-671	2.20				6	6	N 60°	7° SE							Vtlls. pot mm. lm (pa) y óx Fe (ro)
M-672	3.00				2	2	N 80°	74° NW							Fract +++ Vtlls. pot 0.5cm, sílice (bl), cajas sil
M-673	4.00	0.05 - 0.10	N 50°	66° NW	--										Fract +++ Vt, Sílice (bl) fract. mvnlls de clts y ep, cajas sil
M-674	3.00				5	2 3	N 184° N 30°	31° SE 13° NW							Craq Vtlls. pot mm, óx Fe (ro)
M-675	4.00				4	4	N 90°	82° S							Fract +++ Vtlls. pot 0.5-1cm, sílice (bl-gr)
M-676	3.00				--										Craq - Bx
M-677	3.00				6	6	N 72°	49° NW							Fract +++ Vtlls. pot mm-0.8cm, sílice (bl-gr)
M-678	3.00				1	1	N 70°	74° NW							Fract +++ Vtll. pot 1-3cm, sílice (bl-gr) y mvnlls ep
M-679	3.00				5	2 2 1	N 135° N 10° N 95°	70° NE 61° SE 50° NE							Craq. Vtlls. pot 1-2cm, Oz (bl) fract Vtlls. pot 1cm, sílice (bl), mvnlls clts Vtlls. pot 1cm, sílice (bl-gr), mvnlls ep
M-680	4.00	0.05 - 0.08	N 112°	70° NE	7	5	N 95°	58° NE							Craq. Vtlls. pot 2-3cm, Oz (bl) craq, clts en fract y Vtlls. pot 1-1.5cm, sílice (bl); cajas Vt. Oz (bl) craq. mvnlls ep y óx Fe (ro) en fract
M-681	3.00				--	2	N 110°	78° NE							Fract +++

TABLA ESTRUCTURAL DE MUESTREO DE CANALETAS
PROYECTO LOS HORNOS - II ETAPA

Muestra N°	Long. (m)	VETAS			VEYILLAS			FALLAS			FRACTURAS						OBSERVACIONES
		Poten. (m)	Rumbo	Buzam.	N° Total	De Primer orden		Poten. (m)	Rumbo	Buzam.	De Primer orden		De Segundo Orden				
						N°	Rumbo				N°	Rumbo	N°	Rumbo	N°	Rumbo	
M-682	3.00				--												Fract +++
M-683	3.00				5		5	N 295°	77° SW								Craq Vtills, pot mm, sílice (gr-bl) y lentes de 0.6cm
M-684	3.00				18	7	9	N 292° N 300°	63° NE 23° NE	0.015-0.03	N 125°	32° NE					Fract +++ Vtills, pot mm, óx Fe (roj) y Vtills, pot 0.3cm, sílice (gr-bl) Falla, pnz (bl-roj), mvnills óx Fe (roj)
M-685	2.00				--	2		N 309°	43° NE								Craq
M-686	2.00				--												Fract +++
M-687	2.40				--												Craq
M-688	3.00				--	1		N 100°	55° NE								Craq
M-689	2.30				1												Fract +++ Vtill, pot mm, óx Fe (roj), cajas sil
M-690	2.00				19	12	7	N 317° N 350°	86° SW 66° SW								Fract ++ Vtills, pot mm, lm (pa)
M-692	3.00				3	3		N 325°	82° SW								Fract +++ Vtills, pot mm, lm (pa)
M-693	3.00				6	6		N 315°	46° SW								Fract +++ Vtills, pot mm, lm (pa)
M-694	3.00				4	4		N 340°	56° SW								Craq Vtills, pot mm, lm (pa)
M-695	3.00				4	4		N 347°	53° NE								Fract +++ Vtills, pot mm, lm (pa)
M-696	3.00				1	1		--	--								Vtills, pot mm, lm (pa)
M-697	3.00				1	1		N 85°	79° NW								Craq Vtill, pot 0.5cm, sílice (gr)
M-698	3.00				4	4		N 75°	78° NW								Craq Vtill, pot 0.6cm, sílice (gr)
																	Craq Vtills, pot 0.5-0.8cm, sílice (gr)
M-699	3.00				1	1		N 305°	77° SW								Fract +++ Vtill, pot mm, óx Fe (roj), cajas con pnz (bl)
M-700	4.00				--												Craq
M-701	3.00				10	10		N 320°	83° SW								Craq Vtill, pot mm, óx Fe (roj)
M-702	3.00				--												Craq
M-703	3.00				--					0.01 - 0.04	N 290°	45° SW					Fract +++ Falla, pnz (bl-ve)
M-704	3.10				1	1		N 290°	72° NE								Craq
M-705	2.90				20	20		N 285°	85° SW								Craq Vtills, pot mm, lm (pa)



MERENDON DE PERU S.A.
DEPARTAMENTO DE EXPLORACIONES GEOLOGICO MINERAS

TABLA ESTRUCTURAL DE MUESTREO DE CANALETAS

PROYECTO LOS HORNOS - II ETAPA

Muestra Nº	Long. (m)	VETAS			VETILLAS			FALLAS			FRACTURAS					OBSERVACIONES
		Poten. (m)	Rumbo	Buzam.	Nº Total	De Primer orden		Poten. (m)	Rumbo	Buzam.	De Primer orden		De Segundo Orden			
						Nº	Rumbo				Nº	Rumbo	Nº	Rumbo	Nº	
M-706	3.00				--							--	--			Fract +++
M-707	3.00				--				0.02	N 255º	69º SE	--	--			Fract ++-, Falla, pnz (bl-pa)
M-708	3.00				18	N 335º	SV					N 260º	82º SE	45		Fract ++, Vtlls, pot mm, lm (pa)
M-709	3.00				10	N 305º	82º NE					--	--	40		Fract ++, Vtlls, pot mm, lm (pa)
M-710	3.50				--							--	--	70		Fract +++
M-711	4.30	0.07 - 0.13	N 275º	70º NE	12	N 260º	83º SE					N 260º	83º SE	70		Craaq, Vt, Oz (bl) fract, lm (pa) en fract, cajas sertz, Vtlls, pot mm, lm (pa)
M-713	3.60				3	N 270º	85º N	0.01 - 0.04	N 263º	77º NW		--	--	50		Craaq - Bx, Vtlls, pot 1-1.5cm, Oz (bl) craaq, cajas sertz, Falla, pnz (bl-pa) con lm (pa)
M-714	4.50				--							B-C				Bx - Craaq
M-715	3.00				--							N 190º	86º SE	60		Fract +++
												N 196º	SV			
												N 90º	45º S			
M-716	3.00				3	N 260º	84º SE					N 352º	52º NE	60		Craaq
					1	N 35º	67º NW					N 295º	80º SW			Vtlls, pot 1cm, Oz (bl) cajas sertz
M-717	3.00				--							N 252º	64º SW	25		Fract ++
												N 260º	64º SW			
M-718	3.00				--							N 255º	79º SW	45		Fract ++-
												N 260º	79º SW			
												N 248º	72º SW			
												N 41º	41º NW			
												N 45º	42º NW			
												N 125º	58º NE			
M-719	3.00				11	N 180º	55º W					N 290º	72º NE	45		Fract ++-
					9	N 277º	75º NE					N 277º	75º NE			Vtlls, pot 0.4-0.8cm, silice (gr)
												N 15º	33º NW			Vtlls, pot mm, lm (pa)
												N 17º	48º NW			
												N 262º	66º SE			
												N 266º	66º SE			
												N 2º	35º SE			
												N 180º	30º E			
M-720	4.00				15	N 310º	66º NE					N 296º	78º NE	45		Fract ++-
												N 310º	66º NE			Vtlls, pot mm, lm (pa)
												N 296º	73º NE			
												N 216º	48º NW			
												N 6º	44º SE			
												N 2º	45º SE			
												N 236º	39º NW			
												N 248º	88º SE			
												N 252º	80º SE			
												N 345º	82º SW			
												N 347º	79º SW			
M-721	3.00				--							N 105º	75º SW	40		Fract +++
												N 90º	80º S			
												N 105º	71º SW			
												N 95º	85º SW			
												N 95º	86º SW			
												N 145º	30º NE			
M-722	3.00				1	N 80º	70º SE					N 91º	79º SW	50		Fract +++
												N 90º	76º S			Vtll, pot 1-2.5cm, Oz (bl), ox en peq oquedades, cajas sertz
												N 90º	80º S			
												N 160º	71º NE			
												N 165º	85º NE			
M-723	3.00				9	N 45º	35º SE	0.04	N 210º	25º NW	65	N 112º	73º SW			Craaq - Bx
					2	N 112º	73º SW					N 355º	83º NE			Vtlls, pot 1-2cm, 2-4.5cm, 0.7-4.5cm, Oz (bl) fract-craaq, ox en oquedades, cajas sertz
					5	N 355º	83º NE									Falla, pnz (bl) y lm (pa)

TABLA ESTRUCTURAL DE MUESTREO DE CANALETAS
PROYECTO LOS HORNOS - II ETAPA

Muestra N°	Long. (m)	VETAS			FALLAS			FRACTURAS						OBSERVACIONES	
		Poten. (m)	Rumbo	Buzam.	Poten. (m)	Rumbo	Buzam.	De Primer orden			De Segundo Orden				
								N°	Rumbo	Buz.	N°	Rumbo	Buz.		
M-724	3.00								75	N 98° N 110° N 342° N 125°	70° SW 75° SW 72° NE 75° NE				Craç - Bx Vtlls, pot 1-4cm, 1-2.5cm, Qz (bl) craç, py cubica oxid y ox en oquedades, cajas sertz
M-725	3.00								70	N 110° N 95° N 335° N 350°	85° SW 88° SW 67° NE 65° NE				Craç - Bx Vtlls, pot 1-5.5cm, 0.7-3 cm, Qz (bl) craç, ox en oquedades, cajas sertz El entrecruzamiento de las vtlls dan la apariencia de Vt, pot 25cm
M-726	3.00	0.24	N 315°	37° NE				70	N 315° N 110°	61° NE 70° SW					Craç - Bx Vtlls, pot 1-4cm, 1-4.5cm, Qz (bl) craç, ox en oquedades, cajas sertz, bolsónada de 1' Vt, Qz (bl) craç, lm (pa) en fract, cajas sertz
M-727	3.00							75	N 310° N 85°	28° NE 82° SE					Craç - Bx Vtlls, pot 1-3cm, 1-4cm, Qz (bl) craç, lm (pa) en fract y ox en oquedades, cajas sertz
M-728	2.50							85	N 305° N 76°	55° NE 71° SE					Craç - Bx Vtlls, pot 0.7-4.5cm, 1-2cm, Qz (bl) craç, lm (pa) en fract y ox en oquedades, cajas sertz
M-729	2.50							85	N 300° N 340°	40° NE 66° SW					Craç - Bx Vtlls, pot 1-4.5cm, 1cm, Qz (bl) craç, ox en fract y oquedades, cajas sertz
M-730	3.50							B-C	--	--					Bx - Craç
M-731	3.00							60	--	--					Craç
M-732	2.00							75	--	--					Craç - Bx
M-734	3.10				0.02 - 0.03	N 71°	57° SE	50	N 260° N 261° N 251° N 330° N 323°	86° SE 78° SE 75° SE 79° NE 66° NE					Fract +++ Vtlls, pot mm-0.8cm, lm (pa), cajas arg y ser, en tramos apariencia bx Falla, ptz (pa), caja piso arg y vtlls lm (pa)
M-735	3.50							55	N 305° N 324° N 320° N 68° N 76° N 70° N 77°	SV 69° NE 69° NE 81° SE 82° SE 86° NW 78° NW					Fract +++ Vtlls, pot mm, lm (pa) cajas arg y ser
M-736	2.00							B-C	--	--					Bx - Craç
M-737	3.60							60	--	--					Craç - Bx, Vtll, pot 0.5cm, ox Fe (roj)
M-738	3.00	*						65	N 354° N 6° N 350°	82° SW 60° NW 45° SW					Craç Vtlls, pot mm, lm (pa)
M-739	3.00							45	N 255° N 258° N 250° N 202° N 204°	62° SE 60° SE 65° SE 68° NW 65° NW					Fract ++- Vtlls, pot mm, lm (pa)
M-740	2.15				0.03 - 0.04 0.02	N 300° N 10°	59° NE 40° NW	50	N 305° N 310° N 285° N 326° N 260° N 32°	81° NE 85° NE 68° SE 86° NE 68° SE 30° NW					Fract +++- Vtlls, pot mm, lm (pa) Fallas, (bl-pa / bl)
M-741	3.00							50	N 206° N 257° N 257° N 260° N 238°	54° SE 59° SE 62° SE 52° SE 47° SE					Fract +++- Vtlls, pot mm, lm (pa)

MERENDON DE PERU S.A.

TABLA ESTRUCTURAL DE MUESTREO DE CANALETAS

PROYECTO LOS HORNOS - II ETAPA

Muestra Nº	Long. (m)	VETAS			VETILLAS			FALLAS			FRACTURAS					OBSERVACIONES		
		Poten. (m)	Rumbo	Buzam.	Nº Total	De Primer orden		Poten. (m)	Rumbo	Buzam.	De Primer orden		De Segundo Orden					
						Nº	Buz.				Nº	Rumbo	Buz.	Nº	Rumbo		Buz.	
M-742	3.00				12	12	N 324°	52° SW				45	N 228°	76° SE			Fract ++- Vtlls, pot mm, lm (pa)	
M-743	2.60				6	6	N 336°	63° SW				50	N 325°	69° SW			Fract ++- Vtlls, pot mm, lm (pa)	
M-744	3.40				10	6	N 349°	70° SW				50	N 310°	80° NE			Fract +++ Vtlls, pot mm, lm (pa)	
						4	N 136°	20° SW					N 334°	68° SW				
													N 328°	77° SW				
													N 349°	70° SW				
													N 135°	20° SW				
													N 115°	80° SW				
													N 112°	72° SW				
M-745	3.00				--							35	N 335°	69° NE			Fract ++	
													N 332°	58° NE				
													N 337°	62° NE				
													N 335°	58° NE				
													N 290°	83° SW				
													N 283°	69° SW				
M-746	3.00				--							40	N 165°	71° SW			Fract ++-	
M-747	3.00				--							40	N 300°	64° SW			Fract ++-	
													N 302°	65° SW				
													N 312°	48° SW				
													N 234°	88° SE				
													N 211°	83° SE				
M-748	3.00				3	3	N 222°	80° NW				50	N 180°	79° E			Fract +++ Vtlls, pot 1.5-2cm, Qz-hm	
													N 185°	88° SE				
													N 270°	80° S				
M-749	4.30				3	3	N 341°	65° SW	0.04	N 200°	50° NW	45	N 268°	73° SE			Fract ++- Vtlls, pot mm, lm (pa) Falla, pnz (roj), hm; caja techo bx, vnlls lm (pa); caja piso bx, vnlls hm	
													N 275°	67° SW				
													N 180°	49° W				
													N 341°	65° SW				
													N 352°	45° SW				
M-750	3.00				3	3	--	--				Bx		--			Vtlls, Qz (bl) bx, cajas sertz	
M-751	2.70				--							70					Craq - Bx	
M-752	3.10				4	1	N 325°	10° SW				B-C		--			Vtll, pot 1-10cm, lm (pa) jarosita	
						3	N 350°	23° SW									Vtlls, pot 1-3.5cm, Qz (bl) craq, ox en peq oquedades, cajas sertz	
M-753	4.00				6	6	N 115°	20° NE				Bx		--			Vtlls, pot 0.6-5cm, lm (pa) jarosita, alg con ox Fe (roj)	
M-755	3.10				--							Bx					Gdi bx	
M-756	3.00				4		N 290°	SV				C-B					Gdi craq-bx, vnlls mm irregulares hm (roj)	
M-757	3.00				4	4	N 320°	65° NE				60	N 320°	65° NE			Gdi craq, hm (roj) y lm (pa) en vnlls mm y fract	
												6	N 30°	70° NW				
M-758	3.00				--							C-B		--			Gdi craq-bx	
M-759	3.00				5	3	N 85°	SV				C-B		--			Gdi craq-bx, hm (roj) en vnlls mm y fract	
M-760	3.00				3		--	--				Bx		--			Gdi bx, lm (pa) y hm (roj) en vnlls mm irregulares	
M-761	3.00				3	2	N 265°	46° SE				C-B	15	N 265°	46° SE	4	N 175°	Gdi craq-bx, hm (roj) y lm (pa) en vnlls mm y fract
						1	N 265°	45° NW					15	N 85°	44° NW			
M-762	3.00				--							60	20	N 290°	50° SW			Gdi craq
												10	N 250°	48° NW				
M-763	3.00				--				0.02	N 70°	50° NW	C-B	10	N 250°	60° NW			Gdi craq-bx, Falla, panizo (ve-pa) caja piso bx, arg, lm (pa) en matriz
												8	N 270°	30° S				
M-764	3.00				8		--	--				Bx		--			Gdi bx, lm (pa) en vnlls mm irregulares	



MERENDON DE PERU S.A.
DEPARTAMENTO DE EXPLORACIONES GEOLOGICO MINERAS

TABLA ESTRUCTURAL DE MUESTREO DE CANALETAS
PROYECTO LOS HORNOS - II ETAPA

Muestra N°	Long. (m)	VETAS			VETILLAS			FALLAS			FRACTURAS					OBSERVACIONES
		Poten. (m)	Rumbo	Buzam.	N° Total	De Primer orden		Poten. (m)	Rumbo	Buzam.	De Primer orden		De Segundo Orden			
						N°	Buz.				N°	Rumbo	Buz.	N°	Rumbo	
M-765	3.00				6	4	N 310°	30° SW				Bx				Gdi bx, lm (pa) y hm (ro) en vnls mm irregulares
M-766	3.00				4	2	N 290°	SV								
M-767	3.00				4											Gdi craq-bx, lm (pa) en vnls mm irregulares
M-768	3.00				6		N 225°	18° NW	0.02	N 225°	18° NW	Bx		N 85°	SV	Gdi bx, lm (pa) y hm (ro) en vnls mm irregulares, Falla, panizo (ve)
M-769	3.00				6				0.02	N 270°	55° N	Bx				Gdi bx, lm (pa) y hm (ro) en vnls mm irregulares, Falla, panizo (ve)
M-770	3.00				7		N 290°	40° NE				Bx				Gdi bx, lm (pa) y hm (ro) en vnls mm irregulares
M-771	4.40				4		N 280°	45° NE				Bx				Gdi bx, lm (pa) y hm (ro) en vnls mm irregulares
M-772	3.00											Bx				Gdi bx, lm (pa) y hm (ro) en vnls mm irregulares
M-773	3.00				1		N 285°	18° NE				Bx				Gdi bx
M-774	3.80				--							Bx				Gdi bx, hm (ro) en vnl mm irregular
M-775	3.00				--							Bx				Gdi bx
M-776	3.00				--							50				Gdi craq, vnls mm si (bl) y ep puntual
M-777	4.20				--							50				Gdi craq, vnls mm si (bl) y ep puntual
M-778	3.00				--							50				Gdi craq, vnls mm si (bl) y ep puntual
M-779	3.00				--							50				Gdi craq, vnls mm si (bl) y ep puntual



RANGOS GEOQUÍMICOS Au (ppb)

> 1000 ppb	
100 - 1000 ppb	
50 - 99 ppb	
10 - 49 ppb	
< 10 ppb	

ABREVIATURAS

MINERALES	
bi	Biotita
cac	Calcita
clts	Cloritas
ep	Epidota
esp	Especularita
Femg	Ferromagnesiano
hb	Hornblenda
hm	Hematitas
lm	Limonitas
ort	Ortosa
py	Pirita
Qz	Cuarzo
ser	Sericita

LITOLOGÍA	
Gdi	Granodiorita
Gr	Granito
Ton-P	Tonalita Porfírica
Dio-Qzf	Diorita Cuarzifera
And	Andesita
Dq	Dique

ALTERACIÓN	
Sil	Silicificación
Ser	Seritización
Arg	Argilización
Fil	Filica
Ppz	Propilitizado
cltz	Cloritizado
eptz	Epidotizado
sertz	Seritizado

COLORES	
bl	Blanco
cl	Claro
gr	Gris
ma	Marrón
pa	Pardo
roj	Rojo
ve	Verde

VARIOS	
1	Intensidad Débil
2	Intensidad Moderada
3	Intensidad Fuerte
alg	Algunas
B-C	Brecha - Craquelado
Bx	Brecha
C-B	Craquelado - Brecha
craq	Craq
diss	Diseminado
fract	Fractura
mass	masiva
med	Medio
mfract	Microfractura
mm	Milimétrica
mtz	Matriz
mvnlls	Microvenillas
oxid	Oxidada
peq	Pequeña
pnz	Panizo
pot	potencia
Sup	Supergena
vnlls	Venillas
Vt	Veta
xls	Cristales



MERENDON DE PERU S.A.
DEPARTAMENTO DE EXPLORACIONES GEOLOGICO MINERAS



TABLA DE MUESTRAS DE MULTIELEMENTOS >100 ppb Au

Muestra N°	Au (ppb)	Ag (ppm)	Cu (ppm)	Pb (ppm)	Zn (ppm)	As (ppm)	Ba (ppm)	Bi (ppm)	Cd (ppm)	Fe (%)	Hg (ppb)	Mn (ppm)	Mo (ppm)	S (ppm)	Sb (ppm)	W (ppm)
M-018	448	<0.2	3	12	22	2	20	<2	<0.5	1.04	10	142	1	0.03	<2	<10
M-019	153	<0.2	3	14	23	3	30	<2	<0.5	0.90	<10	162	1	0.03	<2	<10
M-139	261	<0.2	8	4	46	5	50	<2	<0.5	3.23	10	727	<1	0.03	<2	<10
M-161	204	<0.2	50	15	53	22	30	2	<0.5	1.31	10	187	3	0.02	<2	<10
M-162	715	0.5	137	32	169	37	40	7	1.1	1.39	30	393	2	0.03	<2	<10
M-167	153	<0.2	9	8	25	6	30	<2	<0.5	1.75	<10	256	1	0.03	<2	<10
M-178	548	0.2	4	4	26	3	20	<2	<0.5	2.84	<10	312	1	0.02	<2	<10
M-179	1,300	0.2	20	4	20	19	80	<2	<0.5	2.88	10	240	2	0.04	<2	<10
M-180	341	<0.2	32	5	21	16	70	<2	<0.5	3.01	10	233	2	0.06	<2	<10
M-251	868	0.3	22	9	16	197	40	<2	<0.5	1.85	<10	330	<1	0.03	<2	<10
M-252	173	<0.2	11	5	12	22	40	<2	<0.5	1.34	<10	315	<1	0.03	<2	<10
M-276	653	<0.2	6	22	11	12	20	2	<0.5	0.55	<10	100	<1	0.02	<2	<10
M-277	167	<0.2	7	20	8	10	20	<2	<0.5	0.38	<10	46	<1	0.02	<2	<10
M-282	438	<0.2	20	28	26	75	20	<2	<0.5	2.05	10	103	1	0.02	<2	<10
M-283	1,360	<0.2	10	12	34	43	20	2	<0.5	1.84	<10	257	1	0.02	<2	<10
M-284	15,900	0.5	6	18	7	71	10	4	<0.5	1.66	10	38	3	0.03	<2	<10
M-286	104	<0.2	5	7	11	2	10	<2	<0.5	0.59	<10	118	<1	0.02	<2	<10
M-354	924	<0.2	5	28	26	15	20	<2	<0.5	0.98	<10	150	<1	0.02	<2	<10
M-365	170	<0.2	7	59	66	31	20	<2	<0.5	0.53	10	78	<1	0.03	<2	<10
M-366	1,935	3.5	6	5,900	545	913	20	3	3.4	1.00	190	151	<1	0.04	2	<10
M-504	414	0.3	26	318	328	34	40	<2	0.9	1.37	10	348	<1	0.04	<2	<10
M-557	150	0.6	14	128	114	40	30	<2	0.6	0.96	10	214	<1	0.03	<2	<10
M-560	150	0.2	12	52	89	37	30	<2	0.5	0.61	<10	118	<1	0.03	<2	<10
M-569	1,120	0.4	7	47	42	20	30	<2	<0.5	1.35	10	321	1	0.03	<2	<10
M-570	1,180	0.2	12	65	35	20	30	2	<0.5	1.61	<10	309	2	0.03	<2	<10
M-576	636	<0.2	8	55	22	23	30	2	<0.5	0.73	<10	135	1	0.02	<2	<10
M-577	5,220	0.7	10	155	43	46	30	2	<0.5	0.97	10	129	2	0.02	<2	<10
M-578	576	<0.2	6	45	11	12	30	<2	<0.5	0.49	<10	105	1	0.03	<2	<10
M-579	303	<0.2	7	13	9	7	30	<2	<0.5	0.59	<10	53	1	0.03	<2	<10
M-585	116	<0.2	4	10	9	5	20	<2	<0.5	0.57	<10	112	<1	0.02	<2	<10
M-587	1,830	0.4	13	16	24	21	30	<2	<0.5	1.21	10	187	1	0.02	<2	<10
M-588	811	<0.2	5	29	36	5	30	<2	<0.5	1.41	<10	382	1	0.03	<2	<10
M-625	170	<0.2	14	17	45	40	40	<2	<0.5	2.44	20	253	1	0.03	<2	<10
M-716	595	0.3	7	36	21	18	30	<2	<0.5	0.98	10	157	<1	0.03	<2	<10
M-717	216	<0.2	5	28	17	10	40	<2	<0.5	0.71	10	220	1	0.01	<2	<10
M-727	198	<0.2	2	5	6	10	20	<2	<0.5	0.42	<10	59	<1	<0.01	<2	<10
M-728	1,275	0.2	4	20	17	26	20	2	<0.5	0.92	<10	123	1	<0.01	<2	<10
M-745	356	<0.2	2	10	16	3	30	<2	<0.5	0.84	<10	159	<1	0.01	<2	<10
M-747	307	<0.2	4	8	12	5	30	<2	<0.5	0.82	<10	131	1	<0.01	<2	<10
M-750	987	0.2	8	38	23	31	20	<2	<0.5	1.12	10	57	2	0.01	<2	<10

TABLA DE MUESTRAS DE MULTIELEMENTOS >100 ppb Au

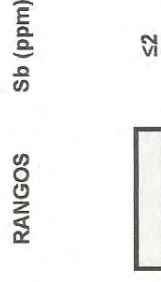
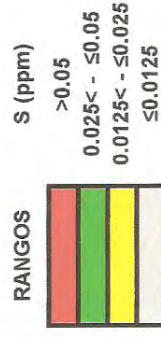
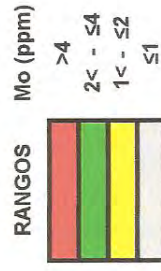
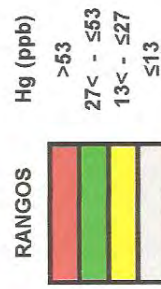
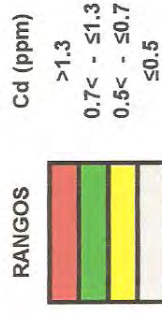
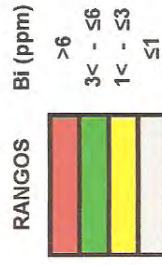
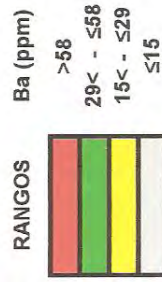
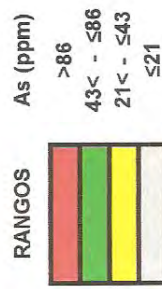
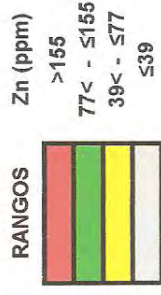
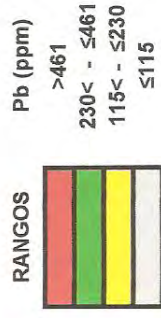
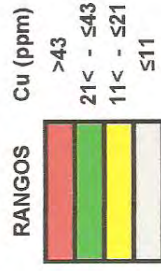
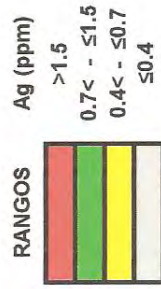
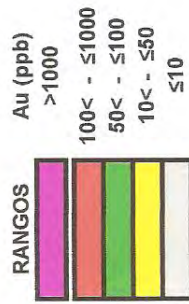
Muestra N°	Au (ppb)	Ag (ppm)	Cu (ppm)	Pb (ppm)	Zn (ppm)	As (ppm)	Ba (ppm)	Bi (ppm)	Cd (ppm)	Fe (%)	Hg (ppb)	Mn (ppm)	Mo (ppm)	S (ppm)	Sb (ppm)	W (ppm)
M-751	442	0.4	5	16	9	6	20	<2	<0.5	0.35	<10	84	1	<0.01	<2	<10
M-752	14,250	1.5	6	47	16	86	20	6	<0.5	1.39	10	56	3	0.01	<2	<10
M-753	1,480	0.3	7	13	16	42	20	2	<0.5	1.25	10	52	2	0.01	<2	<10
M-417	2,830	<0.2	68	5	7	56	80	3	<0.5	4.79	10	59	6	0.06	2	<10
M-418	692	<0.2	9	4	5	10	20	<2	<0.5	0.52	<10	43	1	0.06	<2	<10
M-428	147	<0.2	17	3	16	4	30	<2	<0.5	0.85	<10	35	2	0.01	<2	<10
M-429	323	<0.2	7	8	8	6	10	<2	<0.5	0.70	140	63	3	<0.01	<2	<10
M-434	103	<0.2	3	4	3	<2	10	<2	<0.5	0.51	20	35	1	<0.01	<2	<10
M-435	111	<0.2	3	<2	11	2	10	<2	<0.5	1.08	30	135	1	<0.01	<2	<10
M-439	5,480	20.2	400	4,120	1,690	12	30	36	4.3	1.29	470	472	31	0.04	<2	<10
M-454	113	<0.2	9	18	4	1,120	20	3	<0.5	0.68	30	54	2	0.01	3	<10
M-459	1,075	0.3	6	118	13	37	50	5	<0.5	2.28	20	57	3	0.05	<2	<10



MERENDON DE PERU S.A.

DEPARTAMENTO DE EXPLORACIONES GEOLOGICO MINERAS

RANGOS GEOQUIMICOS





MERENDON DE PERU S.A.
DEPARTAMENTO DE EXPLORACIONES GEOLOGICO MINERAS

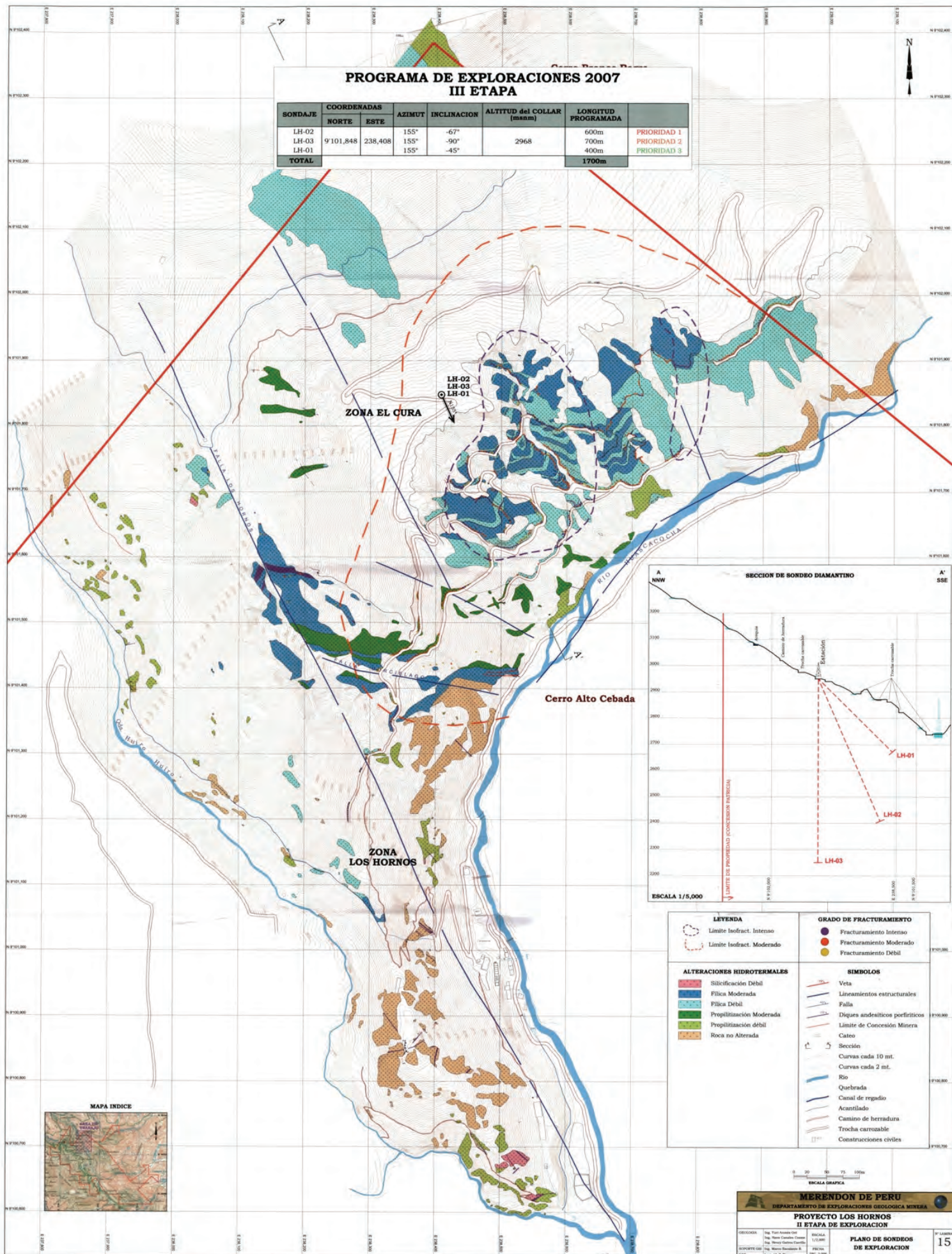
PROYECTO LOS HORNOS
II ETAPA
ANALISIS GEOQUIMICO DE MUESTRAS DUPLICADAS

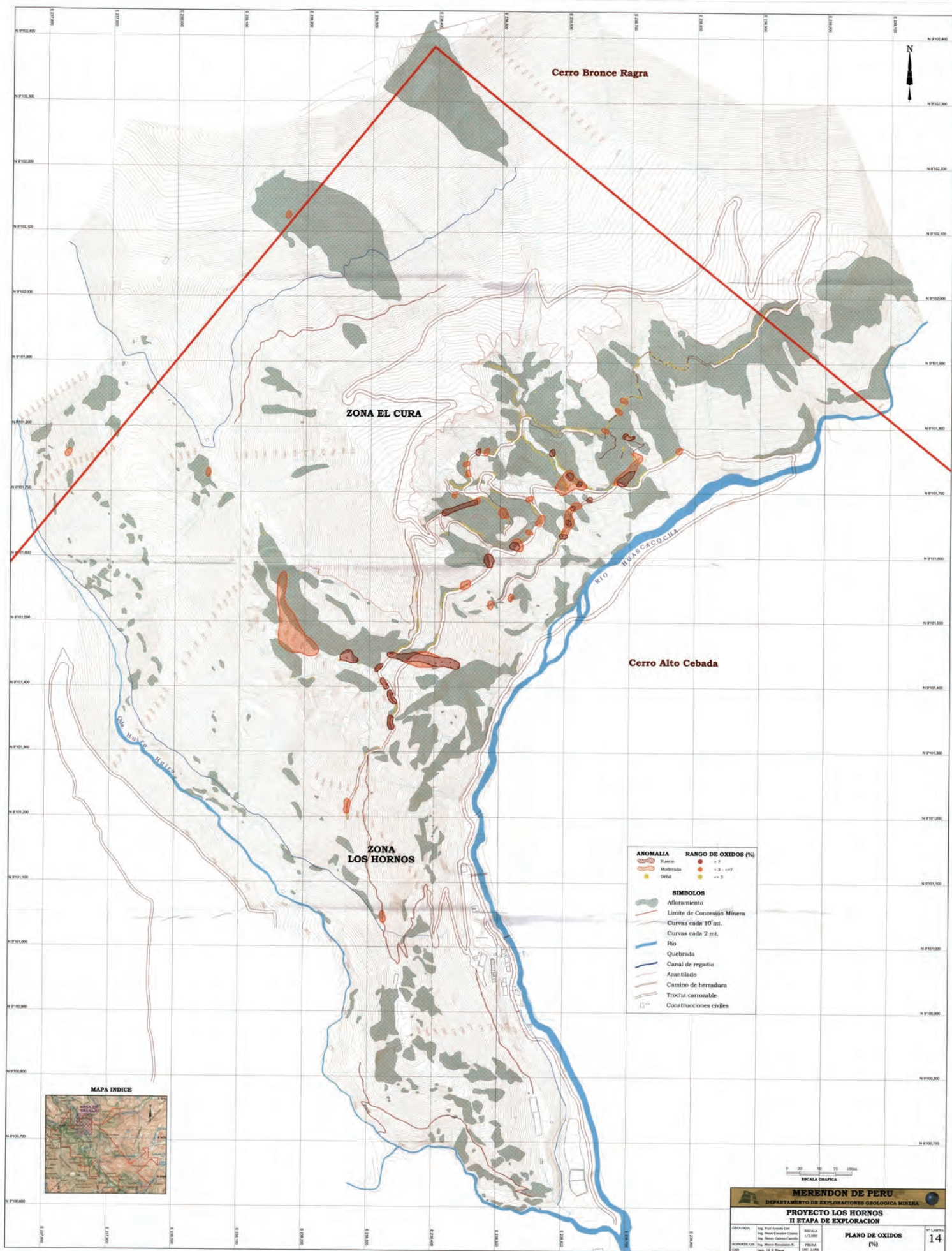
#	Muestra N°	Au (ppb)	Muestra Duplicada	Au (ppb)
1	M-380	<5	M-381	<5
2	M-501	<5	M-502	<5
3	M-522	<5	M-523	<5
4	M-543	<5	M-544	<5
5	M-564	8	M-565	7
6	M-585	116	M-586	72
7	M-606	8	M-607	10
8	M-627	<5	M-628	<5
9	M-648	<5	M-649	<5
10	M-669	<5	M-670	<5
11	M-690	<5	M-691	<5
12	M-711	34	M-712	87
13	M-732	<5	M-733	<5
14	M-753	1480	M-754	1560

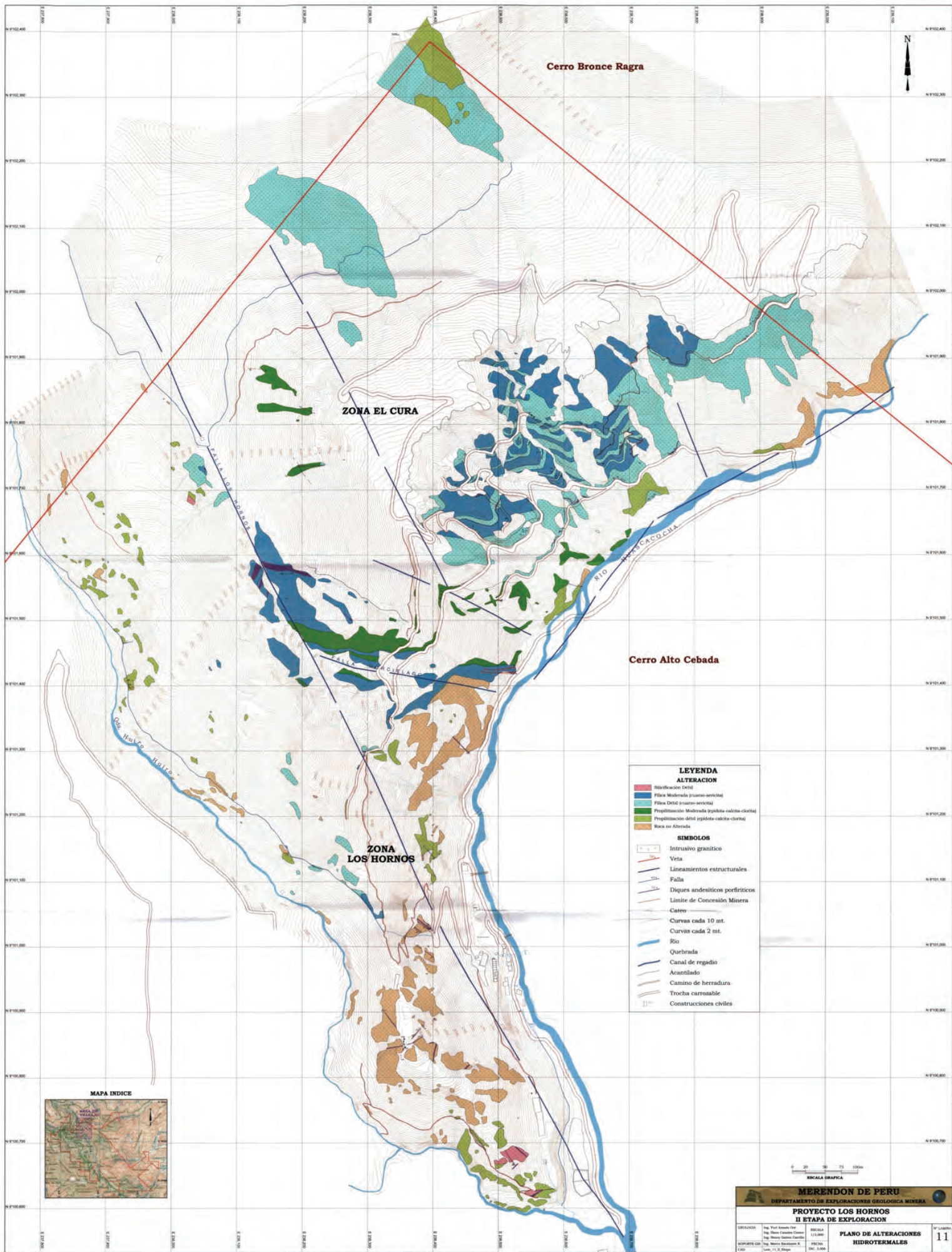
LAMINAS

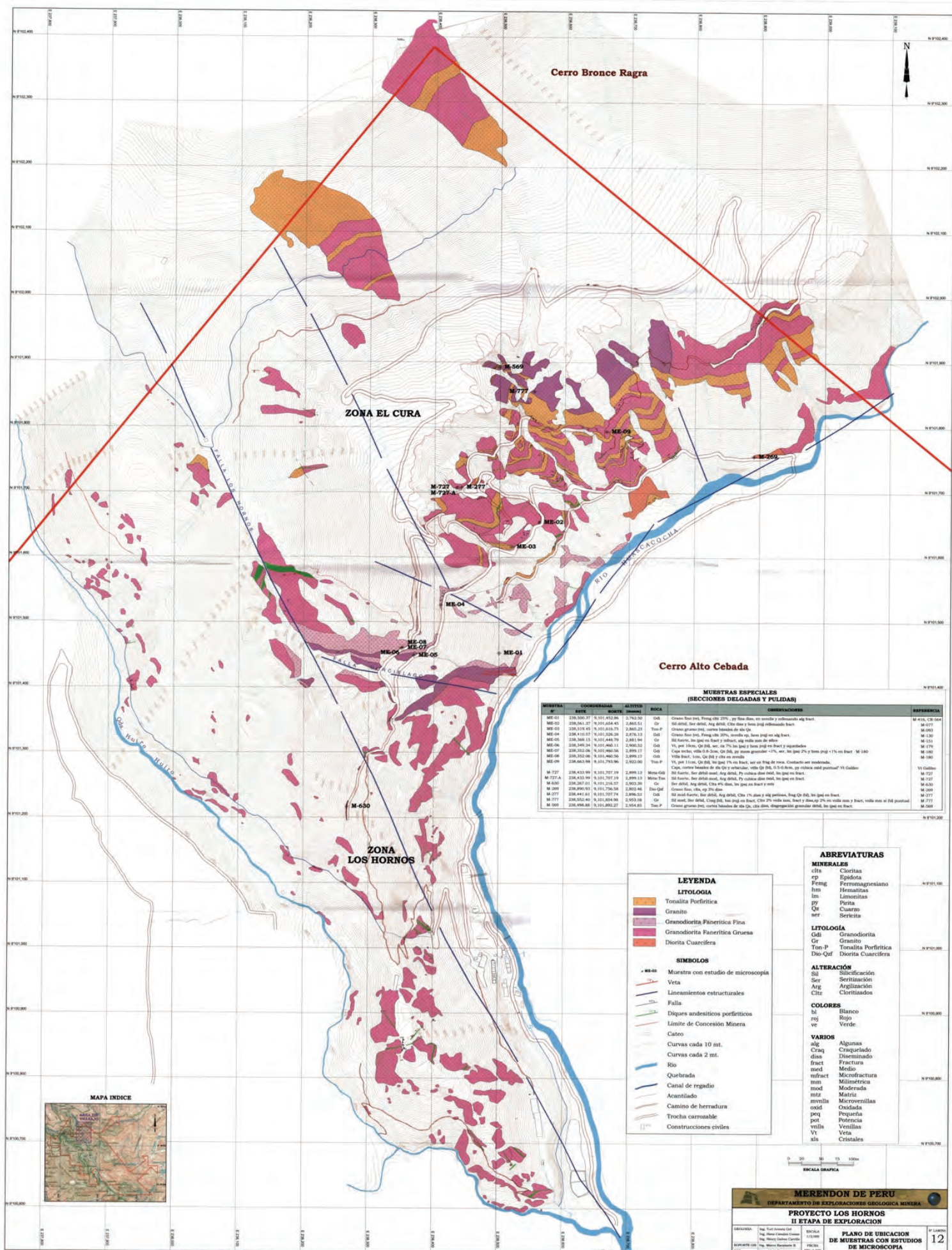
PROGRAMA DE EXPLORACIONES 2007 III ETAPA

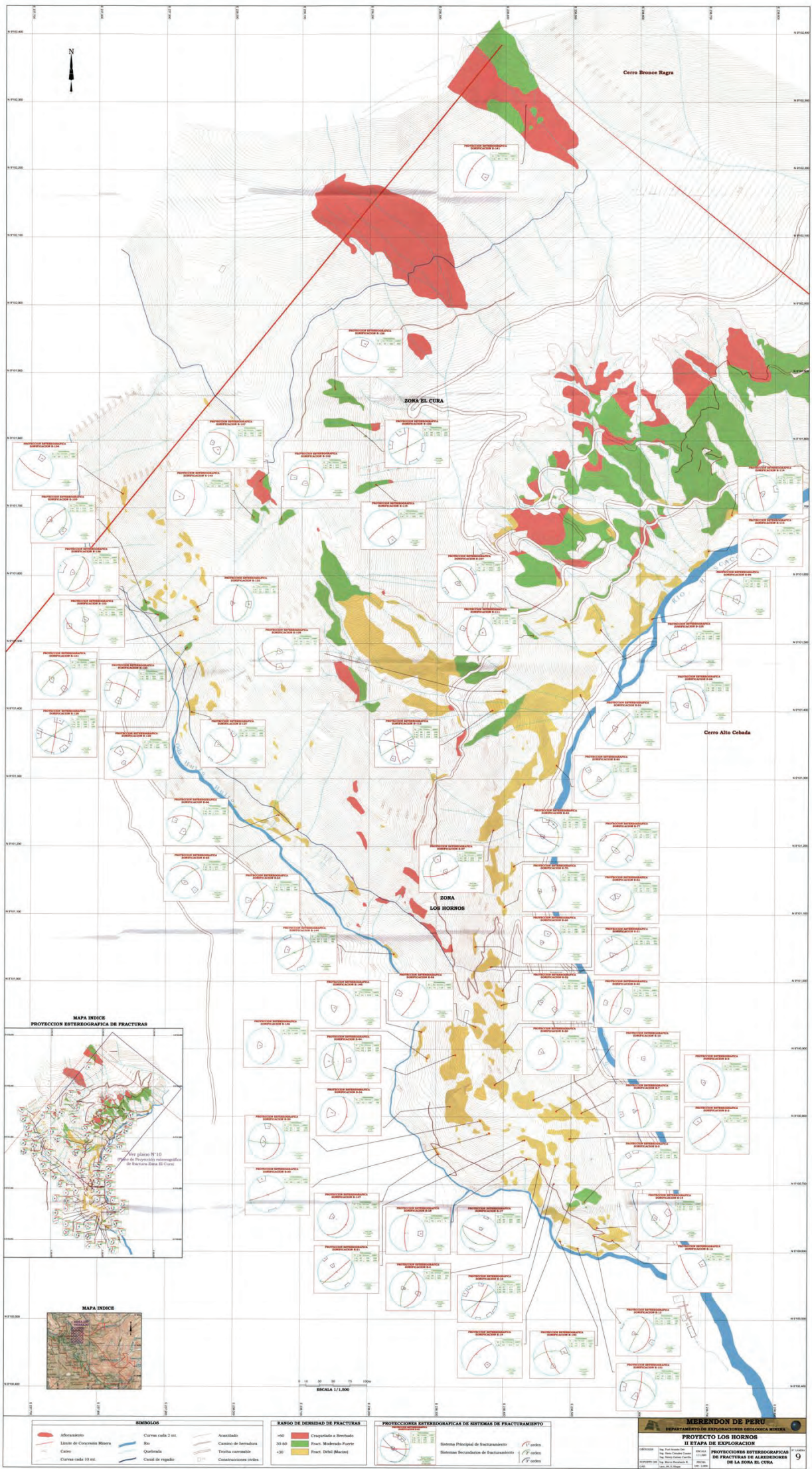
SONDAJE	COORDENADAS		AZIMUT	INCLINACION	ALTITUD del COLLAR (mnm)	LONGITUD PROGRAMADA	
	NORTE	ESTE					
LH-02			155°	-67°		600m	PRIORIDAD 1
LH-03			155°	-90°	2968	700m	PRIORIDAD 2
LH-01	9'101,848	238,408	155°	-45°		400m	PRIORIDAD 3
TOTAL						1700m	











SÍMBOLOS

- Alfabetización
- Límite de Conservación Miera
- Cerro
- Curvas cada 2 m.
- Rio
- Quelvedo
- Cercal de regadío
- Asentado
- Caseros de hornos
- Trocha caminable
- Construcciones cédica

RANGO DE DENSIDAD DE FRACTURAS

- 40-60
- 30-40
- <30
- Crecimiento a Brechales
- Fract. Moderada-Puente
- Fract. Débil (Madera)

PROYECCIONES ESTEREOGRAFICAS DE SISTEMAS DE FRACTURAMIENTO

Sistema Principal de Fracturamiento

Sistema Secundario de Fracturamiento

Wulff

Wulff

MERENDON DE PERU

DEPARTAMENTO DE EXPLORACIONES GEOLOGICAS MINERA

PROYECTO LOS HORNOS

II ETAPA DE EXPLORACION

PROYECTO ESTEREOGRAFICO DE FRACTURAS DE ALREDEDORES DE LA ZONA EL CURA

Elaborado: Ing. T. Rojas

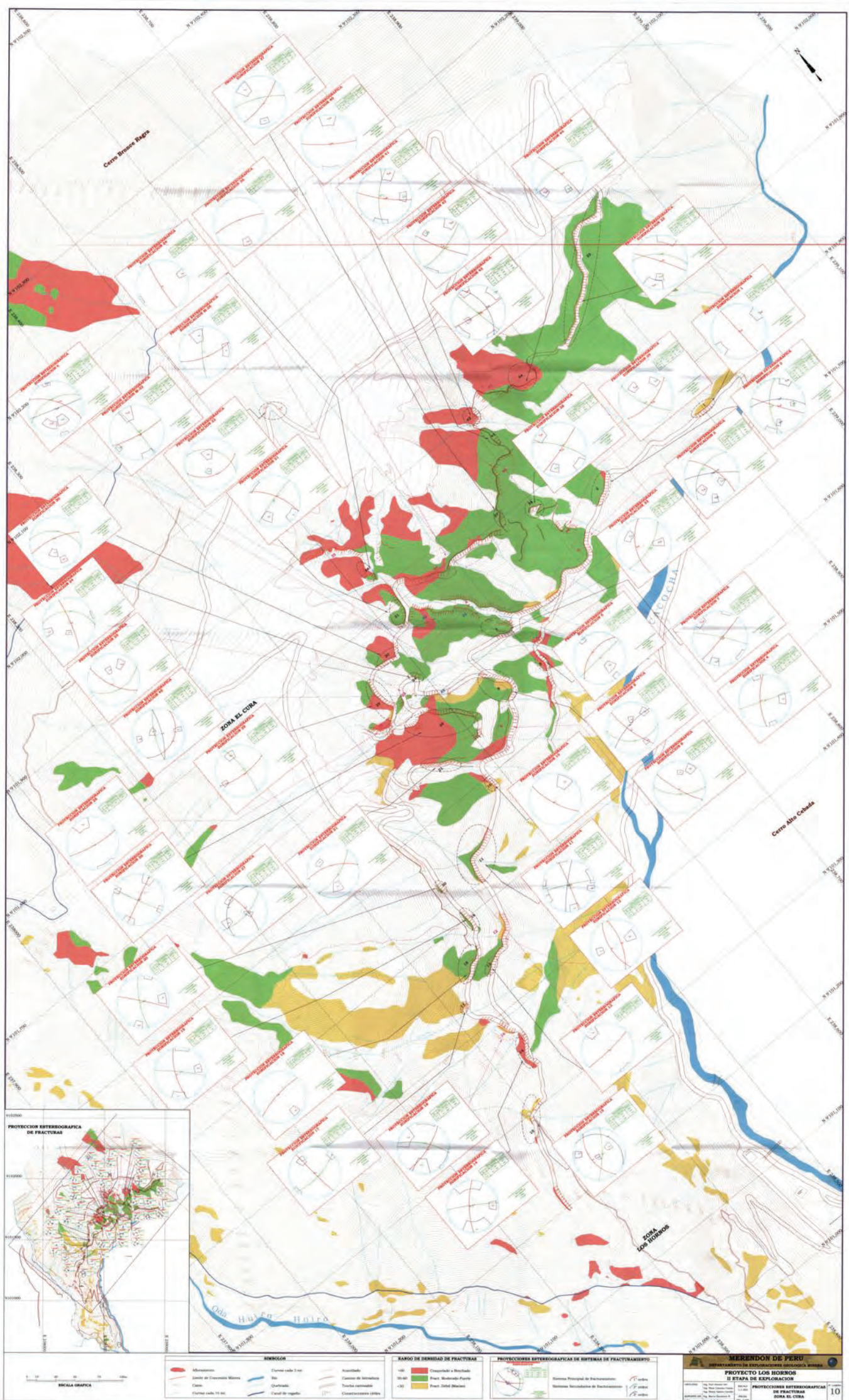
Revisado: Ing. T. Rojas

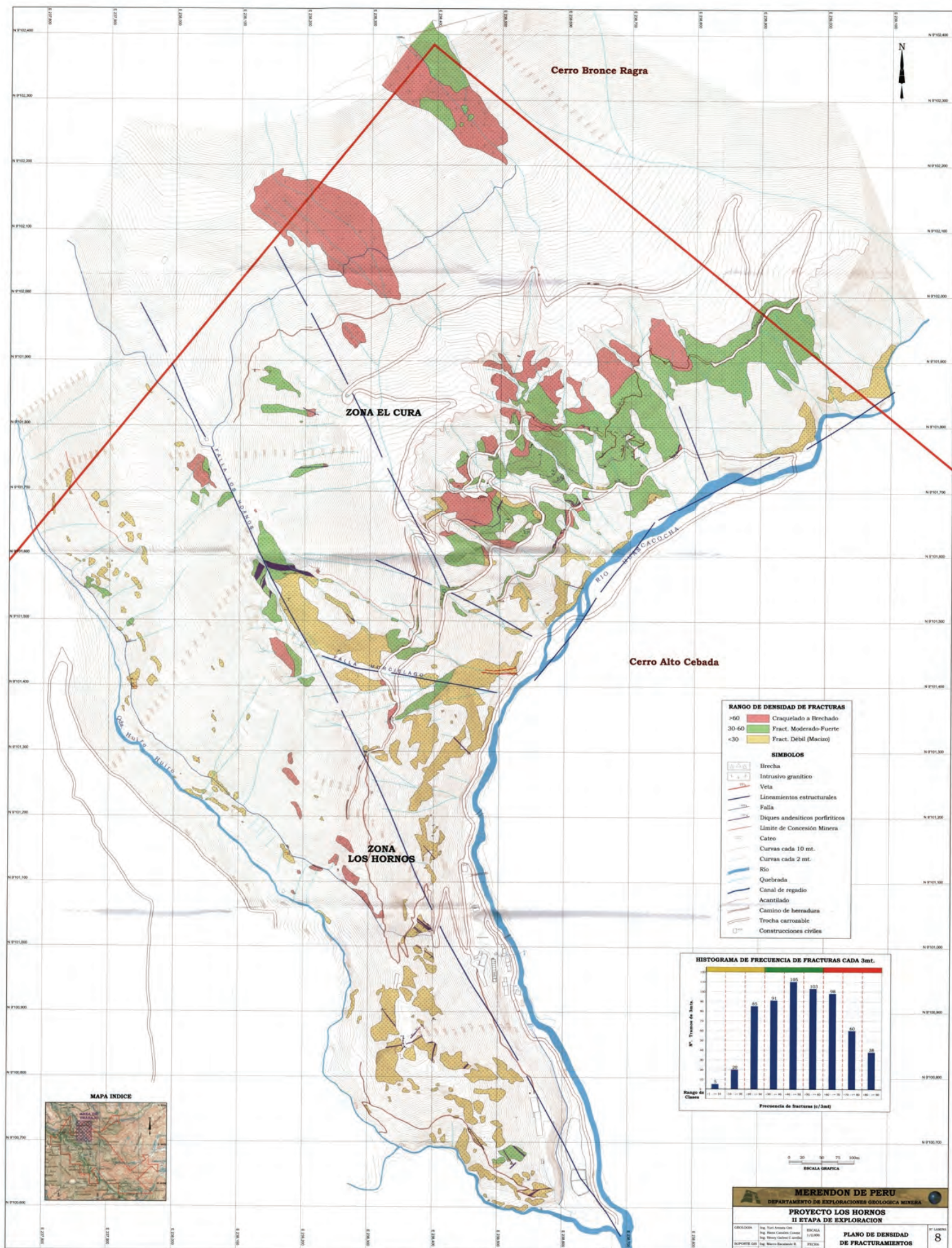
Aprobado: Ing. T. Rojas

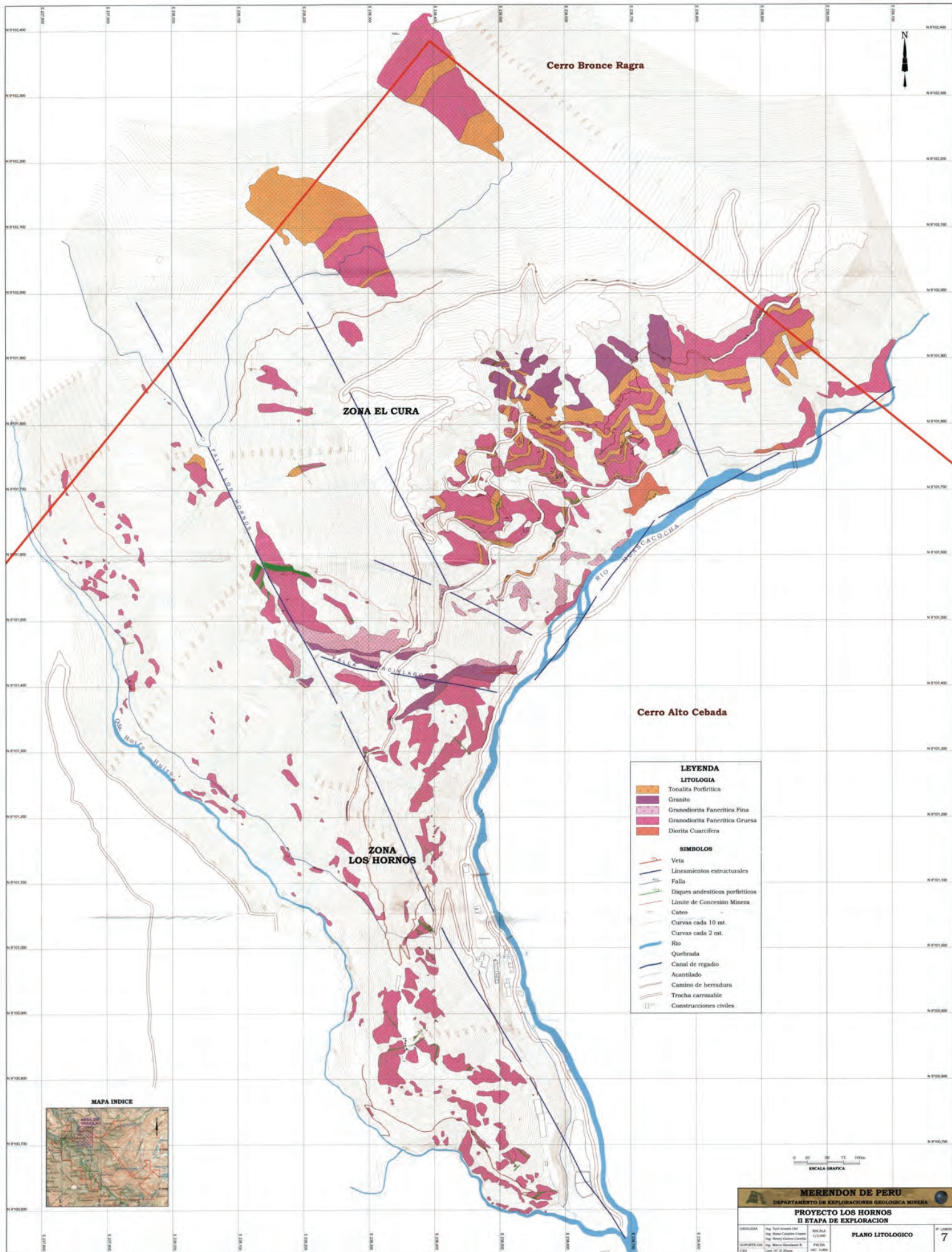
Fecha: 10/01/2018

Hoja: 1 de 1

9



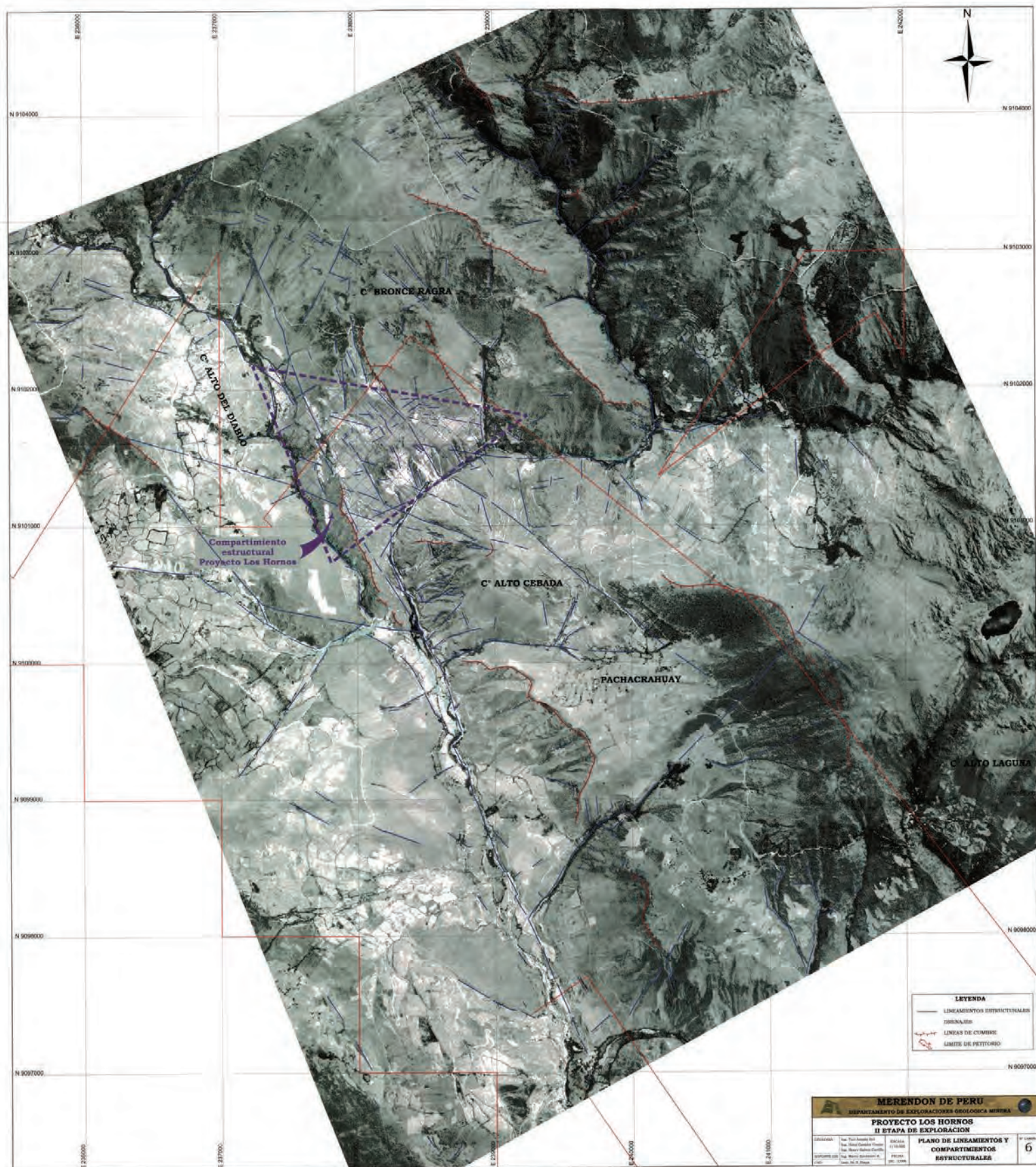


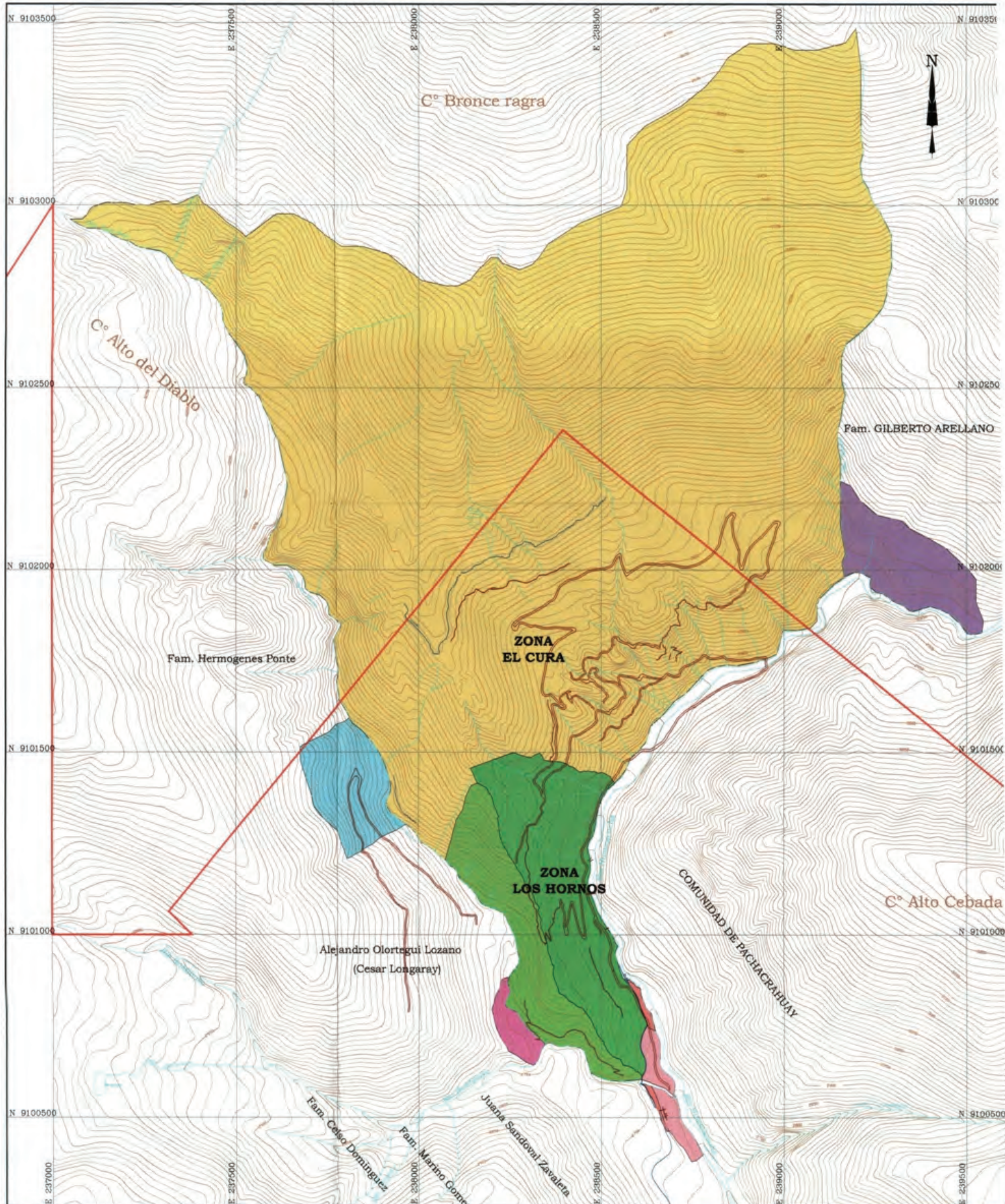




UNIDADES ESTRATIGRAFICAS	AMBIENTE	LITOLOGIA	UNIDADES ESTRATIGRAFICAS	AMBIENTE	LITOLOGIA
Depositos Cuaternarios	Continental	Sed. coluviales, aluviales, fluviales, eolomarcos			
Volcanicos Llaveón	Volcanicos	Proteritas, andesitas, rhyol., lavas y granitos	Granodioritas	Plutónicas	Granodioritas, gneiss, diorita, andesita, basalto
Fm Chota	Continental	Metasitos, calizas, conglomerados			
Fms. Jumbesha, Orellana	Marino	Calizas, margas, calizas			
Gpco. Quilpujan, Pulacoma / Fms. Parí-Pulacoma, Inca, Chukil, Parí-Tambo, Cavares	Marino	Calizas, margas, calizas			
Gpco. Goyllatuzcuzco	Transicional / de plataforma	Calizas, calizas, conglomerados			
Fm Chicoma	Marino	Andesitas, calizas			
Gpco. Pucallpa	Marino poco profundo	Calizas			
Gpco. Mito / Arico	Continental	metasitos, conglomerados, calizas, areniscas, areniscas	Valle de Arica Basaltos, Plegados	1 - 314 - 312 M.a.	Diorita, basalto
Fm. Contape	Marino profundo	Plegados, areniscas	Granito negualfardo	Metamorfico	gneis
Conjunto del Manabío	Metasedimentaria	areniscas, limas			

MERENDON DE PERU DEPARTAMENTO DE EXPLORACIONES GEOLOGICA MINERA			
PROYECTO LOS HORNO II ETAPA DE EXPLORACION			
GEOLOGO Ing. Yury Amara O. Ing. Sherry Catalina Cordero Ing. Henry Esteban Carrillo INGENIERO Ing. Roberto Escobar A. CAD Leg. 05. S. Bente	ESCALA 1/200,000 FECHA Dic. 2008	PLAN GEOLOGICO REGIONAL - METALOTECTO BATOLITO DE PATAZ Y OCURRENCIAS DE MINERALIZACION	
		1° LAMINA 5	

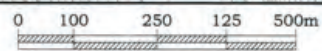




Propietarios

Extensión (has)

	Sozimo Franco	7.57
	Mercedes Valverde	6.35
	Marina Zavaleta	10.25
	Julia Barbaran	244.42
	Gilberto Arellano	0.38
	Evangelista Echavarria	17.08
	Elmer Zavaleta	6.36
	Alberto Añorga	1.84



ESCALA GRAFICA



MERENDON DE PERU

DEPARTAMENTO DE EXPLORACIONES GEOLOGICA MINERA

PROYECTO LOS HORNOS II ETAPA DE EXPLORACION

GEOLOGIA	Ing. Yuri Aronés Oré Ing. Hans Canales Cosme Ing. Henry Galvez Carrillo	ESCALA GRAFICA
SOPORTE GIS	Ing. Marco Escalante R.	FECHA
CAD	Lam_03_II_Etapa	DIC. 2,006

**PROPIETARIOS DE
TERRENOS SUPERFICIALES**

N° LAMINA

3

